

## Memoria interpretativa

### Fase II La Alcudia. Termas Orientales, sector 7F

### Campaña 2023

Enmarcado en *Plan General de Investigación (PGI) 2022-2025 de La Alcudia*

## PROYECTO ASTERO-UNIVERSIDAD DE ALICANTE

Ref. expte. 203-0355-A



**Jaime Molina Vidal**



**Francisco Javier Muñoz Ojeda**

**Juan Francisco Álvarez Tortosa**





## ÍNDICE

<b>1. Ficha técnica</b> .....	<b>5</b>
<b>2. Antecedentes y cuestiones previas</b> .....	<b>9</b>
2.1. Antecedentes.....	9
2.2. Cuestiones previas.....	11
<b>3. Objetivos concretos e interés del proyecto y sus resultados</b> .....	<b>17</b>
<b>4. Descripción de los trabajos</b> .....	<b>23</b>
4.1. Hipótesis de partida.....	23
4.2. Metodología y plan de trabajo .....	24
4.3. Planteamiento de la excavación.....	26
4.4. Ambientes 35 y 35A.....	27
4.5. Ambiente 49 .....	61
4.6. Ambiente 24 .....	81
4.7. Ambiente 40 .....	87
4.8. Ambiente 42 .....	92
4.9. Ambiente 27 .....	108
4.10. Sector 1.....	114
4.11. Ambiente 1 .....	121
4.12. Medidas de protección y conservación .....	124
4.13. Valoraciones finales.....	126
<b>5. Listado de UUEE</b> .....	<b>129</b>
<b>6. Inventario de materiales</b> .....	<b>187</b>
<b>7. Resumen de la campaña</b> .....	<b>261</b>
<b>8. Acta de depósito</b> .....	<b>277</b>





## 1. Ficha técnica

**1- Nombre del proyecto**

Fase II La Alcudia. Termas Orientales, sector 7F  
Campaña 2023

**2- Número de referencia del permiso**

203-0355-A

**3- PGI al que se adscribe**

Plan General de Investigación (PGI) 2022-2025 de La Alcudia

**4- Denominación del yacimiento**

La Alcudia de Elche-Hort del Fond, Polígono 99  
Parcela 78, ALZABARES ELCHE/ELX (ALICANTE)

**5- Municipio**

Elche

**6- Comarca**

Baix Vinalopó

**7- Provincia**

Alicante

**8- Tipo de yacimiento y cronología**

Complejo termal (época romana); zona de hábitat/producción (época tardoantigua y altomedieval)

**9- Datos del propietario**

Universidad de Alicante  
Q0332001G  
Carretera Sant Vicent del Raspeig s/n  
03690 Sant Vicent del Raspeig (Alacant)

**10- Datos de los directores**

Nombre:

- (1) Jaime Molina Vidal
- (2) Francisco Javier Muños Ojeda
- (3) Juan Francisco Álvarez Tortosa

Titulación y nº de colegiado:

- (1) Doctor en Historia
- (2) Licenciado en Historia
- (3) Doctor en Historia. Arqueólogo colegiado (Alacant) nº 3743

DNI:

- (1) 21474593E
- (2) 52764257A
- (3) 48320267G

Dirección:

- (1) Apartado de Correos 99 E-03080 Alicante
- (2) C/ Santa Leonor, 15, 1º
- (3) C/Antonio de Trueba, 10 1ºB

Municipio:

- (1) Sant Vicent del Raspeig (Alacant)
- (2) Alacant (Alacant)
- (3) Alacant (Alacant)

CP:

- (1) 03690
- (2) 03005
- (3) 03012

Teléfono:

- (1) 965903729
- (2) 646873081
- (3) 697566070

E-mail:

- (1) [jaime.molina@ua.es](mailto:jaime.molina@ua.es)
- (2) [fjm.ojeda@gmail.com](mailto:fjm.ojeda@gmail.com)
- (3) [labria@hotmail.com](mailto:labria@hotmail.com)

### 11- Datos del equipo de investigación

Nombre, DNI, labor  
investigadora habitual:

IDEM

### 13- Equipo de participantes

Nombre:

- (1) Alarcón Dabrowska, Marta
- (2) Arce López, María Luz
- (3) Bañón Azorín, Mario
- (4) Baños Ruiz, Marina
- (5) Bordonado Molina, Andrea
- (6) Cartagena Mirete, Irene
- (7) Casas Hervás, Isabel
- (8) Enria, Gino
- (9) Galiana Gómez, Óscar
- (10) Gómez Clemente, Paloma
- (11) Gómez Mira, David
- (12) López Barrio, Pablo
- (13) Martínez García, Claudia
- (14) Morquillas Bustos, Lara
- (15) Navarro Mora, David
- (16) Pastor Javaloyes, José
- (17) Pastor Picó, Raúl
- (18) Pérez García, Ángela
- (19) Pérez Llorca, Juan
- (20) Rodríguez Escudero, Irene

- (21) Rodríguez Garcerán, Adrián
- (22) Ruiz Giménez, Beatriz
- (23) Santos Lozoya, Héctor
- (24) Seguí Baño, Iván
- (25) Segura Sarrió, Arnau
- (26) Serrano Soriano, Claudia
- (27) Sivila Pacheco, Clara
- (28) Terán López, Marcel Eliam
- (29) Valpreda, Paula Eliana
- (30) Villaverde Félix, Ana
- (31) Williams, Ekaterina

**13- Datos de los promotores**

Nombre:

Universidad de Alicante

CIF:

Q0332001G

Dirección:

Carretera Sant Vicent del Raspeig s/n

Municipio:

Sant Vicent del Raspeig (Alacant)

CP:

03690

**14- Duración**

12 de junio al 4 de septiembre de 2023

## 2. Antecedentes y cuestiones previas

### 2.1. Antecedentes

El presente documento es la Memoria Interpretativa que, de acuerdo con el Reglamento de regulación de las actuaciones arqueológicas en la Comunitat Valenciana aprobado en el Decreto 107/2017 de 28 de julio del Consell, se debe presentar en un plazo máximo de ocho meses tras la finalización de los trabajos arqueológicos. Por tanto, en este informe se detallan los resultados obtenidos durante la campaña arqueológica llevada a cabo en las Termas Orientales de La Alcudia y en su entorno inmediato en el año 2023.

Tras la finalización de los primeros cuatro años (2017-2020) del proyecto ASTERO (Arqueología y socialización del conocimiento en La Alcudia de Elche. Las Termas Orientales y áreas circundantes) inicia ahora un nuevo conjunto de actuaciones que queda enmarcado dentro del Plan General de Investigación (PGI) 2022-2025 de La Alcudia.



*Figura 1. Ubicación del yacimiento arqueológico de La Alcudia (Elche, Alicante).*



*Figura 2. Vista aérea del yacimiento arqueológico de La Alcudia (Elche, Alicante) en la que destacamos (en rojo) la ubicación de las Termas Orientales.*

## 2.2. Cuestiones previas

Las estructuras que dan forma al conjunto denominado como Termas Orientales de La Alcudia se encuentran ubicadas en el Sector 7-F del yacimiento arqueológico de La Alcudia, tradicionalmente denominado como “Sector del Alcantarillado” (Figuras 1 y 2):

- Coordenadas ETRS89 - UTM Huso 30 (25830), X: 701823.28541525, Y: 4234872.0594627
- Referencia catastral de la parcela: 03065A09900078.

Su descubrimiento casual, fruto de unas obras de mantenimiento, provocó que las campañas 63, 64 y 65 en La Alcudia se centrasen en su excavación y estudio, dejando a la vista durante esas excavaciones gran parte de las estructuras que hoy día pueden visitarse. Los resultados fueron presentados a la comunidad científica en el marco del Coloquio Internacional de Gijón del año 2000 “Termas romanas en el Occidente del Imperio” (Ramos Molina- Tendero Porras, 2000), así como en una síntesis elaborada por R. Ramos Fernández y A. Ramos Molina (2007). En ambas publicaciones se realiza una descripción de la parte del conjunto termal exhumada, realizándose una propuesta cronológica para el mismo adaptada a las fases propuestas tradicionalmente para el yacimiento de La Alcudia (Ramos Folqués, 1966).

Durante las dos primeras campañas (1998 y 1999) la excavación se centró en descubrir gran parte de la planta que en la actualidad puede visitarse en el yacimiento. La estructura general descrita en las publicaciones destaca un corredor -Dependencia D- pavimentado con un mosaico polícromo. Situado en la parte oriental del edificio, se abre hacia el N con dos vanos y prosigue su trazado en dirección W tras superar unas escaleras. Contaba asimismo con complejo sistema de alcantarillado asociado a la *natatio*.

Dentro de los materiales recuperados durante esta campaña destacan particularmente una serie de plaquetas de mármol y parte de un *labrum* que fueron registrados en la Dependencia D (Tendero Porras-Lara Vives, 2003). Informan asimismo que la gran *natatio* del edificio termal -Dependencia F- estaba colmatada con materiales constructivos. Dentro de los mismos abundaban los fragmentos de enlucidos pintados



que imitaban decoración marmórea, motivos típicos de los primeros estilos de época altoimperial.

La excavación de un perfil conservado en la Dependencia C durante la campaña del 2000 reveló una cronología de abandono visigoda, mientras que su fundación no parecía anterior del s. I d.C. (Ramos Fernández-Ramos Molina, 2007). Además, durante el proceso de excavación se documentaron varios niveles de pavimentación que ilustran, al menos, dos fases intermedias entre la visigoda y la fundacional, que fueron datadas en los siglos II y III d.C. respectivamente. Del mismo modo, se identificó el empleo de distintos aparejos que denotan la existencia de dos grandes momentos constructivos en el edificio, los cuales no fueron relacionados con momentos cronológicos concretos. A partir de estos resultados se propusieron **cuatro fases** para la ocupación romana de las Termas Orientales a partir de los niveles de pavimentos registrados:

- Fase 1: cuya cota coincide con el nivel de paso documentado en la Dependencia F de la *natatio*, se vincula a la denominada fase visigoda
- Fase 2: el segundo nivel se vincula al siglo III d.C.
- Fase 3: el tercer nivel se relaciona con la construcción de la estancia C y por tanto con el funcionamiento del conjunto termal en el siglo II d.C.
- Fase 4: finalmente, bajo el último pavimento se documentaron una serie de estructuras que relacionan con una primera distribución del espacio termal en la primera mitad del siglo I d.C.

Las intervenciones puntuales realizadas con posterioridad a estas campañas -tanto arqueológicas como de consolidación y restauración- no generaron literatura científica. Tampoco alcanzaron a sacar a la luz el perímetro del edificio termal, donde sus extremos E, W y N quedaron pendientes de quedar definidos.

De este modo, las primeras campañas finalizan sin definir la parte perimetral del edificio. Tras un largo hiato dio inicio una nueva etapa de intervenciones arqueológicas en el edificio de las Termas Orientales en el marco del proyecto de investigación de 4 años (2017-2020) llamado ASTERO, acrónimo de “Arqueología y socialización del conocimiento en La Alcudia de Elche. Las Termas Orientales y áreas circundantes”, bajo la coordinación de J. Molina Vidal.



Estas nuevas campañas de intervención arqueológica, cuyo objetivo final era la caracterización y análisis integral del complejo termal, añadieron nuevos espacios a las salas previamente exhumadas. En el extremo occidental se identificó uno de los accesos al edificio (Ambiente 11W) que se abría a una calle de la colonia romana (Ambiente 27). En el extremo opuesto fue descubierto un nuevo circuito termal que resulta accesible desde el E del Vestíbulo. Un distribuidor (Ambiente 25) facilita el paso a una sala con hipocausto identificada como un posible *laconicum* (Ambiente 28). Un vano al N del mismo conecta con una amplia estancia calefactada (Ambiente 29), la cual probablemente tuviese funciones de sala templada o *tepidarium*. La estancia aneja al N (Ambiente 31), conectada con la anterior, únicamente ha sido parcialmente excavada. Los resultados obtenidos revelaron que podría tratarse del *caldarium*. Otra serie de estancias accesibles desde el Ambiente 25 y localizadas inmediatamente al E del circuito termal exhumado en las últimas campañas -Ambientes 36, 30 y 38- pudo formar parte del mismo, siendo modificadas posteriormente para transformarse en salas de servicio y en un hipocausto (Ambiente 38).

En el marco de este proyecto se han desarrollado asimismo diversas aportaciones de carácter divulgativo y docente:

- Campo de experimentación de diversos workshops sobre patrimonio virtual
- Laboratorio abierto de prácticas de toma de datos con GPS diferencial y captura fotogramétrica con drones
- Divulgación de los resultados científicos en congresos y publicaciones.

Tras la finalización de este proyecto se prosiguió con la investigación arqueológica de las Termas Orientales en el marco de un nuevo PGI que se desarrollará entre 2022 y 2025. En su primera campaña los trabajos se concentraron en el extremo N del complejo termal con el fin de tratar de definir su perímetro completo y de obtener más información acerca de los distintos espacios que ocupaban esta parte del edificio. Del mismo modo, se realizaron una serie de sondeos en sectores vecinos -8E, 8F y 9E- con el fin de explorar el entorno inmediato de las Termas Orientales.

**BIBLIOGRAFÍA**

- Abad Casal, L.- Moratalla Jávega, J. - Tendero Porras, M., 2000: "Contextos de antigüedad tardía en las termas occidentales de La Alcudia", *Anales de Prehistoria y Arqueología de la Universidad de Murcia* 16, 133-147.
- Abad Casal, L.- Tendero Porras, M., 2008: *Ilici (La Alcudia de Elche, Alicante). Guía del Parque Arqueológico*, Alicante.
- Abad Casal, L.- Sala Sellés, F.- Grau Mira, I., 2002: *La Contestania Ibérica, treinta años después*, Alicante.
- Abad, L., 2003: "Vivir en Ilici", *Canelobre* 48, 59-81.
- 2016: *L'Alcúdia d'Elx. Un passeig per la història i l'entorn*, Alicante.
- Abad, L.- Abascal, J. M., 1991: *Textos para la historia de Alicante. Historia Antigua*, Alicante.
- Álvarez Tortosa, J. F.; Molina Vidal, J.; Muñoz Ojeda, F. J., 2020: "Las Termas Orientales de La Alcudia (Elche, Alicante). Nuevos resultados de la campaña de excavación 2018", *Actes de les jornades d'arqueologia de la Comunitat Valenciana. 2016-2017-2018 (AA.VV.)*, Valencia, 189-194.
- Alföldy, G., 2003: "Administración, urbanización, instituciones, vida pública y orden social", *Canelobre (Las ciudades y los campos de Alicante en época romana)*, 48, Inst. Cult. Juan Gil-Albert, Alicante, 35-57.
- Almagro Gorbea, M. 1999: *El Rey Lobo de La Alcudia de Elche*, Alicante.
- Badie, A.- Gailledrat, E.- Moret, P.- Rouillard, P.- Sánchez, M. J.- Sillières, P., 2000: *Le site antique de La Picola à Santa Pola (Alicante, Espagne)*, París-Madrid.
- Castellano Hernández, Á., 1996: "Joyas de La Alcudia de Elche en la colección de orfebrería romana del Museo Arqueológico Nacional", *Boletín del Museo Arqueológico Nacional*, T. XIV, Madrid, 55-62.
- Corell, J., 1999: *Inscripcions romanes d'Ilici, Lucentum, Allon, Dianium i els seus respectius territoris*, Valencia.
- Chao Fernández, J. J.- Mesa Sanz, J. F. - Serrano Espinosa, M., 1999: "Un nuevo bronce hallado en la Alcudia", en J. González (ed.): *Ciudades privilegiadas del Occidente romano*, Sevilla, 417-424.
- Gozálvez Perez, V., 1974: "La Centuriatio de Ilici", *Estudios sobre Centuriaciones Romanas en España*, Univ. Autónoma Madrid, 101-113.
- Gurt J. M.- de Lanuza, A. - Palet, J. M., 1996: "Revisión del catastro romano de Ilici (Elche)", *Pyrenae* 27, 215-226.
- Gutiérrez Lloret, S., 1996: *La Cora de Tudmîr: de la antigüedad tardía al mundo islámico. Poblamiento y cultura material*, Madrid.
- Gutiérrez Lloret, S., 1999: "Cuando el Portus dejó de ser puerto: el territorio ilicitano en la Alta Edad Media (ss. VI-X)", *I Congreso de Historia Local (Santa Pola, octubre 1997)*, 79-94.
- Hernández Pérez, M.-Abad Casal, L., 2004: *Iberia, Hispania, Spania. Una mirada desde Ilici*, Alicante.
- Ibarra y Manzoni, A., 1981: *Illici, su situación y antigüedades*, Instituto de Estudios Alicantinos, Diputación Provincial de Alicante, Serie II, 14, 320 págs. (Reproducción facsímil de la edición de Establecimiento Tipográfico de Antonio Reus, Alicante, 1879).
- Lara Vives, G., 2005: *El culto a Juno en Ilici y sus evidencias*, Villena.
- Lorenzo de San Román, R., 2004-2005: "La basilica-sinagoga de l'Alcúdia d'Elx (1905-2005). Problemes i estat de la qüestió 100 anys després", *Lucentum* 23-24, 127-156.
- Lorenzo de San Román, R., 2006: *L'Alcúdia d'Elx a l'Antiguitat tardana. Anàlisi historiogràfica i arqueològica de l'Ilici dels segles V-VIII*, Alicante.
- Llorens, M. M., 1987: *La ceca de Ilici*, Valencia.
- Márquez Villora, J. C., 1999: *El comercio romano en el Portus Ilicitanus. El abastecimiento exterior de productos alimentarios (siglos I a. C.- V d. C.)*, Alicante.
- Márquez Villora, J. C.- Molina Vidal, J., 2001: *El comercio en el territorio de Ilici. Epigrafía, importación de alimentos y relación con los mercados mediterráneos*, Alicante.
- Márquez Villora, J. C.- Poveda Navarro, A., 2000: "Espacio religioso y cultura material en Ilici (SS. IV-VII d. C.)", *V Reunió d'Arqueologia Cristiana Hispànica (Cartagena, 1998)*, Barcelona, 185-198.
- Mayer, M. - Olesti, O., 2001: "La sortitio de Ilici. Del documento epigráfico al paisaje histórico", *DHA* 27, 109-130.
- Márquez Villora, J.C.; Molina Vidal, J.; Sánchez Fernández, M. J., 1999: "La factoría de salazones del Portus Ilicitanus (Santa Pola, Alicante). Nuevos descubrimientos y estado de la cuestión", *Actas del XXV Congreso Nacional de Arqueología (Valencia, febrero de 1999)*, 360-364.
- Molina Vidal J.; Poveda Navarro, A. M., 1997: "Nivel de abandono de un sector del foro de Ilici", *Actas del XXIII Congreso Nacional de Arqueología*, Vol. 1. , 141-154.

- Molina Vidal, J., 2005: "La cetaria de Picola y la evolución del Portus Illicitanus (Santa Pola, España)", *III Congreso Internacional de Estudios Históricos. El Mediterráneo: la cultura del mar y la sal (Santa Pola, 24 al 27 de octubre de 2004)* (Molina Vidal, J.- Sánchez Fernández, M<sup>a</sup> J. Eds.), Santa Pola, 110-145.
- Molina Vidal, J., 2012: "La Cetaria bajo imperial de Picola (Santa Pola, Alicante)", *Santa Pola, arqueología y museo: Museos municipales en el MARQ*, 138-141
- Molina Vidal, J., 2015: "Poblamiento rural en el territorium de Ilici: la granja romana del Cabezo-Clot de Galvany (Elx,Alacant)", *Saguntum* 47, 105 - 120.
- Molina Vidal, J.; Álvarez Tortosa, J. F.; Muñoz Ojeda, F. J., 2021: "Las Termas Orientales de Ilici (Proyecto ASTERO-Patrimonio Virtual)", *La Fundación La Alcudia. 25 años creando patrimonio* (Jover Mestre, F. J.; Ramos Molina, A. Eds.), Alicante, 167-178.
- Molina Vidal, J.; Muñoz Ojeda, F. J.; Álvarez Tortosa, J. F., 2020: "Las Termas Orientales de La Alcudia (Elche, España): nuevas perspectivas de la investigación reciente (Proyecto ASTERO, UA-Patrimonio Virtual)", *Termas Públicas de Hispania (Congreso Termas públicas de Hispania, Murcia, abril de 2018)* (Noguera Celdrán, J. M.; García Entero, V.; Pavía Page, M., Eds.), Anejos de SPAL, Sevilla, 471-480.
- Moratalla Jávega, J., 1996: "Explotación agropecuaria en época ibérica en torno a La Alcudia (Elche): el instrumental", *XXIII Congreso Nacional de Arqueología* (Elche, 1995), vol. I, Elche, 369-376.
- Moratalla Jávega, J., 2001: "Restos de catastros romanos en el Medio Vinalopó y unos apuntes sobre Aspis", *Alquibla, Revista de Investigación del Bajo Segura* 7, Escuela Politécnica Superior de Orihuela-Instituto Universitario de Geografía, Orihuela, 551-579.
- Olmos, R. - Tortosa, T., 1997: *La Dama de Elche. Lecturas desde la diversidad*, col. Lynx 2, Madrid.
- Poveda, A., 2000: "El obispado de Ilici, Los orígenes del Cristianismo en Valencia y su entorno". *Grandes Temas Arqueológicos* 2, 85-92.
- Ramallo, S. - Vizcaíno, J., 2002: "Bizantinos en Hispania. Un problema en la arqueología española", *Archivo Español de Arqueología* 75, 313-332.
- Ramos Fernández, R., 1975: *La ciudad romana de Ilici*, Alicante.
- Ramos Fernández, R., 1983a: "Estratigrafía del sector 5-F de La Alcudia de Elche", *Lucentum* 2, 147-172.
- Ramos Fernández, R., 1991: *El yacimiento arqueológico de La Alcudia de Elche, Consell Valencià de Cultura, Serie Minor 1*, Valencia.
- Ramos Fernández, R., 1995: *El templo ibérico de La Alcudia. La Dama de Elche*, Elche.
- Ramos Fernández, R.- Uroz Sáez, J., 1992: "Ilici", *Dialoghi di Archeologia* 1-2, 95-104.
- Ramos Fernández, R - Ramos Molina, A., 2007: "Las termas orientales de Ilici", *Caesaraugusta* 78, 545-554.
- Ramos Folqués, A., 1947: "La Dama de Elche. Datos para su cronología. El problema del nivel arqueológico de su hallazgo", *III Congreso Arqueológico del Sudeste Español*, Cartagena, 153-158.
- Ramos Folqués, A., 1966: "Estratigrafía de La Alcudia de Elche", *Saitabi* XVI, 71-76.
- Ramos Folqués, A., 1990: "Cerámica ibérica de la Alcudia (Elche, Alicante)", Alicante.
- Ramos Molina, A., 2000: *La escultura ibérica en el Bajo Vinalopó y el Bajo Segura*. Institut Municipal de Cultura, Ajuntament d'Elx, Elche.
- Ramos Molina, A.- Tendero Porras, M., 2000: "Dos nuevos conjuntos termales en Ilici (La Alcudia, Elche)", *II Coloquio Internacional de Arqueología de Gijón, Termas Romanas en el occidente del Imperio* (Fernández Ochoa, C. y García Entero, V. eds.), Gijón, 245-250.
- Reynolds, P., 1993: *Settlement and Pottery in the Vinalopó Valley (Alicante, Spain) A. D. 400-700, BAR, Int. Ser. 588*, Oxford, 9-43.
- Rovira, S., 2007 (coord.): *La Dama de Elche*, Madrid.
- Ruiz Roig, E. 2001: *Los mosaicos de Ilici y del Portus Illicitanus. Consell Valencià de Cultura*, València.
- Sala Sellés, F., 1992: *La tienda del alfarero del yacimiento de la Alcudia*, Alicante.



### 3. Objetivos concretos e interés del proyecto y sus resultados

A partir de los antecedentes y el estado de la investigación que hemos descrito se puede observar que nos hallamos en un sector (F7) en el que el estado de conocimiento del complejo termal y de su evolución es parcial, inconcluso y en proceso de estudio. De hecho, la información disponible ofrece una serie de puntos oscuros que han servido de base para orientar nuestro programa de excavaciones con el fin de concluir el análisis y estudio del conjunto. Por otra parte, en La Alcudia de Elche se han ido arrastrando una serie de tesis básicas fruto de la estratigrafía construida por A. Ramos Folqués que ofrece muchas dudas y que debe ser revisada, o sustituida por un nuevo panel de hipótesis y de parámetros de referencia contruidos a partir de las nuevas técnicas y perspectivas de la investigación. En función de ese estado inacabado de las investigaciones planteamos algunos de nuestros objetivos:

- Objetivos concretos relacionado con el conjunto de las Termas Orientales:

Determinar la planta completa del conjunto termal en función de su secuencia evolutiva	Se ha completado en sus lados meridional y occidental y se han seguido los trabajos de excavación y documentación en su extremo septentrional
Datar de forma precisa los niveles constructivos y las fases de ocupación	Se ha documentado que la principal etapa constructiva tuvo lugar en el primer tercio del siglo II d.C.
Hacer un estudio diagnóstico de las sucesivas restauraciones que se han realizado en el conjunto proponiendo intervenciones de consolidación adicionales para preservar los restos arqueológicos	Se ha elaborado un registro gráfico de las principales estructuras del yacimiento con el fin de planificar las futuras intervenciones de consolidación
Continuar con los trabajos de consolidación en las áreas cuyas estructuras son más vulnerables	Se han protegido las estructuras del área oriental del conjunto para su puesta en

(cuerpo central de las salas de las termas, área oriental del conjunto).	valor a falta de concluir las excavaciones de este sector
--	---

- Objetivos relacionados con el análisis arqueológico del yacimiento arqueológico de La Alcudia de Elche:

Documentar la secuencia estratigráfica completa del conjunto para proporcionar nuevas hipótesis y parámetros interpretativos.	La actuación en el extremo occidental, con niveles de calle, y en la cimentación de las termas han precisado los límites cronológicos del conjunto
Establecer las principales fases constructivas del conjunto y de La Alcudia, revisando el análisis e interpretación de la evolución histórica del conjunto.	Se han determinado, al menos, cuatro grandes fases constructivas y de ocupación.
Iniciar la comprensión del conjunto en la trama urbanística general: viales y áreas aledañas del conjunto termal, con el fin de planificar futuras intervenciones	Se ha determinado la existencia de un eje viario principal que conecta con las excavaciones del sector 5F. Del mismo modo, la intervención llevada a cabo en el sector 9E ha sacado a la luz una superposición de niveles pertenecientes al viario de la colonia.

- Proyección social del yacimiento de La Alcudia:

Difundir los nuevos descubrimientos entre la sociedad ofreciendo nuevas perspectivas	Continuamos la dinámica iniciada en campañas previas, con la elaboración de videos explicativos de los avances y su difusión en redes sociales. Del mismo modo se mantuvo un contacto directo con los medios de comunicación para compartir los avances realizados
Relativizar la obsesiva dependencia social -que no científica- del “mito de la Dama de Elche”, como	En las notas de prensa se hizo especial hincapié en la importancia de La Alcudia

único e irreplicable hito de referencia de la arqueología ilicitana	como centro urbano romano y su vertebración del territorio durante siglos desde su construcción.
Construir un programa de concienciación y sensibilización social del patrimonio histórico de La Alcudia de Elche sobre nuevos parámetros y bases interpretativos	En las acciones de divulgación y difusión se destacó la importancia del yacimiento como centro de atracción de la población para entender La Alcudia como parte fundamental del desarrollo del municipio.

### **Interés del proyecto:**

- **Interés científico.** ¿Cómo se puede comprender la arqueología de Hispania suroriental sin información fiable y actualizada de la colonia de referencia de la región, sin *Ilici*? Más allá del interés local, desde el punto de vista científico, la paralización de las excavaciones en La Alcudia bloquea el progreso de las investigaciones sobre la Historia romana en este ámbito. Por ello ha sido fundamental reemprender un programa de excavaciones apoyándose, de forma adicional, en el conjunto de nuevas técnicas y metodologías que permitirán avanzar en el conocimiento científico.
- **Interés patrimonial.** La Alcudia de Elche constituye el principal conjunto arqueológico y patrimonial de carácter público de la Comunidad Valenciana sin excavar. Contrariamente a lo que se pueda pensar el yacimiento se encuentra en buena parte por descubrir. No son muchas las colonias romanas de las que aún se desconoce la ubicación del foro, o de la que se tenga una secuencia estratigráfica fiable o, lo que es más curioso, en la que no se hubieran proyectado intervenciones arqueológicas sistemáticas en los últimos veinte años.
- **Interés pedagógico y formativo.** La Universidad de Alicante, como propietaria del yacimiento, tiene como función preferente la utilización de este recinto arqueológico como laboratorio de prácticas, ámbito docente o espacio de experimentación. Por ello desde la campaña 2017 hemos incorporado alumnas/os de máster y estudiantes de grado. Además, se ha constituido un equipo de excavación principalmente constituido por alumnado universitario y egresadas/os

con el fin de crear un vínculo científico, pero también social con la comunidad científica y profesional.

- **Interés social.** El fin último de toda actuación científica es la sociedad. En el caso de la arqueología esto no es solo una frase pues, a parte de los resultados de la investigación básica -en ocasiones de consumo interno-, las excavaciones generan restos patrimoniales, interpretaciones de carácter histórico, elementos de carácter identitario y, en general, resultados tangibles para la sociedad. Por ello creemos que una dimensión fundamental de este proyecto es la socialización del conocimiento, la divulgación de sus resultados.
- **Interés estratégico.** Uno de los elementos básicos de la investigación actual es la financiación de la ciencia. En el caso de las actuaciones arqueológicas regulares la financiación proviene preferentemente de los sectores públicos, pero se deben promocionar los canales de financiación privados vía mecenazgo. Pero si no se ofrecen resultados previos y se impacta en la opinión pública es difícil conseguir generar una dinámica favorable a la financiación externa. Por ello consideramos necesario desarrollar proyectos arqueológicos que abran nuevas perspectivas arqueológicas y patrimoniales.

En resumen, son muchas las razones para impulsar este proyecto, pero si hubiéramos de sintetizar las líneas básicas de este programa de actuaciones podríamos señalar cuatro ejes fundamentales:

- **Austeridad.** Al amparo de las múltiples burbujas que han afectado a la sociedad española en las últimas décadas se ha desarrollado un modelo de intervención arqueológica y de gestión del patrimonio acorde con esa embriaguez de recursos. Pero ese tiempo ha acabado y es necesario recuperar un **modelo de gestión del patrimonio mucho más austero**, sobre todo por responsabilidad social. Por ello planteamos tipos de actuación que reduzcan los presupuestos, que eviten las cadenas de subcontratas, que prioricen la **gestión directa**, que huyan del empleo de materiales costosos, poniendo en primer plano la necesidad de socializar el conocimiento y de sensibilizar a la sociedad frente a los proyectos faraónicos. Este planteamiento de gestión del patrimonio lo hemos aplicado en la Villa Romana de l'Albir, primer museo al aire libre de la Comunidad Valenciana desarrollado con fondos públicos, pero con presupuestos muy ajustados, reduciendo los márgenes y



la participación de las empresas externas y, por tanto, haciendo viable un proyecto a partir de la gestión directa de los recursos.

- **Socialización del conocimiento.** Todas las actuaciones científicas, y en el caso de un yacimiento arqueológico de propiedad y gestión pública como el de La Alcudia mucho más, deben estar orientadas a hacer que la parte fundamental de las **actuaciones reviertan en la sociedad** (acciones en RRSS, exposiciones, jornadas de puertas abiertas, publicaciones científicas y divulgativas, sesiones de virtualización, etc.). Por ello, el objetivo fundamental de este proyecto se centra en último término en la necesidad de socializar el conocimiento a través de las TIC.
- Incorporación de la **Arqueología Virtual** al ámbito de la excavación, la consolidación y la divulgación del patrimonio. La arqueología está disfrutando de un cambio técnico y metodológico que ha de ser incorporado en las actuaciones arqueológicas, especialmente las de carácter estrictamente científico y universitario. En la Universidad de Alicante hemos constituido el grupo **Patrimonio Virtual** referente internacional en proyectos y docencia universitaria de Arqueología y Restauración Virtual. Por ello es necesario incorporar todo este nuevo universo técnico para impulsar el rigor del registro, la fiabilidad de las actuaciones y el impacto social de los resultados.
- **Desarrollo del conocimiento abierto.** La razón fundamental de una actuación arqueológica no es otra que profundizar en el conocimiento histórico. Por ello nuestro objetivo fundamental siempre será generar un registro **fiable, riguroso y contrastable**. Por esta razón desarrollaremos un plan de publicaciones que incluya el acceso libre a los **metadatos y los parámetros** en el RUA, con el fin de hacer más transparente la actuación científica que llevamos a cabo.



## 4. Descripción de los trabajos

### 4.1. Hipótesis de partida

Para alcanzar dichos objetivos centraremos nuestras excavaciones en los escasos espacios del conjunto termal que aún no han sido excavados, especialmente en su parte noroccidental (Figura 3). Habremos de revisar la documentación existente, pero creemos que es necesario plantear la intervención como si se tratase de una excavación nueva para no asumir hipótesis previas o construirlas con prejuicios que podrían desviar nuestra atención de las novedades aportadas por la excavación.

Por otra parte, nuestra investigación aspira a analizar este edificio termal dentro de su contexto urbano y su imbricación en el tejido edilicio de la colonia. Para ello resulta fundamental intervenir en zonas adyacentes al mismo que proporcionen información en este sentido. Dado que la información arqueológica disponible indica que las Termas Orientales, muy probablemente, no fueron construidas antes del primer tercio del siglo II d.C., el examen de su entorno revelará el modo en el que su aparición afectó al urbanismo previo de *Ilici*.

#### Hipótesis Generales

Nuestra dilatada trayectoria científica respecto a la **arqueología romana** en concreto, y antigua en general, contiene múltiples referencias a los problemas e incertidumbres básicas de la investigación al respecto. De todas formas, apuntamos algunas líneas generales:

- La estratigrafía tradicional de La Alcudia de Elche debe ser revisada y muy probablemente corregida
- A la luz de la bibliografía científica general, habría que cuestionar o al menos revisar la propuesta tradicional de invasiones en la ciudad romana de *Ilici*
- Solo una excavación sistemática y estratigráfica de determinados contextos podría darnos información sobre los inicios de las fases de abandono o declive de las funciones administrativas tradicionales.

### **Hipótesis concretas**

Del cotejo inicial y previo de la documentación existente y de la lectura precisa de los artículos publicados por el equipo arqueológico que excavó parte de este conjunto termal se extraen una serie de conclusiones que pueden sustentar hipótesis complementarias:

- Existen fases constructivas y de ocupación que no han podido ser determinadas en investigaciones anteriores. A modo de hipótesis se detectan dos fases principales constructivas con sus consiguientes fases refacción y amortización cuya cronología podría estar marcada por las épocas alto y bajoimperial
- En las fases en las que el conjunto termal está en uso se observan al menos tres fases de reformas
- Los mosaicos hallados en la entrada del conjunto termal parecen ser de la fase fundacional

## **4.2. Metodología y plan de trabajo**

Más allá de las particularidades propias de cada uno de los distintos equipos que desarrollan sus proyectos en este yacimiento creemos que sería necesario coordinar una serie de elementos básicos en la metodología arqueológica con el fin de hacer compatibles y contrastables los resultados de las investigaciones: registro de unidades, sistema informático de inventario y bases de datos, formas de acometer la consolidación de estructuras y taludes o la trazabilidad del registro y transparencia. Por nuestra parte la **metodología arqueológica** que proponemos seguiría las siguientes líneas básicas:

1. **Estudio previo** y planificación de las actuaciones del conjunto arqueológico denominado Termas Orientales: fases de intervención a medio y largo plazo
2. Intervención arqueológica en área abierta siguiendo el sistema de excavación **Harris-Carandini**
3. Utilización del **GPS diferencial** y posicionamiento satelital para ubicación de estructuras con georreferenciación
4. Utilización de **estación total** y niveles para el detalle de las estructuras
5. Registro gráfico combinado de **georreferenciación y fotogrametría digital** avanzada

6. **Levantamiento planimétrico 2D** a partir de la documentación métrica de cartografía CAD 2D: plantas, secciones y alzados
7. Registro de **unidades**
8. **Escaneado** de detalles constructivos
9. **Documentación fotográfica** del proceso de excavación
  - Estado de conservación previo a la intervención
  - Documentación del proceso de intervención
  - Documentación final
10. **Documentación fotográfica específica** para la obtención de:
  - Modelo 3D del conjunto arqueológico.
  - Documentación y productos derivados: ortoimágenes (plantas y alzados) y secciones.
11. Realización de **informes** previos y finales
12. Publicación y difusión

### **Plan de trabajo**

Las actuaciones de todos los equipos de investigación han quedado enmarcadas por unas **líneas generales** consensuadas, únicas y de obligado cumplimiento para poder homogenizar los resultados de las excavaciones en La Alcudia de Elche. Se han acordado unos parámetros mínimos de registro: fichas UE, denominaciones, soporte informático, técnicas homogéneas de consolidación y protección, imagen corporativa, etc.

Concepto	Detalle de las actuaciones	Periodo de realización:
1. Plan de excavaciones	Estudio previo de la documentación existente	Abril-mayo 2023
	Intervención arqueológica	12 junio-14 julio 2023
	Elaboración de inventarios clasificados	Septiembre-octubre 2023
	Elaboración de memorias arqueológicas	Noviembre 2023-enero 2024
	Análisis interpretativo	Noviembre -diciembre 2023



Buena parte de las actuaciones realizadas en la presente campaña tuvieron lugar en el extremo septentrional del complejo. Varias de ellas fueron programadas con el fin de definir el extremo NE del edificio y de obtener datos acerca de su evolución -**Ambientes 24, 35, 35A, 40 y 49**-. En otros espacios se trató de obtener además información acerca de las fases previas a la construcción del complejo termal -**Ambientes 42, 51 y 52**-.

También se realizaron intervenciones puntuales en zonas perimetrales de las Termas Orientales, como las realizadas en el **Ambiente 27** o en el **Sondeo 1**, abierto inmediatamente al S del acceso principal del edificio. En ambos casos se persiguió recabar datos sobre la fase inicial de las termas y sobre las estructuras y viales asociados al mismo.

#### 4.4. Ambientes 35 y 35A

Los espacios denominados como **Ambiente 35** y **Ambiente 35A** fueron identificados en la campaña 2022. El segundo de ellos fue individualizado en el interior de su continente, el **Ambiente 35**. Mientras que este queda delimitado por el muro **UE 507** en su extremo occidental, por **UE 496** en el oriental y por el conjunto de lienzos **UUEE 506, 505, 504 y 500** en el meridional -desconocemos qué estructura define este espacio en su extremo septentrional, por lo que queda fijado provisionalmente en el perfil N de la excavación-, documentamos unas estructuras posteriores que separan otro espacio -**Ambiente 35A**- en su interior (Figuras 4, 5 y 6):

- **UE 886**. Alineación de piedras y tierra orientadas en sentido N-S que generan un cuerpo de 0'50 m de anchura y que conserva un trazado de 2'25 m de longitud. Esta fundación constituye el extremo N del **Ambiente 35A**.
- **UE 888**. Estructura de similar composición y morfología que **UE 886**, traba con este en su extremo oriental formando ángulo recto. De orientación E-W, se han documentado 4'30 m de su trazado. Marca el límite oriental de este espacio.

Ante la ausencia de otras estructuras que lo definan, consideramos que comparte con el **Ambiente 35** sus límites occidental y meridional, abarcando una superficie aproximada de 21'18 m<sup>2</sup>. El extremo meridional de toda esta área estaba afectado por

un desmante de su estratigrafía en la franja de entre 1 y 1'5 m de anchura a partir de los lienzos **UUEE 506, 505, 504 y 500**, el cual fosiliza el antiguo perfil N de las excavaciones realizadas entre 1998 y 2001. Dicha franja quedó excluida del área de intervención planteada en la presente campaña (Figuras 4, 5 y 6).

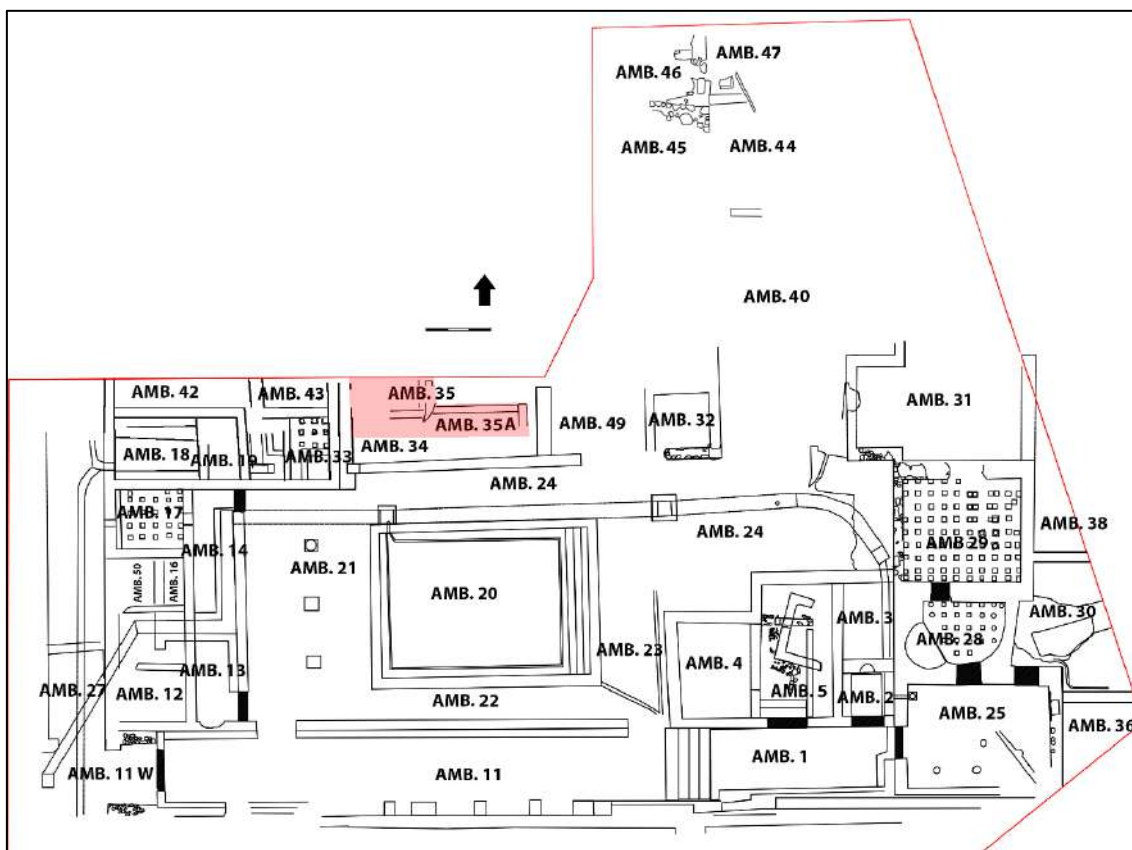


Figura 4. Plano de las Termas Orientales en el que destacamos (en rojo) el área intervenida en el interior de los Ambientes 35 y 35A en la campaña 2023.

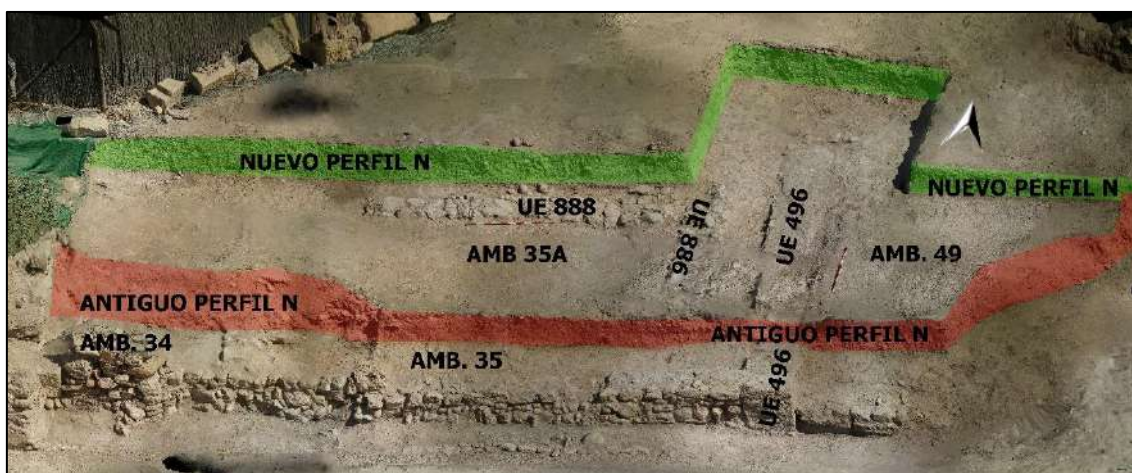


Figura 5. Vista desde el S de la parte central de la zona N de las Termas Orientales. Destacamos el antiguo perfil N (en rojo) y el actual perfil N (en verde).



**Ambientes 35 y 35A**



Figura 5. Planta estratigráfica de los Ambientes 35 y 35A tras la retirada de UUEE 889 y 890.

La situación estratigráfica correspondiente al final de la campaña 2022 ofrecía para estos Ambientes un escenario estratigráfico marcado por la presencia de dos únicos niveles de tendencia horizontal:

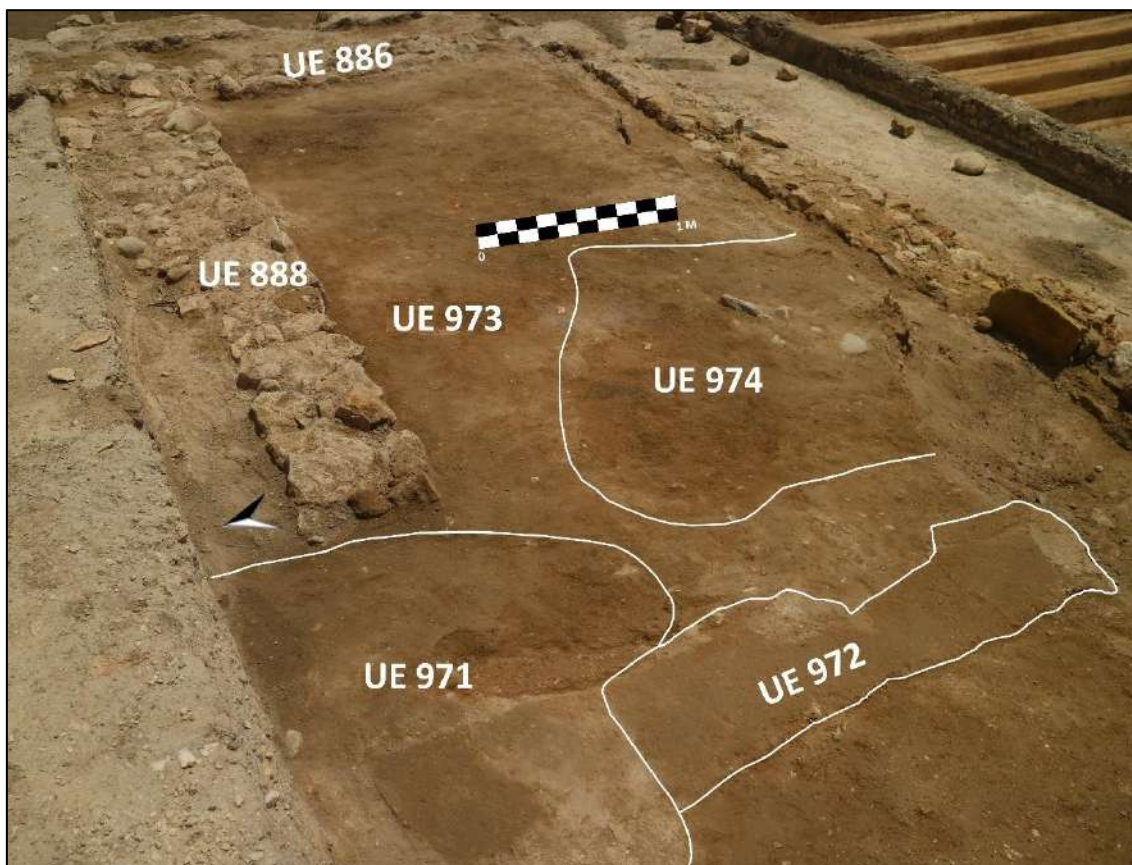
- **UE 889.** Paquete de tierra de tonalidad marrón-grisácea y textura compacta ubicada entre las estructuras **UUEE 886 y 888**.
- **UE 890.** Estrato de composición similar a la registrada para **UE 889**. Fue individualizado del mismo para distinguir la superficie del **Ambiente 35** que se extiende más allá de la pérdida del trazado de la estructura **UE 888**, sin que se aprecie una diferencia física reseñable entre ambos niveles.

La intervención en esta parte del yacimiento en la campaña 2023 inició, por tanto, con la remoción de ambos estratos. Su retirada permitió documentar una nueva situación estratigráfica, marcada por la aparición de un estrecho tramo de pavimento *in situ* que fue registrado como **UE 972**. Realizado en *opus caementicium*, se conservaba del mismo una franja orientada en sentido N-S de 2'14 m de longitud y una anchura de 0'47 m. Localizado a 0'60 m del extremo occidental de la fundación de muro **UE 888** y a 2'5 m de la cara interna del muro **UE 507**, mientras que su extremo meridional alcanza el cambio de cota marcado por el antiguo perfil N (Figuras 5 y 6).

La superficie que se extendía al E de este pavimento, entre las estructuras **UUEE 886 y 888**, quedaba ocupada por **UE 973**, un estrato de tendencia horizontal de textura compacta y arcillosa, compuesto por tierra de tonalidad anaranjada Figuras (Figuras 5 y 6). El espacio existente entre la pérdida del trazado de **UE 888** y el pavimento **UE 972** quedaba ocupada por **UE 971**, una capa de tierra de tonalidad marrón-anaranjada y textura compacta y arcillosa. Este paquete de morfología irregular se extiende más allá del extremo W de la parte conservada de la superficie de *opus caementicium*. No ha podido ser documentada toda su extensión, ya que prosigue más allá del perfil N (Figuras 5 y 6).

Del mismo modo, identificamos un nivel de piedras y cantos muy uniforme en el que las distintas piezas estaban trabadas por una tierra de tonalidad grisácea y textura arcillosa y muy compacta. Individualizado como **UE 974**, abarcaba una superficie irregular de 1'15 m de longitud y 1'84 m de anchura aproximadamente hasta perderse en el antiguo perfil

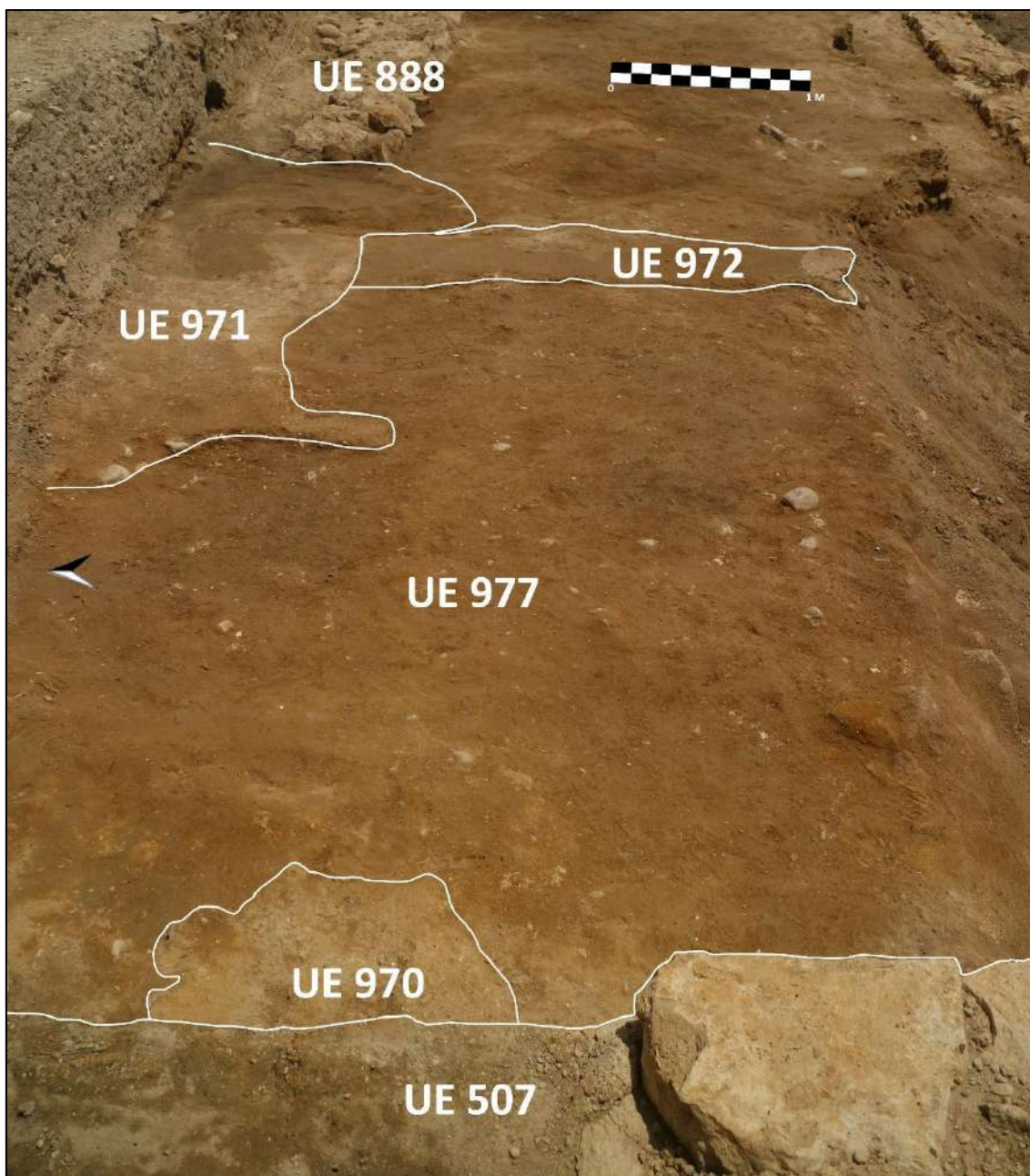
N. Estaba localizado a 0'6 m al E del extremo oriental del pavimento **UE 972**. Debido a su ubicación, morfología y composición, fue interpretado como parte de la preparación de un pavimento (Figuras 5 y 6).



*Figura 6. Vista desde el NW del Ambiente 35A en el que indicamos la ubicación de los estratos UUEE 971, 973 y 974 respecto al pavimento UE 972.*

La realidad estratigráfica registrada bajo **UE 890** e inmediatamente al W del nivel de pavimento **UE 972** es distinta de la registrada en el **Ambiente 35A**. La práctica totalidad de esta superficie queda cubierta por **UE 977**, un paquete de tierra de tonalidad castaño-anaranjada y de textura compacta y arcillosa que adopta una tendencia horizontal (Figuras 5 y 7). Asimismo, detectamos la presencia de un estrato de tierra de tonalidad amarillenta y textura disgregada pero compacta apoyado contra la cara E del lienzo **UE 507**. De tendencia semicircular, sus dimensiones aproximadas son de 1'4 x 0'6 m (Figuras 5 y 7). Hemos de recordar además que, tal y como ya mencionamos, el paquete estratigráfico **UE 971** rebasaba la superficie del pavimento **UE 972** para alcanzar esta parte del **Ambiente 35** (Figuras 5, 6 y 7).





*Figura 7. Vista desde el W del Ambiente 35 en el que indicamos la ubicación de los estratos UUEE 970, 971 y 977 respecto al pavimento UE 972.*

Proseguimos la excavación actuando de manera simultánea a ambos lados del pavimento **UE 972**, es decir, tanto en el **Ambiente 35A** como en el **Ambiente 35**. Tras retirar **UE 970** y **971**, proseguimos nuestra actividad mediante la remoción de los dos grandes niveles que abarcaban toda la superficie de esta área de intervención: **UUEE 973** y **977**. Esta acción reveló que los paquetes estratigráficos **UUEE 971** y **977** eran, en realidad, el mismo estrato. La situación estratigráfica resultante de este nuevo paso en la excavación de estos Ambientes sacó a la luz nuevos niveles.

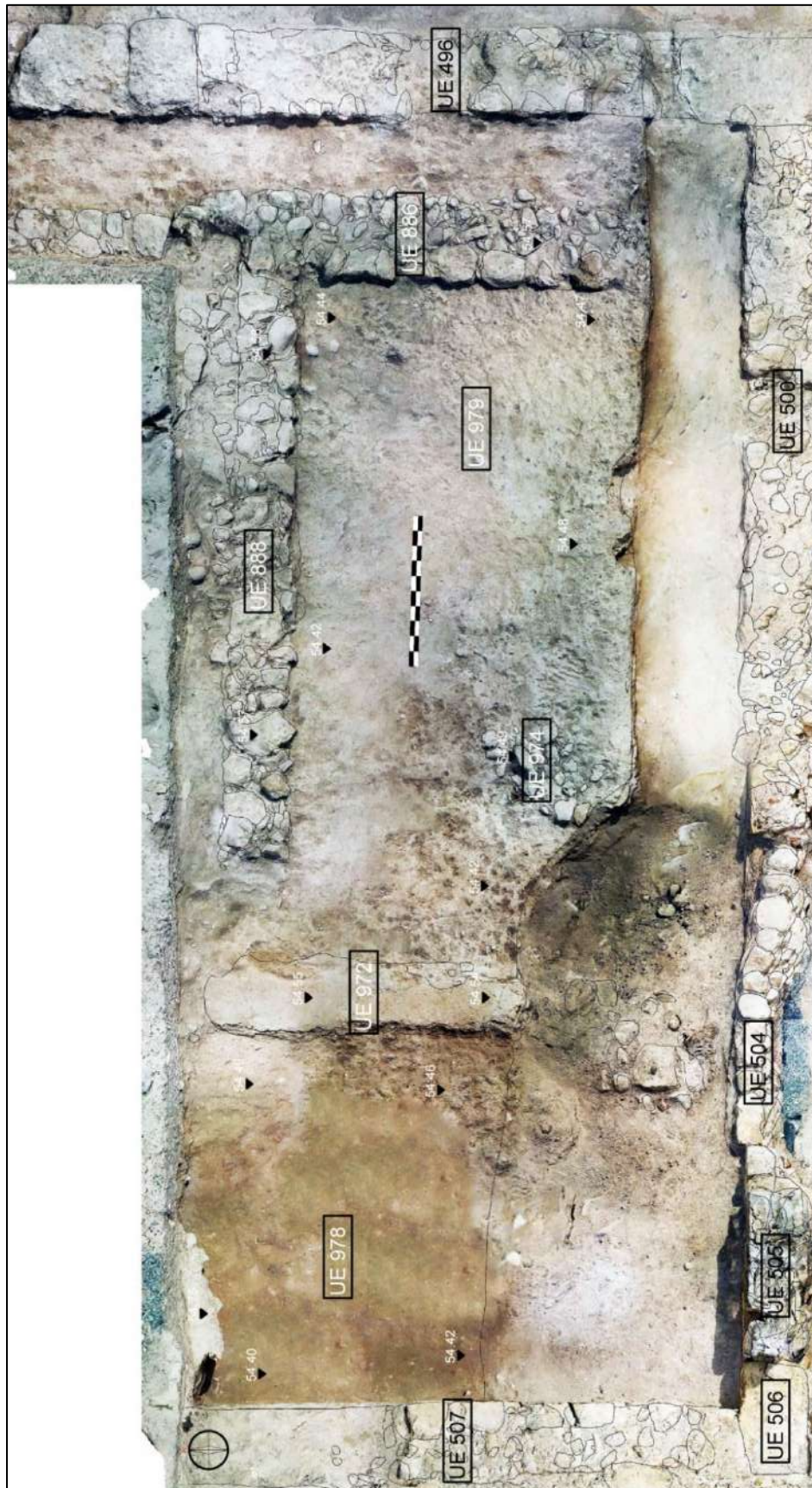
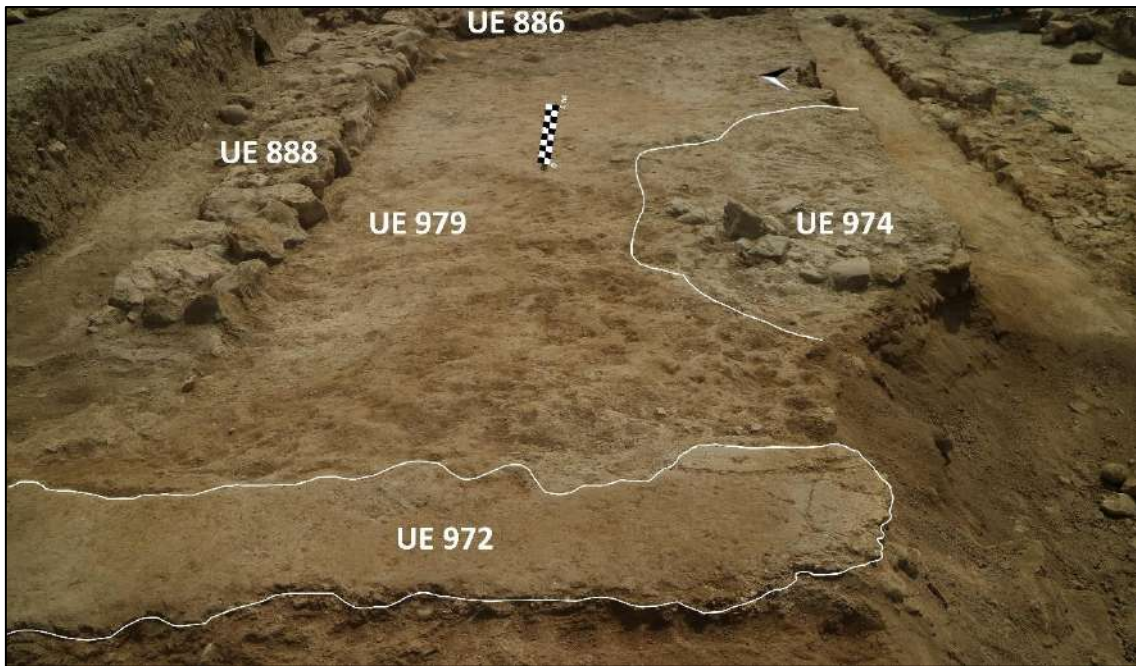
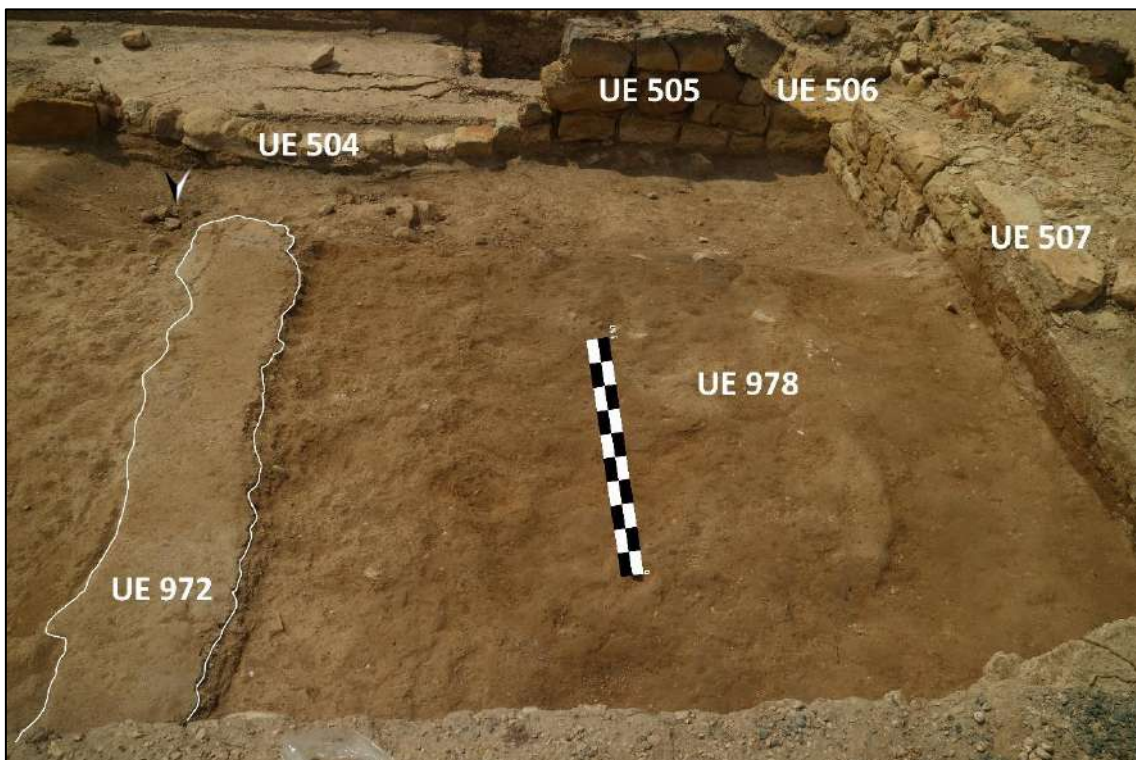


Figura 8. Planta estratigráfica de los Ambientes 35 y 35A tras la retirada de UUEE 970, 971, 973 y 977.





*Figura 9. Vista desde el W del Ambiente 35A, donde se indica la ubicación de UUEE 974 y 979 respecto al pavimento UE 972.*



*Figura 10. Vista desde el N del Ambiente 35, donde se indica la ubicación de UE 978 respecto al pavimento UE 972.*

Así, documentamos el paquete **UE 979** en el espacio situado al E del pavimento **UE 972**. Se trata de un nivel de tierra de tonalidad parda-anaranjada y textura arcillosa, el cual se apoyaba contra la cara interna de las estructuras **UUEE 886 y 888** (Figuras 8 y 9). En el lado opuesto del pavimento nos encontramos con **UE 978**. Esta capa estaba compuesta por tierra de tonalidad grisácea con inclusiones amarillentas de carácter disperso, de textura arcillosa y compacta (Figuras 8 y 10).

Con nuestro siguiente paso -la excavación de los nuevos niveles superficiales, **UUEE 978 y 979**- exhumamos un tramo de muro -**UE 985**- inmediatamente al E del pavimento **UE 972**. Dicho muro permitió separar claramente el espacio correspondiente al **Ambiente 35A** del **Ambiente 35**, por lo que a partir de este momento se excavaron de manera individualizada (Figuras 12 y 30).

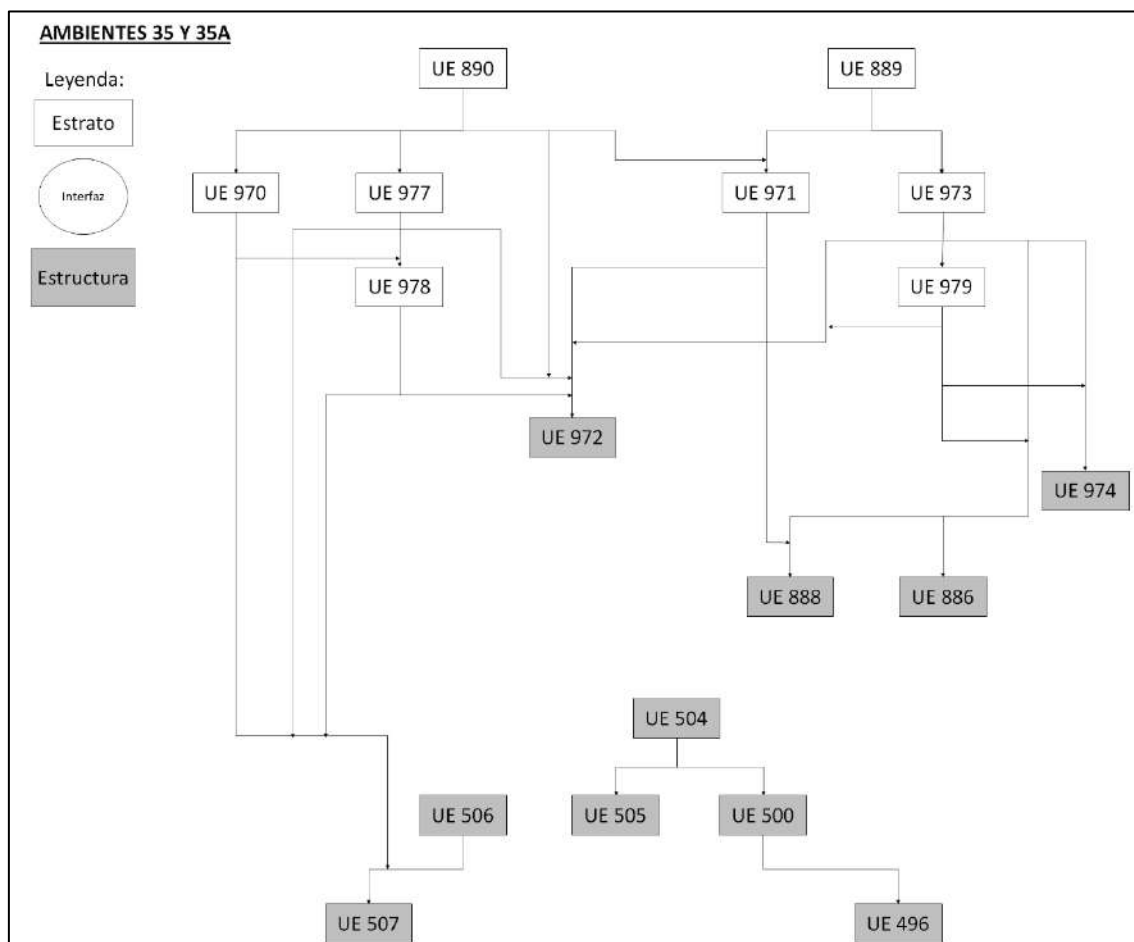
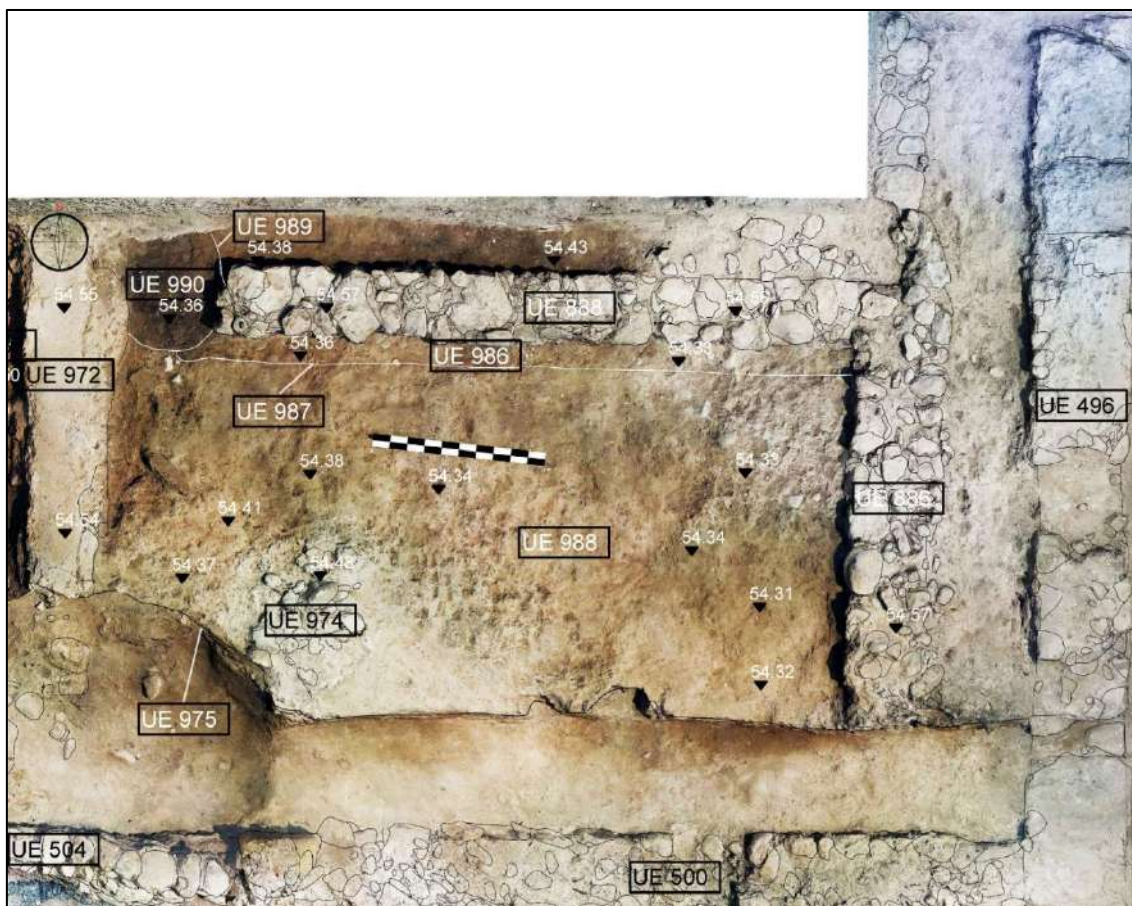


Figura 11. Matriz de Harris correspondiente a los Ambientes 35 y 35A previamente a la individualización de los mismos.

**Ambiente 35A**

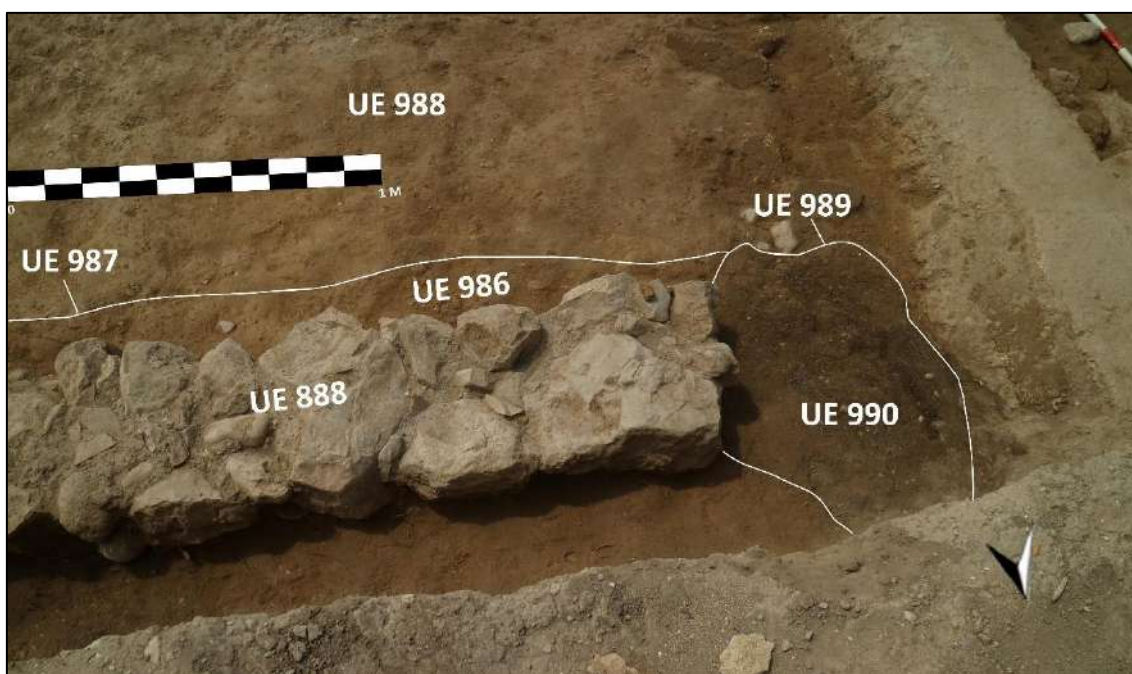
*Figura 12. Planta estratigráfica tras la retirada de UE 979, en la que se indica la ubicación del estrato UE 988, de la fosa UUEE 989 y 990, de la trinchera de fundación UUEE 987 y 986, de la preparación de pavimento UE 974 y del recorte UE 975 respecto al pavimento UE 972.*

La separación del **Ambiente 35A** respecto al Ambiente 35 hizo posible proseguir con su excavación de ambos de manera simultánea y autónoma, generando una documentación propia y específica para cada uno de ellos. Así, bajo **UE 979** registramos una nueva realidad estratigráfica. Observamos, en primer lugar, que los niveles **UUEE 973** y **979** eran rellenos que colmataban la fosa **UE 975**, la cual produjo la destrucción del desarrollo oriental del pavimento **UE 972**, dejando únicamente a la vista parte de su preparado: **UE 974**. El fondo de esta fosa hizo visible al paquete estratigráfico **UE 988**. Estaba compuesto por tierra de tonalidad castaño-anaranjada con una presencia dispersa de carbones en su interior, de textura arcillosa (Figuras 12 y 13).



En el extremo septentrional hallamos un recorte alargado a modo de trinchera que seguía el trazado de las estructuras **UUEEE 8886** y **888** manteniendo una anchura aproximada de 0'10 m contra la cara interna de las mismas. Le asignamos la **UE 987**, mientras que su relleno -un paquete de tierra de tonalidad castaño-rojiza y textura disgregada- quedó registrado como **UE 986** (Figuras 12 y 13).

Finalmente, en el espacio comprendido entre la pérdida del trazado de **UE 888** y el pavimento **UE 972** descubrimos una fosa de tendencia ovalada, de aproximadamente 0'5 x 0'6 m. Su trazado recorta tanto a la estructura **UE 888** como a la fosa **UUEE 986** y **987** asociada a la misma. Estaba colmatada por **UE 990**, un paquete de tierra disgregada de tonalidad grisácea con presencia de restos de materia orgánica (Figuras 12 y 13).



*Figura 13. Vista en detalle desde el N del extremo NW del Ambiente 35A, en la que destacamos la ubicación del nivel superficial UE 988, de la trinchera UUEE 986 y 987 y de la fosa UUEE 989 y 990.*

Tras vaciar el interior de la fosa **UE 989** y el de la trinchera **UE 987**, proseguimos la intervención actuando directamente sobre la capa superficial **UE 988**. Infrapuesto a ella encontramos un estrato compuesto por tierra de tonalidad castaño-amarillenta y de textura arcillosa que identificamos como **UE 992** (Figuras 14 y 15).

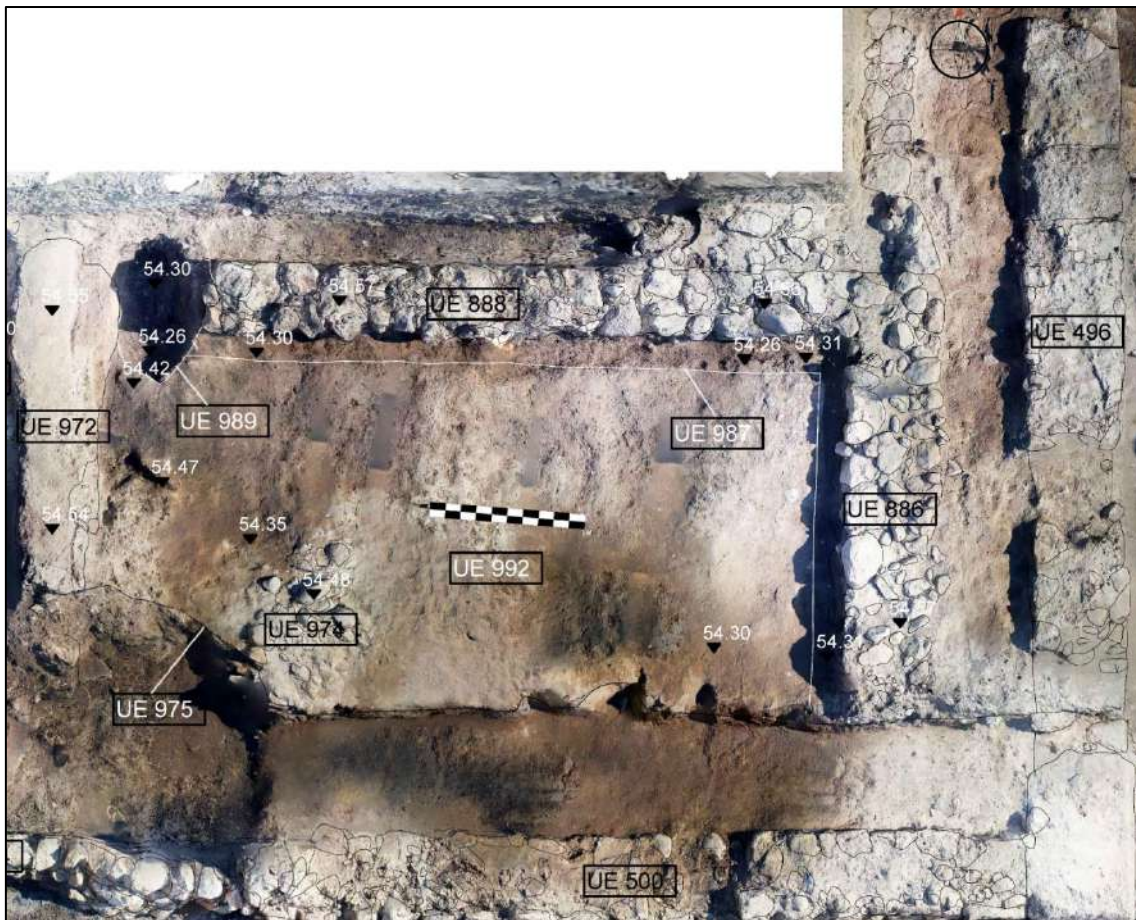


Figura 14. Planta estratigráfica tras retirar el relleno de fosa UE 990 y el relleno de la trinchera UE 986 y de excavar el nivel superficial UE 988.

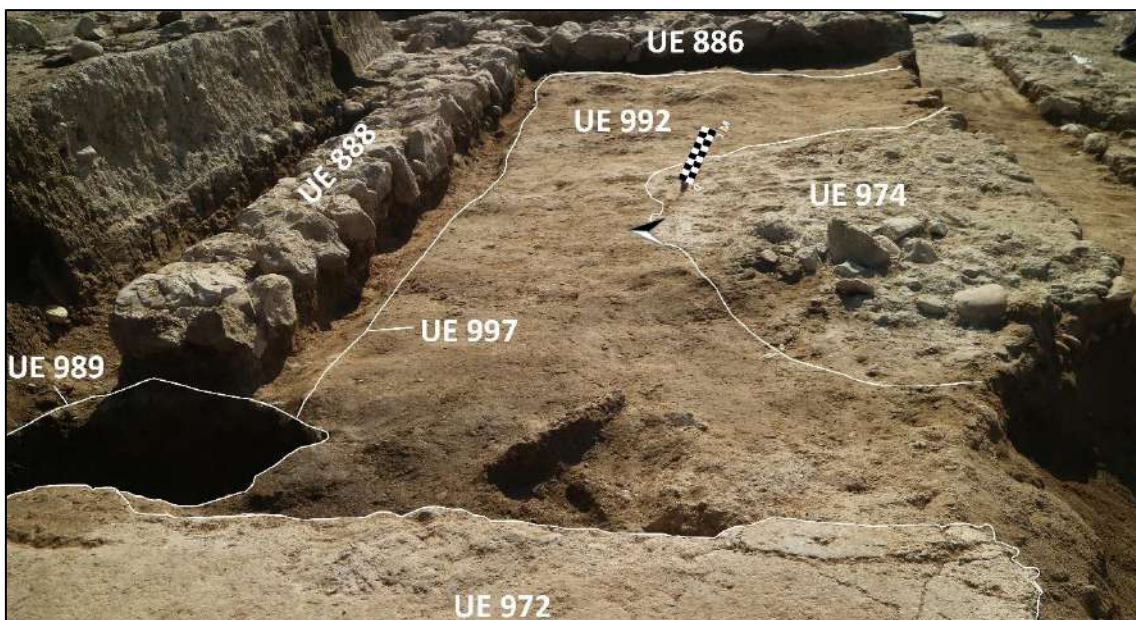


Figura 15. Vista desde el W en la que indicamos la ubicación del nivel superficial UE 992, de la fundación de pavimento UE 974 y de las fosas UUEE 989 y 997.



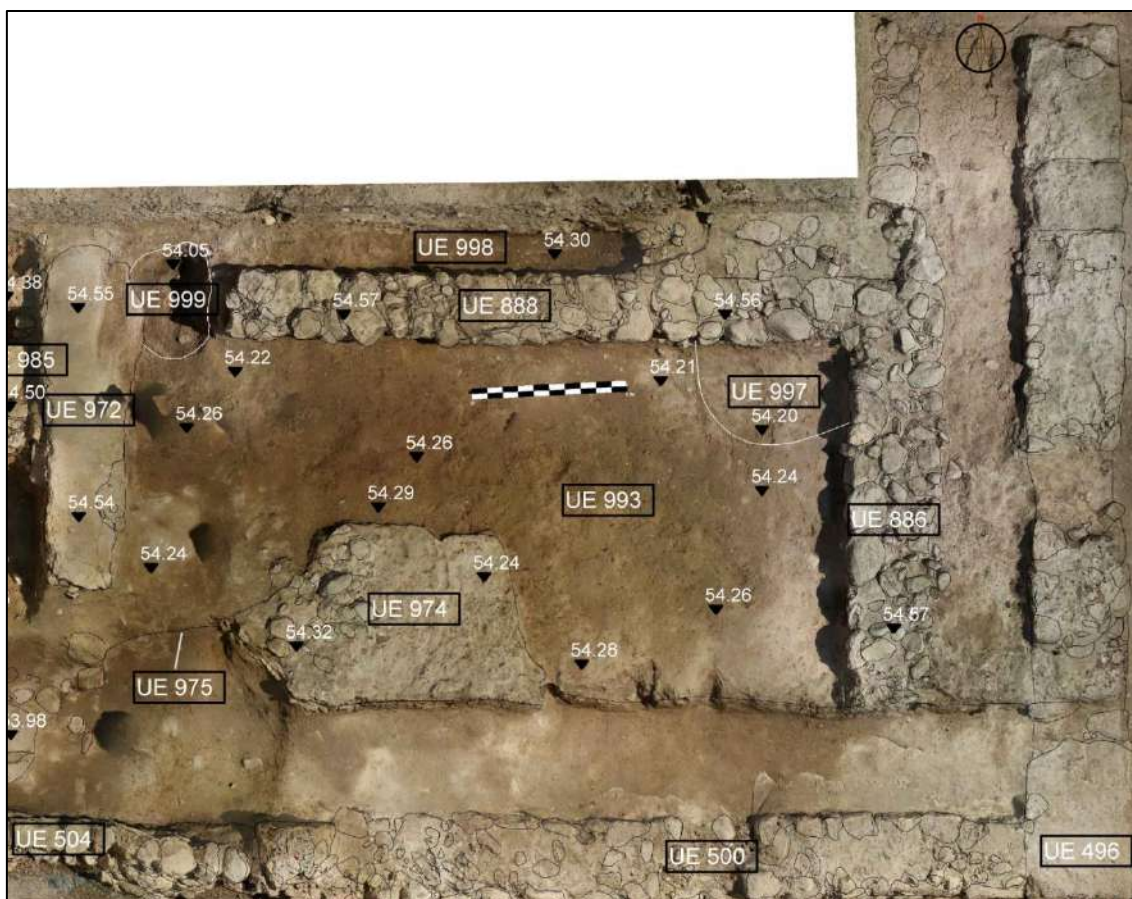


Figura 16. *Planta estratigráfica tras retirar UE 992 en la que resultan visibles los nuevos estratos UUEE 993, 997 y 999.*

Una vez documentamos adecuadamente el nivel **UE 992** procedimos a su levantamiento. La situación estratigráfica que fue revelada quedaba dominada por una nueva capa superficial, **UE 993**. Es un estrato formado por tierra de tonalidad castaño-amarillenta y textura arcillosa, ligeramente compactada. En el ángulo interno formado por las estructuras **UUEE 888** y **886** individualizamos un nivel claramente diferenciado, **UE 997**. Esta capa de tierra limosa de tonalidad castaño oscuro adopta una tendencia semicircular ocupando unas dimensiones aproximadas de 1 x 0'6 m (Figuras 16 y 17).

Finalmente, hallamos un nivel de tierra de tonalidad amarillenta y textura arcillosa y disgregada que se ubica en el espacio existente entre la interrupción de la estructura **UE 888** y el pavimento **UE 972**, a la que asignamos la **UE 999**. De tendencia ovalada, ocupa una superficie aproximada de 0'7 x 0'4 m (Figuras 16 y 18).

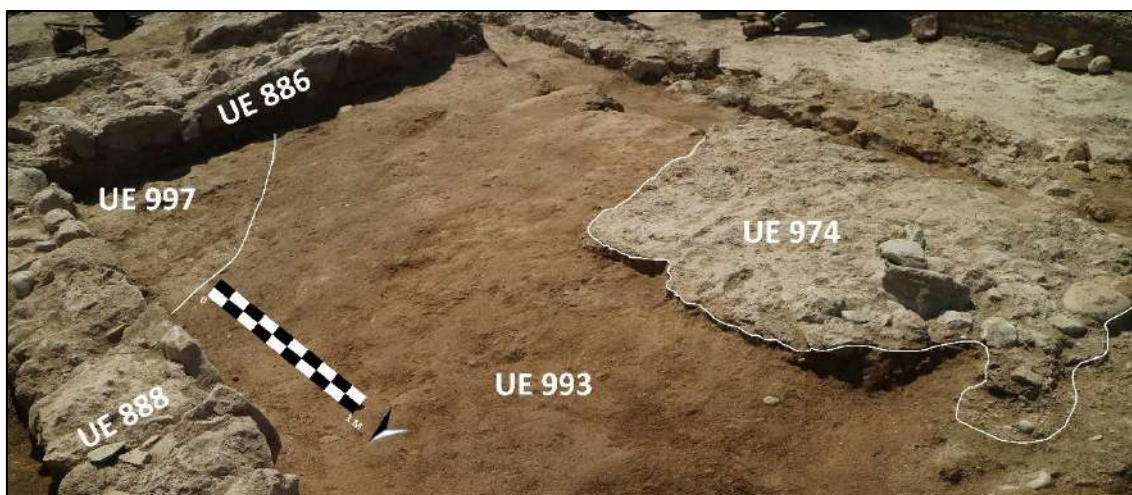


Figura 17. Vista desde el NW del Ambiente 35A en la que destacamos la ubicación de los estratos UUEE 993 y 997.

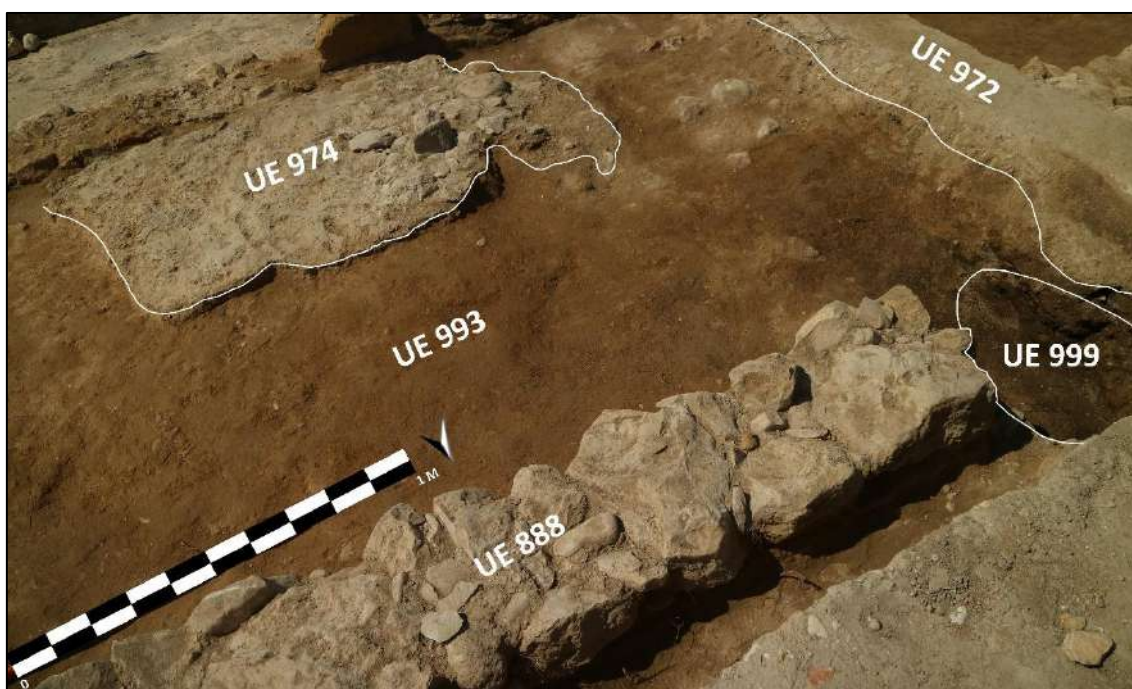


Figura 18. Vista desde el NE del Ambiente 35A en la que destacamos la ubicación de los estratos UUEE 993 y 999.

Continuamos nuestra actuación arqueológica en este espacio desmontando la preparación de pavimento **UE 974**. Bajo la misma hallamos otra capa de preparación - **UE 976**- conformada por cantos de pequeño tamaño trabados con una tierra de tonalidad castaño-grisácea y de textura arcillosa. Del mismo modo, permitió registrar adecuadamente una acumulación de piedras localizada en el extremo NE del **Ambiente 35A**. Fue identificada como **UE 1002** (Figuras 19 y 20).



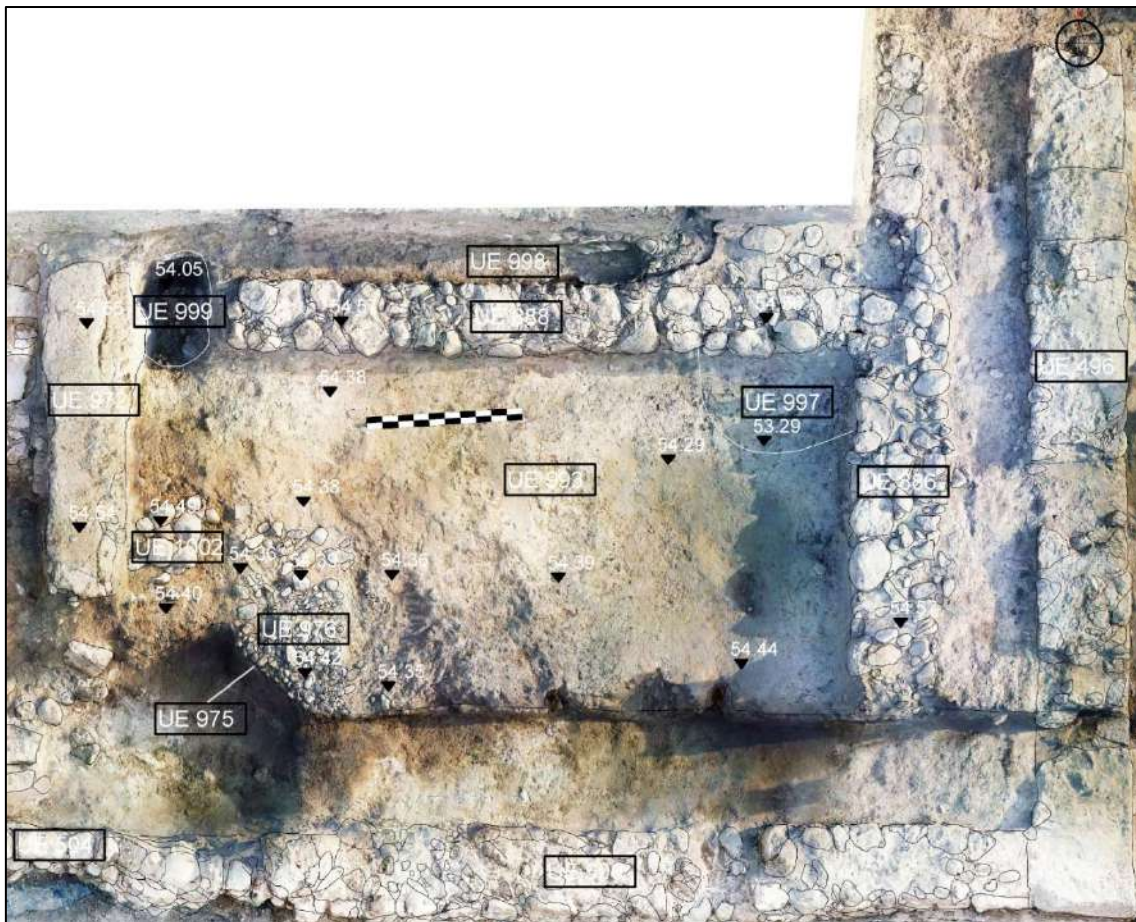


Figura 19. Planta estratigráfica tras retirar UE 974 en la que resultan visibles los nuevos estratos UUEE 976 y 1002.

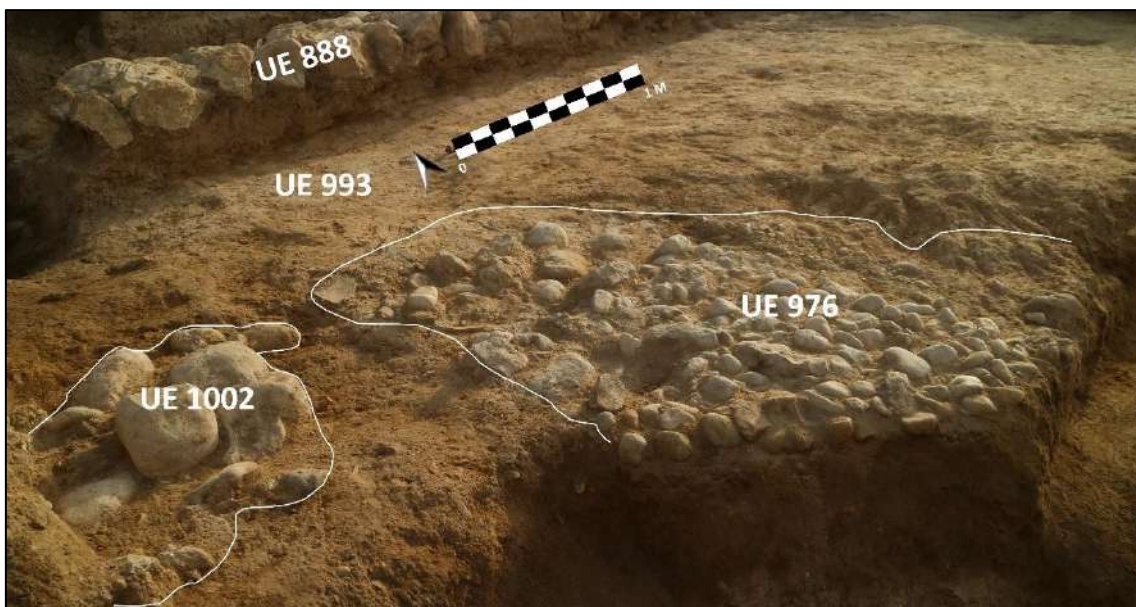


Figura 20. Vista desde el SW del Ambiente 35A en la que destacamos la ubicación de los estratos UUEE 976 y 1002.



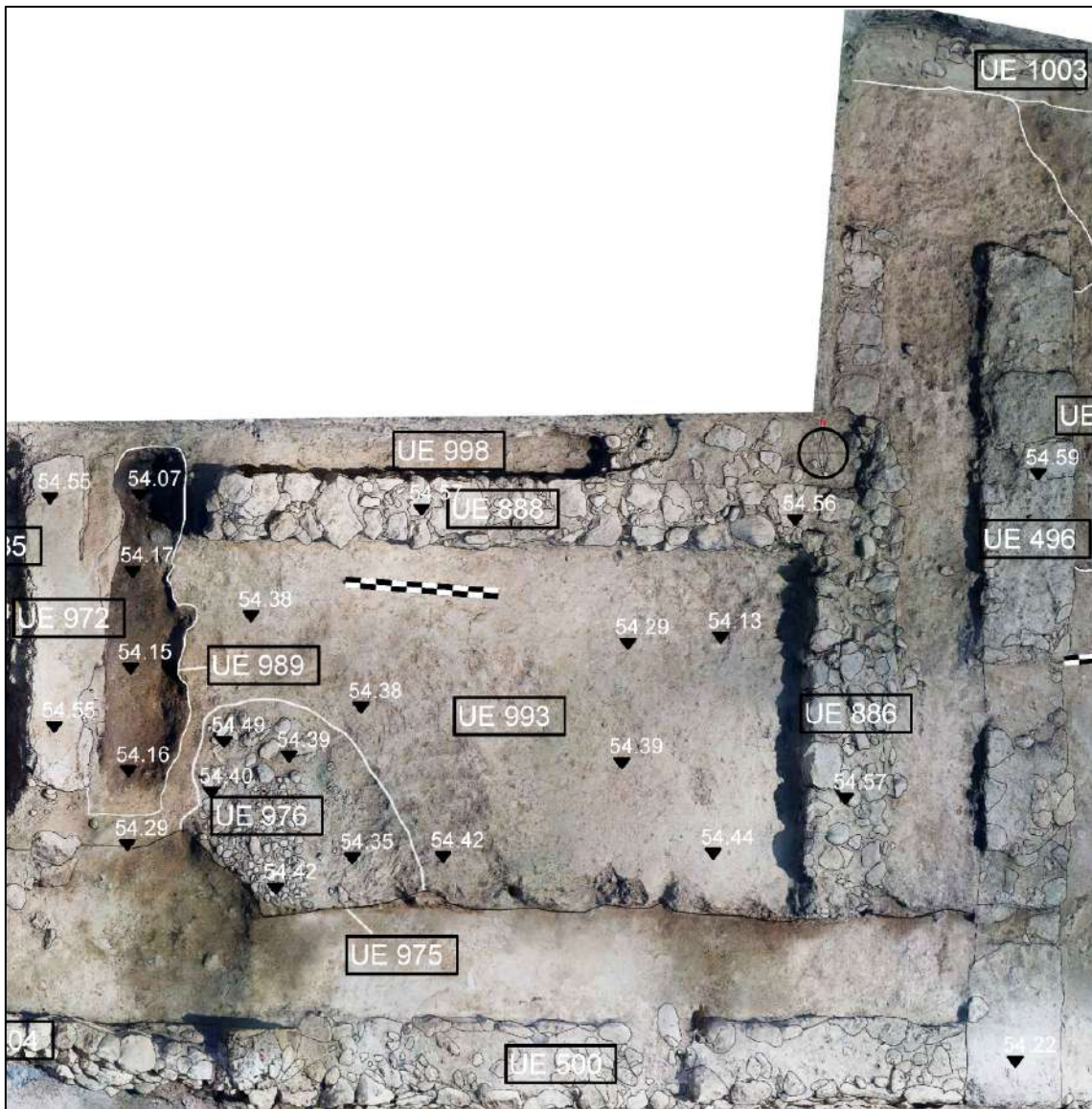


Figura 21. Planta estratigráfica tras retirar UUEE 997 y 1002 y redefinir la fosa UE 989.

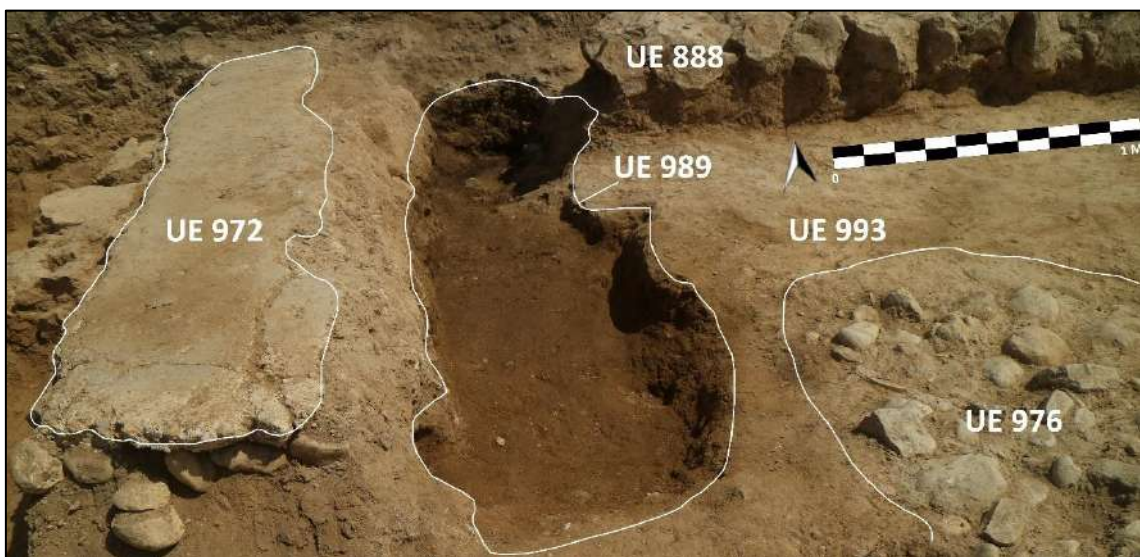
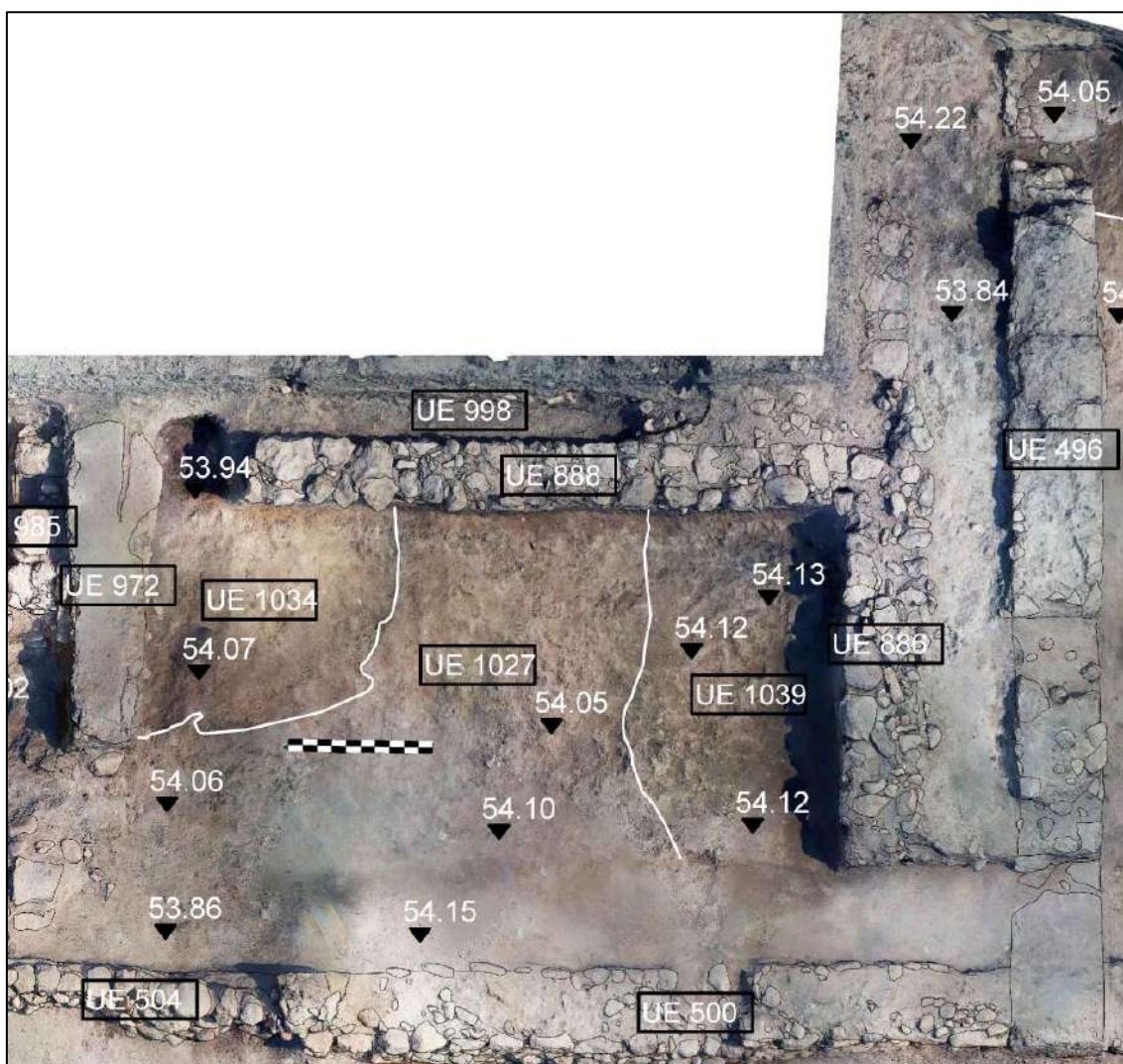


Figura 22. Vista desde el SW del Ambiente 35A en la que mostramos la fosa UE 989.



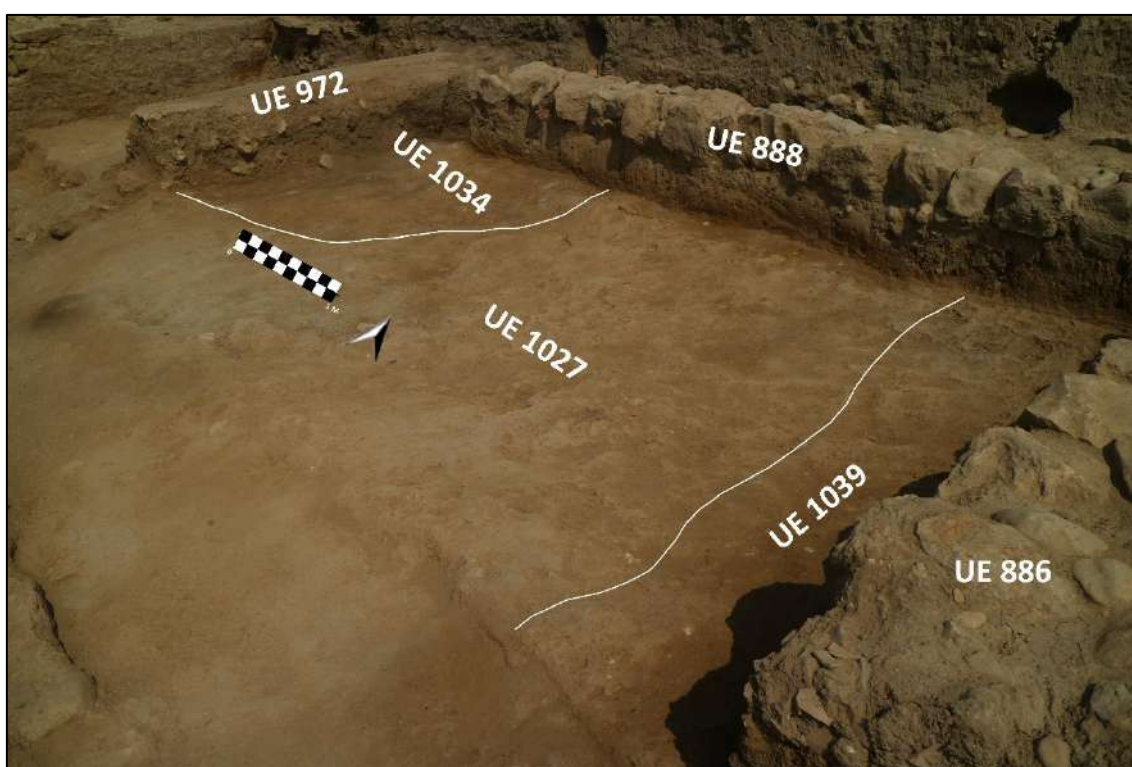
Antes de llevar a cabo nuestro siguiente paso -la remoción del nivel superficial **UE 993**- debíamos retirar el resto de capas identificadas sobre el mismo. Así, actuamos en el ángulo NE del Ambiente excavando **UE 997**. La retirada de las piedras que constituían **UE 1002** reveló que -al igual que **UE 999**-, en realidad, formaban parte del relleno de la fosa **UE 989**, por lo que su contorno fue redefinido tras su extracción. La interfaz resultante presentaba forma de trinchera orientada en sentido N-S y abierta contra el extremo oriental del pavimento **UE 972**, con unas dimensiones de aproximadamente 2'4 x 0'5 m (Figuras 21 y 22).



*Figura 23. Planta estratigráfica tras retirar UUEE 976 y 993 en la que indicamos la ubicación de los nuevos estratos UUEE 1027, 1034 y 1039.*

Finalmente, fue posible proceder al levantamiento tanto del nivel superficial **UE 993** como de los restos de preparación de pavimento **UE 976**. Infrapuesto a ellos, hallamos

un paquete estratigráfico que se extendía por la parte central y sur-meridional del Ambiente, **UE 1027**. Estaba compuesto por tierra de tonalidad castaño-grisácea y de textura compacta. Su disposición en el terreno adoptaba la disposición de una gran franja central de 1'7 m de anchura y 2'5 m de longitud orientada en sentido N-S, de la que surgía en su extremo meridional una lengua que trazaba un recorrido de 1'8 m en dirección W. En el ángulo NW individualizamos un estrato de tierra de tonalidad marrón oscuro y textura arcillosa y disgregada que se extendía adoptando una tendencia semicircular entre el pavimento **UE 972** y la estructura **UE 888**. Fue registrada como **UE 1034** (Figuras 23 y 24).



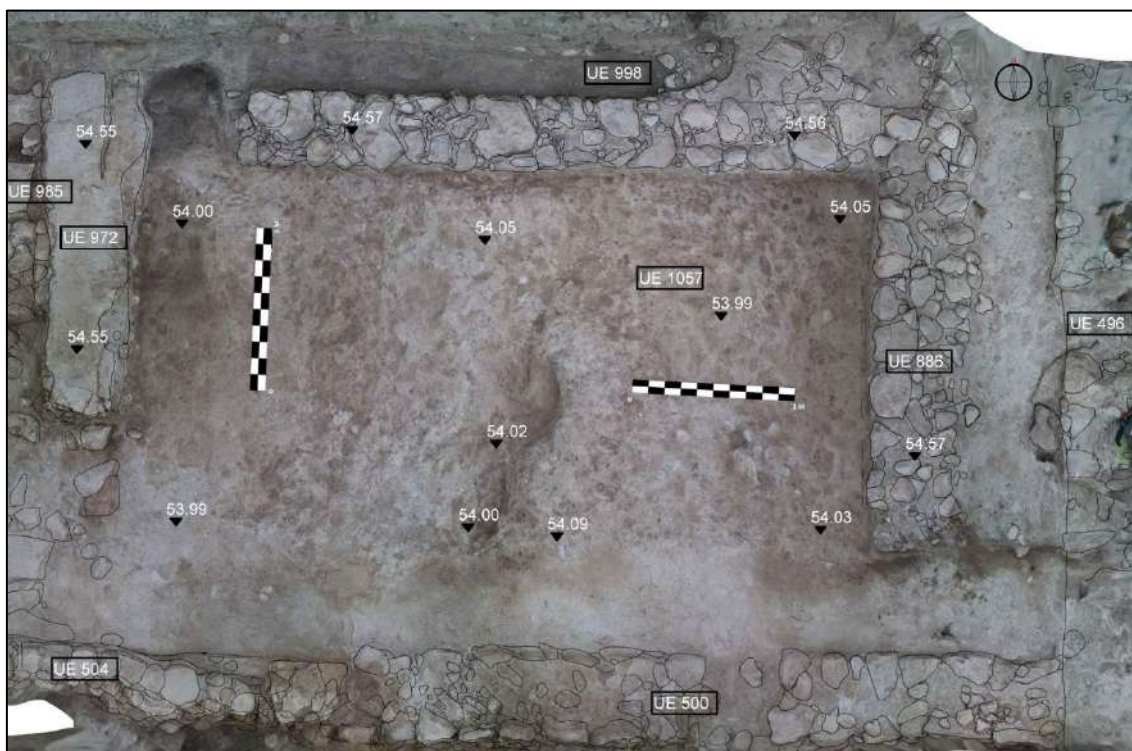
*Figura 24. Vista desde el SE del Ambiente 35A en la que indicamos la ubicación de las capas estratigráficas UUEE 1027, 1034 y 1039.*

La franja oriental del Ambiente quedaba ocupada por **UE 1039**, un paquete de tierra de tonalidad marrón claro de textura arcillosa que se extendía por una superficie aproximada de 2'5 x 1'35 m (Figuras 23 y 24).

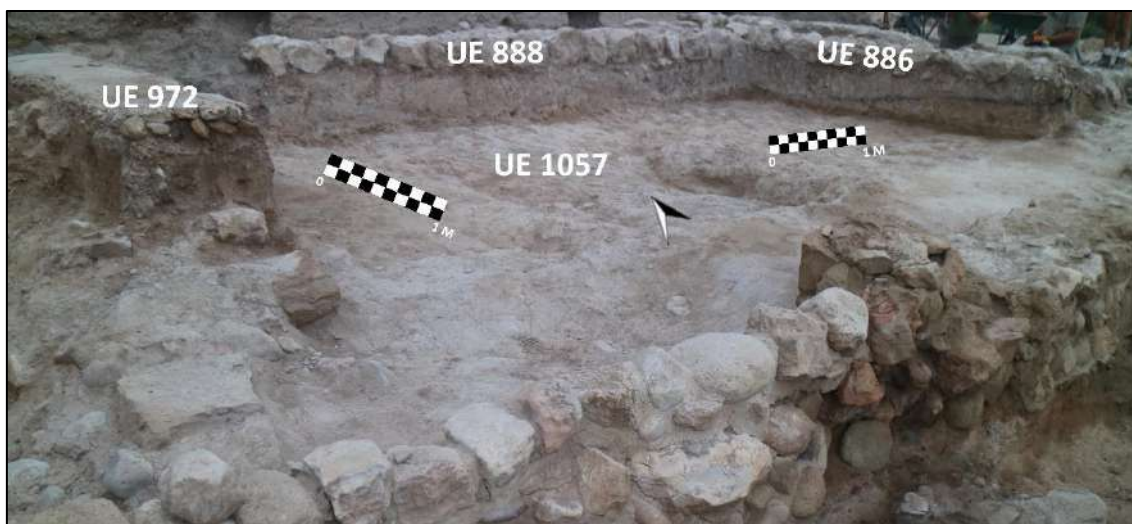
El siguiente nivel fue localizado bajo las capas **UUEE 1027, 1034 y 1039**, ocupando toda la superficie comprendida entre el pavimento **UE 972**, las estructuras **UUEE 886 y 888** y



el antiguo perfil N. Se le asignó la **UE 1057** a este paquete de tierra de tonalidad marrón claro y textura arcillosa y compacta (Figuras 25 y 26).



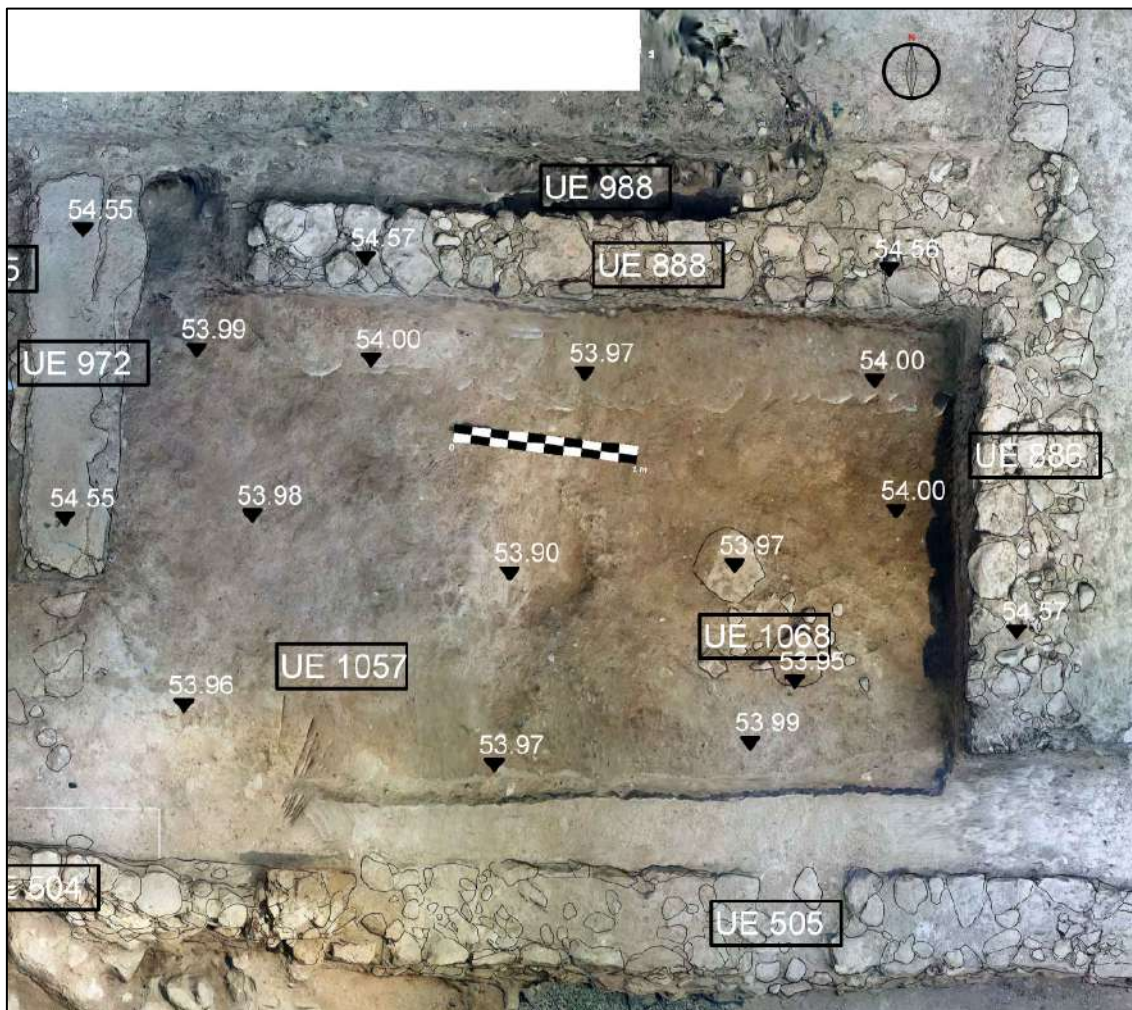
*Figura 25. Planta estratigráfica tras retirar UUEE 1027, 1034 y 1039 en la que indicamos la ubicación del nuevo estrato UE 1057.*



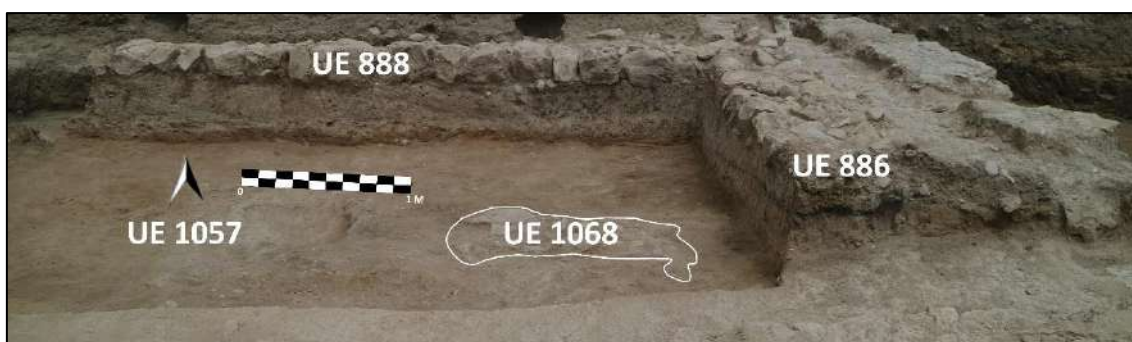
*Figura 26. Vista desde el SW del Ambiente 35A en la que indicamos la ubicación de la capa estratigráfica UUEE 1057.*

Tras dar comienzo a la excavación del paquete **UE 1057** finalizamos nuestra intervención en este Ambiente, sin haber finalizado su completa exhumación. Este proceso hizo que

en el ángulo SE de su superficie aflorase parcialmente una concentración de piedras a la que se le asignó la **UE 1068** (Figuras 27 y 28).



*Figura 27. Planta estratigráfica tras la excavación parcial de UE 1057, la cual hizo visible la acumulación de piedras UE 1068.*



*Figura 28. Vista desde el S del Ambiente 35A en la que mostramos el proceso de excavación UE 1057 y la acumulación de piedras UE 1068.*



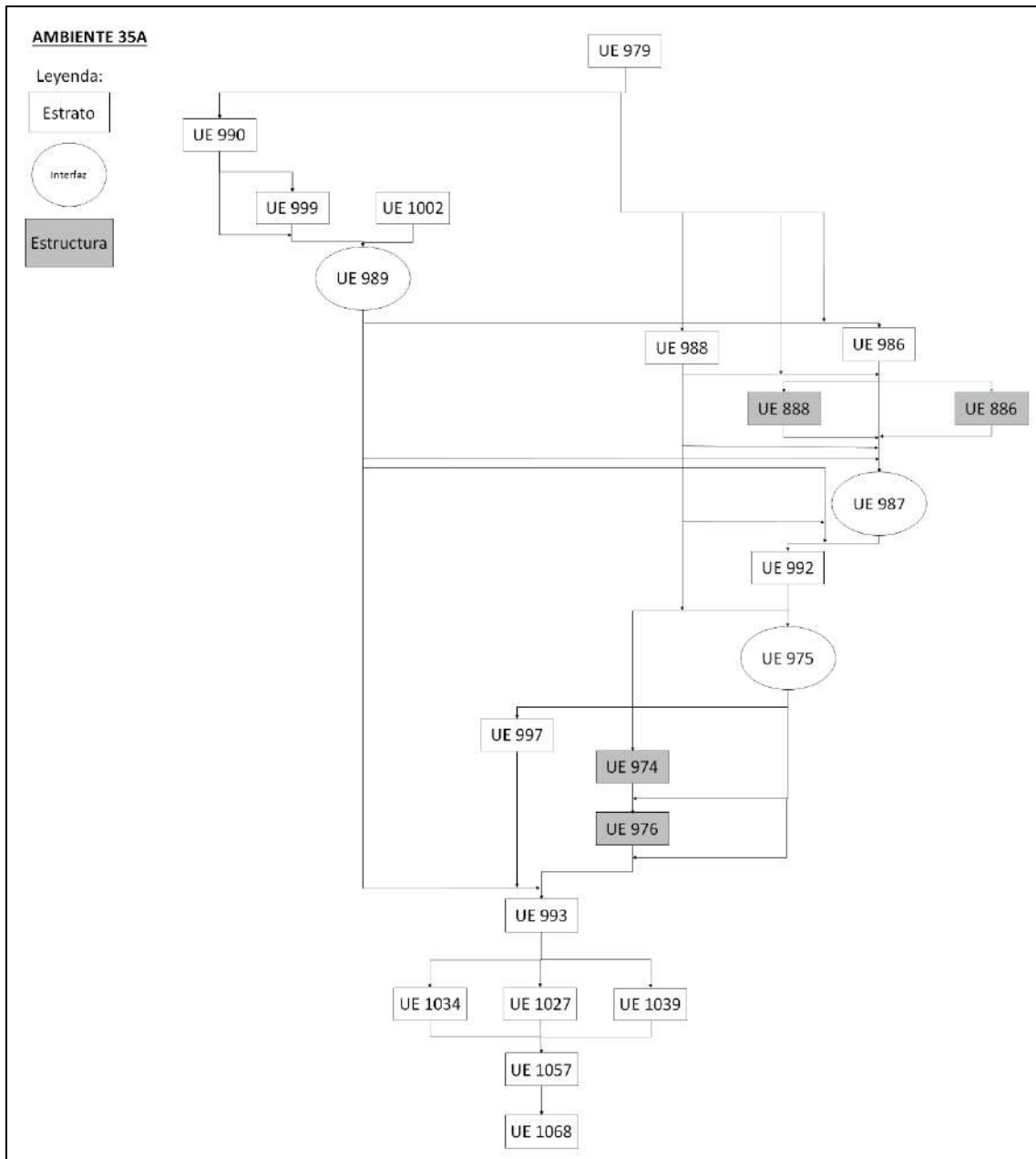
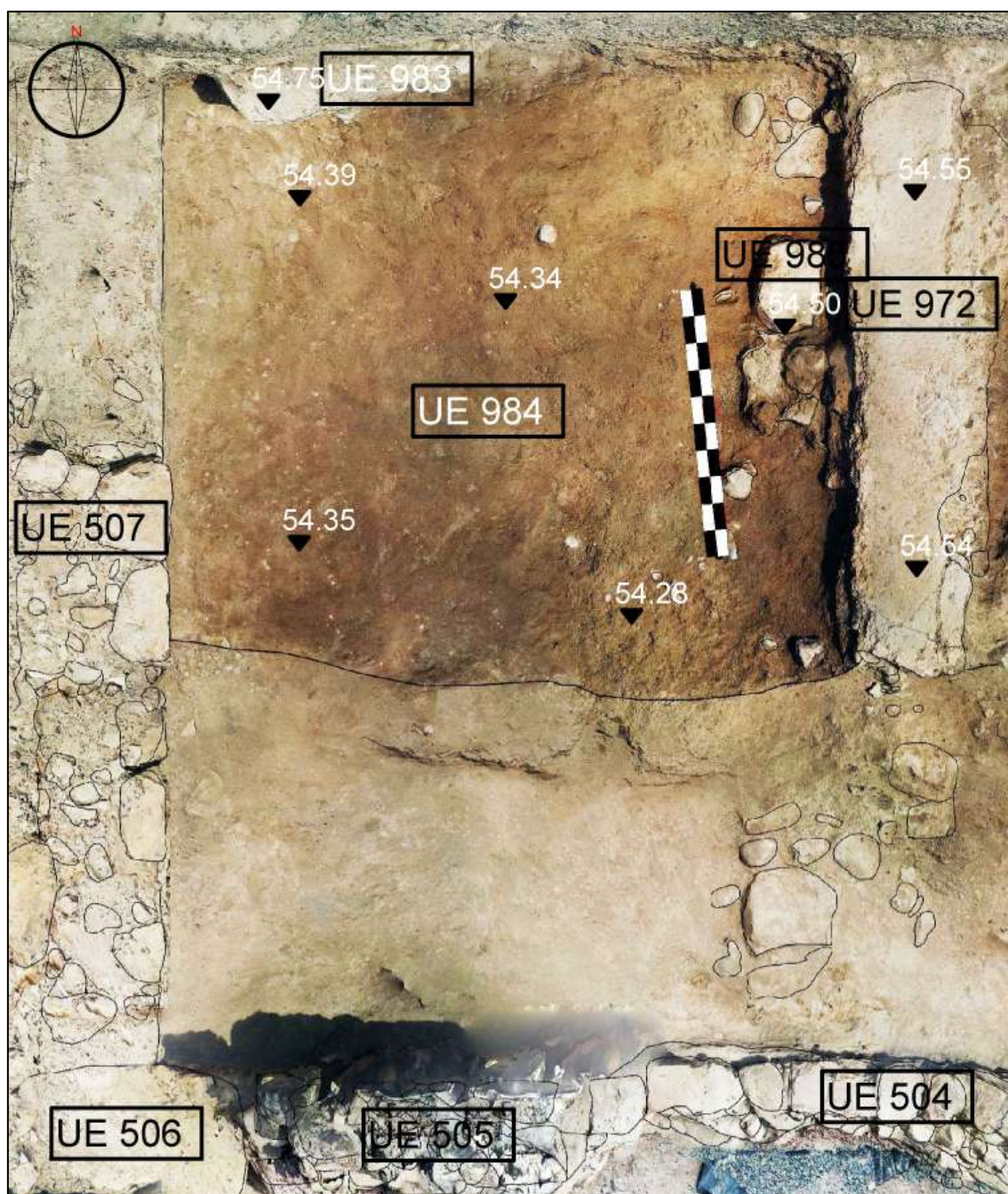


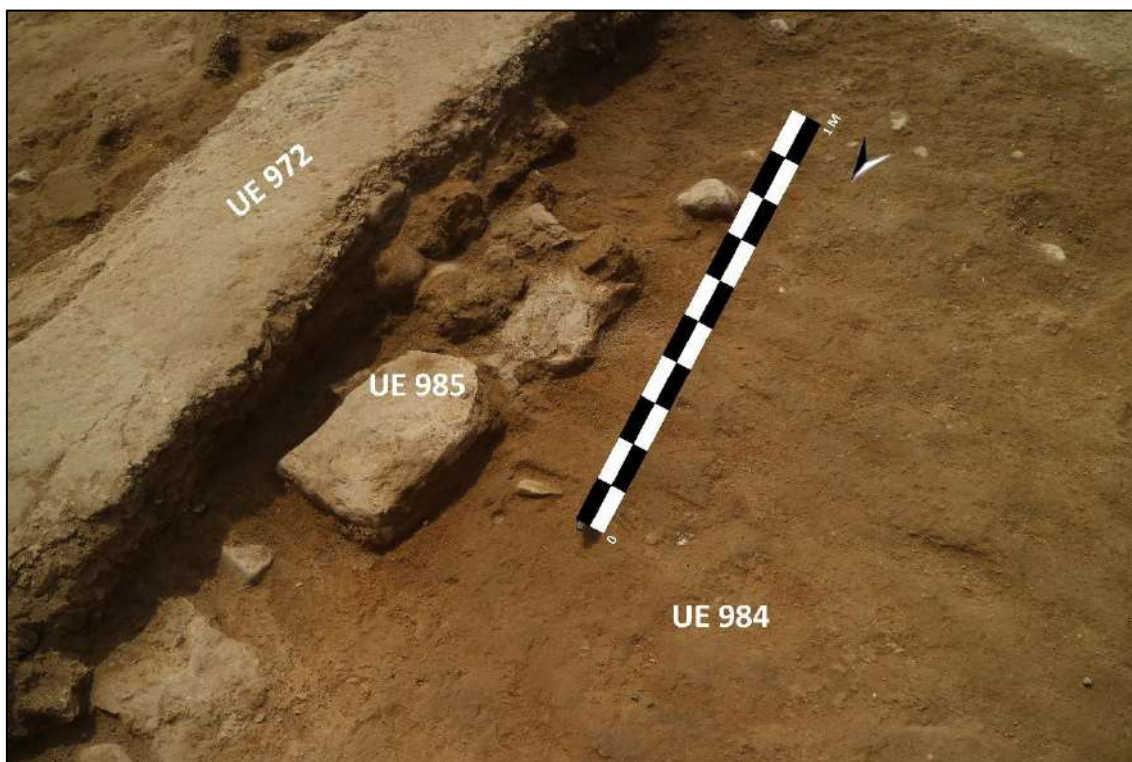
Figura 29. Matriz de Harris correspondiente a la excavación del Ambiente 35A.

**Ambiente 35**

*Figura 30. Planta estratigráfica tras la retirada de UE 978 y la aparición del nivel superficial UE 984 y de la estructura UE 985.*

Tal y como ya hemos enunciado, tras la remoción de **UUEE 978 y 979** fue hallada la estructura **UE 985**, la cual permitió actuar en el **Ambiente 35** de manera individualizada respecto al **Ambiente 35A**. El elemento que los dividía, **UE 985** era un tramo de muro orientado en sentido N-S realizado con mampuestos de tamaño grande y medio - aproximadamente 0'25 m de lado- del que se conservaba un tramo de 1'25 m de

longitud de su trazado, el cual conformaba un cuerpo de 0'3 m de anchura (Figuras 30 y 31).

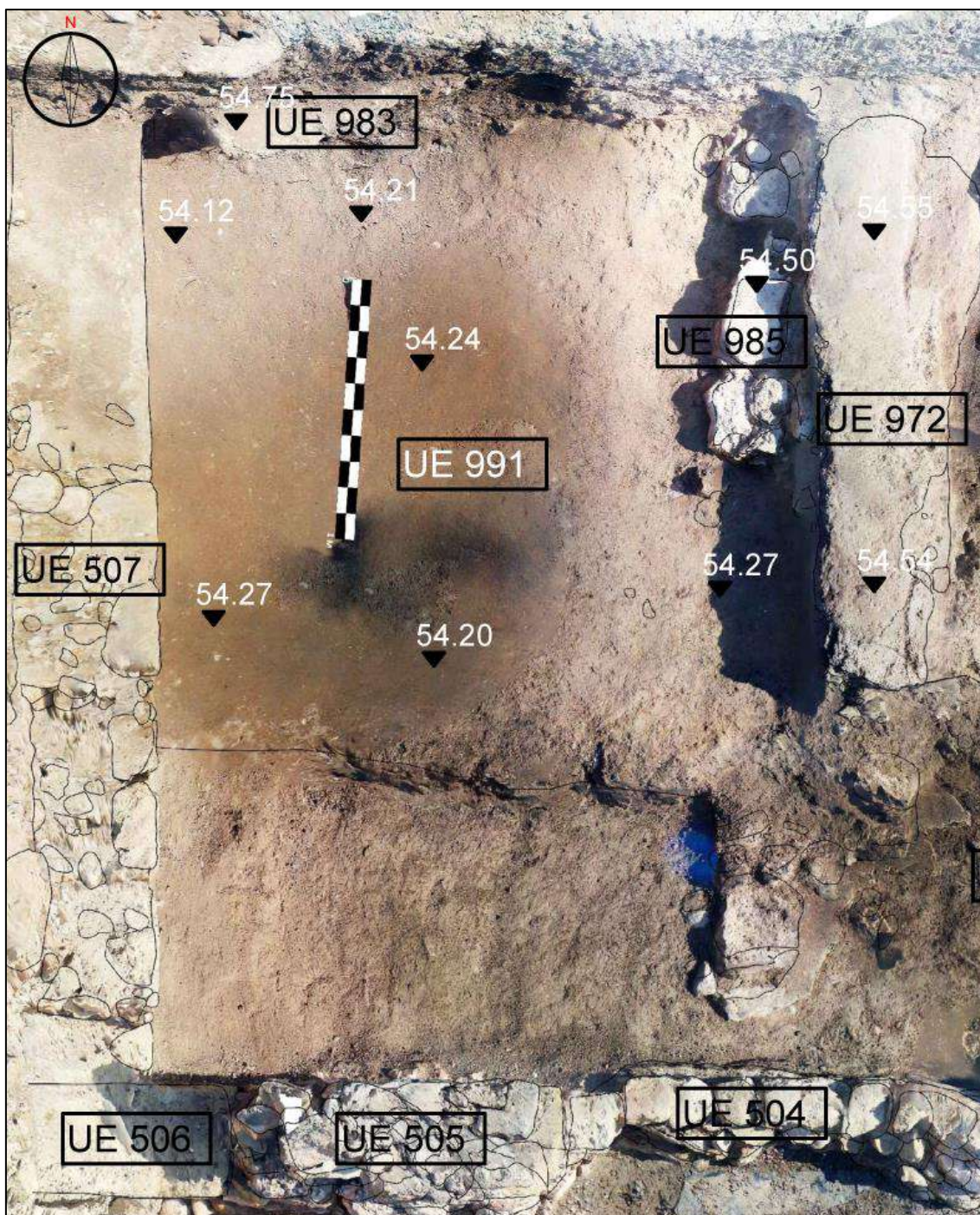


*Figura 31. Vista del Ambiente 35 desde el NW en la que indicamos la ubicación del muro UE 985 y del nivel superficial UE 984.*

El nuevo nivel superficial que quedó visible, **UE 984**, era una capa de tierra de tonalidad anaranjada con presencia de gravas en su composición, de textura arcillosa y compacta, que se apoyaba contra las estructuras que delimitan esta parte del Ambiente -**UUEE 985** y **507**- (Figuras 30 y 31).

Asimismo, resultaba visible un fragmento de pavimento que, desde el perfil N, se introducía ligeramente en el interior de este espacio. Identificado como **UE 983**, únicamente resultaba visible un tramo de *opus caementicium* de 0'23 x 1'06 m de su superficie. Resultaba imposible, por tanto, determinar si se trataba de un pavimento localizado *in situ* o si, por el contrario, era un fragmento de un suelo ya perdido que formaba parte de un nivel de relleno. Dado que de encontraba a una cota de 0'2 m sobre la superficie del pavimento **UE 972**, resulta improbable que se trate de la continuidad del mismo firme (Figura 30).





*Figura 32. Planta estratigráfica tras la retirada de UE 984 y la aparición del nivel superficial UE 991.*

Bajo **UE 984** apareció la siguiente capa de tendencia horizontal, **UE 991**. Estaba compuesto por tierra de tonalidad castaño-anaranjada y de textura arcillosa (Figuras 32 y 33).

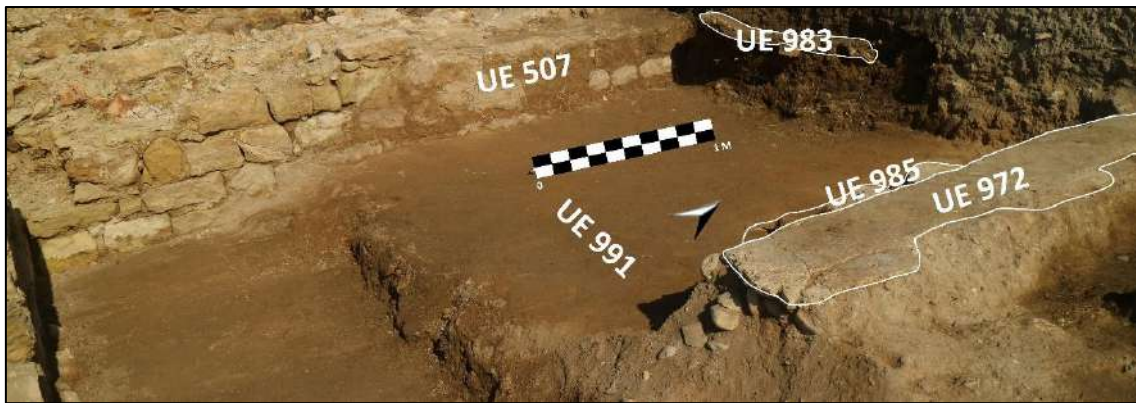


Figura 33. Vista desde el SE del Ambiente 35, en la que indicamos la ubicación del nivel superficial UE 991.

Su excavación mostró un nuevo muro de orientación E-W -UE 994- que dividía el espacio interno del **Ambiente 35** en dos nuevos Ambientes: el **Ambiente 51** al N del mismo y el **Ambiente 52** al S. A partir de este momento actuamos en cada uno de ellos de manera individualizada.

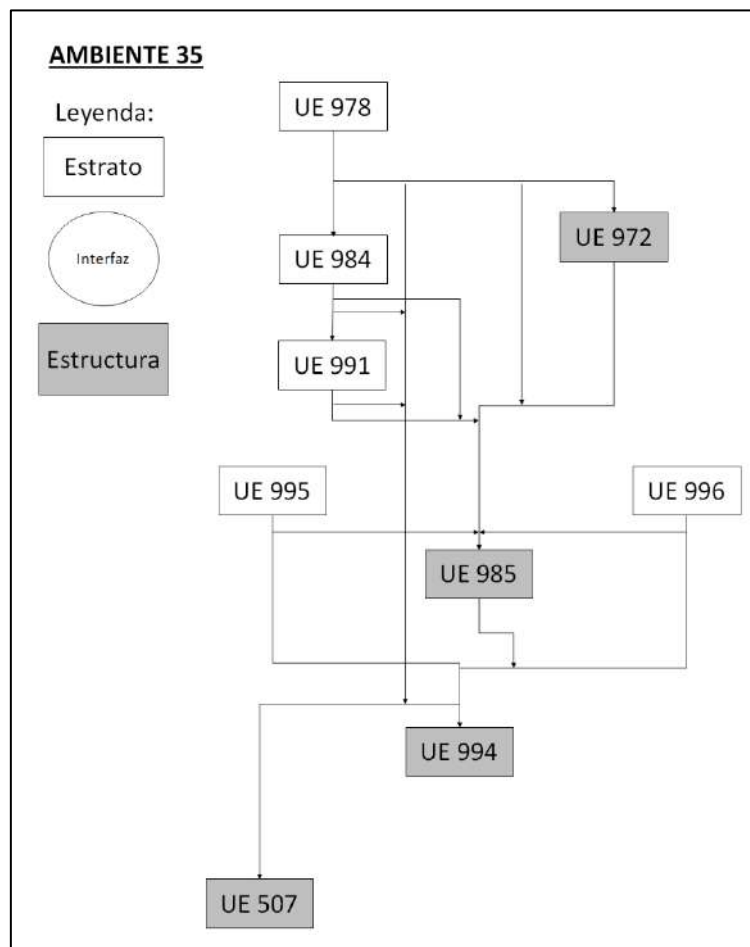
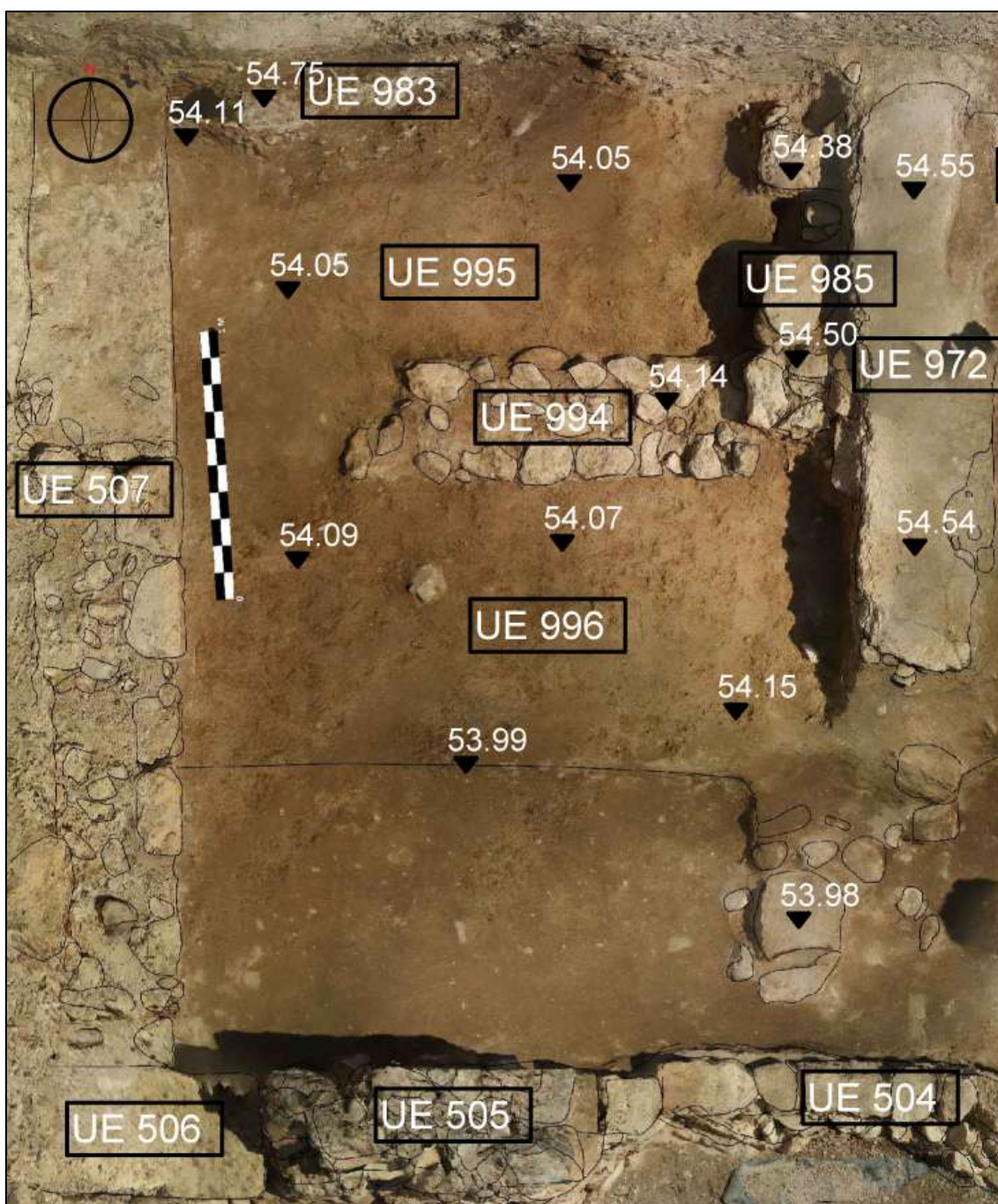


Figura 34. Matriz de Harris correspondiente a la excavación del Ambiente 35.



**Ambientes 51 y 52**

*Figura 35. Planta estratigráfica tras la retirada de UE 991 y la aparición del muro UE 994 y de los niveles superficiales UUEE 995 y 996.*

El lienzo **UE 994**, orientado en sentido E-W -parcialmente remontado por el muro **UE 985**- separaba al **Ambiente 51** del **Ambiente 52**. Con una anchura de 0'45 m, estaba realizado con mampuestos de piedra de tamaño mediano trabadas con tierra arcillosa.

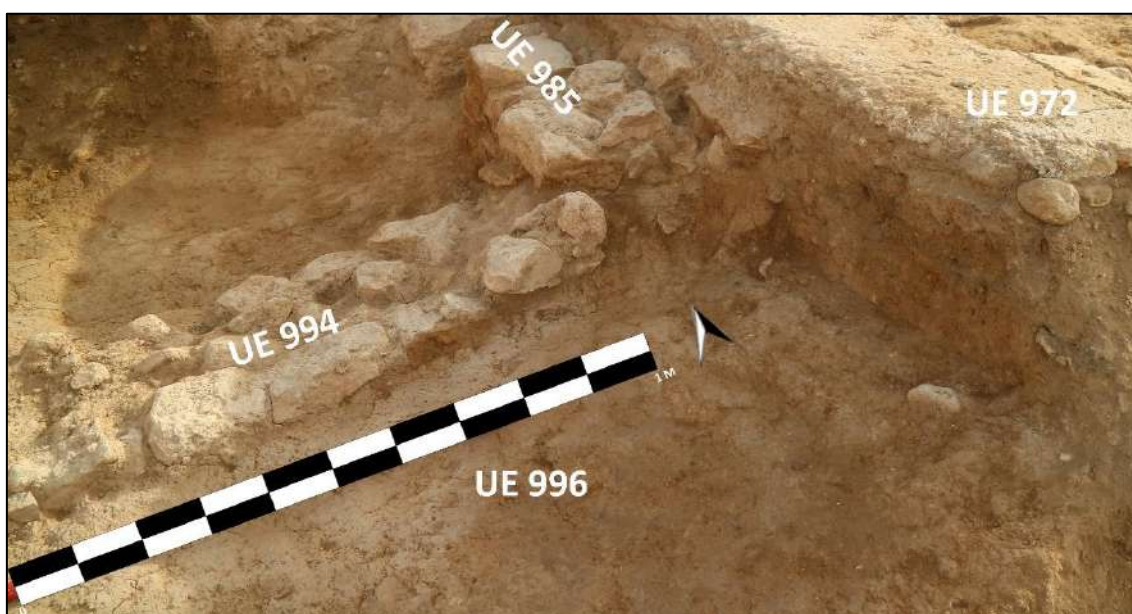


Conservaba 1'95 m de su trazado, el cual se veía interrumpido abruptamente en su extremo occidental, antes de alcanzar al lienzo **UE 507** (Figuras 35 y 36).

La mitad situada al N de **UE 994**, correspondiente al **Ambiente 51**, queda ocupada por **UE 995**, un paquete de tierra de tonalidad castaño-grisácea y de textura arcillosa. Se extiende por la superficie de 2'5 x 1 m existente entre los muros **UUEE 507, 985 y 994** y el perfil N (Figuras 35 y 36).

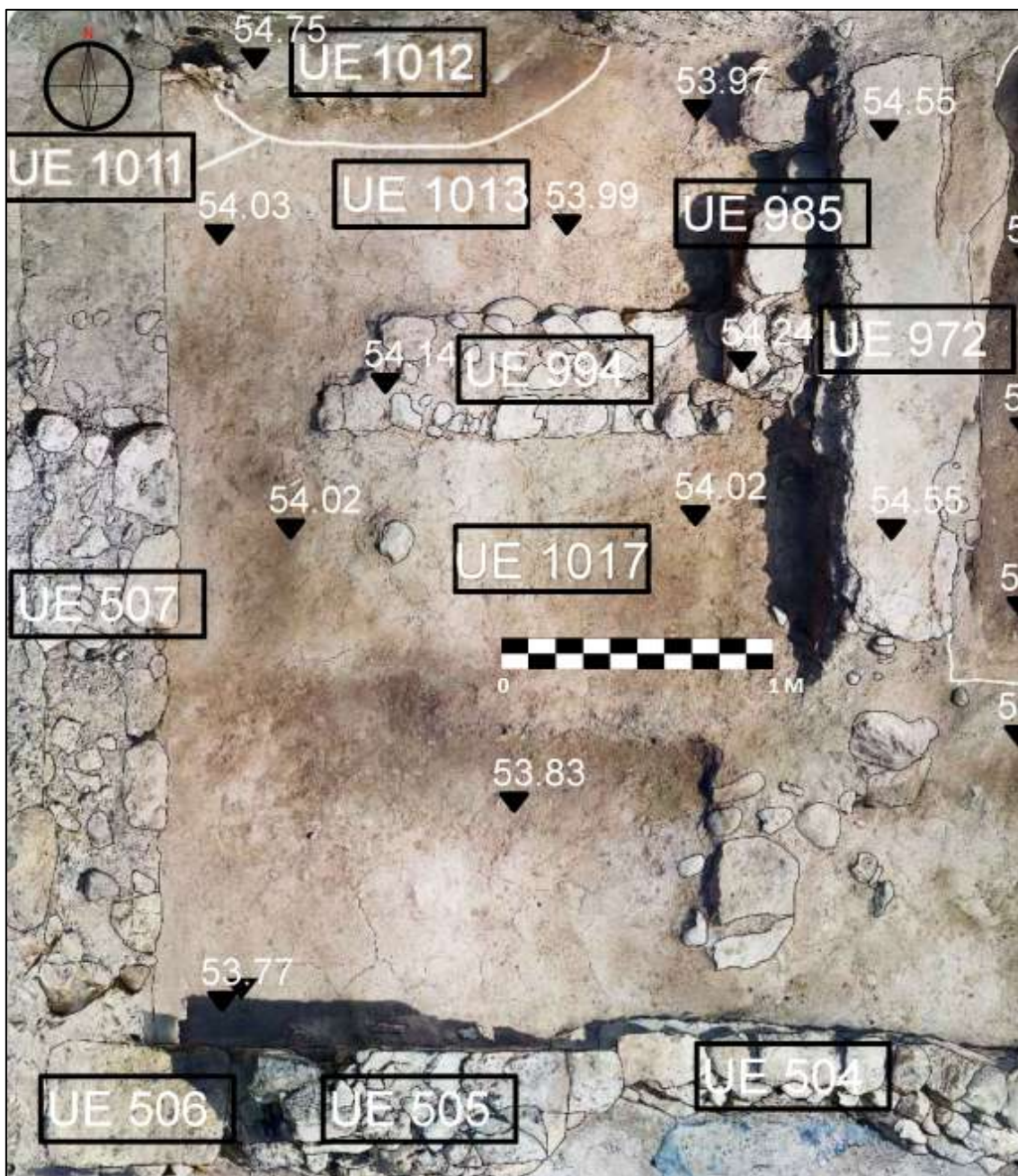


*Figura 36. Vista desde el S del Ambiente 51 en la que indicamos la ubicación del muro UE 994 y del nivel superficial UE 995.*



*Figura 37. Vista del Ambiente 52 desde el SW en la que se indica la ubicación del nivel superficial UE 996.*

La situación observada al S del muro **UE 994**, en el **Ambiente 52**, era similar, con una capa de tendencia horizontal extendiéndose por una superficie de 2'5 x 1'1 m. Este paquete -**UE 996**- estaba formado por tierra de tonalidad castaño-anaranjada y textura arcillosa (Figuras 35 y 37).

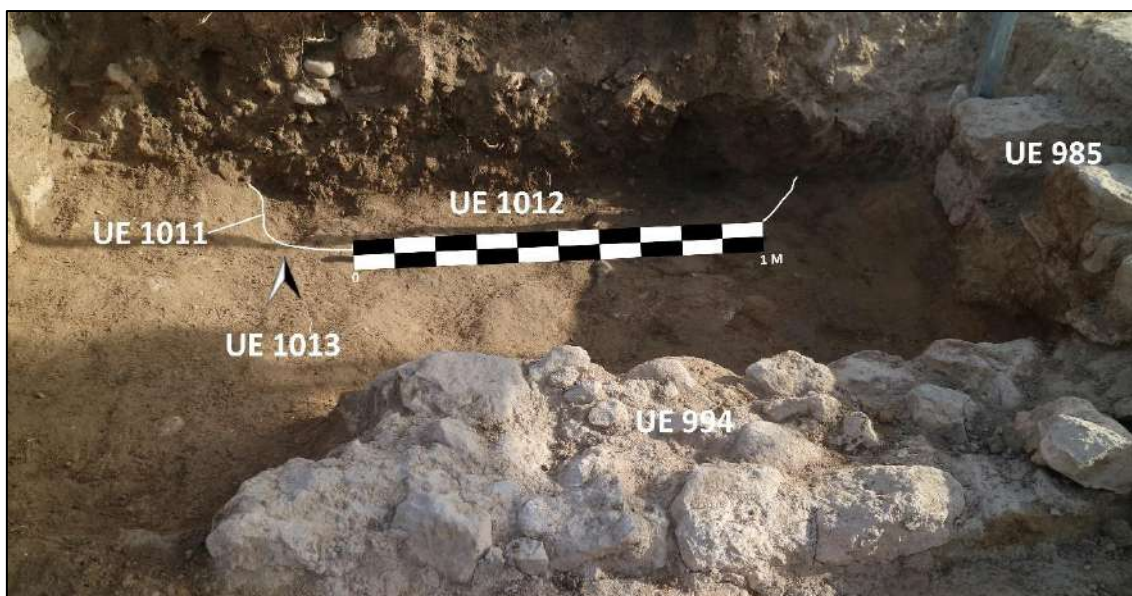


*Figura 38. Planta estratigráfica tras la retirada de UUEEE 995 y 996, en la que indicamos la ubicación de las capas UUEE 1013 y 1017 así como de UUEE 1011 y 1012.*

La excavación del **Ambiente 51** concluyó tras la remoción de **UE 995**. Bajo la misma se extendía una nueva capa superficial -**UE 1013**-. Estaba formado por tierra de tonalidad



marrón-anaranjada y de textura arcillosa y compacta. En su extremo N estaba cortada por una fosa de tendencia ovalada -UE 1011- cuyo trazado se perdía más allá del perfil N. El tramo visible tenía una superficie de 1'4 x 0'3 m. Su relleno -UE 1012- era un paquete de tierra disgregada de tonalidad marrón-grisácea, que presenta restos de mortero de cal, cantos rodados y malacofauna en su composición. (Figuras 38 y 39). Su excavación quedó pendiente para futuras intervenciones arqueológicas.



*Figura 39. Vista del Ambiente 51 desde el SW en la que se indica la ubicación del nivel superficial UE 1013 y de la fosa UUEE 1011 y 1012.*

Por el contrario, continuamos la intervención arqueológica en el **Ambiente 52**. La excavación de **UE 996** mostró una nueva situación estratigráfica, en la que el nuevo nivel superficial -**UE 1017**- abarcaba toda la superficie que había quedado ocupada previamente por la capa superpuesta. Estaba compuesta por tierra de tonalidad anaranjada y textura arcillosa. Únicamente pudo ser parcialmente excavada antes de finalizar la campaña 2023, por lo que su remoción deberá ser retomada en futuras intervenciones. Este proceso de excavación permitió documentar en su interior materiales cerámicos de tradición ibérica (Figuras 38 y 41). La completa ausencia de materiales de época imperial y el hecho de que la decoración de los cuerpos y fragmentos vasculares recuperados fuese exclusivamente de tipo geométrico lleva a proponer que se trata de un nivel claramente previo a la edificación de las Termas Orientales.

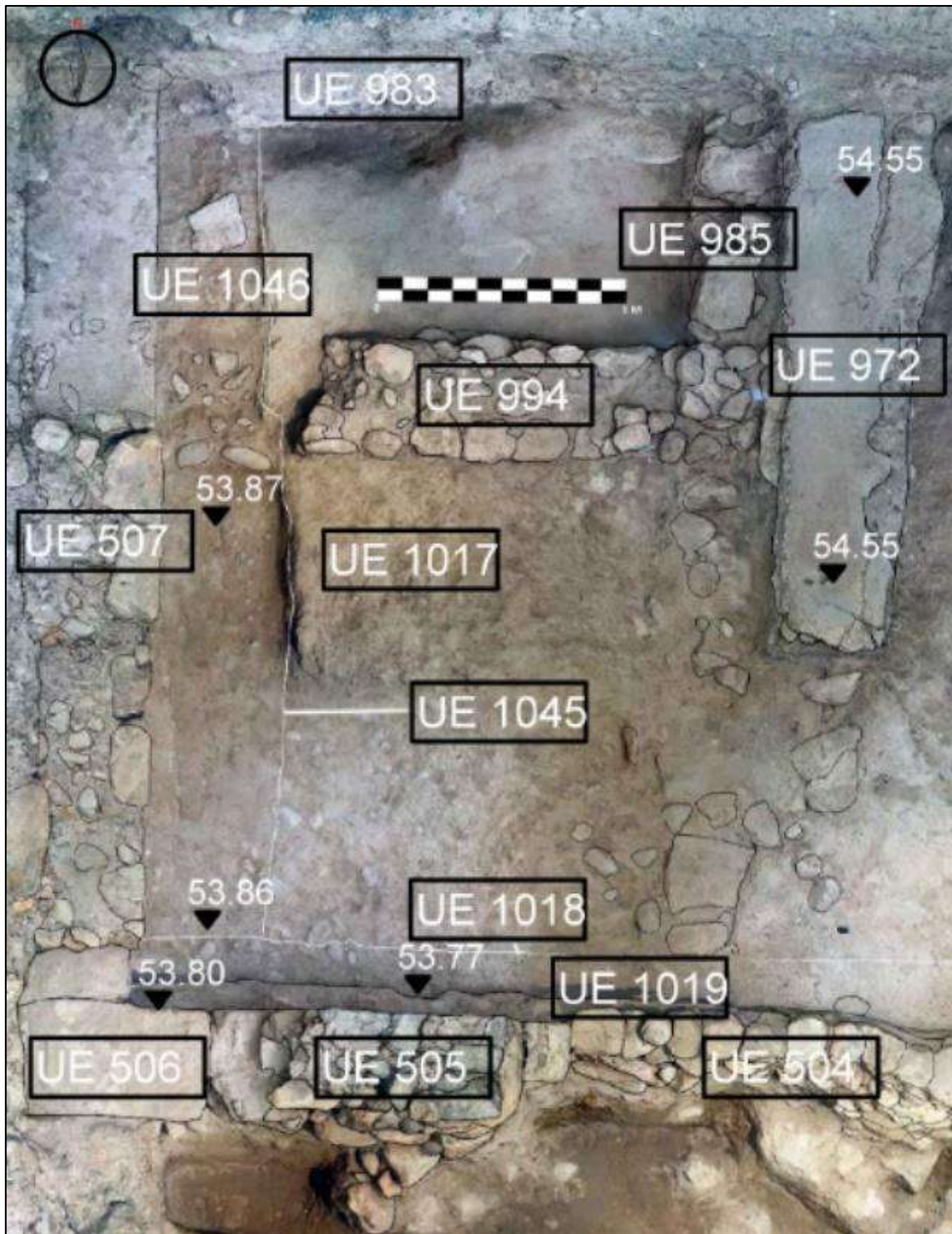


Figura 40. Planta estratigráfica tras la retirada de UE 996 en la que indicamos la ubicación de la capa superficial UE 1017. Indicamos asimismo la localización de las trincheras de fundación UUEE 1045 y 1046 y 1018 y 1019.





Figura 41. Vista en detalle del proceso de excavación de UE 1017 y del hallazgo de una pathera de cerámica de tradición ibérica, inventariada como LA'23-S7F-1017-02.

Finalizamos la intervención arqueológica de estos Ambientes con la identificación de una trinchera -UE 1045- orientada en sentido N-S y de una anchura de 0'55 m, paralela a la cara interna el muro UE 507 que cortaba a los niveles superficiales de los **Ambientes 51 y 52, UUEE 1013 y 1017** respectivamente. Estaba colmatada por UE 1046, una tierra muy disgregada de tonalidad marrón-grisácea (Figuras 40 y 42).

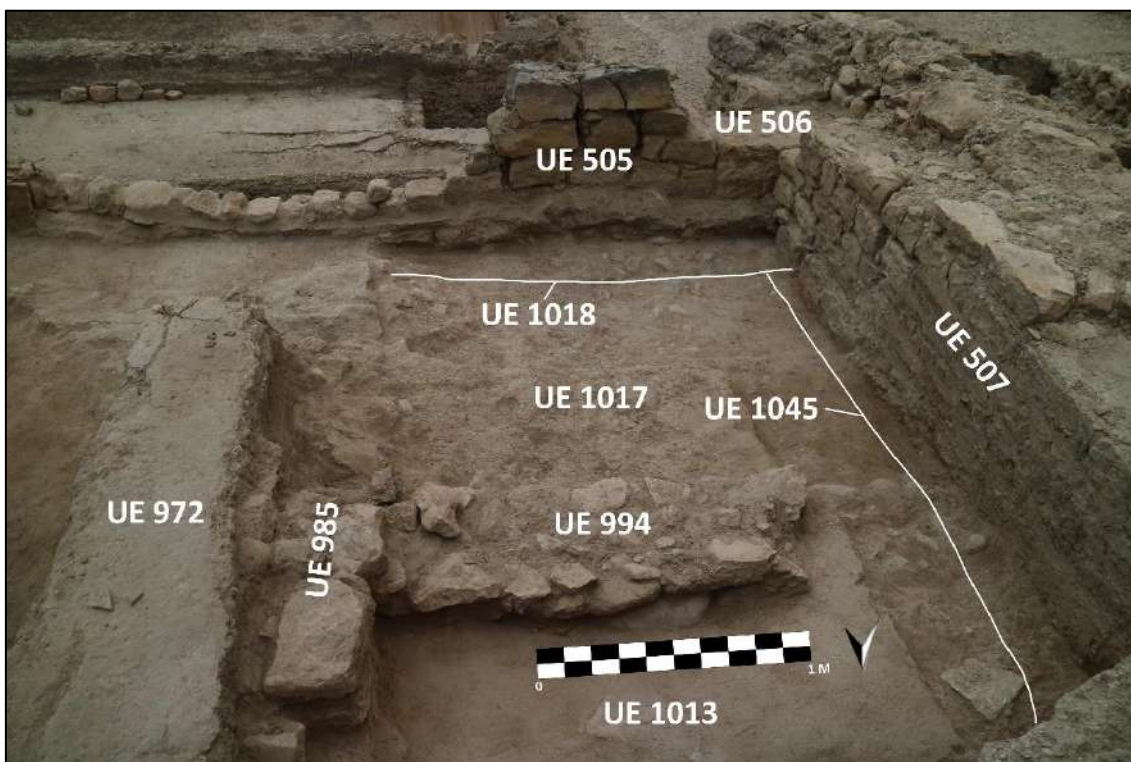


Figura 42. Vista desde el N de los Ambientes 51 y 52 en la que indicamos la ubicación de las trincheras UUEE 1045 y 1048 respecto a los lienzos UUEE 507, 506 y 505.



## Valoración

La intervención arqueológica desarrollada en la presente campaña en los **Ambientes 35 y 35A** ha resultado de sumo interés. El descubrimiento de los **Ambientes 51 y 52** en su interior y la naturaleza de los mismos muestra que, probablemente, esta parte del yacimiento no fue afectada por el primer momento edilicio del conjunto termal. De hecho, al menos el muro **UE 994** y los niveles asociados al mismo -**UUEE 1013 y 1017**- son previos al Alto Imperio tal y como se deduce del registro material. El muro **UE 985**, el cual remonta a **UE 994**, no parece relacionarse con el edificio termal, por lo que es probable que también fuese alzado previamente a la construcción de las Termas Orientales.

Las trincheras de fundación **UUEE 1045 y 1018** resultan especialmente relevante para entender la evolución y la sucesión de las fases constructivas de las termas. Ambas recortan a niveles previos al edificio termal, pero su secuencia cronológica aporta datos de gran importancia en esta dirección. Así, la trinchera **UE 1045** está asociada a la fundación del muro **UE 507**, que relacionamos con la fase inicial de las termas. Posteriormente, esta trinchera es seccionada para instalar una fundación posterior -la de los lienzos **506 y 505**-, por lo que todo este frente murario es una refacción que altera el aspecto original del complejo. Además, permite destacar que toda esta zona del yacimiento, en principio, no tuvo uso u ocupación en la primera fase de las Termas Orientales. Es posible, por tanto, que en la primera fase de vida del edificio no existiesen estancias o espacios más allá del límite N del gran patio presidido por la *natatio*.

Los resultados de la excavación realizada en el interior del **Ambiente 35A** apuntan en esta misma dirección. La presencia del pavimento **UE 972 in situ** debe relacionarse con la reforma de las termas y con la creación de un nuevo circuito calefactado en el extremo NW del edificio. Hemos interpretado que una gran fosa destruyó buena parte de este pavimento, dejando únicamente un pequeño tramo del mismo así como parte de su preparación, **UUEE 974 y 976**. En los rellenos de esta fosa **UE 975 -UUEE 988, 992 y 993** se asentó la fundación de una nueva estancia, de la que las estructuras **UUEE 888 y 886** son parte de sus fundaciones. Esta nueva construcción tuvo que realizarse necesariamente en un momento posterior a la pérdida del uso original, al menos, de

esta parte del edificio termal y podría corresponder al momento de reutilización de otros espacios del complejo realizados en la Antigüedad Tardía.

El pavimento **UE 972** -y su fundación- se asentaban sobre un paquete de nivelación **-UE 1027-**, el cual se encuentra a la misma cota que **UUEE 995 y 996**, las capas que cubren a los niveles de ocupación previa a la construcción del edificio. Podrían tratarse, por tanto, de rellenos empleados como base para la construcción de un pavimento ya durante la creación del nuevo circuito termal. Bajo **UE 1027** registramos un paquete de tierra arcillosa **-UE 1057-** similar en composición y textura a **UUEE 1013 y 1017** que, además, fue hallado a la misma cota. Dado que su excavación quedó inconclusa no se ha podido comprobar si presenta la misma cronología, claramente anterior al Alto Imperio. Sin embargo, muestra que en ese momento no existían estructuras relacionadas con el edificio termal en esta parte del yacimiento.



## 4.5. Ambiente 49

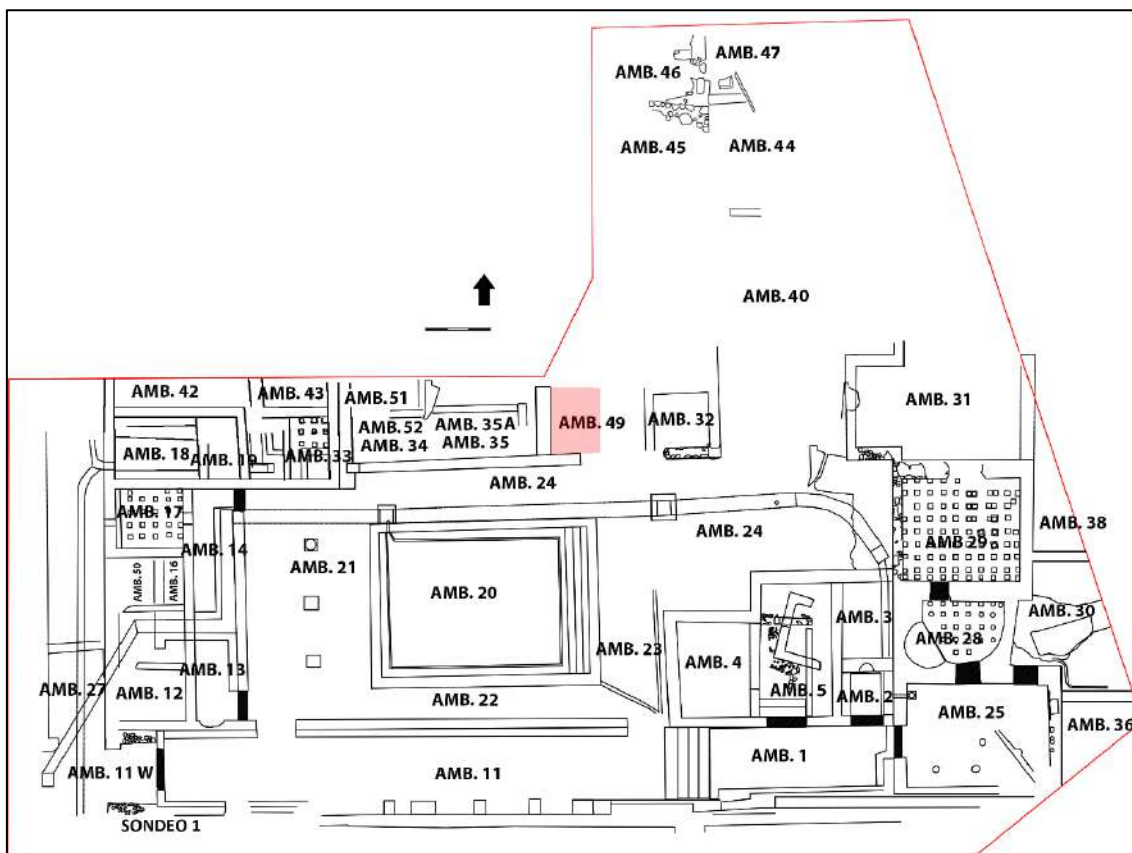


Figura 44. Plano de las Termas Orientales en el que destacamos (en rojo) el área intervenida en el interior del Ambiente 49 en la campaña 2023.

La excavación del **Ambiente 49** inició en la campaña 2022, por lo que la intervención realizada implicó la continuidad de los trabajos previamente realizados. Se trata de un espacio comprendido entre el extremo septentrional del gran patio de la *natatio* - **Ambiente 24**-, el **Ambiente 35** -situado inmediatamente al W- y el perfil N. Si bien es cierto que, en principio, se extiende hacia el E hasta las estructuras que delimitan al **Ambiente 32**, concentramos nuestra intervención en su mitad occidental. Generamos así un área de trabajo de 4 x 5'5 m (Figura 44) enmarcada por las siguientes estructuras (Figura 45):

- **UE 496.** Muro de gran potencia orientado en sentido N-S. Se trata de un encofrado de mortero de cal con presencia de piedras que presenta una anchura regular de 0'60 m. Separaba entre sí a los **Ambientes 49** y **35**.

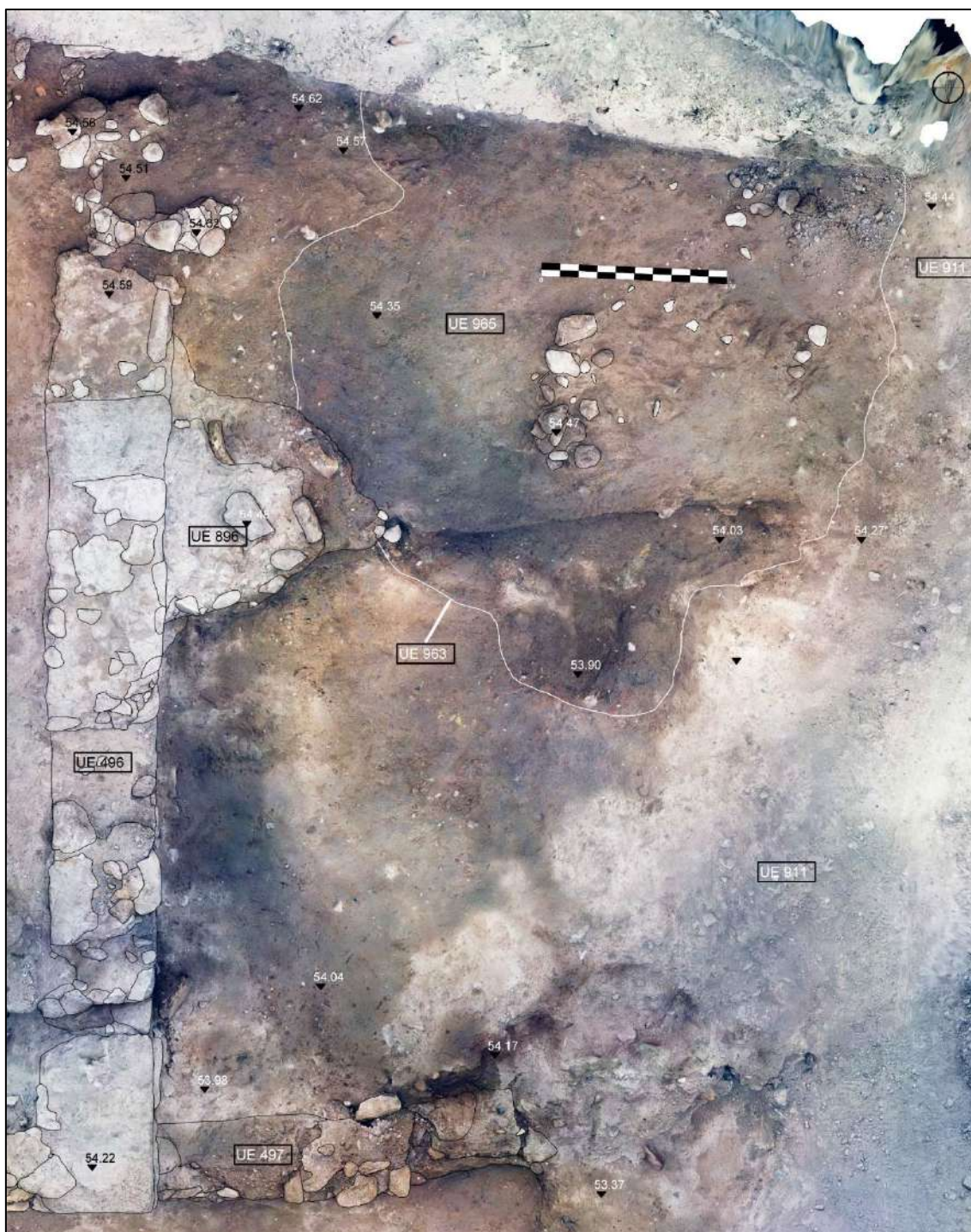


Figura 45. Planta estratigráfica tras la retirada de UE 985 en su mitad septentrional, en la que indicamos la ubicación de la capa superficial UE 911, la fosa UE 963 y la acumulación de piedras UE 896.

- **UE 497.** Lienzo de orientación E-W que se adosa a la cara oriental de **UE 496**. Realizado mediante un encofrado de mortero de cal y piedras, marca la



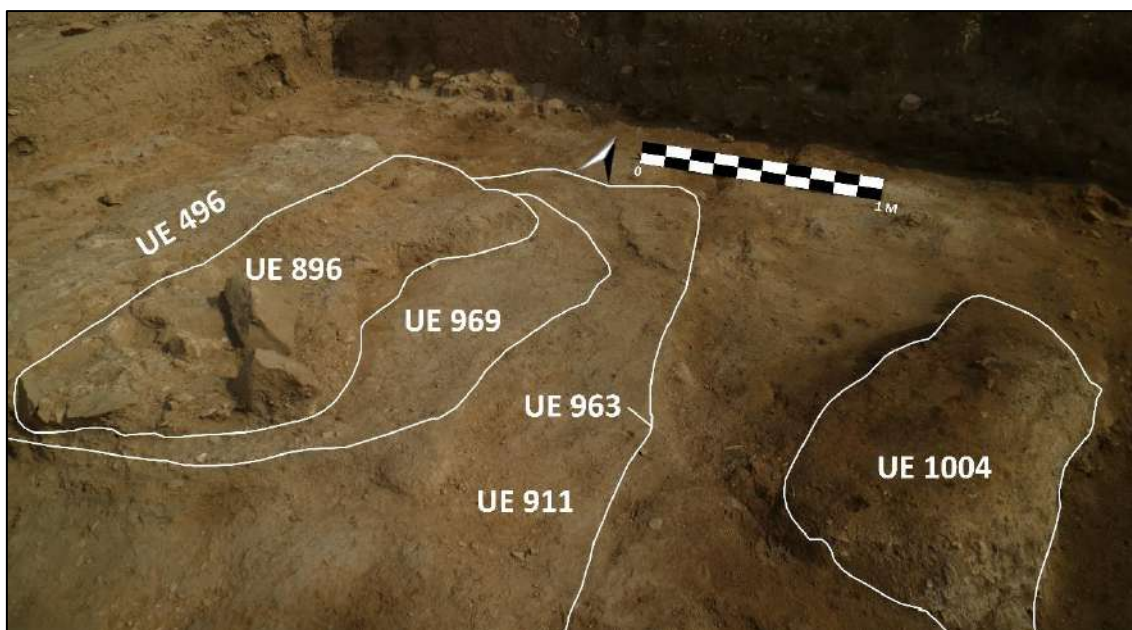
separación entre el **Ambiente 49** y el **Ambiente 24**. De 0'4 m de anchura, del que se conserva únicamente 1'9 m de su trazado.



Figura 46. Planta estratigráfica tras finalizar la retirada de UE 965 -relleno de la fosa UE 963- y de la acumulación de piedras UE 896, donde se indica la ubicación del nivel superficial UE 911 y de los restos de pavimento UE 969.

Dado que durante la intervención realizada en 2022 se actuó preferentemente en la mitad meridional de este espacio, iniciamos nuestra actividad igualando su superficie mediante la retirada de los paquetes estratigráficos que únicamente habían sido parcialmente exhumados. Así, tras la extracción de **UE 895** en la mitad septentrional del Ambiente, toda la superficie del área de intervención quedó ocupada por **UE 911**, un paquete heterogéneo de tierra de tonalidad parda-anaranjada y textura granulosa (Figura 45).

Siguiendo esta misma línea de actuaciones, acometimos la retirada de los restos del relleno **UE 865**, el cual colmataba el interior de la fosa **UE 863**. Finalmente, iniciamos el desmonte de la acumulación de piedras **UE 896**. Bajo la misma quedó expuesto un pequeño tramo de tierra apisonada -**UE 969**- que se apoyaba contra la cara oriental del muro **UE 496** (Figuras 46 y 47).



*Figura 47. Vista desde el SE del Ambiente 49 en la que indicamos la ubicación de las evidencias de pavimento UUEE 969 y 1004.*

Del mismo modo, en el fondo de la fosa **UE 963** -y recortado por ella- fue visible **UE 1004**, una capa horizontal de tierra compacta que pudo formar asimismo parte de un pavimento ya perdido, del que únicamente se conservaba un tramo orientado en sentido NE-SW de 1'4 x 0'45 m de superficie (Figuras 47 y 48).



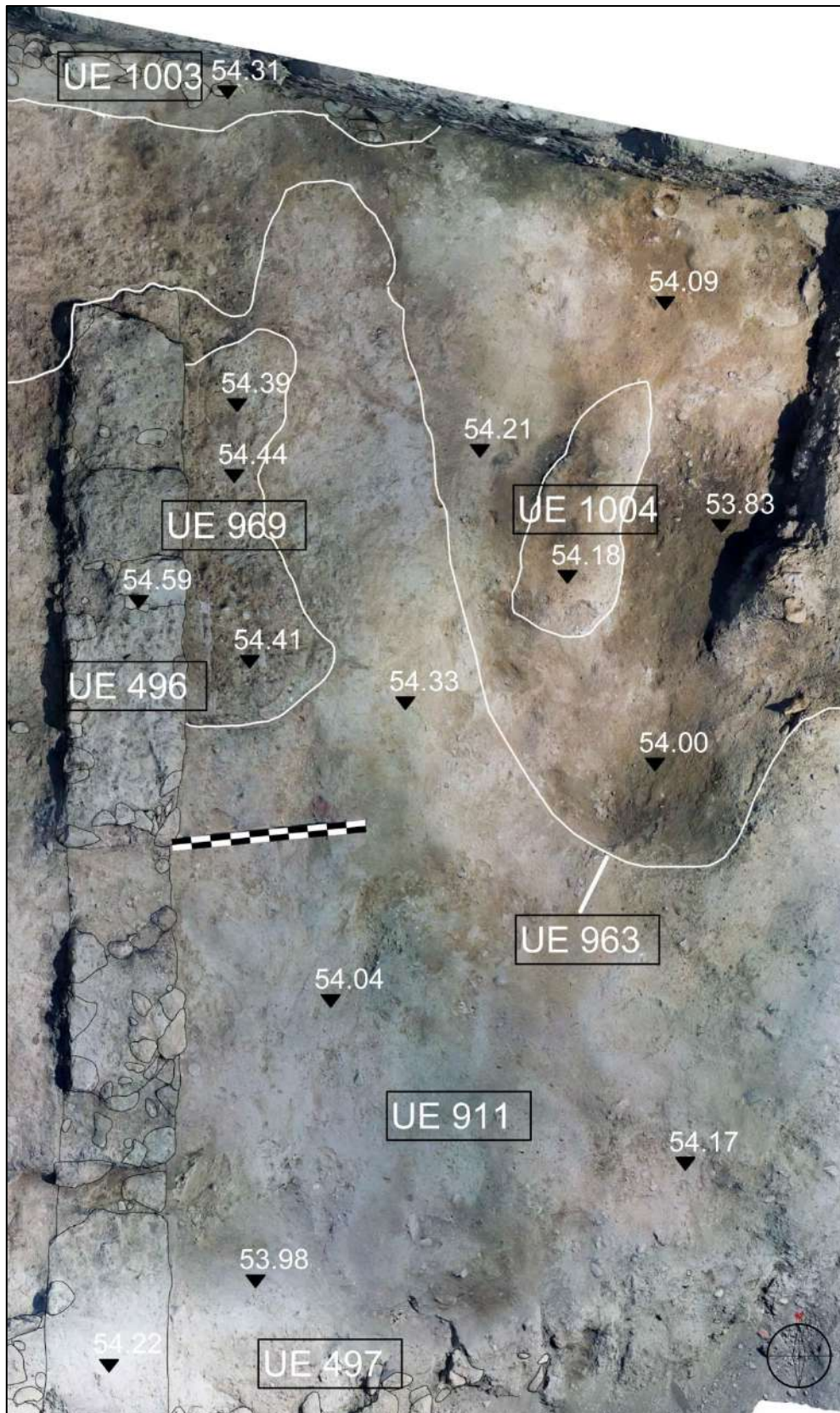
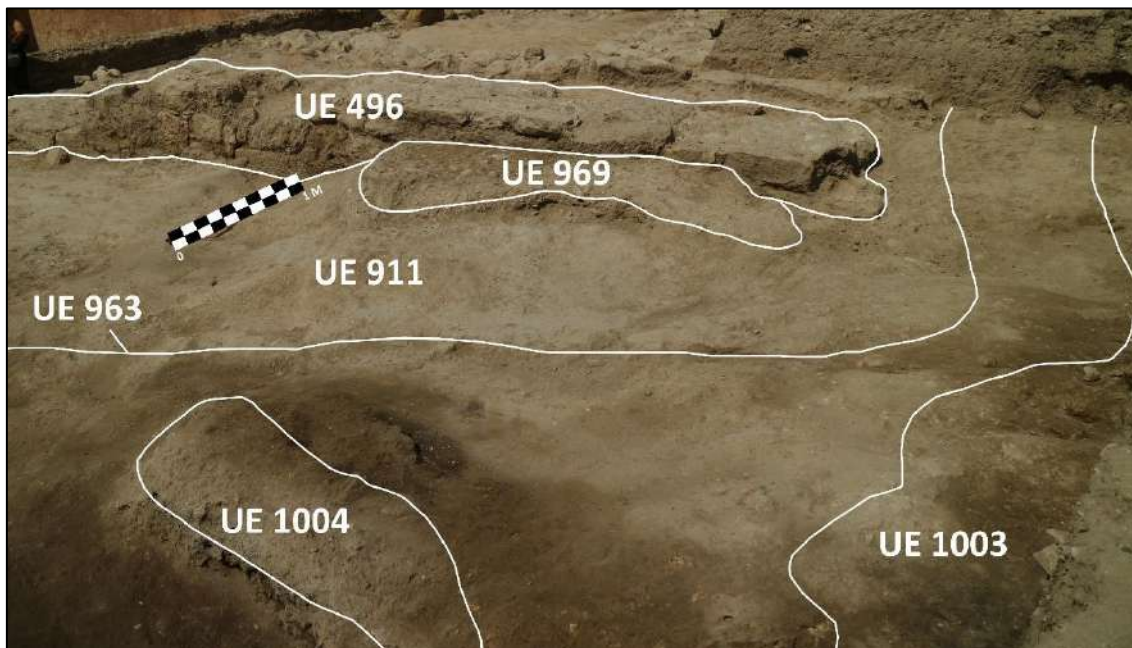


Figura 48. Planta estratigráfica tras finalizar la exhumación de la fosa UE 963 y la retirada completa de UE 896, donde se indica la ubicación de los restos de pavimento UUEEE 969 y 1004 y del estrato UE 1003.

La redefinición del contorno de la fosa **UE 1063** que tuvo lugar tras su vaciado documentó que cortaba parcialmente al tramo septentrional del muro **UE 496**. También recortaba a **UE 1003**, una acumulación de estucos documentada junto al perfil N. Fue imposible documentar sus dimensiones completas, ya que desaparecía más allá de dicho perfil (Figura 48).



*Figura 49. Vista desde el NE del Ambiente 49 en la que indicamos la ubicación de las evidencias de pavimento UUEE 969 y 1004, así como la de la acumulación de estucos UE 1003.*

Nuestro siguiente paso -siguiendo el debido orden de actuación marcado por la estratigrafía- fue llevar a cabo el desmonte del posible nivel de pavimento **UE 969**. Bajo el mismo apareció una capa de tierra de tonalidad grisácea y textura compacta y granulosa que abarcaba la misma superficie que el paquete superpuesto retirado. Fue identificado como **UE 1010**. La naturaleza, características y ubicación de esta capa nos llevan a considerarla como un nivel de preparación realizado para asentar el firme registrado como **UE 968**. También cabe la posibilidad de que se tratase de un nivel de firme previo, el cual fue amortizado y reparado por UE 968. En cualquier caso, la escasa superficie conservada anula la posibilidad de esclarecer completamente cuál pudo ser su función (Figuras 50 y 51).



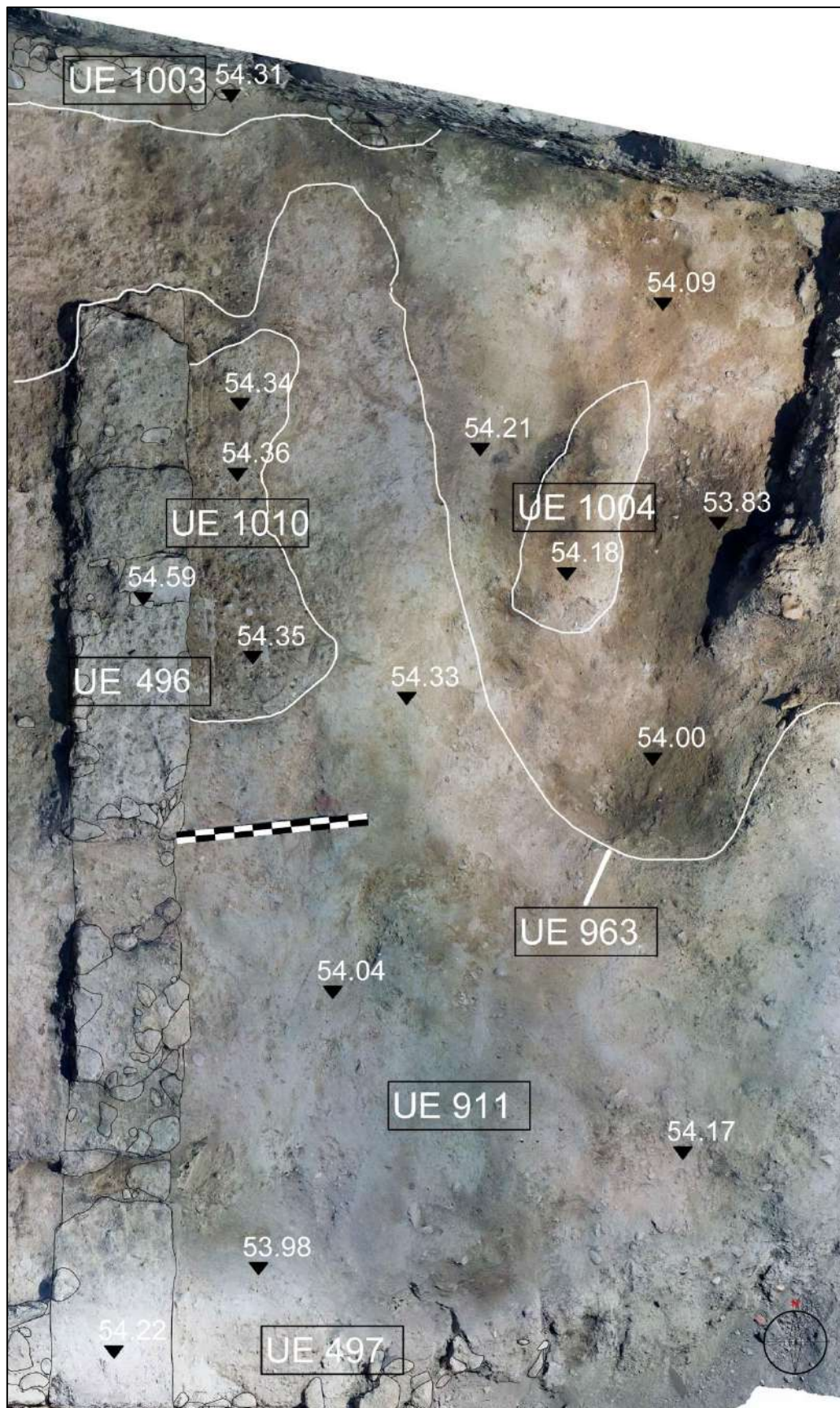
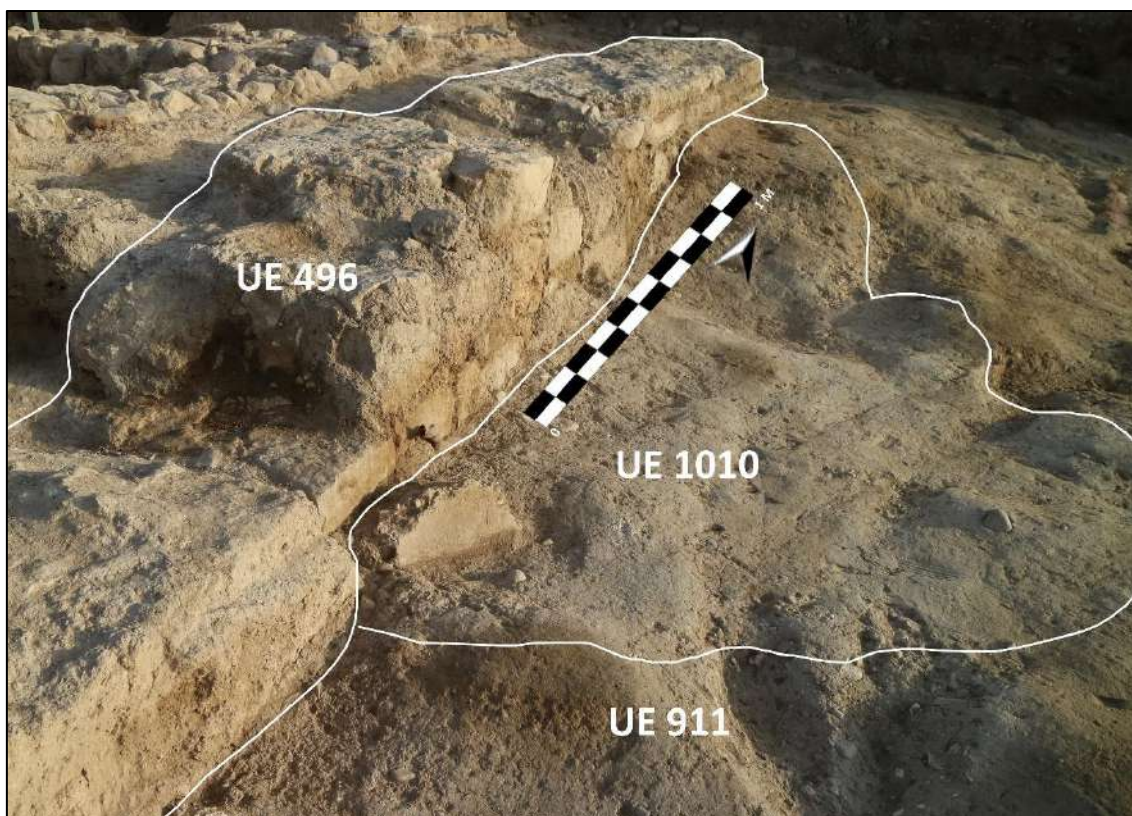


Figura 50. Planta estratigráfica tras retirar UE 969, donde se indica la ubicación de la capa UE 1010.

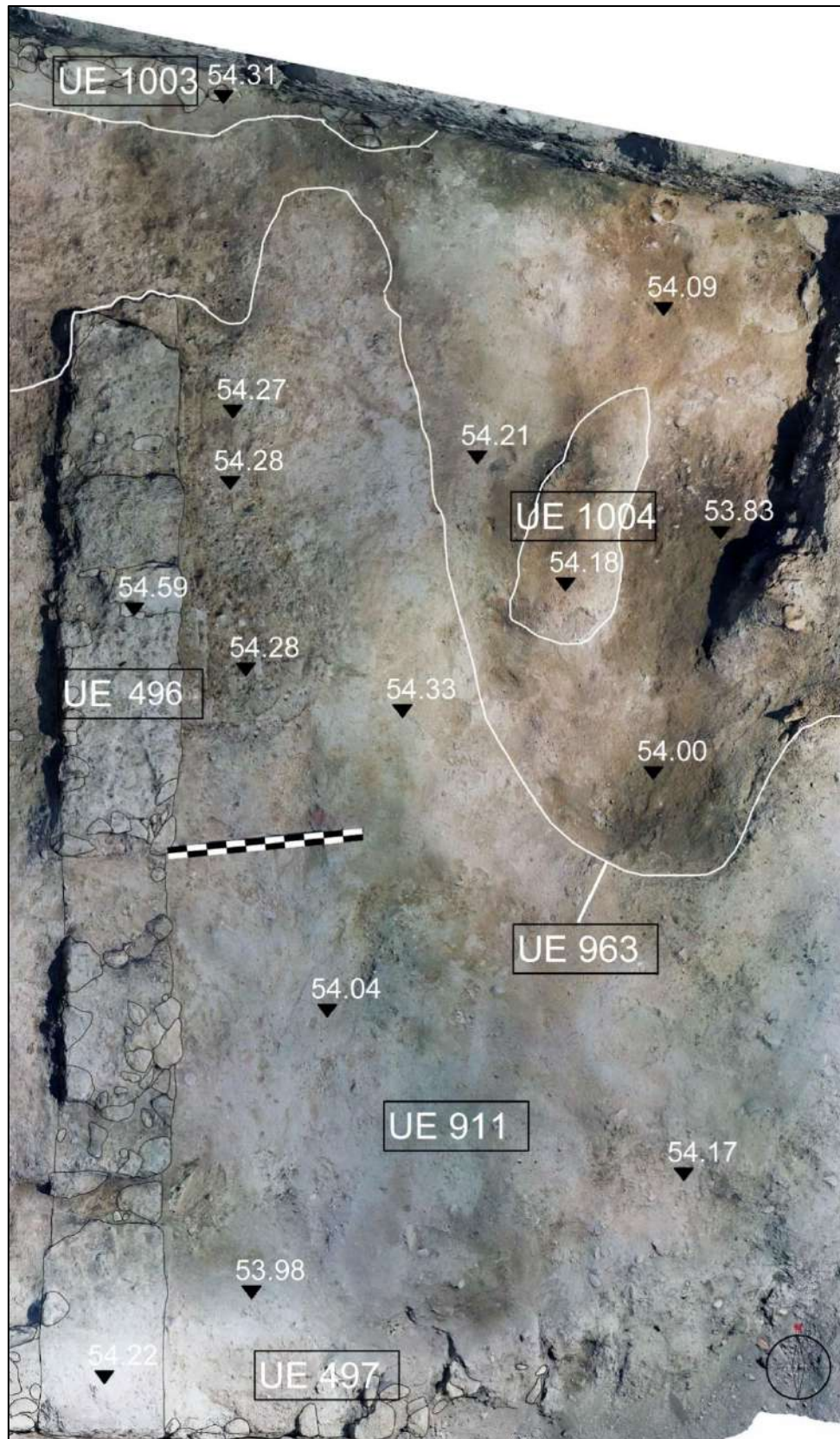




*Figura 51. Vista desde el SE del Ambiente 49 en la que indicamos la ubicación de UE 1010.*

Con su retirada, la superficie abarcada por el nivel superficial **UE 911** quedó completamente visible. La única excepción era el extremo NE, donde la fosa **UE 963** lo recortaba (Figura 52).

Tras su documentación, las mitades septentrional y meridional del Ambiente habían quedado finalmente igualadas en una misma situación estratigráfica, dominada **por UE 911**. Por tanto, tras su adecuada documentación fue finalmente posible proceder a levantar esta capa, así como también la acumulación de estucos **UE 1003** y las evidencias de pavimento **UE 1004**. Infrapuesta a ella, encontramos un nuevo escenario estratigráfico en el que **UE 1035** ejercía de nivel superficial. Esta capa de tierra de tonalidad marrón y textura poco compacta, con una abundante densidad de materiales arqueológicos en su interior, se extendía por toda la superficie del Ambiente. Afloraban a la superficie desde dentro de este paquete estratigráfico, en su extremo SE, una acumulación de piedras que fue identificada como **UE 1038** (Figuras 53 y 54).



*Figura 52. Planta estratigráfica tras retirar UE 1010, donde se muestra el nivel superficial UE 911 abarcando toda la superficie del Ambiente -con la excepción de la fosa UE 963-.*



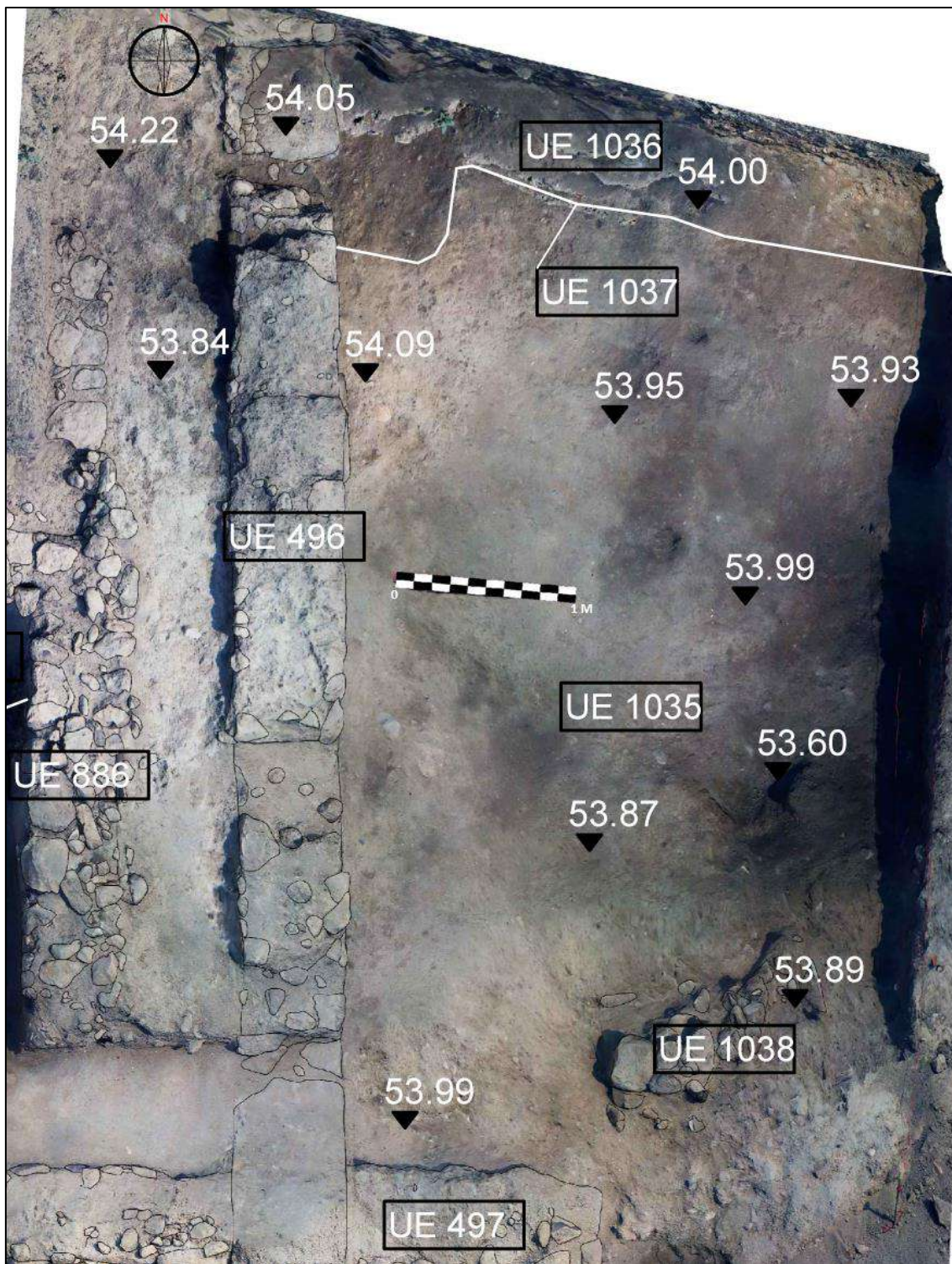


Figura 53. Planta estratigráfica tras retirar UE 911, donde se muestra la ubicación del nivel superficial UE 1035, la acumulación de piedras UE 1038, la trinchera UE 1037 y su relleno UE 1036.





Figura 54. Vista desde el SE del Ambiente 49 en la que indicamos la ubicación del nivel superficial UE 1035 y de la acumulación de piedras UE 1038.

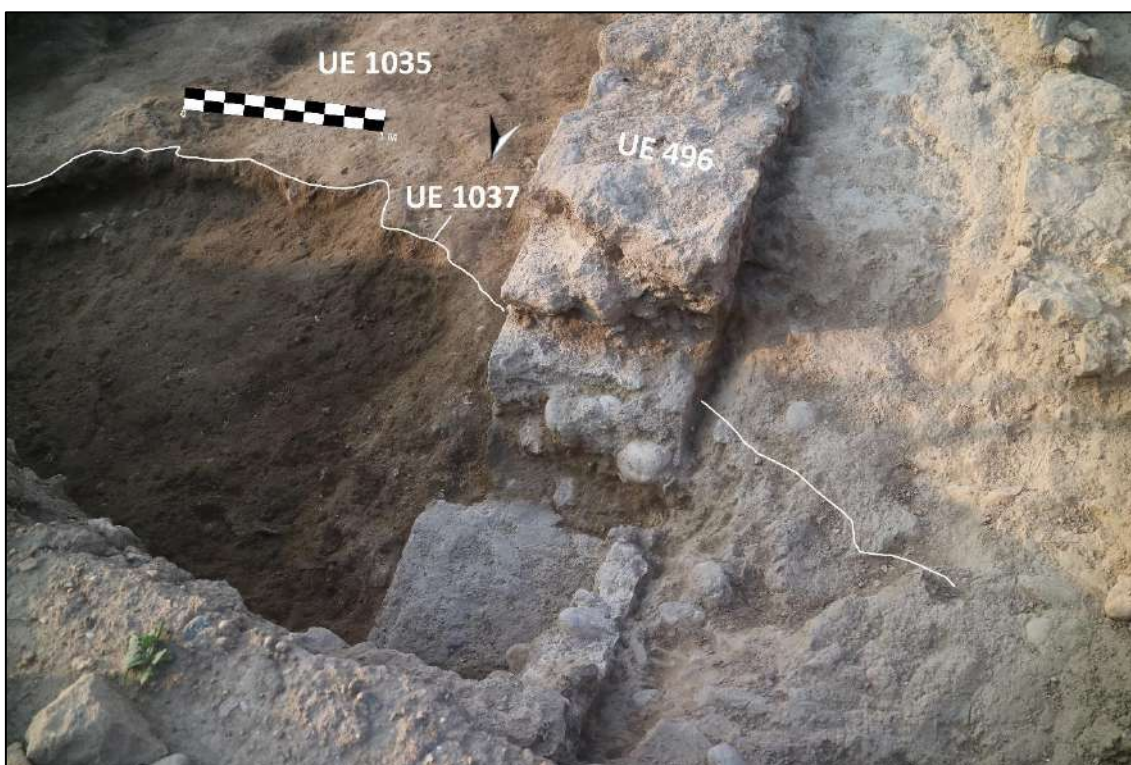


Figura 55. Vista desde el NW del Ambiente 49 del proceso de excavación de la fosa UE 1037, en la que se aprecia cómo corta al muro UE 496.

En el extremo septentrional, la capa **UE 1035** aparecía cortada por una fosa alargada de orientación NW-SE. Sus dimensiones no pudieron ser registradas adecuadamente, ya que parte de su trazado proseguía más allá del perfil N. Desde la cara oriental del muro



**UE 496**, el recorte contaba con unas dimensiones de 3'4 m de longitud y un mínimo de 0'5 m de anchura. Pudimos comprobar que también cortaba parcialmente al muro **UE 496**, destruyendo parte de su alzado para proseguir con su trazado más allá de esta barrera (Figuras 53 y 55). La trinchera estaba rellena por **UE 1036**, una tierra de tonalidad gris oscura de textura granulosa y suelta, marcada por la presencia de materia orgánica en su composición.

Una vez liberado y visible el trazado completo del muro **UE 496** en el interior del Ambiente, la remoción de las distintas capas superpuestas facilitaría documentar mejor su alzado y los posibles niveles de pavimento asociados al mismo. Para ello continuamos nuestra actuación vaciando la fosa **UE 1037** para, posteriormente, levantar el nivel superficial **UE 1035** y el desmonte de la acumulación de piedras **UE 1038**. Así, quedó expuesto **UE 1047**, un paquete estratigráfico de tendencia horizontal compuesto por una tierra de tonalidad grisácea y textura granulosa. Sobre la parte central del mismo detectamos una ligera concentración de gravas de tendencia ovalada, cuyo radio de dispersión era de aproximadamente 0'5 m. Fue individualizada como **UE 1049**. En la parte occidental identificamos una fina capa de tierra de tonalidad anaranjada, compacta y heterogénea a la que se le asignó la **UE 1048**. De planta irregular, presentaba una parte principal de tendencia cuadrangular con unas dimensiones de 2 x 0'8 m. De su parte inferior arrancaba una estrecha lengua que realizaba un trazado en sentido NE-SW que desarrollaba hasta 2'5 m de longitud (Figuras 56 y 57).



*Figura 56. Vista desde el NW del Ambiente 49 en la que indicamos la ubicación del nivel superficial UE 1047, de la concentración de gravas UE 1049 y de la capa UE 1048.*

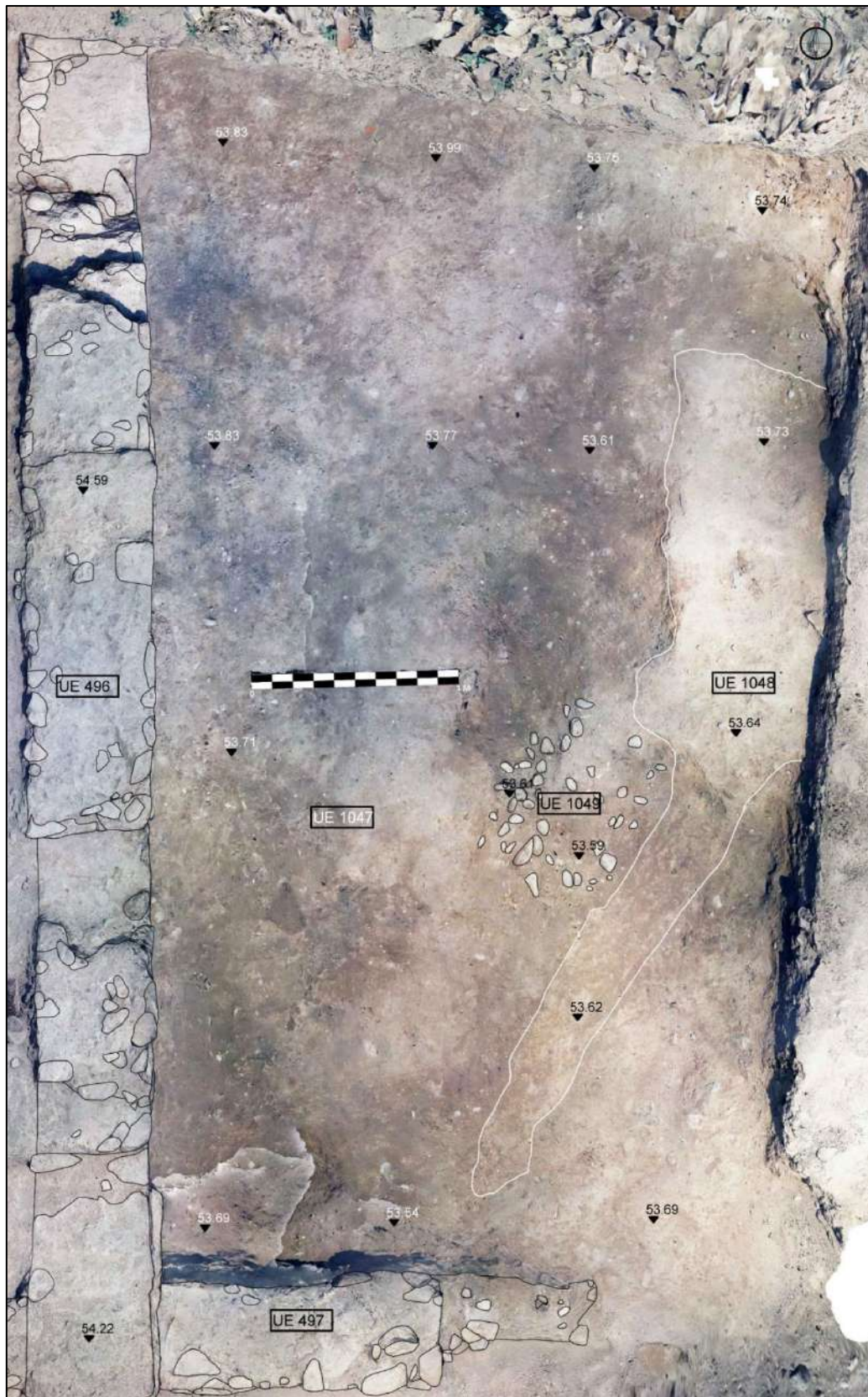


Figura 57. Planta estratigráfica tras retirar UUEE 1035, 1036 y 1038, donde se muestra la ubicación del nivel superficial UE 1047, de la capa estratigráfica UE 1048 y del nivel de gravas UE 1049.

El levantamiento de **UE 1048** permitió recuperar una serie de materiales arqueológicos relevantes, algunos de ellos claramente relacionados con el aparato ornamental del edificio termal. Destaca particularmente el cuerpo de una pequeña estatuilla de busto redondo que representa a una ninfa acuática, la cual pudo haber formado parte de un grupo escultórico de mayor tamaño. Fue inventariada como LA'23-S7F-1048-001 (Figura 58).



*Figura 58. Vista en detalle de la estatua de busto redondo LA'23-S7F-1048-001 identificada como una ninfa acuática.*

Esta acción permitió documentar la superficie completa de **UE 1047** dentro del **Ambiente 49** (Figura 59) previamente a su excavación, la última de las acciones emprendidas en este Ambiente durante la campaña 2023. Su extracción -junto a la de la capa de gravas **UE 1049**- sacó finalmente a la luz evidencias correspondientes al nivel de pavimento -**UE 1067**- que se asociaba originalmente al lienzo **UE 496** (Figuras 60 y 61).



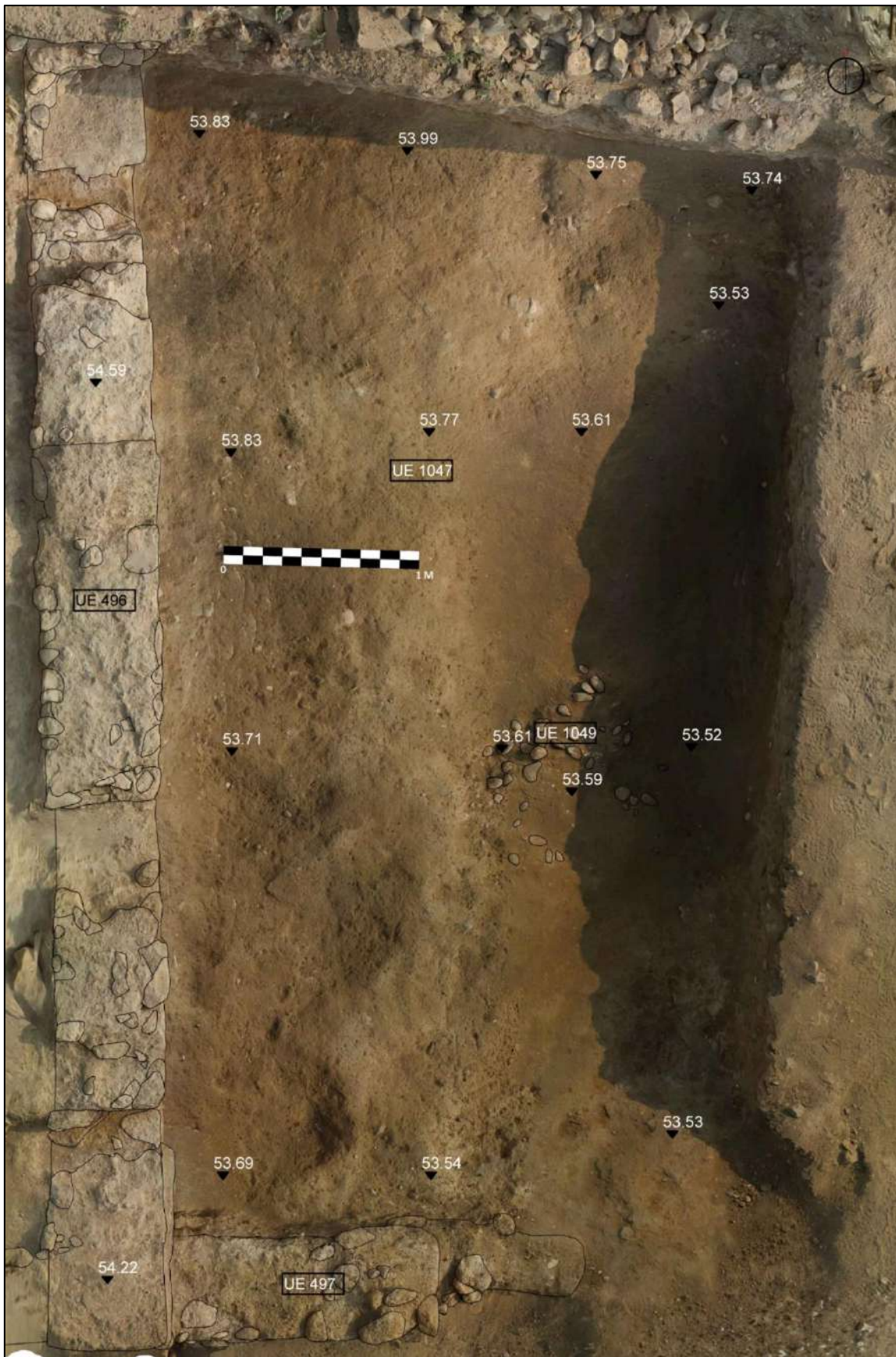


Figura 59. Planta estratigráfica tras retirar UE 1048, donde se muestra la ubicación del nivel superficial UE 1047 y del nivel de gravas UE 1049.



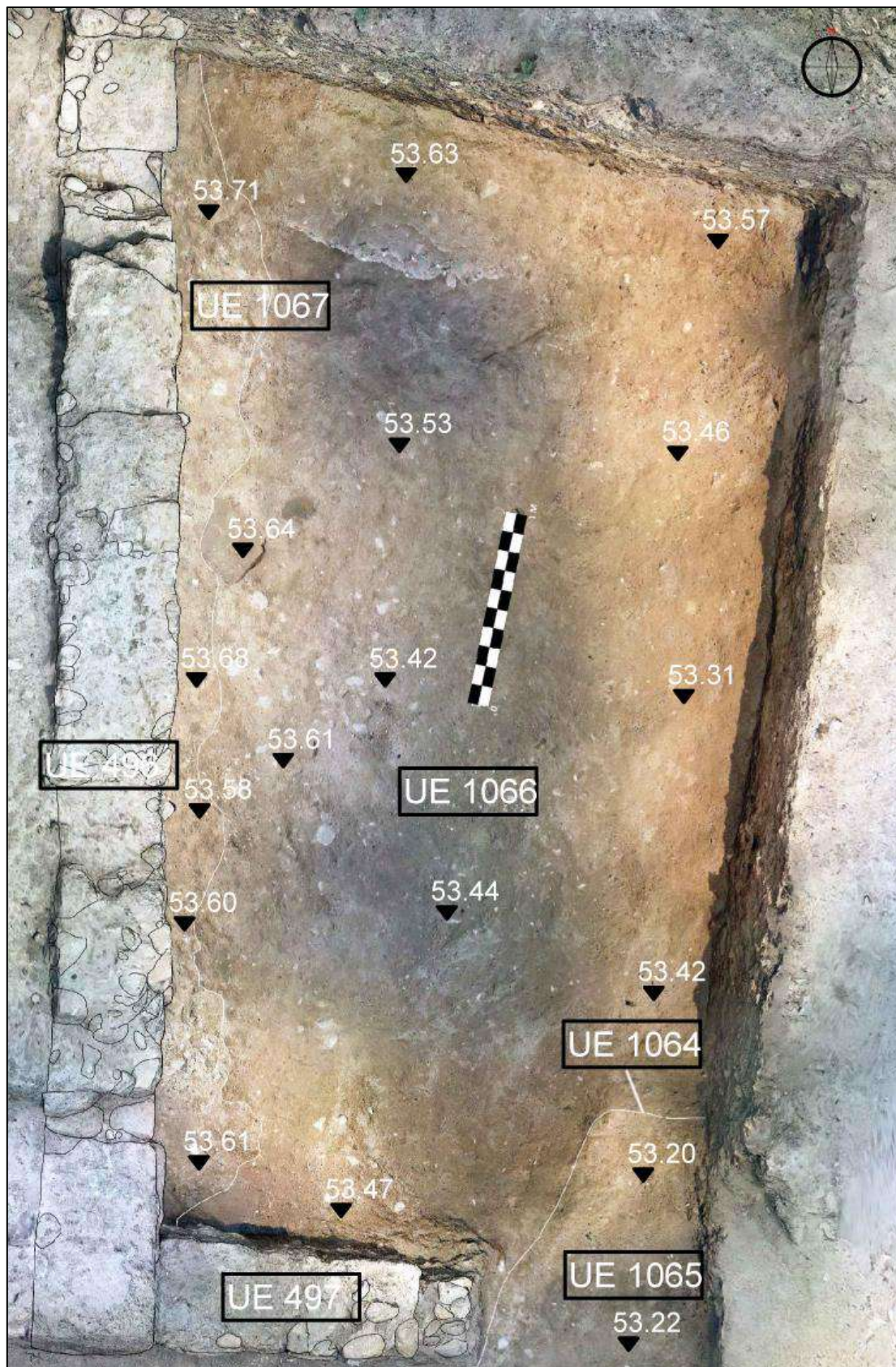
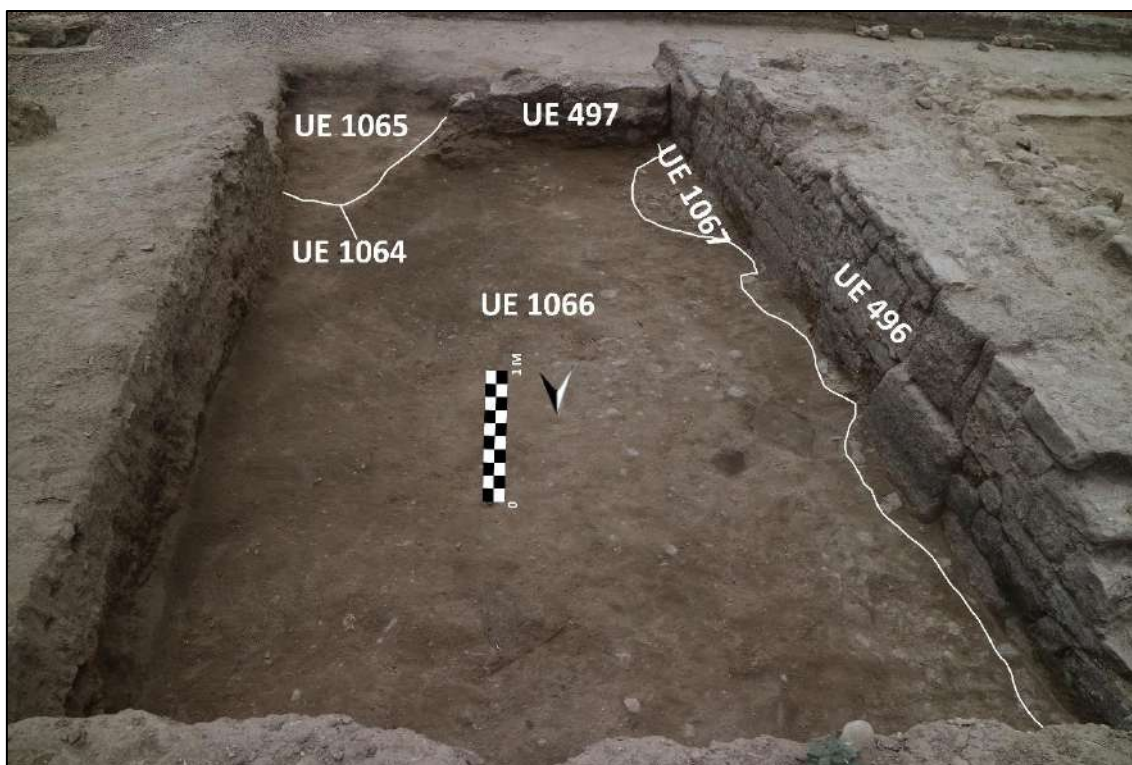


Figura 60. Planta estratigráfica tras retirar UUEE 1047 y 1049, donde se muestra la ubicación de las evidencias de pavimento UE 1067, del paquete estratigráfico UE 1066, de la fosa UE 1064 y de su relleno UE 1065.





*Figura 61. Vista desde el N del Ambiente 49, en la que indicamos la ubicación de las evidencias de pavimento UE 1067, de la capa estratigráfica UE 1066 y de la fosa UUEE 1064 y 1065.*

Efectivamente, comprobamos que contra la cara oriental del muro UE 496 se conservó un posible nivel de preparación de pavimento -**UE 1067**- realizado con cantos y mortero de cal. A una cota ligeramente inferior, el paquete estratigráfico **UE 1066** ocupaba toda la superficie del Ambiente. Estaba conformado por una tierra de tonalidad marrón-grisácea con presencia de cales, cantos y restos de material constructivo. Pudo tratarse de la capa de nivelación sobre la que se asentó el pavimento **UE 1067**. Finalmente, comprobamos en el ángulo NE de este espacio **UE 1066** resultaba recortada -al igual que el lienzo **UE 497**- por una fosa -**UE 1064**- cuyo trazado alcanzaba el **Ambiente 24**, ubicado inmediatamente al S del **Ambiente 49**. Dicha fosa estaba colmatada por **UE 1065**, un estrato de tierra disgregada y granulosa de tonalidad marrón oscuro (Figuras 60 y 61).

Una vez alcanzada esta situación estratigráfica se inició la excavación del relleno **UE 1065** así como la del paquete estratigráfico **UE 1066**, sin que ninguna de las dos tareas fuese finalizada. Por tanto, deberán de ser retomadas en futuras intervenciones arqueológicas.

La remoción de los distintos paquetes estratigráficos que ocupaban el interior del **Ambiente 49** hizo visible el alzado de la cara oriental del muro **UE 496**, en el cual detectamos una serie de particularidades constructivas a reseñar. Si bien estaba realizado con un encofrado de mampuestos y mortero, su trazado se veía interrumpido por grandes bloques pétreos colocados en vertical, tal y como ocurre en los aparejos tipo *opus africanum*. A pesar de que hemos detectado el empleo de esta técnica constructiva en otros lienzos del edificio termal, su uso difiere notablemente del observado en el muro **UE 496**. Mientras que el *opus africanum* del límite occidental del **Ambiente 3** se erige sobre un zócalo y el desarrollo de los lienzos entre los bloques pétreos está compuesto por material constructivo reutilizado (Figura 62), no ocurre así con **UE 496**.

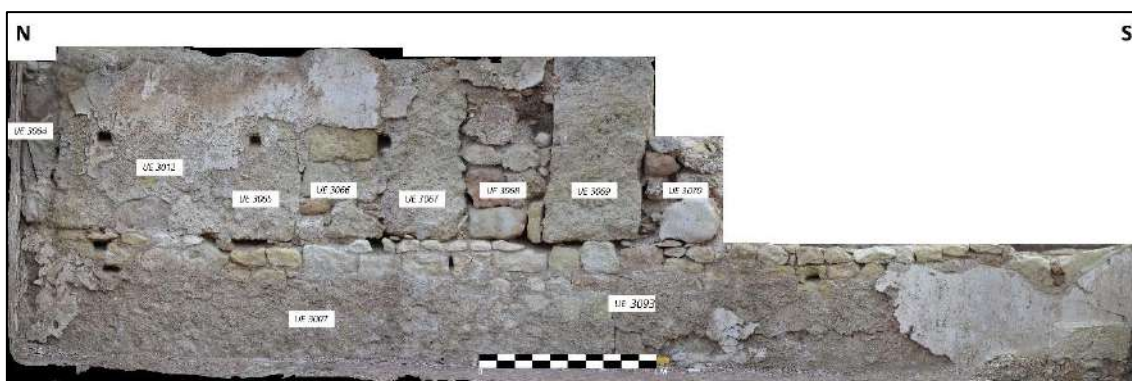


Figura 62. Vista del alzado de la cara occidental del lienzo que constituye el extremo W del Ambiente 3, en el que se observa el empleo del aparejo de *opus africanum* con zócalo inferior, empleando material reutilizado entre los bloques pétreos.



Figura 63. Alzado de la cara oriental de UE 496 en la que se distingue la distribución de los bloques pétreos de su aparejo.



En el caso de **UE 496**, el *opus africanum* carece de zócalo y sus grandes bloques pétreos arrancan desde el inicio del alzado del muro. Además, los tramos de muro entre los bloques están realizados con mampuestos en lugar de con material reutilizado.

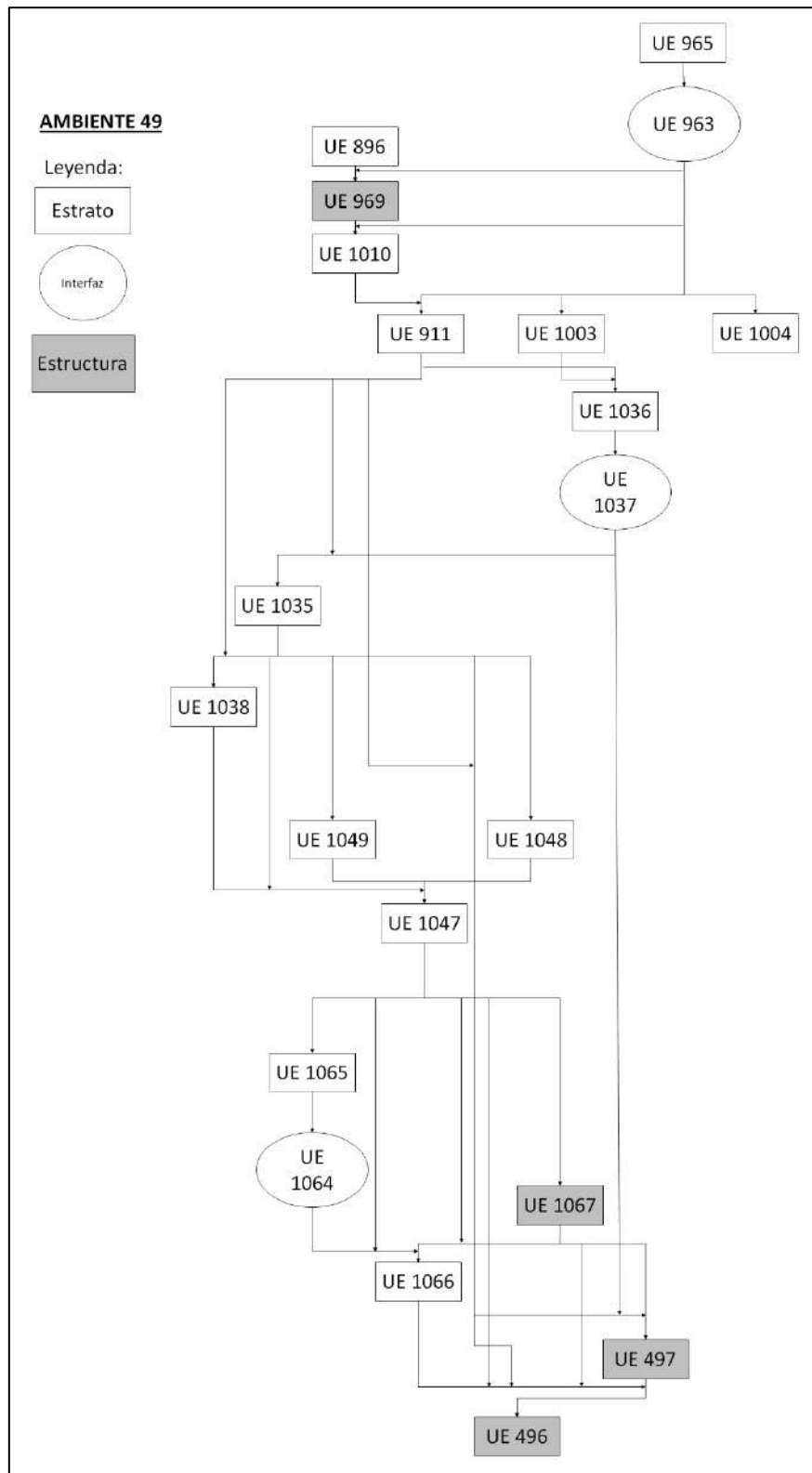


Figura 64. Matriz de Harris correspondiente a la excavación del Ambiente 49.

### Valoración

Uno de los principales objetivos de la intervención arqueológica en el extremo N del edificio termal es definir estos espacios y determinar el perímetro del complejo. El **Ambiente 49** juega un papel destacado para su consecución, ya que se trata de una zona abierta al patio central y que pudo haber facilitado la comunicación con otros espacios internos todavía no documentados. Su cerramiento -parcialmente conservado- **UE 497** fue realizado en un momento posterior, por lo que en su fase inicial debió tratarse de una amplia zona abierta que se extendía hasta el límite occidental del **Ambiente 31**. Para confirmar esta hipótesis resultaba fundamental alcanzar el nivel de pavimento que originariamente estuvo asociado al muro **UE 496**.

Alcanzamos a descubrir restos de la preparación de ese pavimento -**UE 1067**- adosados a la cara oriental de este lienzo. El pavimento se había perdido, pero se conservaba el paquete de nivelación sobre el que se asentaba. Su excavación en futuras campañas revelará si es el pavimento original o si, por el contrario, existe otro nivel previo infrapuesto. En cualquier caso, la adecuada documentación de **UE 496** requiere alcanzar su nivel de fundación en sus dos caras. La pérdida del pavimento **UE 1067** debe estar relacionada con acciones destructivas posteriores. Es posible que la fosa **UE 1064**, la cual recorta a **UE 1067**, afectase también tanto al pavimento como a su preparación. Los niveles superpuestos, como **UE 1047** o **UE 1035**, deben ser vistos como niveles de abandono o de amortización de esta parte del yacimiento. Sobre los mismos fue colocado un relleno -**UE 911**- sobre el cual pudo asentarse un nivel de firme -**UE 969**- asociado a otro momento de ocupación del edificio. Es posible que hubiese incluso un pavimento intermedio -**UE 1004**- pero, desafortunadamente, las destrucciones posteriores han impedido corroborarlo adecuadamente.

## 4.6. Ambiente 24

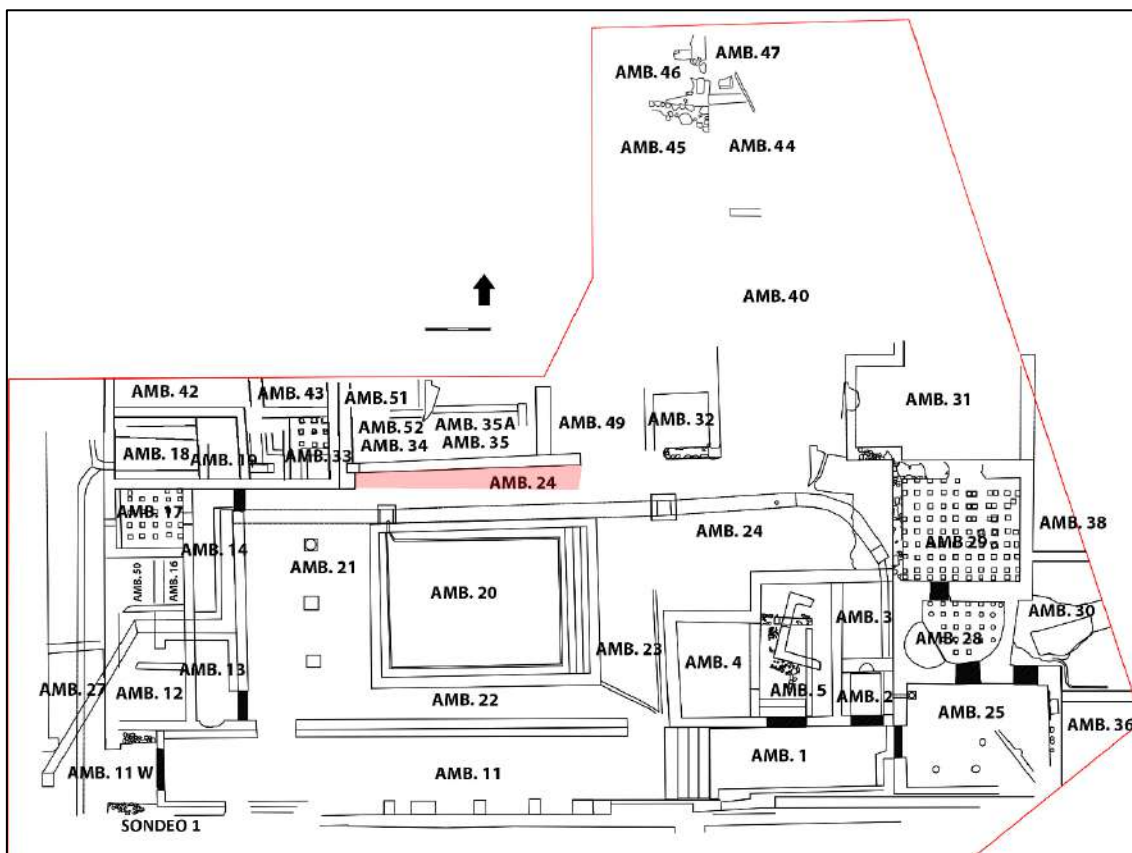


Figura 65. Plano de las Termas Orientales en el que destacamos (en rojo) el área intervenida en el interior del Ambiente 24 en la campaña 2023.

La zona septentrional del patio central, identificada como **Ambiente 24**, queda cerrada por una sucesión de lienzos de distintos momentos constructivos. La correcta definición del área N del complejo termal precisa, por tanto, indagar acerca de la evolución de esta parte del edificio. Tal y como ya hemos visto, la excavación realizada en los **Ambientes 50 y 51** reveló que la sucesión de muros **UUEE 506, 505, 504 y 497 -UE 500** pudo haber existido previamente- es posterior a los muros **UUEE 507 y 496**.

Decidimos por tanto actuar directamente en la estrecha franja de terreno existente entre dichos lienzos y la estructura de *opus signinum* **UE 510** que, con forma de  $\frac{1}{4}$  de bocel, impedía la filtración de agua en el pavimento **UE 512** del patio, sobre el que se asentaba. Esta superficie, de 0'8 m de anchura y 8'85 m comprendida entre **UUEE 506 y 496**, podría contener indicios acerca del momento inicial y de la evolución de este cerramiento (Figuras 66, 67 y 68).



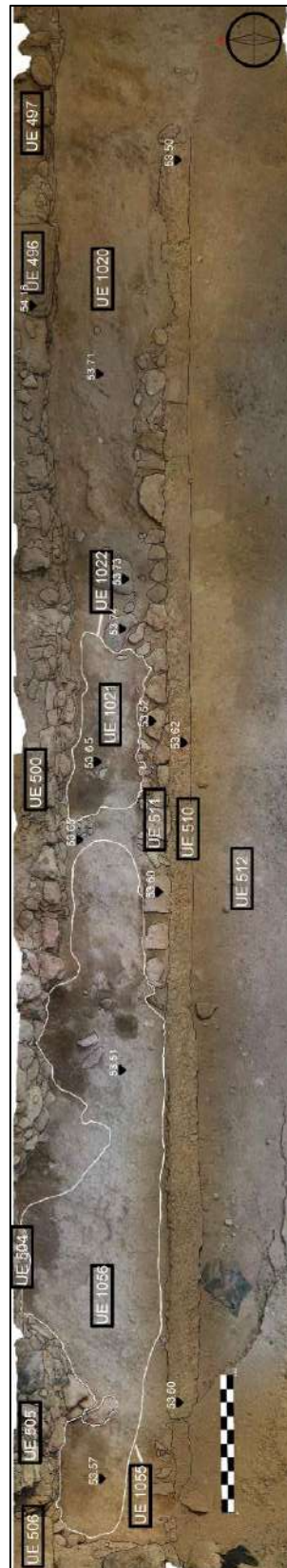


Figura 66. Planta estratigráfica de la parte septentrional del Ambiente 24, en la que indicamos la ubicación del cordón hidráulico UE 510, del nivel de tierra UE 1020, de las fosas UUEE 1022 y 1055 y de sus respectivos rellenos, UUEE 1021 y 1056.

Decidimos por tanto actuar directamente en la estrecha franja de terreno existente entre dichos lienzos y la estructura de *opus signinum* **UE 510** que, con forma de medio bocel, impedía la filtración de agua en el pavimento **UE 512** del patio, sobre el que se asentaba. Esta superficie, de 0'8 m de anchura y 8'85 m comprendida entre **UUEE 506 y 496**, podría contener indicios acerca del momento inicial y de la evolución de este cerramiento (Figuras 66, 67 y 68).

Tras su limpieza, distinguimos que un estrato de tonalidad parda y textura granulosa y arcillosa -**UE 1020**- se extendía entre **UE 510** y la sucesión de muros orientados en sentido E-W. El cordón hidráulico **UE 510** se adosaba contra una alineación de mampuestos orientados en sentido E-W -**UE 511**-, colocados presentando una cara hacia el S y con una única hilada de alzada conservada (Figuras 66, 67 y 68).

El nivel superficial estaba recortado por dos grandes fosas. Una de ellas, **UE 1055**, ocupaba el extremo occidental de este espacio y se extendía a lo largo de 6 m, realizando un trazado irregular. Estaba colmatada por **UE 1056**, un paquete de tierra de tonalidad gris oscuro y de textura compacta y arcillosa, con presencia de piedras en su interior. Estaba recortada contra la cara meridional de las estructuras **UE 506, 505, 504** y contra la parte occidental de **UE 500**, afectando asimismo a la estructura **UE 511** para obliterarla parcialmente (Figuras 66, 67 y 68).

Detectamos otro recorte contra la parte central de la cara meridional de **UE 500**. Identificado como **UE 1022**, adoptaba una tendencia ovalada de 1'3 m de longitud. Su interior estaba relleno por **UE 1021**, una capa de tierra de tonalidad gris oscuro y textura granulosa y disgregada (Figuras 66 y 67).

Tras su documentación, procedimos a vaciar ambas fosas. Esta acción, sin embargo, no reveló la existencia de estructuras previas que hubiesen sido amortizadas por los muros **UUEE 506, 505, 504 y 500** (Figuras 67 y 68).



*Figura 67. Planta estratigráfica de la parte septentrional del Ambiente 24, en la que indicamos la ubicación del cordón hidráulico UE 510, del nivel de tierra UE 1020 y de las fosas UUEE 1022 y 1055 tras la remoción de sus rellenos, UUEE 1021 y 1056.*



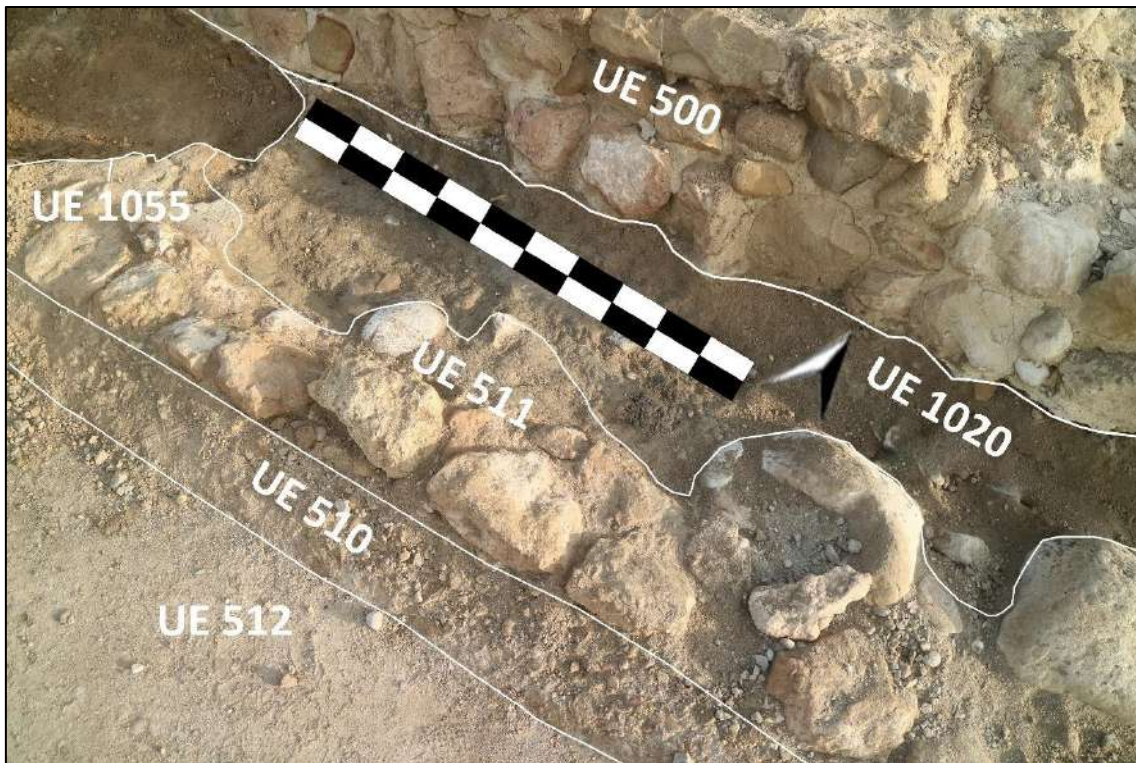


Figura 68. Vista en detalle desde el SE de la parte septentrional del Ambiente 24, en la que indicamos la ubicación de la estructura UE 511, del cordón hidráulico UE 510 y del estrato UE 1020 respecto al lienzo UE 500.

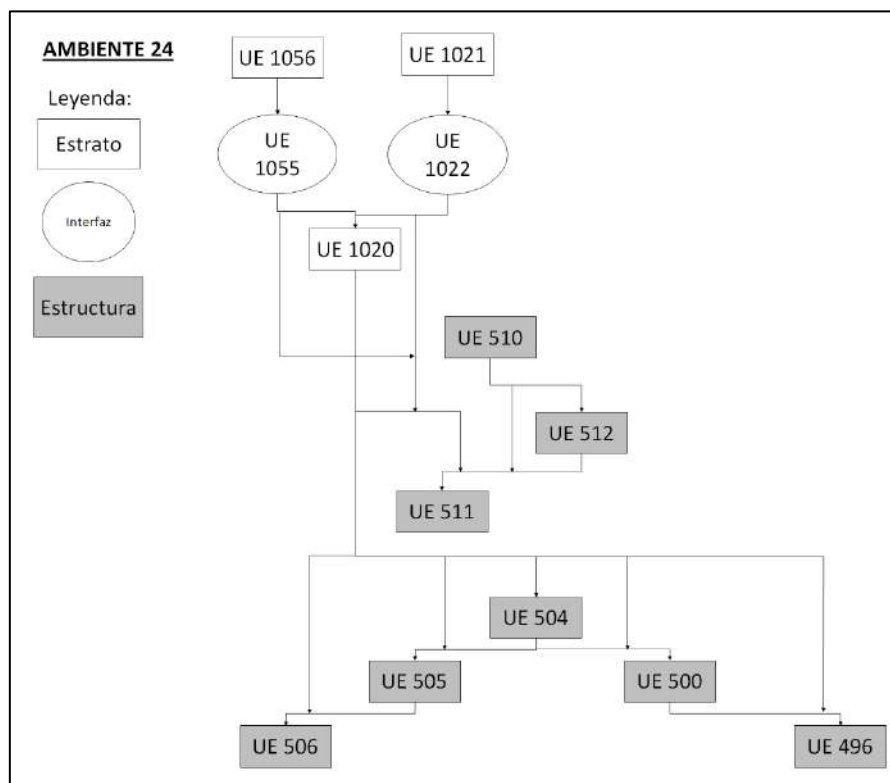


Figura 69. Matriz de Harris correspondiente a la excavación del Ambiente 24.

### Valoración

La intervención realizada en esta parte del **Ambiente 24** no logró sacar a la luz posibles estructuras previas relacionadas con su cerramiento septentrional original. Del mismo modo, se documentó que la fundación de la estructura **UE 511** no conservaba en ninguno de los tramos documentados su anchura completa, por lo que desconocemos si, en el momento de su construcción, alcanzaba la línea de lienzos marcada por **UUEE 506, 505, 504 y 500**. Podría tratarse de parte del basamento de un banco o plataforma adosada contra estos muros.

Por otra parte, dado que la intervención realizada en los Ambientes 50 y 51 evidenció que el tramo de lienzo formado por **UUEE 506, 505 y 504** era posterior a **UE 507** -así como también a **UE 496**- todo este frente pudo haber sido reconstruido en una fase posterior, asociado quizás a la creación del segundo circuito termal.

Dado que la zona existente al N de esta línea no parece haber sido ocupada en los momentos iniciales de las Termas Orientales, **UE 511** pudo ser el muro perimetral N del edificio. De ser así, su obliteración estaría asociada con la creación de nuevos espacios al N de esta línea. El paquete **UE 1020** podría estar asociado a la construcción de los lienzos **UUEE 506, 505 y 504** -puede que también con la de **UE 500**-, que requirió la destrucción de las estructuras previas, como **UE 511**.

Los datos recabados hasta la fecha no resultan concluyentes y precisamos obtener más información arqueológica de toda la franja N del edificio que nos permita interpretar adecuadamente la evolución de todo el conjunto termal.

## 4.7. Ambiente 40

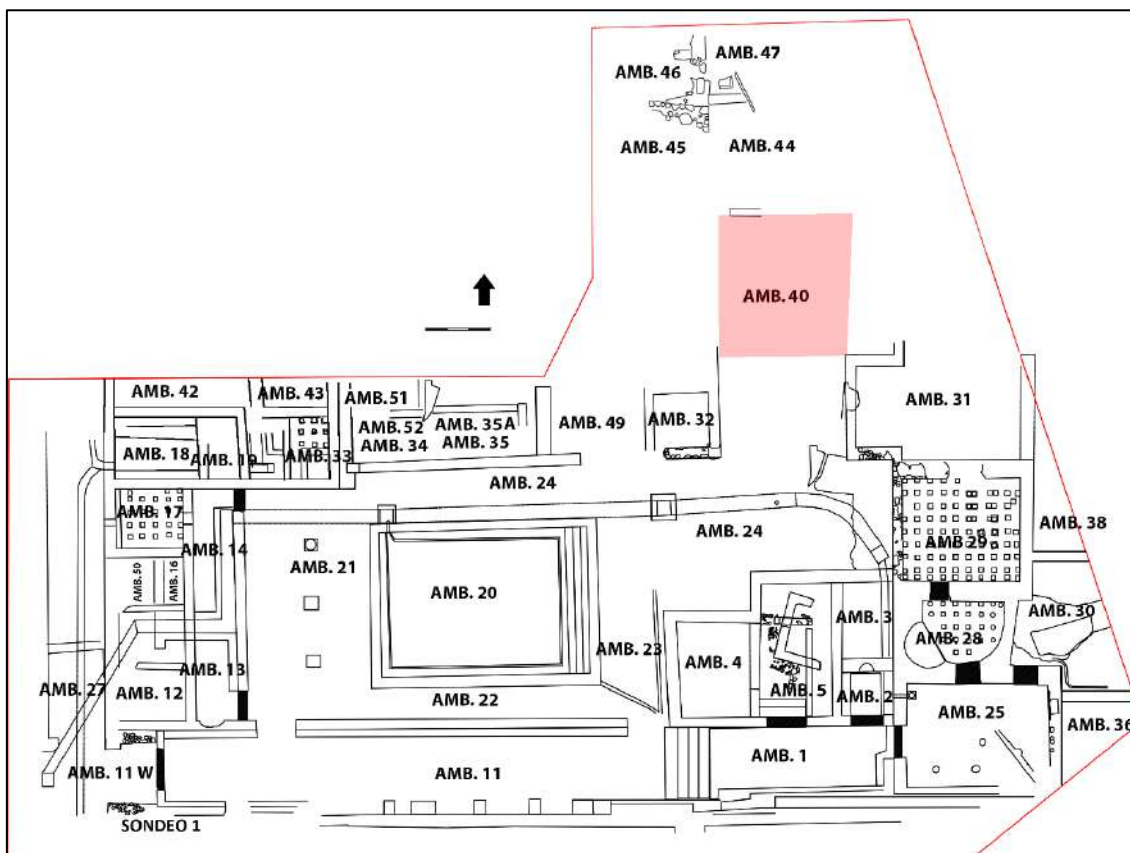


Figura 70. Plano de las Termas Orientales en el que destacamos (en rojo) el área intervenida en el interior del Ambiente 40 en la campaña 2023.

La amplia explanada que identificamos como **Ambiente 40** ya había sido intervenida en campañas previas, en las cuales se había procedido a la retirada de los niveles superficiales. Se trata de una zona de gran interés para profundizar en el conocimiento y la evolución de las Termas Orientales, ya que se encuentra ubicada entre el circuito termal original y el **Ambiente 49** -el **Ambiente 32** que lo separa de este último es claramente una adición posterior-, donde ambos estarían comunicados con el gran patio central del edificio.

El área de intervención era una planicie sobreelevada orientada en sentido NW-SE que se extendía al S del muro **UE 916**, abarcando una superficie de 7 m de longitud y 3 m de anchura, ocupada completamente por **UE 619**, un paquete de tierra de tonalidad marrón con presencia de inclusiones de cal y una abundante presencia de piedras (Figura 71).





*Figura 71. Planta estratigráfica inicial del Ambiente 40, en la que indicamos la ubicación de UE 619 respecto al muro UE 916.*

Con su extracción quedó completamente expuesta una capa de tendencia horizontal, de tonalidad grisácea y textura arcillosa que registramos como **UE 1063** (Figura 72). El desmonte de **UE 619** permitió dejar a la vista elementos arquitectónicos tales como una basa de columna -registrada como el elemento **UE 620-**, que formaba parte del paquete estratigráfico (Figura 73).



*Figura 72. Planta estratigráfica del Ambiente 40 tras la retirada de UE 619, en la que indicamos la ubicación de UE 1063 respecto al muro UE 916.*

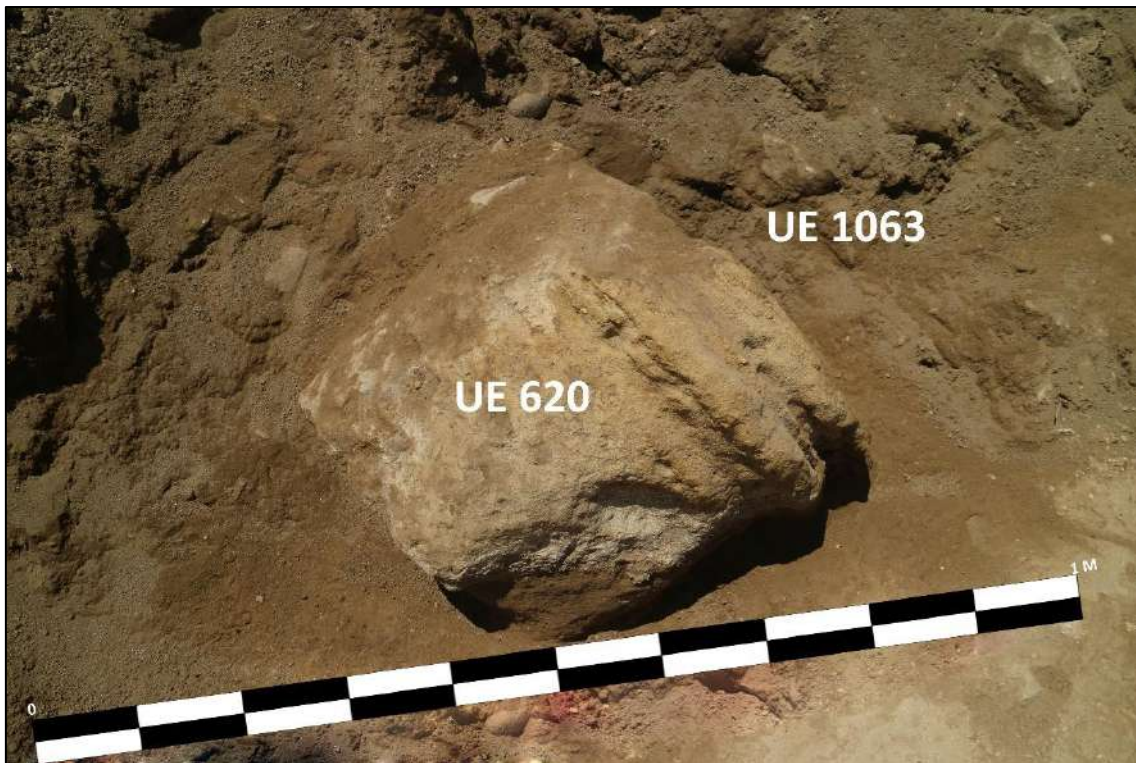


Figura 73. Vista en detalle de la basa de columna UE 620 tras la retirada de UE 619.

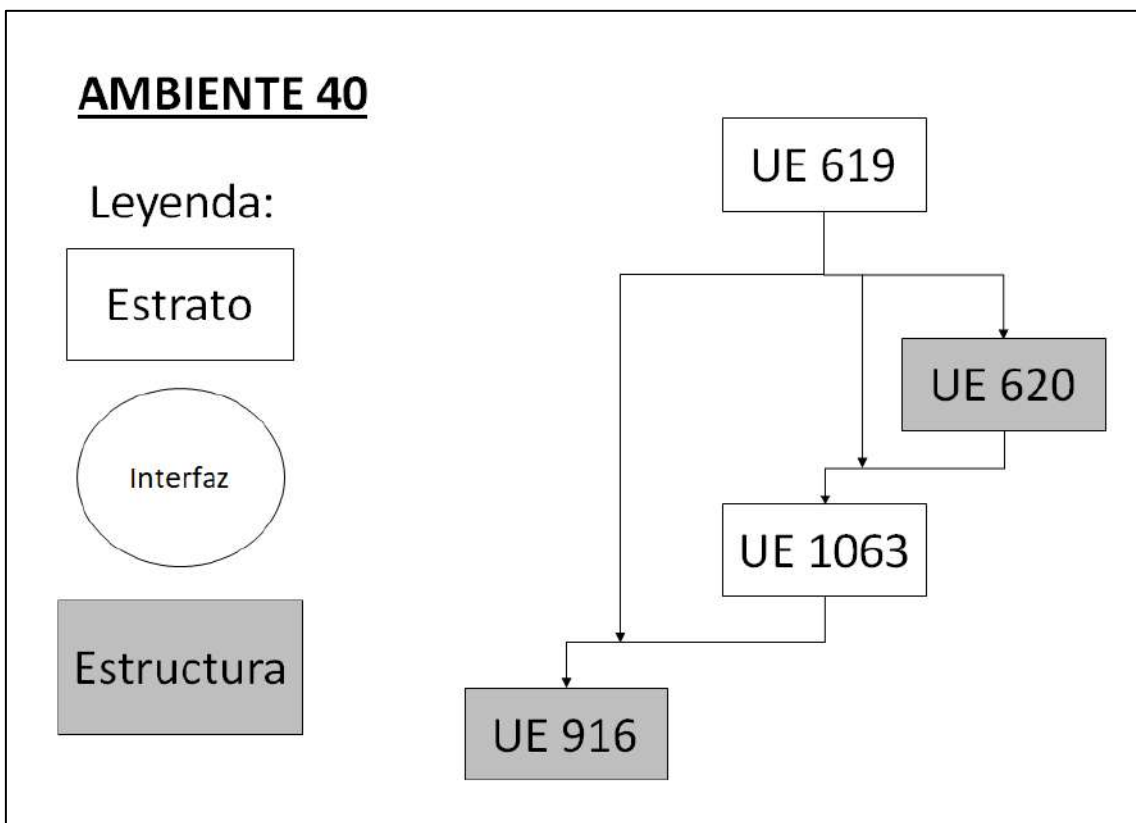


Figura 74. Matriz de Harris correspondiente a la excavación del Ambiente 40.



### Valoración

Tanto **UE 619** como, muy probablemente también, **UE 1063** son paquetes de colmatación y relleno generados tras el abandono de esta parte del yacimiento. Todavía no se han alcanzado los estratos correspondientes a abandonos o al colapso de estructuras, por lo que será preciso proseguir con la excavación del **Ambiente 40** en las próximas campañas con el fin de alcanzar la misma situación estratigráfica de los espacios vecinos.

El hallazgo de la base de columna **UE 620** resulta de gran interés. De orden toscano e idéntica a las documentadas en el gran patio central del edificio, podría indicar la existencia de una zona porticada en las proximidades del **Ambiente 40**. Esta posibilidad está en consonancia con la hipótesis acerca de la posible presencia de una *palestra* para la práctica de ejercicios gimnásticos al aire libre en esta zona de las Termas Orientales.

## 4.8. Ambiente 42

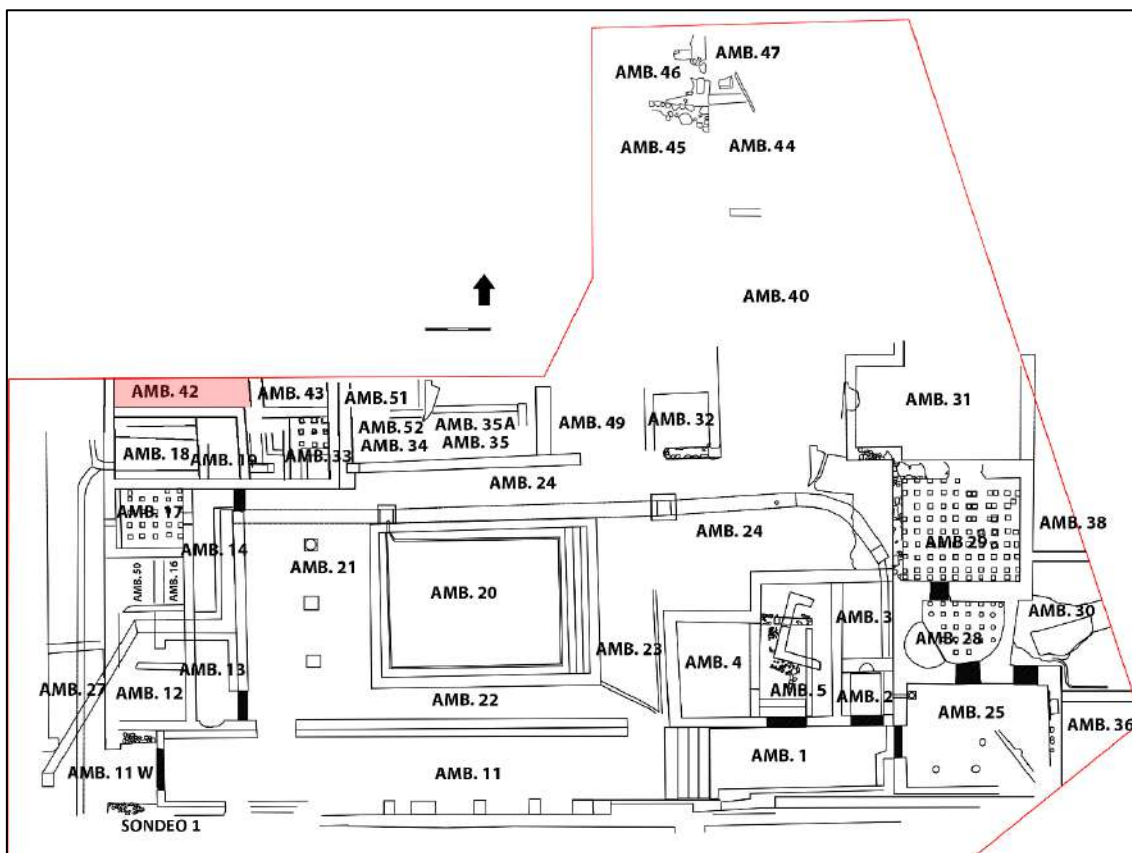


Figura 75. Plano de las Termas Orientales en el que destacamos (en rojo) el área intervenida en el interior del Ambiente 42 en la campaña 2023.

La última de las áreas septentrionales de las Termas Orientales en la que actuamos en esta campaña fue el **Ambiente 42**. Hasta la fecha únicamente se había realizado en él la retirada de los niveles superficiales, punto en el que retomamos nuestra intervención en su interior. Este espacio, adyacente a los **Ambientes 18 y 43**, quedaba delimitado por las siguientes estructuras (Figura 76):

- **UE 842**, que marca su extremo W. Realizado con mampuestos y mortero de cal, mide 0'48 m de anchura. Desconocemos su longitud completa, aunque el tramo asociado al **Ambiente 42** es de aproximadamente 2 m.
- El límite S quedaba constituido por una sucesión de varias estructuras de 0'45 m de anchura orientadas en sentido N-S, construidas con mampuestos de piedra desbastada cuya medida máxima no rebasa los 0'15 m de lado. Estaban trabados con mortero de cal, colocados en hileras irregulares que presentan dos caras. La

estructura más occidental, **UE 819**, mide aproximadamente 2'40 m de longitud. El siguiente, **UE 775**, cuenta con aproximadamente 2'67 m de trazado. El sillar - **UE 820**- adosado a la cara oeste de **UE 775**, podría indicar la existencia de un umbral que facilitase la comunicación entre los **Ambientes 18 y 42**.

- El límite E quedaba fijado por **UE 795**, muro de orientación N-S que separaba entre sí a los **Ambientes 42 y 43**. Estaba realizado con piedras desbastadas trabadas con barro.

En el interior de este espacio encontramos un nivel superficial, **UE 778**, que se extendía por los 6'7 x 1'6 m de superficie que ocupaba el Ambiente. Esta capa, de tonalidad castaño-anaranjada y textura granulosa, estaba parcialmente recortada por **UE 776**, una fosa de tendencia semicircular, de 2'5 m de longitud y 0'9 m de anchura abierta contra la parte central de los lienzos meridionales (Figura 76).



*Figura 76. Planta estratigráfica inicial del Ambiente 42, en la que indicamos la ubicación de la capa UE 778 y del recorte UE 776 respecto a los muros UUEE 819, 820, 775, 795 y 842.*

Comenzamos la excavación del **Ambiente 42** con la retirada de **UE 778**. Bajo ella, en la mitad occidental de este espacio, hallamos dos nuevos estratos. El primero de ellos, **UE 1000**, es una capa de tendencia horizontal de textura compacta formada por tierra de tonalidad amarillenta. Queda enmarcada por **UE 1001**, una acumulación de piedras de pequeño y mediano tamaño que cubre parcialmente a la anterior (Figuras 77 y 78).

El primer paso tras su documentación, por tanto, consistió en finalizar la extracción de **UE 778** para, posteriormente, retirar **UE 1001**. Esta acción dejó expuesta buena parte de la superficie ocupada por la capa **UE 1000**, pero mostraba además una nueva situación estratigráfica (Figura 79).



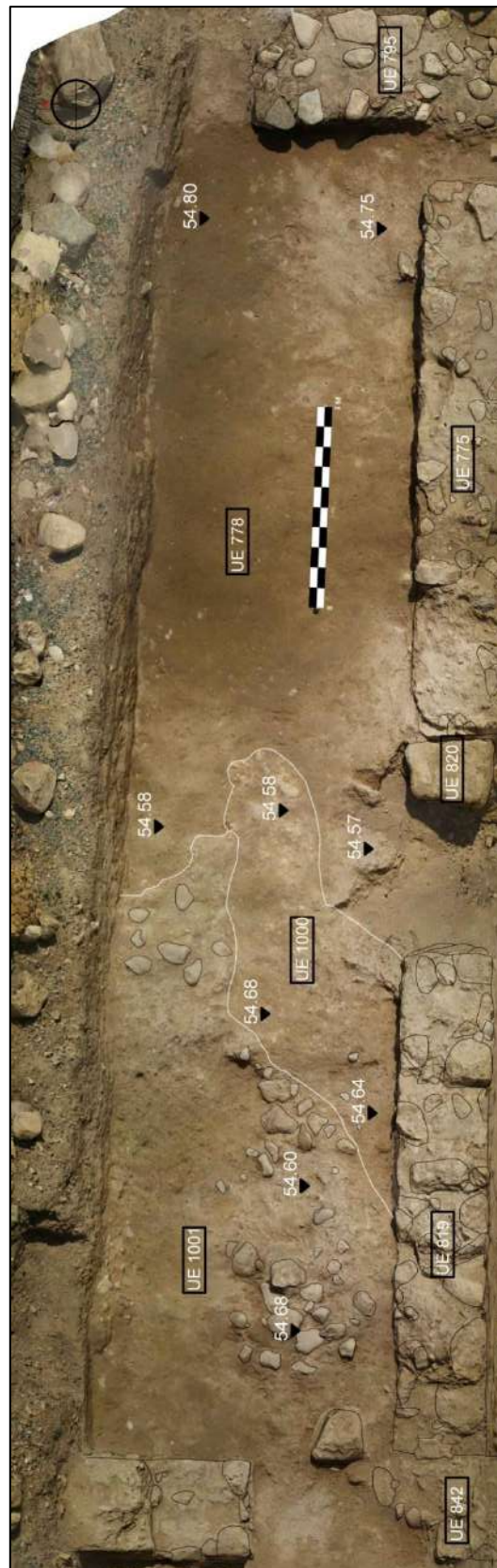
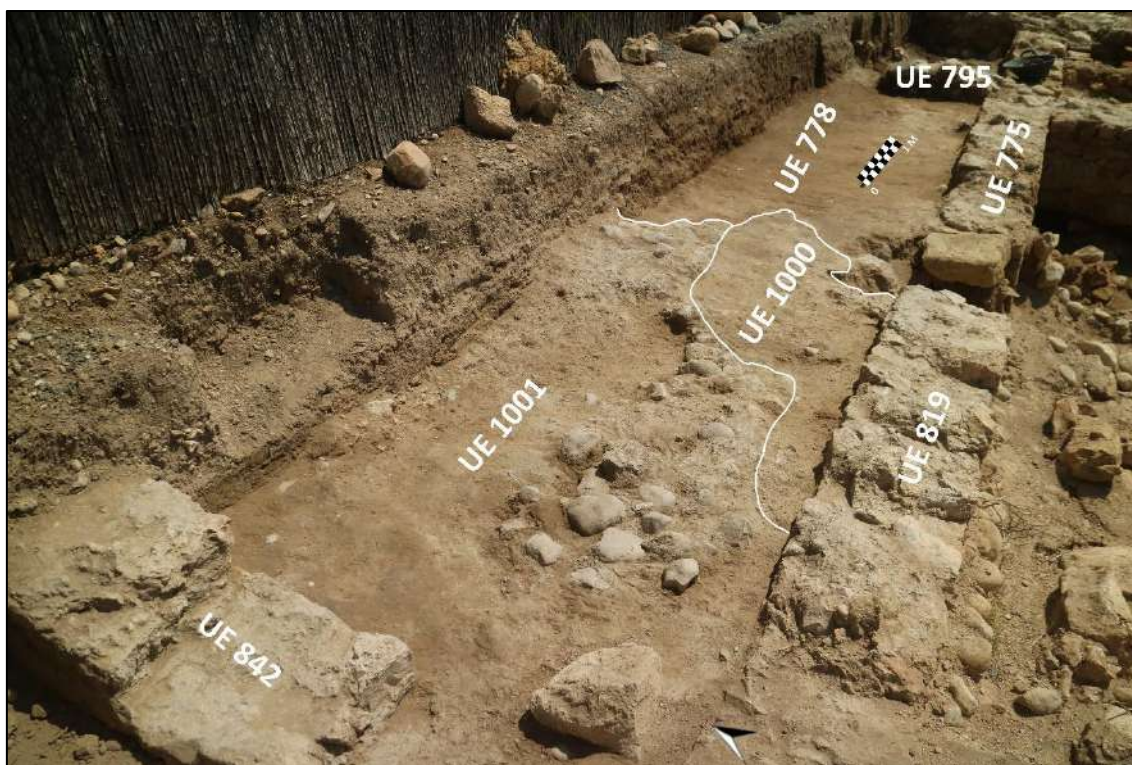


Figura 77. Planta estratigráfica del Ambiente 42 tras la retirada parcial de UE 778, en la que indicamos la ubicación de las capas UUEE 1000 y 1001 respecto a los muros UUEE 819, 820, 775, 795 y 842.



*Figura 78. Vista desde el SW del Ambiente 42, en la que destacamos la ubicación de UUEE 1000 y 1001 tras la remoción parcial de UE 778.*

Así, bajo la parte oriental de **UE 778** quedó revelada una capa de tonalidad grisácea y textura muy compacta que fue registrada como **UE 1006**. En su extremo oriental quedaba recortada por una fosa, **UE 1007**. Con una longitud de 1'3 m y una anchura de 0'8 m, impide observar cómo se relaciona este nivel con el muro **UE 795**. De hecho, la fosa interrumpía asimismo el desarrollo septentrional de este muro y proseguía su trazado hacia el **Ambiente 43**. Su interior quedaba colmatado por **UE 1008**, un paquete de tierra de tonalidad marrón-amarillenta de textura muy disgregada (Figuras 79 y 80).

En la mitad occidental del **Ambiente 42**, la retirada de **UE 1001** había dejado visible una mayor parte de la superficie abarcada por **UE 1000**. Esta alargada lengua de tierra de 0'85 m de anchura, que alcanzaba una longitud máxima de 3'45 m. En el ángulo NW individualizamos como **UE 1009** a una extensión de tierra de tonalidad marrón claro de textura granulosa, con presencia de cantos rodados que cubría parcialmente a **UE 1000**. En la zona central de la parte septentrional afloraba una concentración de piedras, parcialmente cubierta por **UE 1000** (Figuras 79 y 81).





Figura 79. Planta estratigráfica del Ambiente 42 tras finalizar la retirada de UE 778, en la que indicamos la ubicación de UE 1006, de la fosa UE 1007 y de su relleno UE 1008. Mostramos asimismo a UE 1000 y las UUEE 1005 y 1009 tras la retirada de UE 1001.



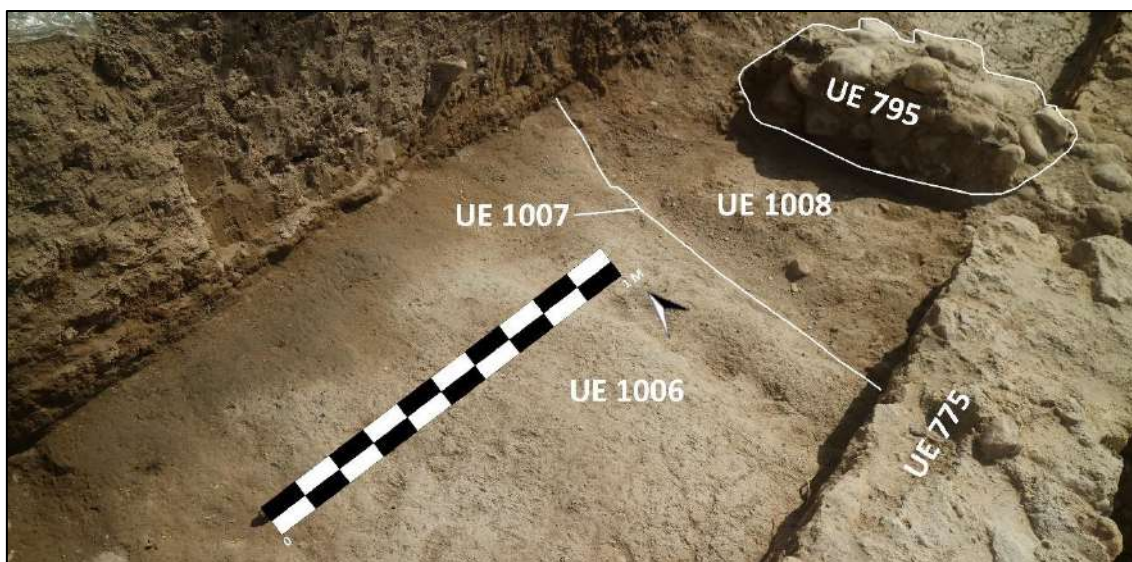


Figura 80. Vista desde el SW del Ambiente 42, en la que indicamos la ubicación de la capa UE 1006, de la fosa UE 1007 y su relleno UE 1008.

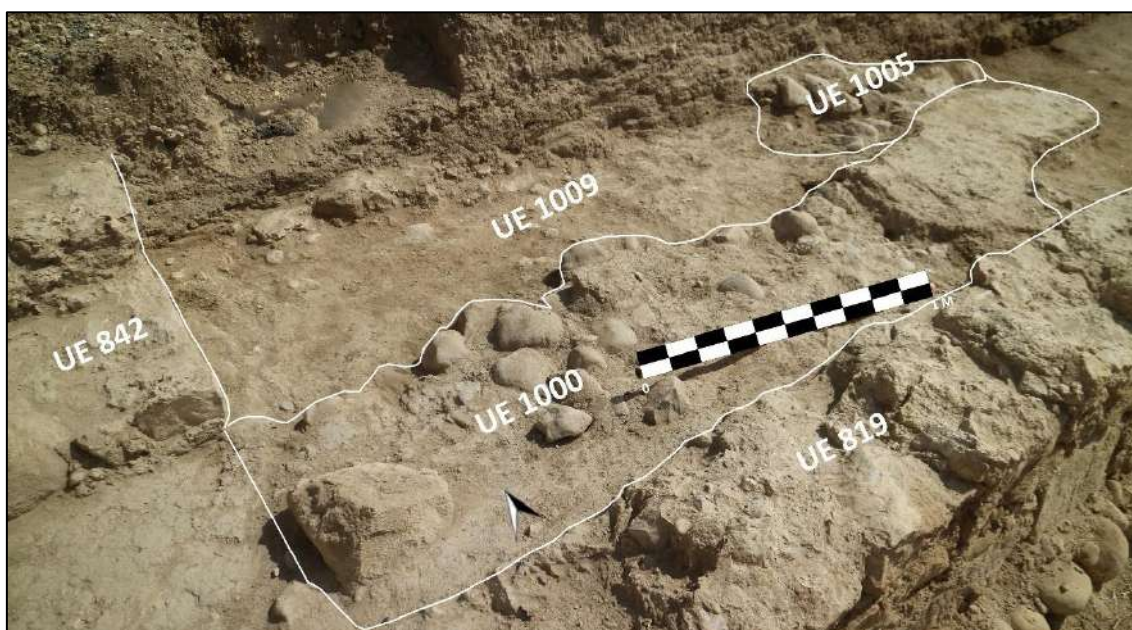


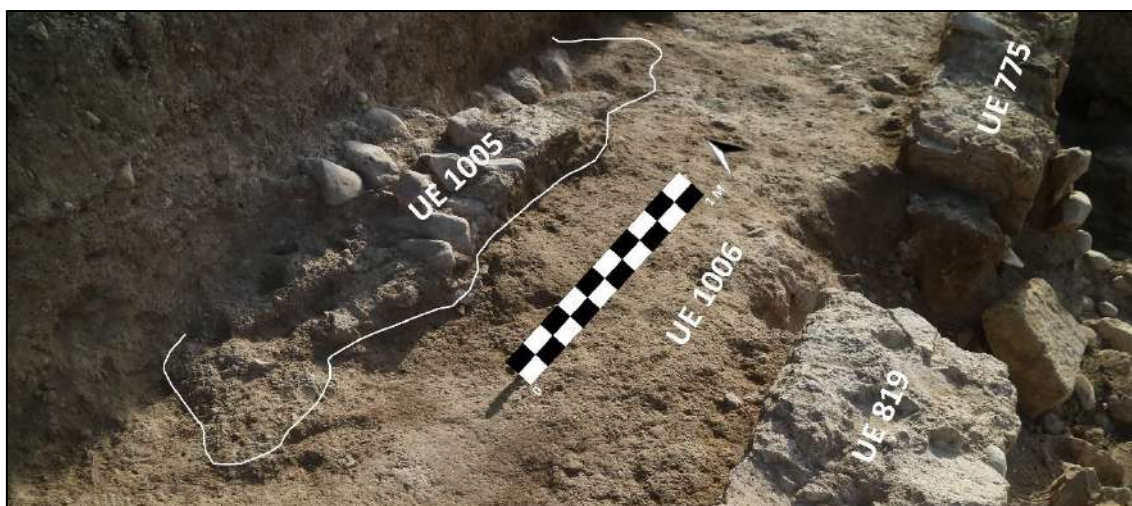
Figura 81. Vista desde el SW del Ambiente 42, en la que indicamos la ubicación de las capas UUEE 1000 y 1009 y de la acumulación de piedras UE 1005.

Efectuamos el desmonte de los distintos niveles por el orden estratigráfico correspondiente. Una vez retirada **UE 1009**, llevamos a cabo el levantamiento de **UE 1000**. Esta acción reveló que la acumulación de piedras **UE 1005** era, en realidad, un muro. Del mismo modo, reveló que el nivel horizontal **UE 1006** se extendía por toda la superficie del Ambiente. Su disposición y características nos llevaron a interpretarlo como un posible pavimento (Figuras 82 y 83).



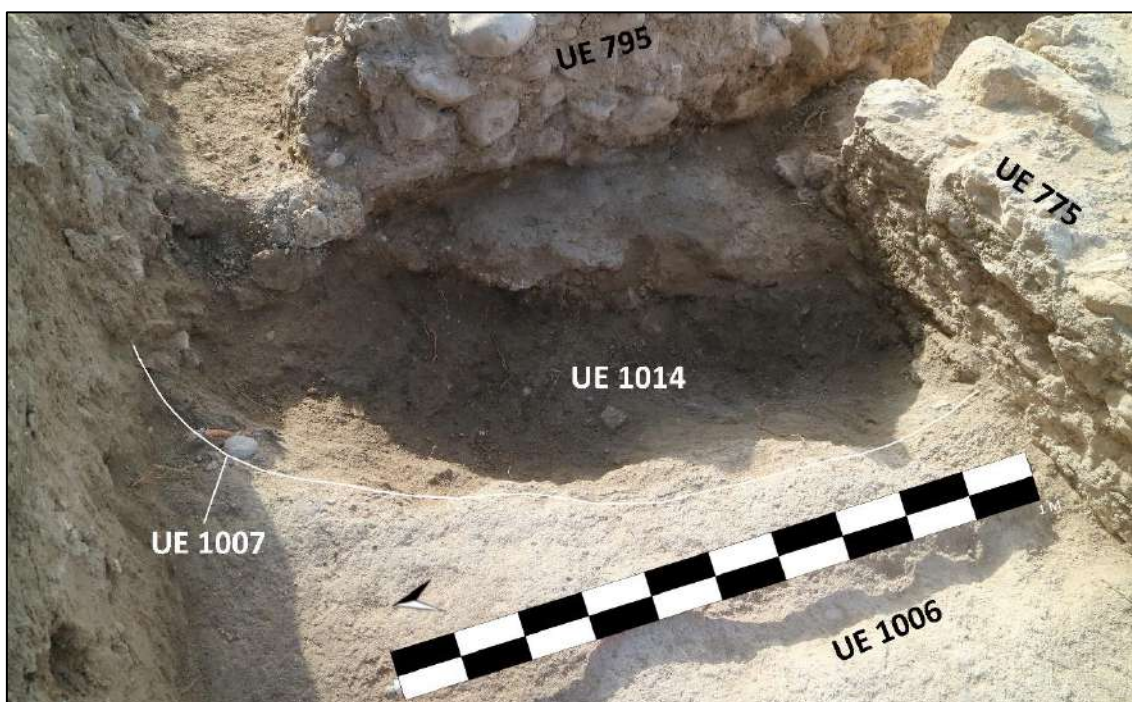
Figura 82. Planta estratigráfica del Ambiente 42 tras retirar UUEE 1000 y 1009 y tras vaciar la fosa UE 1007, en la que indicamos la ubicación del muro UE 1005, de la capa UE 1006, de la fosa UE 1007 y del nivel UE 1014.





*Figura 83. Vista desde el SW del Ambiente 42 en la que indicamos la ubicación del muro UE 1005 y del pavimento UE 1006.*

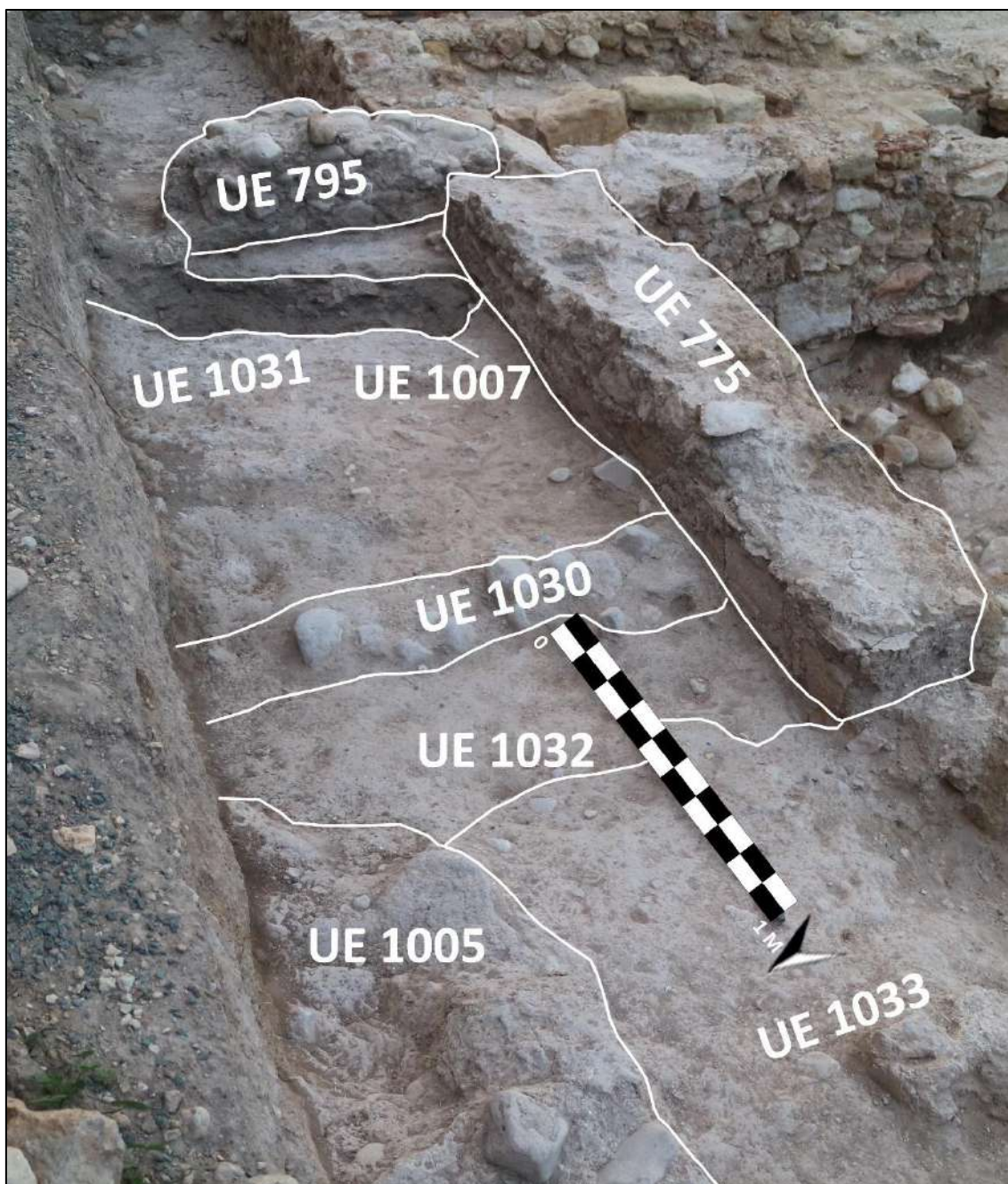
El tramo del muro **UE 1005** que pudo ser careado y definido medía 0'5 m de anchura y trazaba un recorrido en sentido N-S que conservaba 1'9 m de longitud. Estaba realizado con cantos y mampuestos de piedras desbastadas de tamaño mediano y pequeño, trabadas con barro (Figuras 82 y 83). En la fosa **UE 1007** extrajimos **UE 1008**, dejando a la vista un nuevo nivel de relleno, **UE 1014**, compuesto de tierra de tonalidad gris oscura de textura muy suelta (Figuras 82 y 84).



*Figura 84. Vista desde el W del Ambiente 42 en la que indicamos el relleno UE 1014 en el interior de la fosa UE 1007 tras la retirada del paquete UE 1008.*





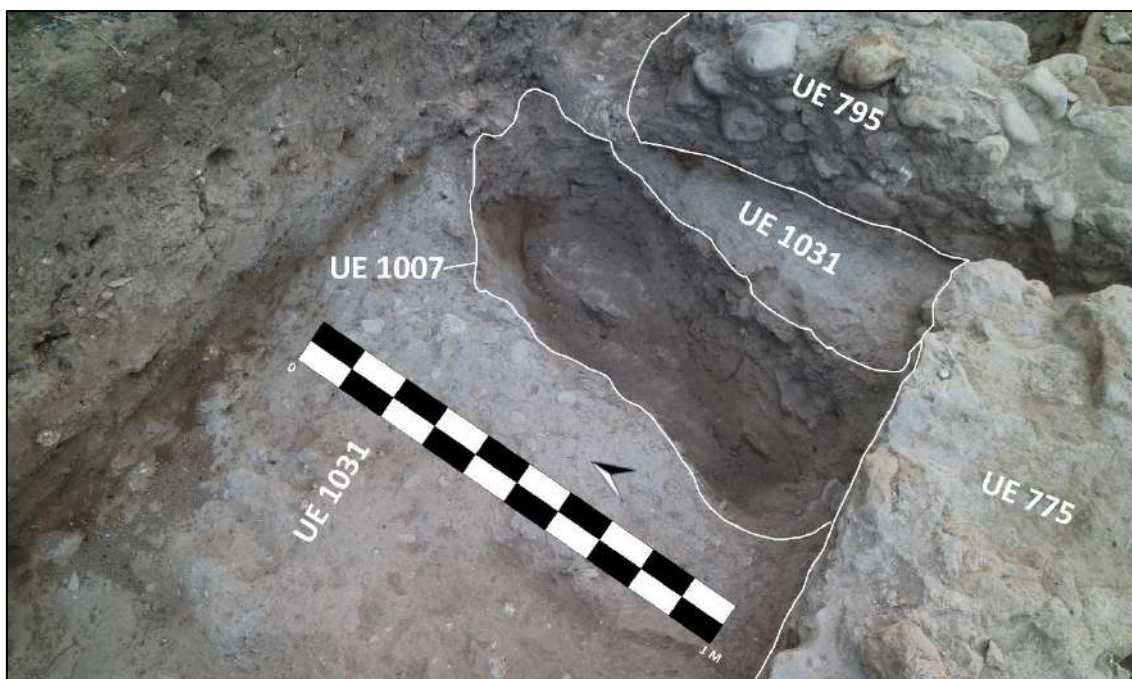


*Figura 86. Vista desde el NW del Ambiente 42 tras la retirada de UE 1006 en la que indicamos la ubicación del pavimento UE 1031 -recortado por la fosa UE 1007-, de las capas UUEE 1032 y 1033 y de la estructura UE 1030.*

El desmonte del pavimento **UE 1006** mostró los restos de otro firme infrapuesto, **UE 1031**. Se trata muy probablemente de la preparación de un nivel de suelo, realizado con cantos y mortero de cal. Fue documentado únicamente en el extremo oriental del Ambiente. Arrancaba por debajo del muro **UE 795** y, pese a ser cortado por la fosa **UE 1007**, proseguía extendiéndose hacia el W hasta alcanzar un máximo de 1'5 m. En el



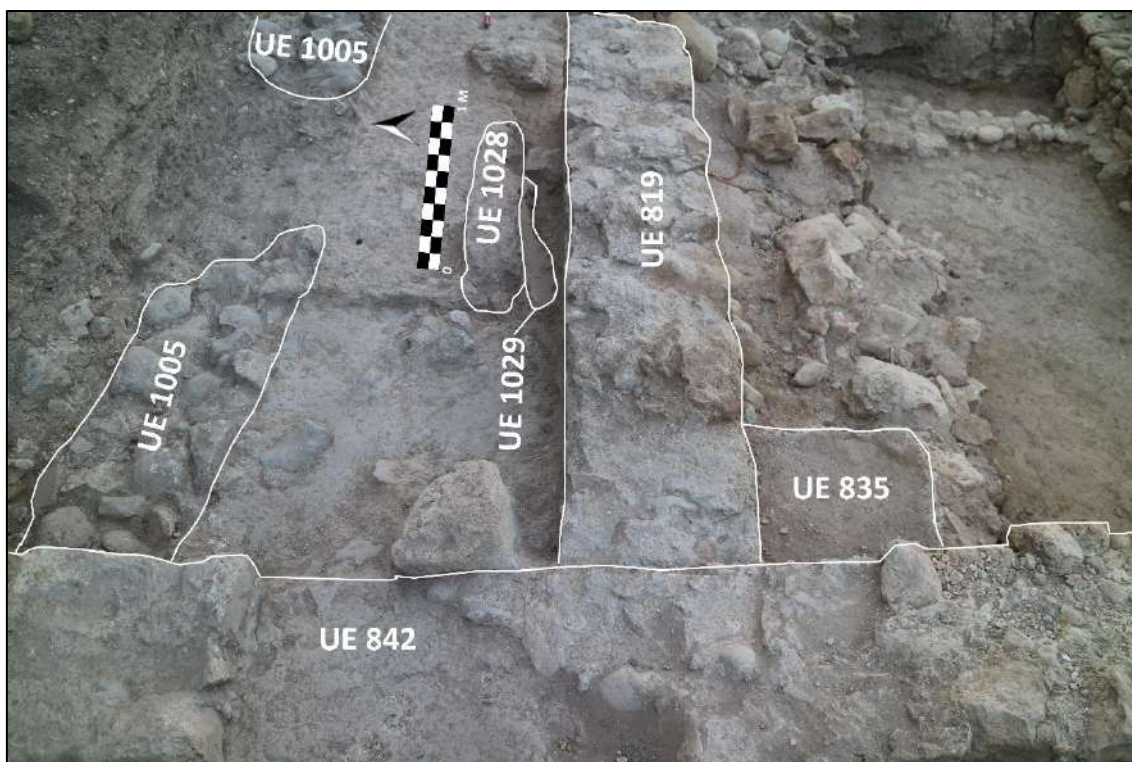
punto en el que se perdía esta preparación quedaba expuesta la capa que le servía de base, **UE 1032**. Este estrato estaba compuesto por tierra de tonalidad marrón-anaranjado y textura compacta. En ella afloraba **UE 1030**, una alineación irregular de cantos rodados orientada en sentido N-S. El nivel UE 1032 quedaba parcialmente cubierto por un estrato de tierra de tonalidad marrón-blanquecina y de tendencia horizontal, **UE 1033** (Figuras 85, 86 y 87).



*Figura 87. Vista en detalle desde el SW del Ambiente 42, en la que mostramos el pavimento UE 1031 y la fosa UE 1007 que lo recorta.*

El muro **UE 1005**, tras una interrupción de su continuidad de 0'7 m, proseguía con su trazado en dirección W bajo el nivel de suelo **UE 1006** a lo largo de 1'3 m. Salieron a la vista, además, otro conjunto de estructuras. Una de ellas, **UE 1028**, es una alineación de piedras y cantos rodados de pequeño tamaño con abundante mortero de cal da lugar a un cuerpo orientado en sentido E-W -aunque con una ligera inclinación NE-SE- de 0'2 m de anchura, conservando 1'4 m de longitud. Inmediatamente al S de la misma, descubrimos un nivel horizontal de mortero de cal hidráulico que se adosa a la cara meridional de **UE 1028**, desde la cual recorre 0'1 m en dirección S antes de perderse. Fue identificado como **UE 1029**. (Figuras 85 y 88).





*Figura 88. Vista desde el W del Ambiente 42 en la que indicamos la ubicación del nuevo tramo del muro UE 1005, del muro UE 1028 y del pavimento UE 1029.*

Finalizamos nuestra intervención en este Ambiente realizando el levantamiento de la capa **UE 1033** en su mitad oriental y completando la retirada de **UE 1006** en su mitad occidental. De este modo, pudimos definir el conjunto de estructuras en el que estaban insertas **UUEE 1028** y **1029**. De hecho, tras llevar a cabo esta acción se llegó a documentar el trazado completo de **UE 1028**, que alcanzaba los 1'5 m de longitud. Una franja de 0'50 m de anchura orientada en perpendicular a la cara W de **UE 1028** realizaba un trazado de 0'80 m de longitud. Sus dos extremos laterales quedaban definidos por una capa de revoque de mortero de cal, mientras que el espacio central estaba ocupado por piedras trabadas con tierra. Dada su ubicación y morfología, interpretamos que se trataba de la fundación de un muro ya perdido. Se le asignó la **UE 1041**. La parte meridional de su trazado delimitaba el extremo W del nivel de pavimento **UE 1029**, del mismo modo que **UE 1028** hacía lo propio en su extremo septentrional. Pero inmediatamente al N de **UE 1028** hallamos un nivel de mortero hidráulico similar al anterior, **UE 1040**. El trazado de **UE 1041** marcaba su límite occidental. La superficie de este pavimento era de 1'50 x 1 m (Figuras 89 y 90).

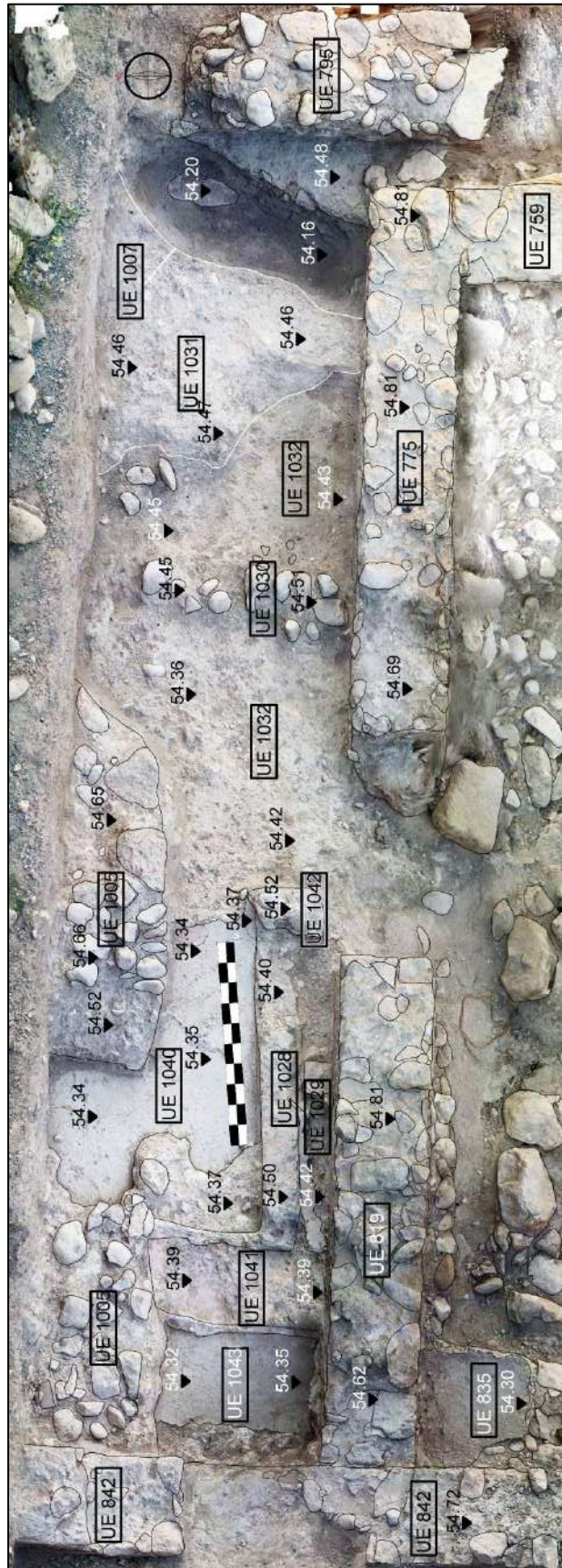
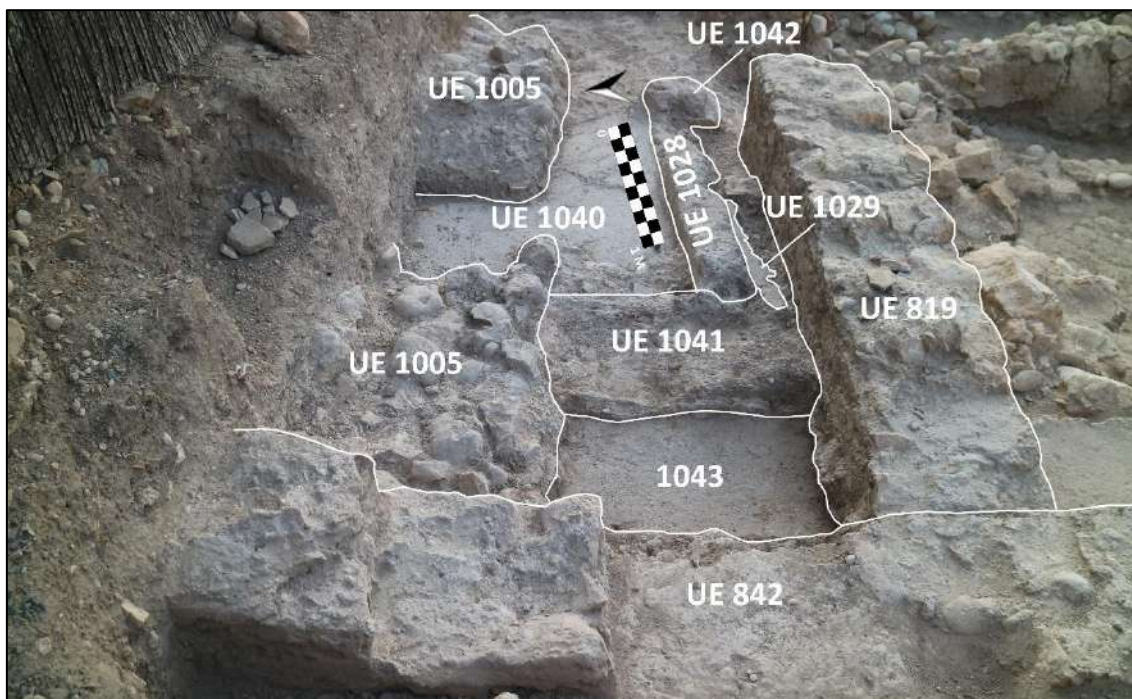


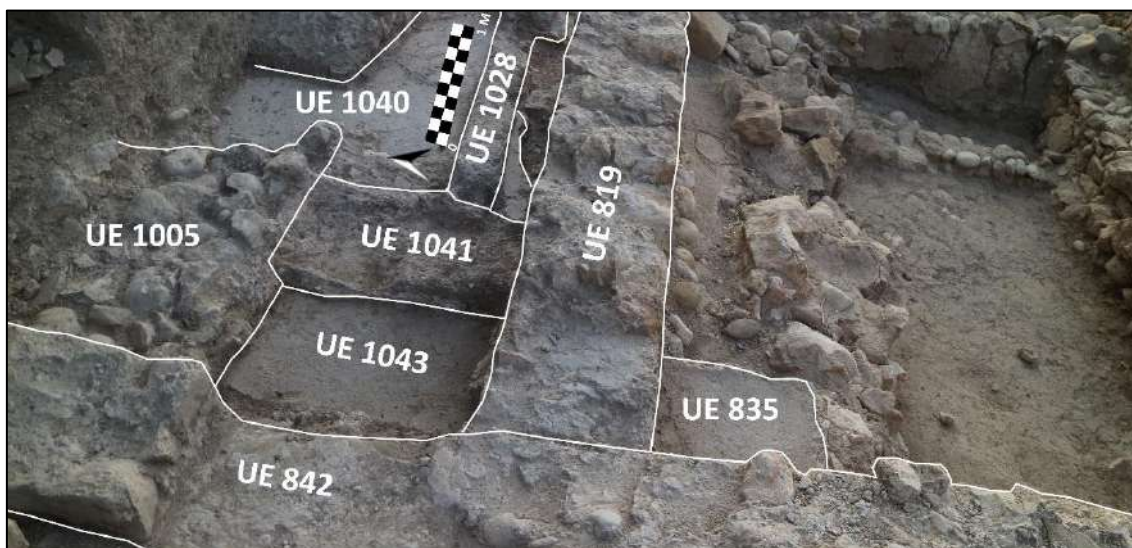
Figura 89. Planta estratigráfica del Ambiente 42 tras finalizar la retirada de UE 1006, excavar UE 1033 y definir las estructuras UUEE 1040, 1041, 1042 y 1043.



Desde el extremo oriental de **UE 1028** arrancaba en perpendicular **UE 1042**, otro tramo de muro de aparejo y anchura similares a este, si bien únicamente conservaba 0'3 m de su recorrido (Figuras 89 y 90).



*Figura 90. Vista desde el W del Ambiente 42 en la que indicamos la ubicación de las estructuras UUEE 1028, 1029, 1040, 1041, 1042 y 1043.*



*Figura 91. Vista en detalle desde el SW del Ambiente 42, en la que se observa cómo los muros UUEE 819 y 842 cubren a los pavimentos hidráulicos UUEE 835 y 1043, pertenecientes al mismo conjunto de estructuras.*



Todavía se pudo identificar otro nivel de pavimento realizado en mortero hidráulico, **UE 1043**. Localizado inmediatamente al W de **UE 1041**, únicamente pudo ser documentada una superficie de 0'7 x 0'8 m del mismo, ya que quedaba parcialmente cubierto por las estructuras **UUEE 1005, 819 y 842**. De hecho, **UE 819** lo separaba de un tramo de pavimento similar -**UE 835**- documentado en la campaña 2020 en el interior del **Ambiente 18**. Es muy probable que se tratase de la misma estructura (Figuras 89 y 91).

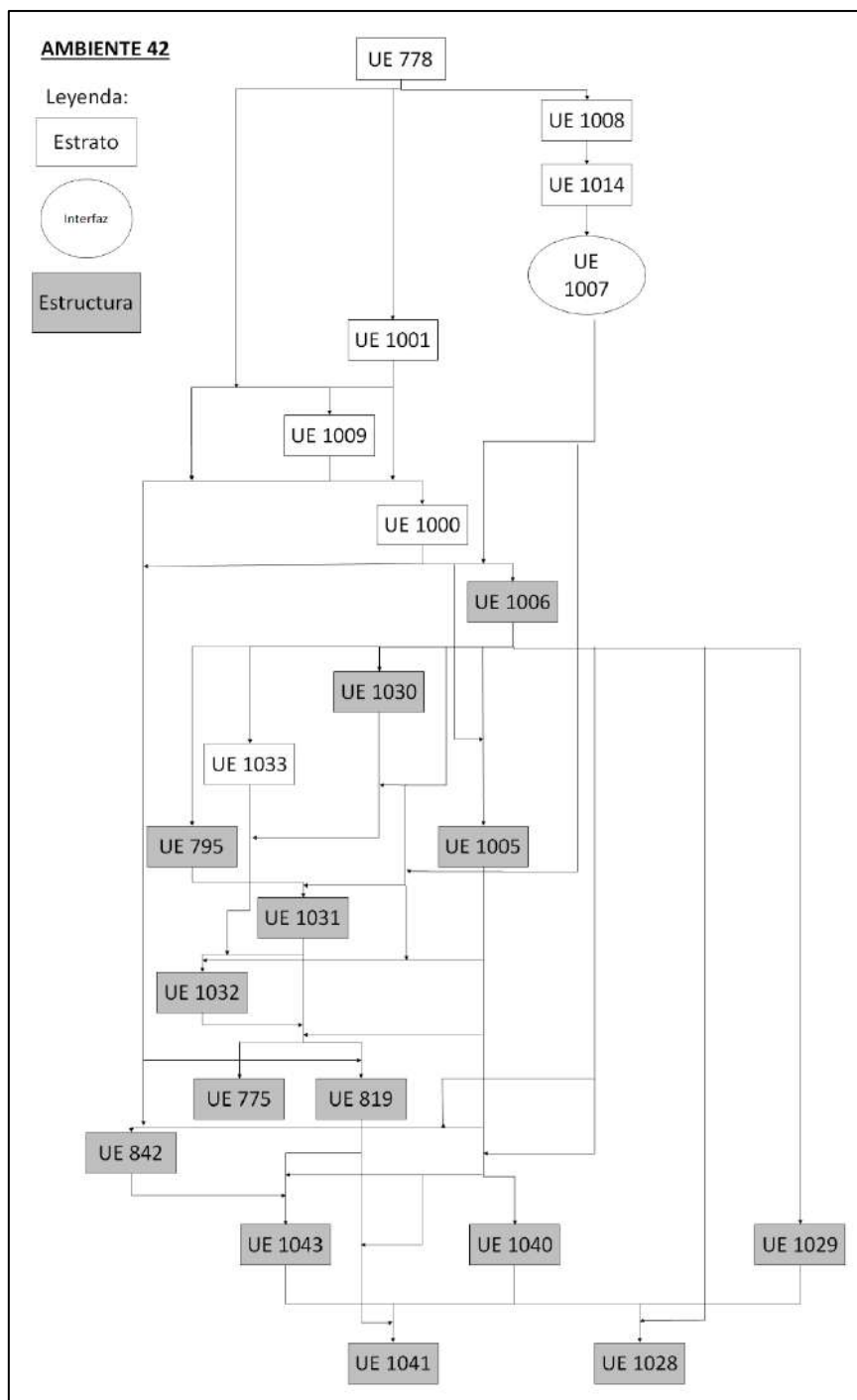


Figura 92. Matriz de Harris correspondiente a la excavación del Ambiente 42.

### Valoración

El hallazgo de un conjunto de estructuras compuesto por pavimentos hidráulicos -**UUEE 1029, 1040 y 1043**- delimitados por una serie de muros -**UUEE 1028, 1041 y 1042**- evidencia la existencia en este espacio de un conjunto de balsas anexas. Su orientación difiere ligeramente a la observada en el edificio termal. Si bien es cierto que los muros que las obliteran pertenecen a la reestructuración llevada a cabo para incorporar un nuevo circuito termal, es muy probable que sean anteriores a la construcción de las Termas Orientales. Así lo sugiere también el hallazgo de parte de una de estas balsas - **UE 835**- en el interior del **Ambiente 18**, el cual obliteró este conjunto. Su disposición en batería nos lleva a relacionarlas con algún tipo de actividad productiva, sin que podamos descartar completamente que fuesen instalaciones de almacenamiento de líquido externas al complejo termal original y asociadas al mismo, si bien lo consideramos menos probable.

En el momento en el que fue reestructurado todo el ángulo NW del edificio para añadir nuevas salas calefactadas y estancias anejas, el **Ambiente 42** fue incorporado al mismo. Así lo muestran los niveles de pavimento **UUEE 1031 y 1032**. Posteriormente, seguramente en un momento en el que el complejo termal ya había perdido su uso, fue compartimentado por **UE 795** -y probablemente, también por **UE 1005**- y se le dotó de un nuevo nivel de suelo, **UE 1006**.

## 4.9. Ambiente 27

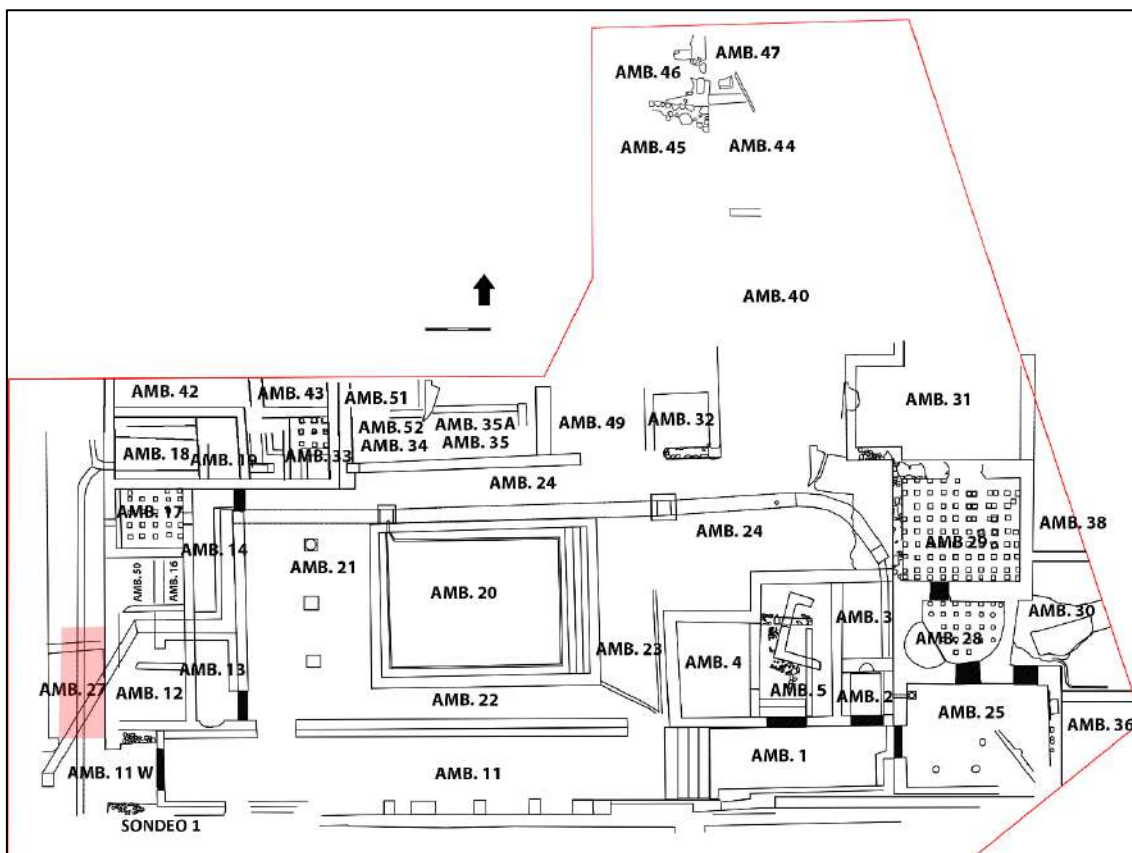
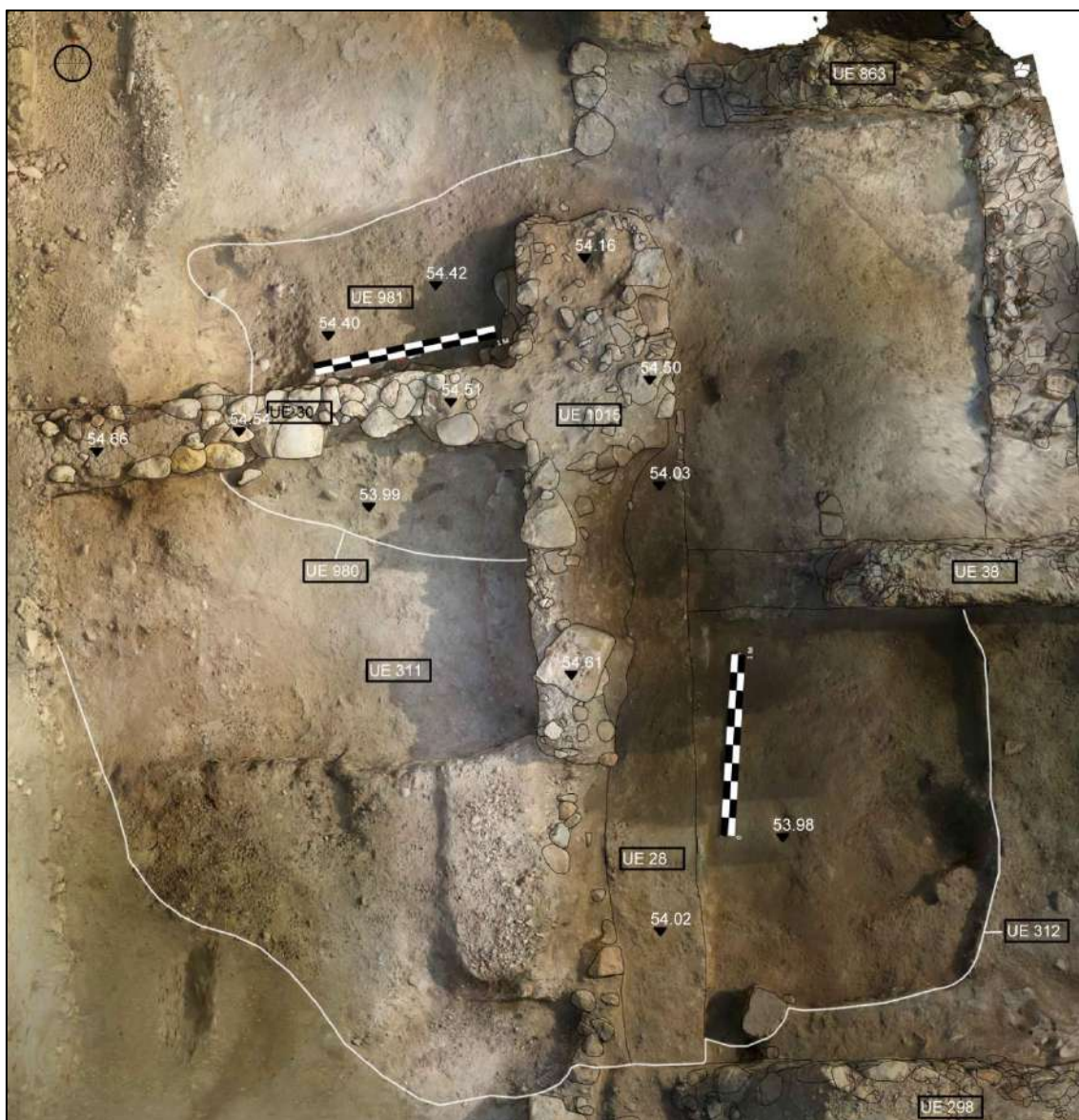


Figura 93. Plano de las Termas Orientales en el que destacamos (en rojo) el área intervenida en el interior del Ambiente 27 en la campaña 2023.

Este espacio corresponde a una calle paralela a la fachada occidental del edificio termal, la cual discurre en sentido N-S. A pesar de que ya había sido parcialmente excavada en campañas previas, decidimos intervenir nuevamente en ella con el fin de obtener información arqueológica acerca del viario de la colonia como de la fase de ampliación de las termas, la cual se hizo apropiándose de parte de la superficie del espacio público. El tramo del **Ambiente 27** en el que centramos nuestra intervención está localizado inmediatamente al W del **Ambiente 12**, en el cual ya se había comenzado a excavar una fosa -**UE 312**- que superaba sus límites para alcanzar espacios vecinos. Iniciamos nuestra intervención definiendo el límite oriental de la calle. Marcado por el muro **UE 28**, este fue obliterado y realizado posteriormente por **UE 1015**. Un nuevo lienzo perpendicular a este último -**UE 30**- interrumpía el trazado de la calle al cortarlo mediante su recorrido en sentido E-W. En aras de documentar adecuadamente esta vía, procedimos a su excavación (Figura 94).





*Figura 94. Planta estratigráfica del Ambiente 27 en el que indicamos la ubicación de la fosa UE 980 respecto a la fosa 312 y al muro UE 30.*

Comprobamos que una fosa de trazado irregular recortaba al relleno **UE 311** de la fosa **UE 312** en el **Ambiente 27**. El muro **UE 30** fue erigido -al menos parcialmente- sobre la fosa **UE 980** y sobre su relleno **UE 981**. Estaba realizado con piedras de tamaño mediano y pequeño y por cantos, todo trabado con barro. Conserva una longitud de 2'5 m, mientras que su anchura es de 0'4 m (Figuras 94 y 95).

Tras documentar adecuadamente el muro iniciamos su desmonte, con el fin de dejar visible la superficie completa de la fosa y a su relleno **UE 981** (Figura 96).



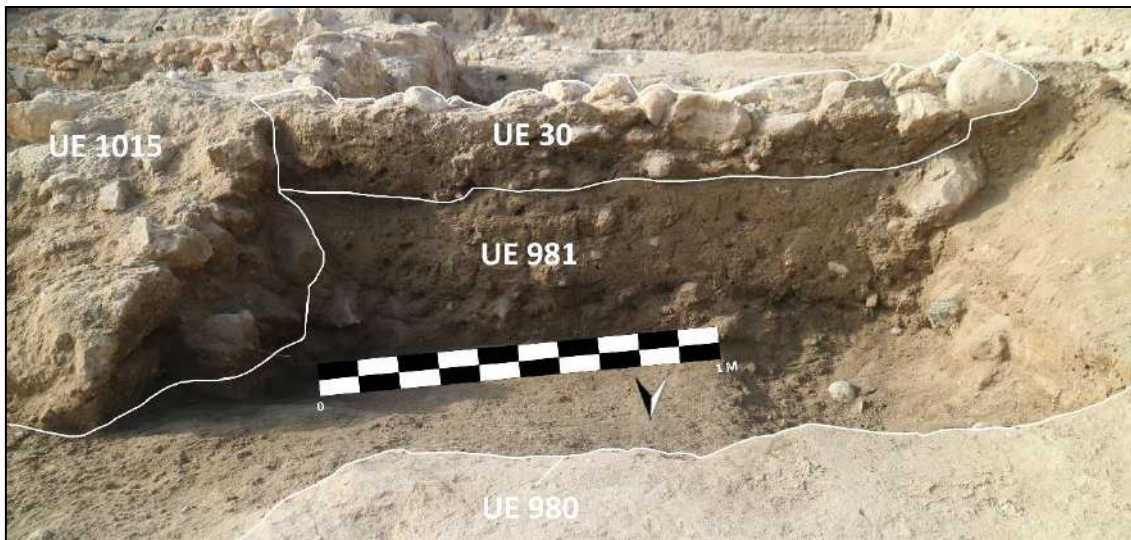


Figura 95. Vista desde el N del Ambiente 27 donde se distingue cómo el muro UE 30 fue alzado sobre el relleno de fosa UE 981.

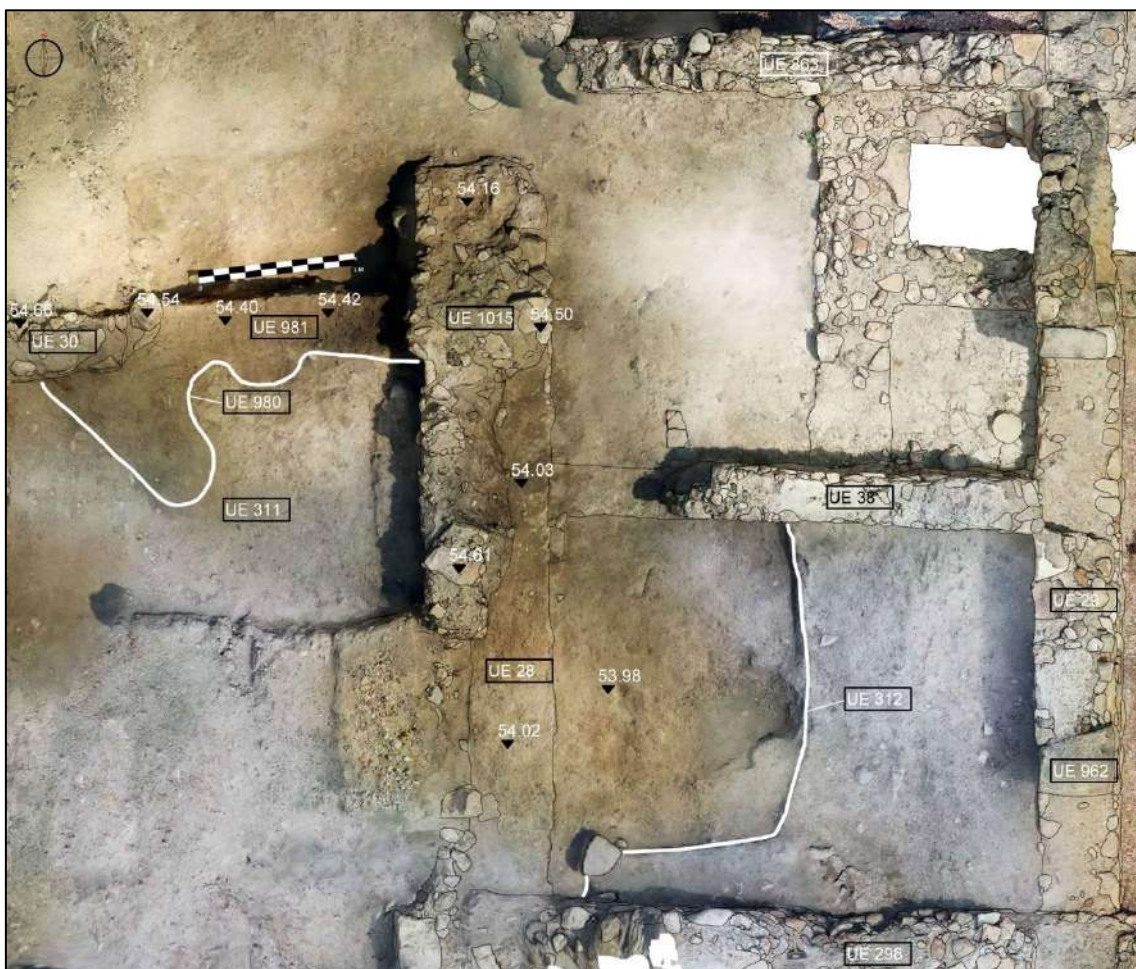


Figura 96. Planta estratigráfica del Ambiente 27 tras el desmonte parcial del muro UE 30, en la que marcamos la ubicación de la fosa UE 980 y de su relleno, UE 981.





Figura 97. Planta estratigráfica del Ambiente 27 tras la remoción de UE 981.



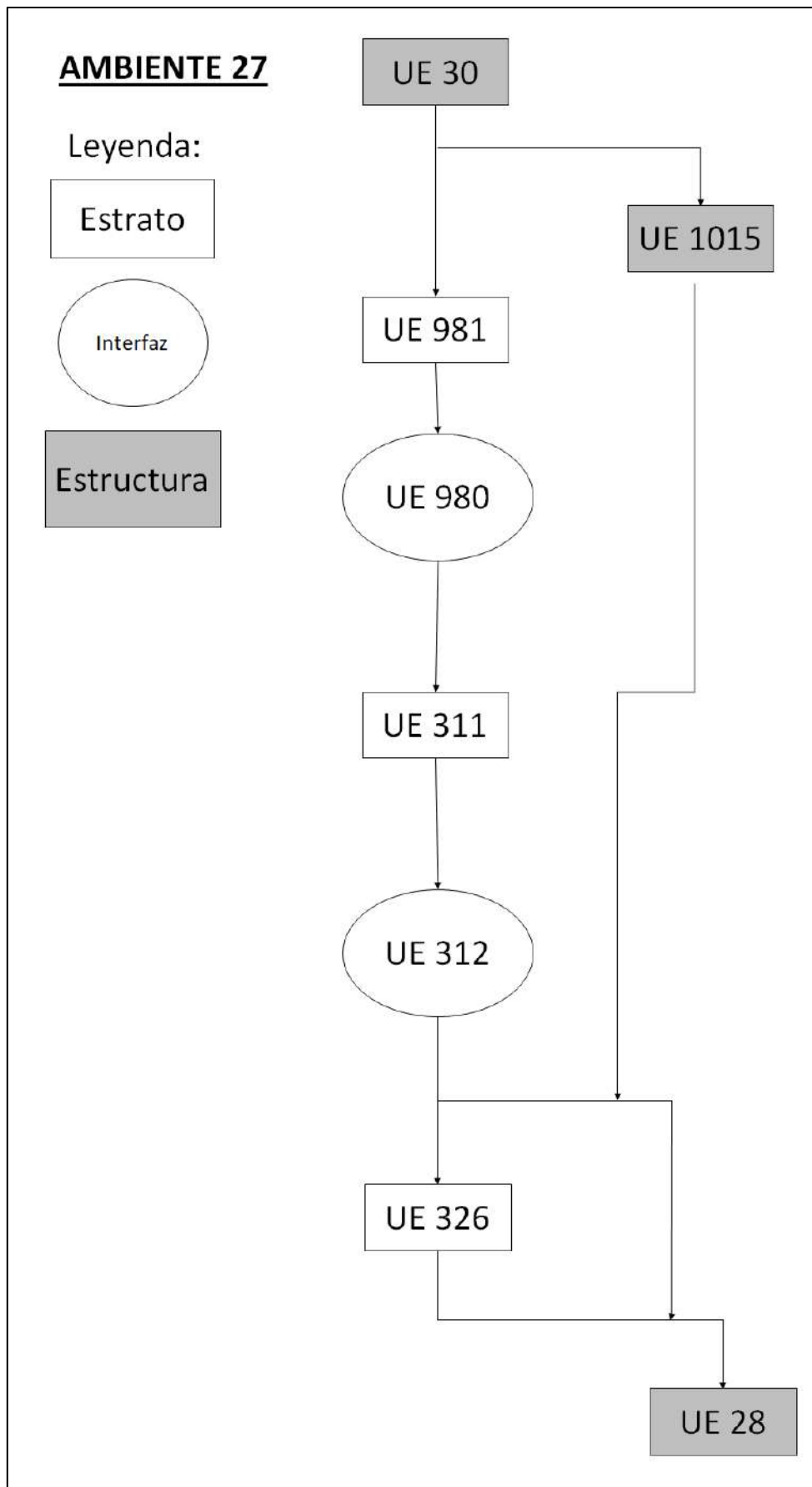


Figura 98. Matriz de Harris correspondiente a la excavación del Ambiente 27.

### Valoración

La intervención llevada a cabo en la calle **Ambiente 27** mostró que, tras varias acciones antrópicas que anulaban su función -las fosas **UUEE 312** y **980**- esta parte del yacimiento mantuvo algún tipo de ocupación, tal y como queda evidenciado con la construcción del muro **UE 30**. A pesar de que este lienzo interrumpa el uso de la calle, las fosas precedentes ya debieron de anularla en algún momento previo. Consideramos, por tanto, que tanto la excavación de las fosas **UUEE 312** y **980** como la construcción del muro **UE 30** debieron tener lugar, muy probablemente, en un momento posterior a la pérdida del uso original del complejo termal.

## 4.10. Sondeo 1

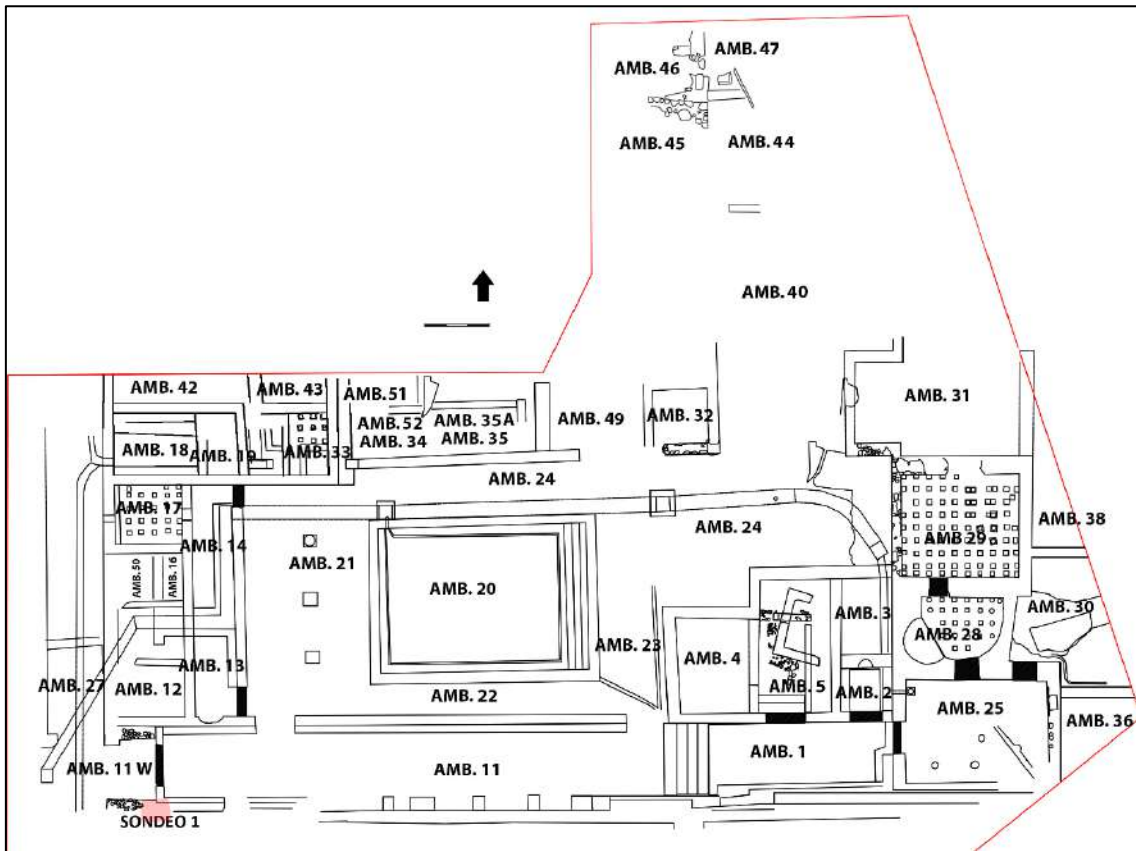


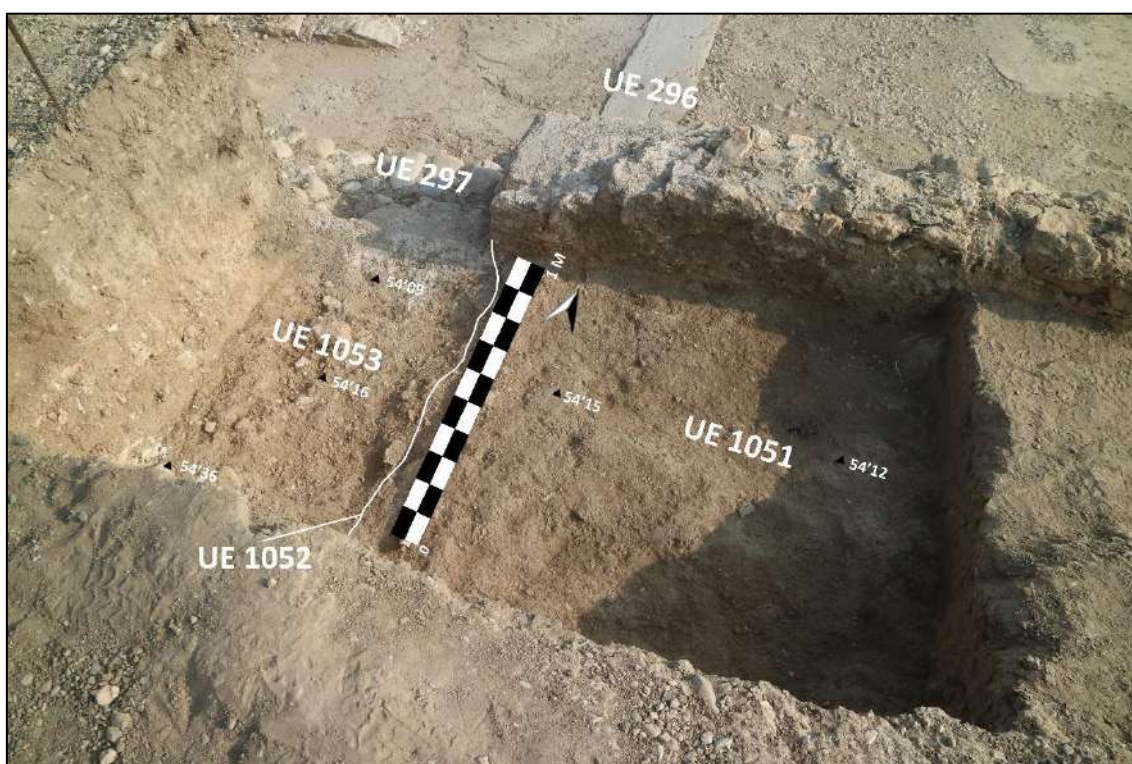
Figura 99. Plano de las Termas Orientales en el que destacamos (en rojo) el Sondeo 1, abierto en la campaña 2023.



Figura 100. Vista desde el NE de la zona escogida para la apertura del Sondeo 1 tras la remoción de UE 1, en la que se indica la ubicación de UE 1044.



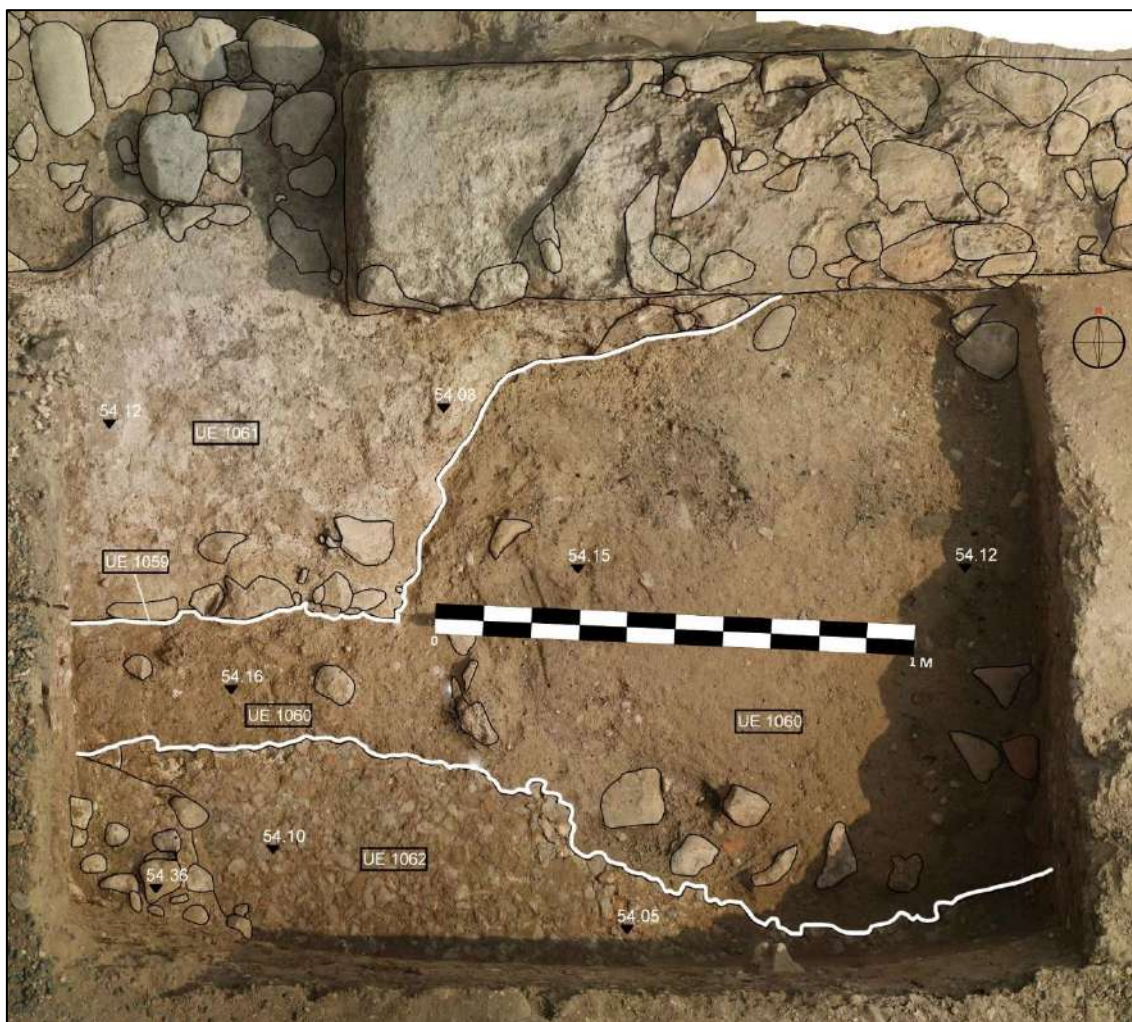
La necesidad de obtener información acerca de posibles estructuras adosadas a la fachada meridional del complejo termal nos llevó a plantear a apertura de un sondeo de 2 x 2 m -**Sondeo 1**- en una zona que incorporase en su interior a la prolongación del muro que flanqueaba el acceso principal del edificio y que, por tanto, superase la barrera del muro perimetral de las termas. Bajo **UE 1** se retiró el siguiente nivel superficial, **UE 1044**. Este paquete de tierra de tonalidad marrón y textura arcillosa y compacta ocupaba toda la superficie del interior del **Sondeo 1** (Figura 100).



*Figura 101. Vista desde el SW del Sondeo 1 tras retirar UE 1, en la que indicamos la ubicación de UE 1051, de la interfaz UE 1052 y de su relleno UE 1053.*

Con su retirada, quedó al descubierto otro nivel de tendencia horizontal -**UE 1051**- que ocupaba el espacio existente entre la prolongación del umbral de acceso al edificio -**UE 296**- y el extremo oriental del Sondeo. Estaba compuesto por tierra de tonalidad marrón, de textura muy compacta. Su extremo occidental estaba cortado por una zanja de tendencia cuadrangular -**UE 1052**-, rellena por **UE 1053**. Este paquete consistía en una tierra gris, granulosa y muy disgregada (Figura UE 101).

Una vez vaciado el contenido de la fosa **UE 1052** procedimos a excavar el nivel superficial, **UE 1051**. Con ello, quedaron expuestas dos estructuras no documentadas hasta la fecha (Figura 102).

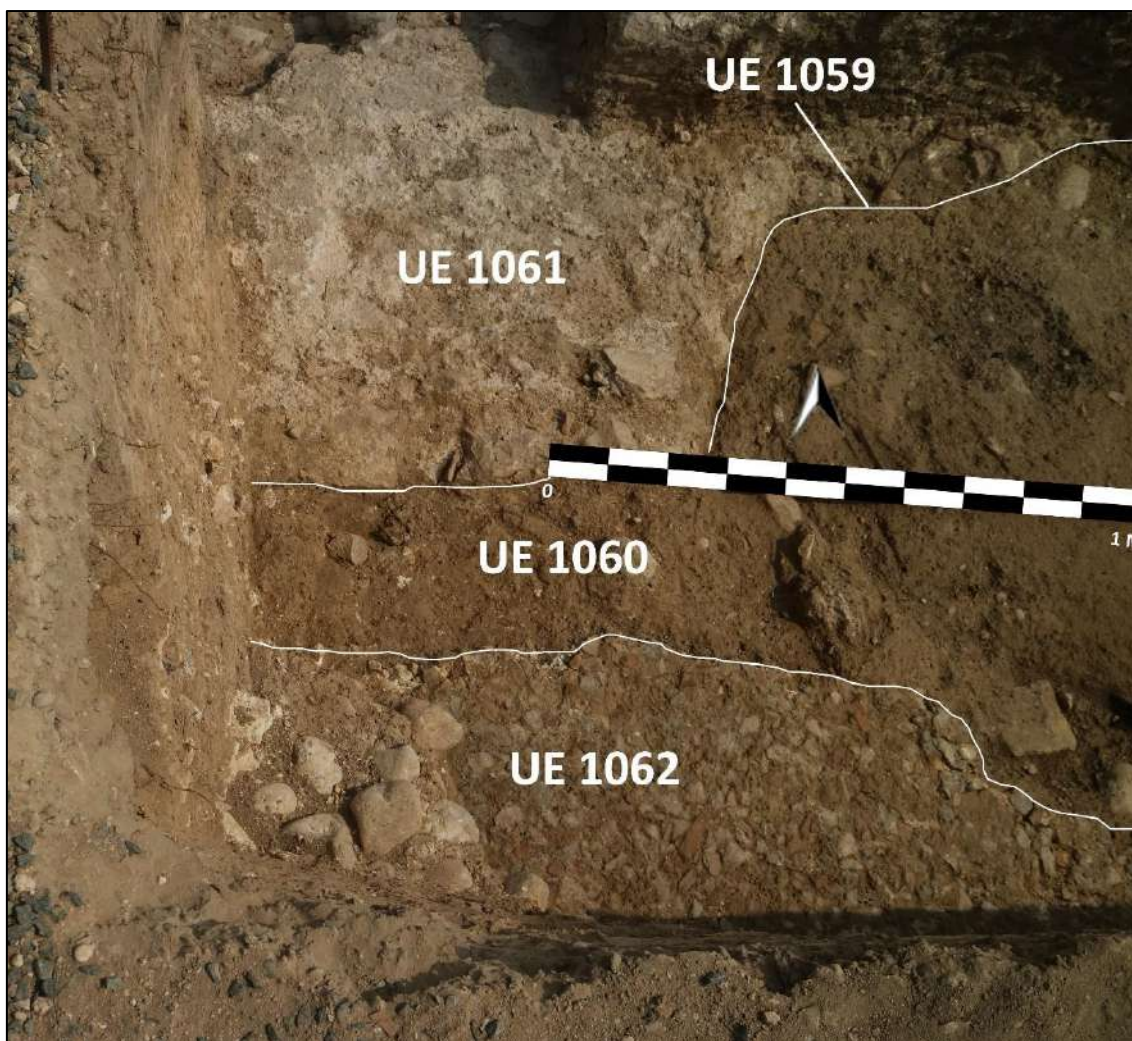


*Figura 102. Planta estratigráfica del Sondeo 1 tras retirar los niveles UUEE 1051 y 1053, en la que indicamos la ubicación de la estructura UE 1061, el pavimento UE 1062, la fosa UE 1059 y de su relleno, UE 1060.*

Efectivamente, fue identificada una gran estructura -**UE 1061**- realizada mediante un encofrado, el cual incorporaba piedras de pequeño y medio tamaño en su mortero de cal. Con una anchura de 0'5 m, estaba orientada en sentido E-W, aunque su extremo oriental estaba parcialmente recortado tras recorrer 1'5 m de su trazado por una fosa de tendencia circular, **UE 1059**. Esta fosa ocupaba todo el extremo oriental del Sondeo, sin que se pudiesen registrar sus dimensiones completas ya que proseguía más allá del perfil E. En cuanto a su extremo occidental, desde un punto central de su arco se abría



a modo de zanja cuadrangular en sentido E-W, para perderse bajo el perfil occidental. Su interior estaba ocupado por **UE 1060**, un estrato de tierra de tonalidad marrón y textura muy compacta. La parte meridional del Sondeo quedaba ocupada por **UE 1062**, una capa horizontal de mortero de cal que contaba con una abundante presencia de cantos en su composición. Quedaba recortada por el trazado de la fosa **UE 1059** (Figuras 102 y 103).



*Figura 103. Vista desde el S del Sondeo 1 en la que indicamos la ubicación de las estructuras UUEE 1061 y 1062 y de la fosa UE 1059 y su relleno, UE 1060.*

Finalizamos nuestra actuación en el **Sondeo 1** mediante el vaciado de la interfaz **UE 1059**. De este modo quedó a la vista parte del trazado del lienzo **UE 1061** que había sido recortado por la fosa, mostrando su cara meridional y su trazado a lo largo de las dimensiones del Sondeo (Figuras 104 y 105).





Figura 104. Planta estratigráfica del Sondeo 1 tras vaciar la fosa UE 1059, en la que indicamos la ubicación del muro UE 1061 y del pavimento UE 1062.

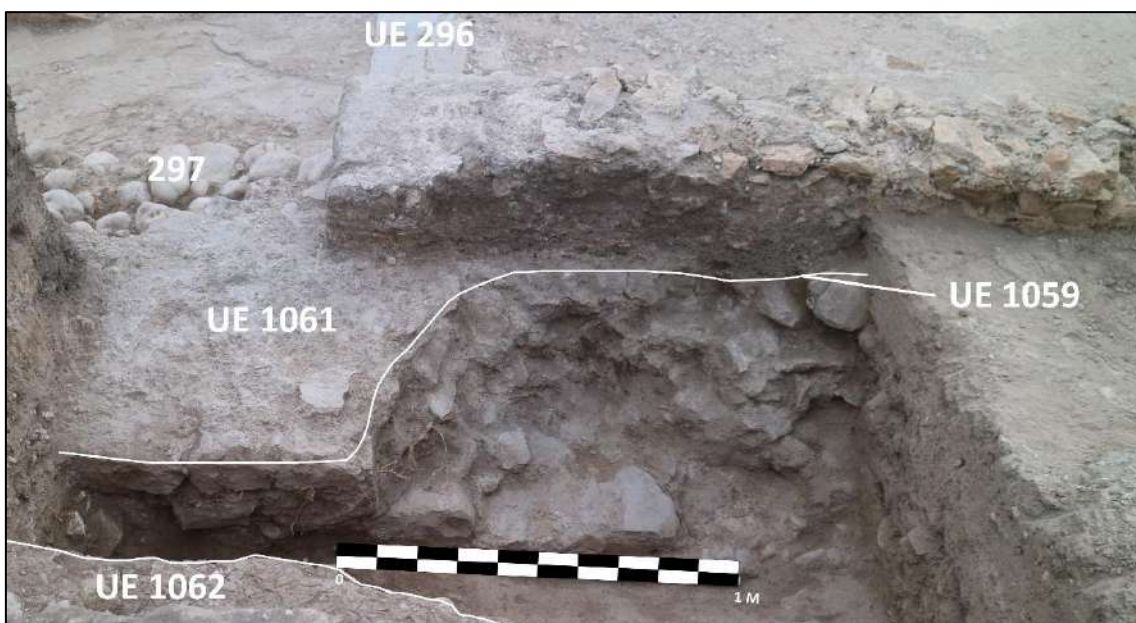


Figura 105. Vista en detalle desde el S del Sondeo 1 tras retirar UE 1060 en la que indicamos el trazado del muro UE 1061.

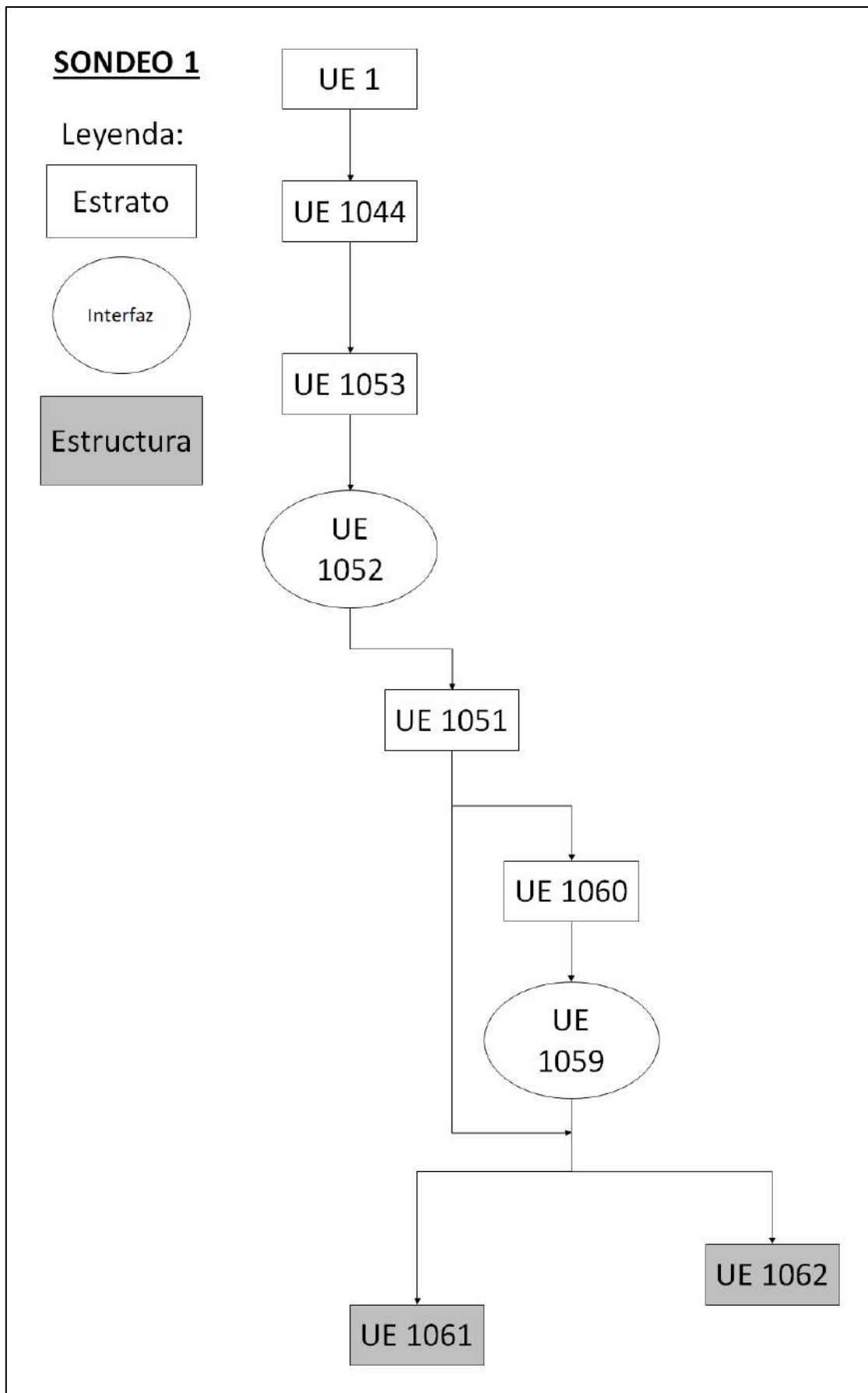


Figura 106. Matriz de Harris correspondiente a la excavación del Sondaje 1.

### **Valoración**

La excavación de este Sondeo ha permitido obtener datos de gran interés para profundizar en el conocimiento de las Termas Orientales y de su evolución. El hallazgo del pavimento **UE 1062** indica la existencia de espacios externos o anexos al edificio. Dado que la fosa **UE 1059** impide conocer la relación estratigráfica entre dicho pavimento y el muro perimetral, habrá que esperar a futuras excavaciones para determinar a qué tipo de espacio corresponde este firme, su relación con las termas y si se trata de una adición posterior o si, por el contrario, fue erigido de manera simultánea al resto del edificio.

Del mismo modo, a pesar de que ya se conocía la existencia del muro que constituye el extremo meridional de las Termas orientales -**UE 1061**- su exhumación es de gran interés para analizar las transformaciones derivadas de fases constructivas posteriores -como, por ejemplo, la naturaleza de las estructuras adosadas a su cara interna a lo largo del **Ambiente 11**.



## 4.11. Ambiente 1

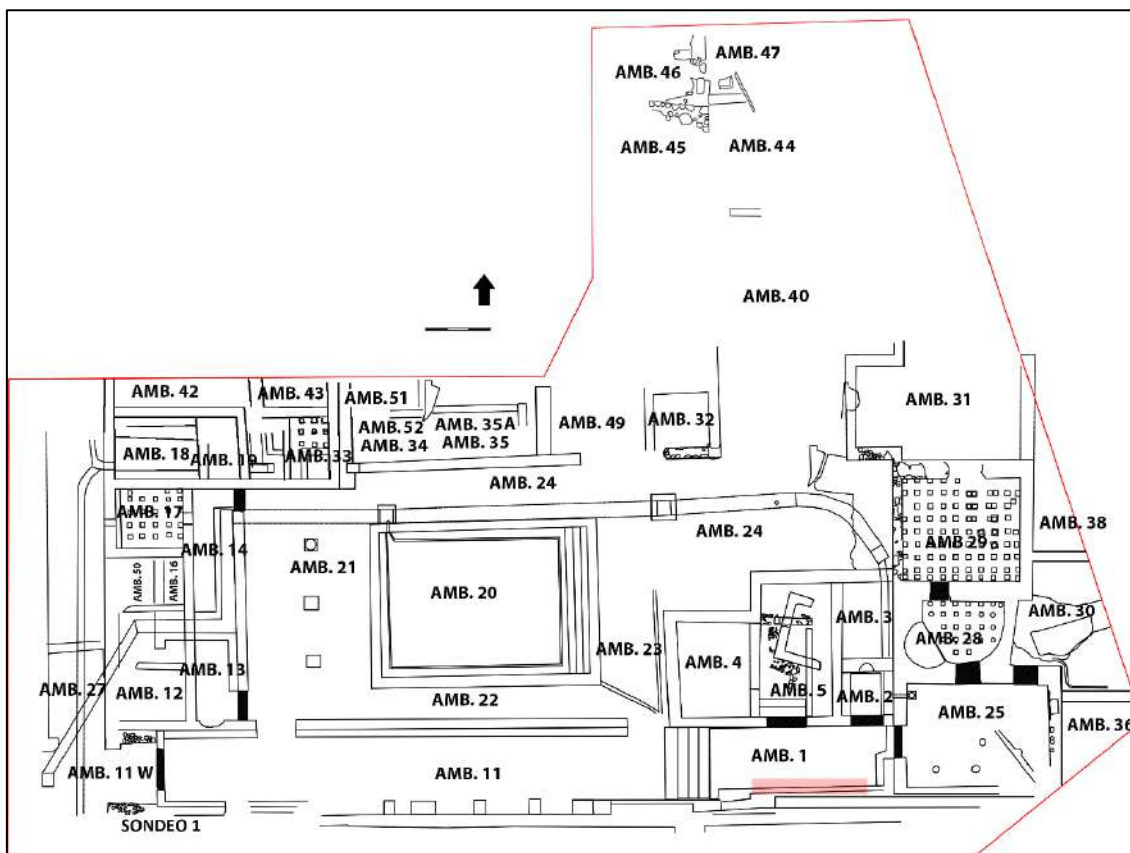


Figura 107. Plano de las Termas Orientales en el que destacamos (en rojo) el área intervenida en el interior del Ambiente 1 en la campaña 2023.

El extremo meridional del **Ambiente 1**, pavimentado con un mosaico polícromo decorado con motivos geométricos, contaba con una estructura hidráulica que flanqueaba todo su desarrollo. Un cordón hidráulico -**UE 1025**- realizado en *opus signinum* y que adoptaba la forma de medio bocel, realizaba su trazado en sentido N-S a 0'2 m de distancia del muro. Esta estructura había quedado amortizada y parcialmente oculta por un murete posterior, el cual formaba una suerte de canal. Con el fin de documentar adecuadamente las relaciones estratigráficas de esta parte del corredor, procedimos a su desmante.

Esta acción reveló que el nivel de firme original de *opus signinum* -**UE 1024**- se extendía en origen hasta el banco corrido que se adosa al muro perimetral, donde el cordón hidráulico **UE 1025** fue construido sobre el mismo (Figura 108).

Detectamos asimismo evidencias de una repavimentación con *opus signinum* -UE 1026-, vinculada seguramente al realzado del cordón hidráulico en forma de murete para generar un canal (Figura 109).



Figura 108. Vista desde el E de la zona meridional del Ambiente 1 en la que indicamos la ubicación del cordón hidráulico UE 1025 y del pavimento de opus signinum UE 1024.

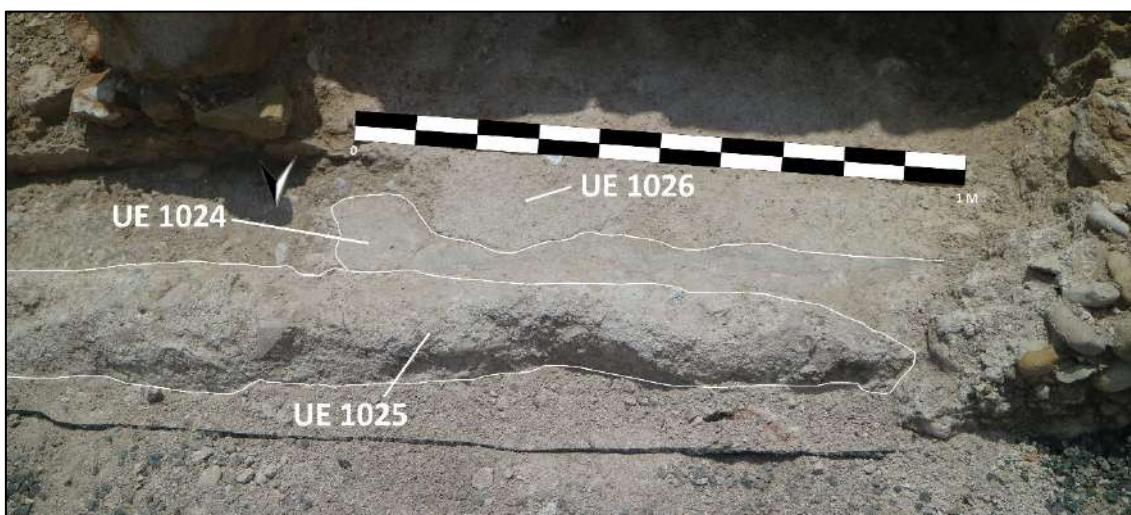


Figura 109. Vista desde el N del Ambiente 1 en la que indicamos la ubicación del cordón hidráulico UE 1025, de pavimento UE 1024 y de su reparación UE 1026.

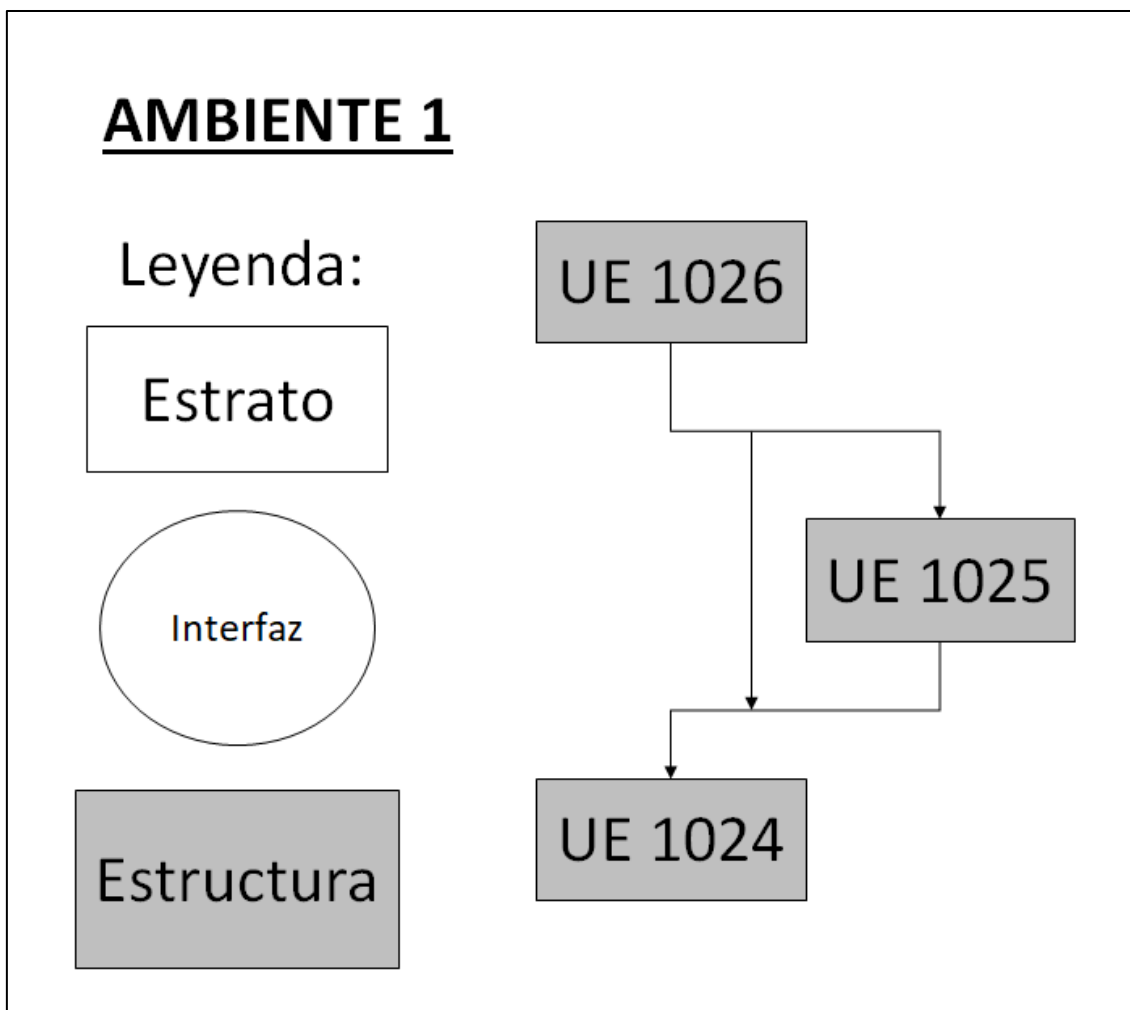


Figura 110. Matriz de Harris correspondiente a la excavación del Ambiente 1.

### **Valoración**

El desmonte del murete del canal mostró que el pavimento de *opus signinum* -base del mosaico de este Ambiente y contemporáneo al mismo- se asociaba al banco que se adosa al muro perimetral. El hecho que el diseño del mosaico, en su extremo SE, se adapte a la existencia de dicho banco ya apuntaba en esta dirección. Quedó corroborado al examinar la relación estratigráfica entre dicho banco y el pavimento **UE 1024**. Finalmente, la repavimentación **UE 1026** parece estar asociada la reestructuración que llevó a la instalación de un canal, anulando el cordón hidráulico mediante un murete que lo englobase



## 4.12. Medidas de protección y conservación

Una vez concluidas las actividades arqueológicas previstas para la campaña 2023 se procedió a cubrir los cortes abiertos con el fin de proteger los niveles y estructuras arqueológicas de los posibles daños derivados de su exposición.

En las zonas intervenidas dentro de las Termas Orientales se cubrieron los niveles arqueológicos y las nuevas estructuras exhumadas con plástico film negro con el fin de evitar su deterioro.



*Figura 111. Vista desde el S del proceso de cubrición del Ambiente 35A.*



*Figura 112. Vista desde el E de la cubrición del Sondeo 1.*



*Figura 113. Vista desde el SW de la cubierta del Ambiente 42.*

## 4.13. Valoración final

Los resultados obtenidos en la campaña 2023 han proporcionado nuevos datos de gran relevancia para profundizar en el conocimiento de este complejo termal, sobre su evolución y sus fases. Resulta especialmente evidente en las actuaciones llevadas a cabo en la parte septentrional del edificio. Si bien es cierto que todavía no se ha logrado el objetivo de delimitar el perímetro del complejo en su extremo N, las excavaciones están aportando una valiosa información sobre los distintos espacios existentes en esta zona de las Termas Orientales.

Así, la reestructuración de las Termas Orientales que incorporó un nuevo circuito termal en su extremo NW, tal y como ya se empezó a percibir en campañas previas desarrolladas en esta zona del complejo, integraron espacios que hasta esa fecha no pertenecían al conjunto termal. La ausencia de estructuras que puedan ser asociadas al momento fundacional de las Termas Orientales en el interior de los **Ambientes 42, 51, 52, 35 y 35A** apuntan en esta dirección, así como el hallazgo en varios de ellos de fases claramente previas incluso a la *deductio* colonial de *Ilici*, tal y como ocurre en los **Ambientes 51 y 52**. Por otra parte, en el **Ambiente 42** fue hallado un conjunto de balsas que, bien es previo a la construcción de las Termas Orientales o, en todo caso, pudo coexistir con ellas para ser obliterado por su reestructuración. Queda prácticamente descartado, por tanto, que estuviesen integradas en el edificio original.

Sí que hemos observado en los mismos, sin embargo, estructuras que se asocian muy probablemente a la reforma de todo este frente para incorporar nuevas salas calefactadas y espacios aledaños. Es el caso del pavimento **UE 972** en el **Ambiente 35** o de la preparación de pavimento **UE 1031** del **Ambiente 42**. También se han encontrado evidencias significativas de ocupaciones posteriores, muy probablemente asociadas a un momento en el que el edificio dejó de ser empleado como unos baños públicos. Las fundaciones de muros **UUEE 888 y 886** del **Ambiente 35A** o los lienzos **UUEE 795 y 1005** del **Ambiente 42** son algunos de ellos.

El hecho de que el límite septentrional del gran patio central esté compuesto por lienzos de distinta factura -**UUEE 506, 505, 504, 500, 496 y 497**- evidencia que es fruto de distintas refacciones. Resulta especialmente interesante que uno de ellos -**UE 496**- sea



en realidad un muro perpendicular al resto de tramos, de orientación E-W. Dado que las excavaciones en el interior de los **Ambientes 50 y 51** mostraron que **UE 506** es posterior al lienzo **UE 507** -paralelo a **UE 496**- cabe plantear si, originariamente, el cerramiento del espacio comprendido entre **UUEE 507 y 496** se encontraba más al N de lo que está en la actualidad. Este cerramiento pudo ser desplazado al S hasta su posición actual en el momento en el que todos estos espacios fueron añadidos al edificio termal con su reestructuración. En cualquier caso, se trata de una hipótesis que requerirá de varias intervenciones arqueológicas para obtener los datos suficientes que aporten luz sobre este particular.

Por otra parte, el amplio espacio abierto existente entre el muro **UE 496** y el límite del circuito calefactado original, donde se encuentra el **Ambiente 49**, está comunicado con el patio central y podría relacionarse con la existencia de una *palestra*, un espacio dedicado a la práctica de actividades deportivas. Las excavaciones llevadas a cabo hasta la fecha no han sido concluyentes, por lo que será preciso ampliar el área de excavación con el fin de recabar más datos que faciliten en análisis de esta zona y de sus posibles funciones. El **Ambiente 40** forma parte de esta misma ecuación, con la salvedad de que en su caso las excavaciones se encuentran en un momento menos avanzado que las del espacio vecino.

En campañas precedentes dedicamos nuestra atención al análisis del extremo occidental del edificio y de cómo su reestructuración englobó parte del viario público para incorporarlo al complejo termal. Mientras que hasta la fecha concentramos nuestra atención en las zonas que fueron añadidas a las Termas Orientales mediante esta reforma, en esta campaña retomamos la excavación del vial anejo, el **Ambiente 27**. La intervención consistió en retirar construcciones y niveles de destrucción de un momento posterior al abandono tanto del complejo termal como de la propia calle, por lo que será necesario dedicar nuevas campañas que permitan alcanzar la superposición de niveles de uso que pudieron ser documentados en otras zonas de la misma.

Finalmente, queda apuntar que ha podido ser confirmada la existencia de espacios externos al bloque principal del edificio, al menos en su extremo meridional. Efectivamente, el **Sondeo 1** mostró un pavimento que puede ser relacionado con construcciones externas relacionadas con el muro perimetral, sin que se haya podido

determinar de momento si son cuerpos adosados o construidos en el mismo momento que el conjunto termal.

Recapitulando, la progresiva construcción del pasado y evolución de las Termas Orientales que estamos realizando campaña tras campaña con los datos proporcionados por las excavaciones nos está ayudando a definir cada vez más determinados aspectos de su ocupación, fases constructivas y usos, al tiempo que nos permite plantear nuevas incógnitas relacionadas tanto con el edificio como con el devenir del propio entramado urbano en el que se inserta. Estas nuevas cuestiones -al igual que las que siguen todavía pendientes- constituirán parte de los objetivos planteados para las futuras campañas.

## 5. Listado de UUEE

UE	AMBIENTE	TIPO	DESCRIPCIÓN
<b>2017</b>			
1	-	Estrato	Capa superficial presente en todo el yacimiento
2	24B	Estrato	Estrato al E. del muro UE 4, bajo UE 1
3	24A	Estrato	Estrato al W. del muro UE 4, bajo UE 1
4	24A/24B	Muro	Muro de orientación N-S que divide en dos al Amb 24
5	24B	Estrato	Relleno del basurero que recorta la fosa UE 8 en la UE 2
6	Sobre 25	Interfaz	Fosa en forma de cono invertido que recorta a los Amb. 1, 25 y 28
7	24A	Estrato	Posible fosa cubierta por UE 3 al NW del muro UE 4
8	24B	Interfaz	Fosa que recorta a la UE 2, rellena por UE 5
9	24A	Estrato	Derrumbe que se apoya en UE 3, al NW del muro UE 4
10	27W	Estrato	Amontonamiento de piedras con alineación N-S bajo UE 1
11	27W	Estrato	Estrato horizontal ¿pavimento? bajo UE 1
12	27W	Estructura	Pavimento de mortero ¿o. signinum? Bajo UE 11, roto al N por fosa UE 15
13	27W	Estructura	Pavimento equivalente a UE 12, roto al S por fosa UE 15
14	27W	Estructura	Pavimento por definir bajo UUEE 12 y 13
15	27W	Interfaz	Fosa que parece romper los pavimentos UUEE 12 y 13. Rellena por UE 16
16	27W	Estrato	Relleno de la fosa UE 15
17	27W	Estrato	Estrato de tierra marrón claro bajo UE 1, en la zona E del corte
18	27W	Estrato	Estrato de tierra negra muy suelta bajo UE 1, en la zona E del corte
19	24A	Estrato	Estrato gris que forma la capa superior del relleno de la fosa de UE 36



20	24A	Estrato	Nivel de ceniza que rellena a la fosa de UE 36
21	24A	Estrato	Relleno de la fosa de UE 22
22	24A	Interfaz	Fosa realizada contra el muro UE 4, rellena por UE 21
23	Sobre 25	Grupo UUEE	Canal dirección N-S, ligeramente curvado. Posible acequia siglo XIX. Cortada por fosa UE 6
24	Sobre 25	Estrato	Relleno del tramo de acequia del G.U. 23
25	Sobre 25	Estructura	Estructura de piedras al E de la acequia UE 23. Posible brocal
26	Sobre 25	Estructura	Estrato de tendencia horizontal, compacto, situado en la parte E del corte. Posible pavimento
27	27W	Estrato	Estrato de tierra anaranjada que cubre a la UE 11
28	27W	Muro	Muro con orientación N-S bajo UE 1
29	27W	Muro	Muro con orientación N-S, paralelo al E de UE 28
30	27W	Muro	Muro de orientación E-W que hace esquina al W con el muro UE 28
31	27W	Interfaz	Fosa-recorte en la UE 17, rellena por la UE 18
32	27W	Estrato	Estrato de tierra marrón oscuro/negro que rellena una pequeña fosa circular (UE 34). Cubierta por UE 17
34	27W	Interfaz	Fosa-recorte circular relleno por UE 33. Recorta a UE 32
35	Sobre 25	Estrato	Relleno de la fosa UE 6
36	24A	Interfaz	Fosa que recorta a UE 3, rellena por 20
37	Sobre 25	Estructura	Extremo S del partidor E de la acequia de G. U. 23
38	Sobre 25	Estructura	Extremo N del partidor E de la acequia de G. U. 23
39	Sobre 25	Estructura	Fondo del partidor E de la acequia de G.U. 23
40	Sobre 25	Estructura	Extremo W del partidor S de la acequia de G.U. 23
41	Sobre 25	Estructura	Fondo del partidor S de la acequia de G.U. 23
42	Sobre 25	Estructura	Muro W de la acequia de G.U. 23

43	Sobre 25	Estructura	Muro E de la acequia de G.U. 23, que llega hasta el extremo del partidor UE 38
44	Sobre 25	Estructura	Resto de muro que continúa otro ramal de la acequia de G.U. 23, a continuación de UE 37
45	Sobre 25	Estructura	Resto de muro que continúa otro ramal de la acequia de G.U. 23, a continuación de UE 38
46	Sobre 25	Estructura	Tramo de muro de la acequia de G.U. 23 que continúa al muro UE 43 tras la UE 37
47	Sobre 25	Estructura	Tramo de muro de la acequia de G.U. 23 al S del partidor UE 40
48	27W	Estrato	Estrato de tierra marrón pardo, recortado por la fosa UE 31 y cubierto por la UE 17
49	24A	Estrato	Estrato gris con piedras y cerámica. Igualado a UE 20
50	Sobre 25	Estrato	Estrato ceniciento de tendencia horizontal bajo pavimento UE 26
51	Sobre 25	Estructura	Estructura cuadrangular realizada con piedras irregulares, sobre UE 52
52	Sobre 25	Estrato	Estrato de cal disgregada, de tendencia horizontal, sobre UE 50
53	Sobre 25	Estrato	Nivel de tierra de cultivo que colmata todo el corte. Recortado por fosa UE 6
54	24A	Estrato	Estrato gris arcilloso con piedras, bajo UE 20. Relleno fosa
55	24A	Estrato	Estrato arcilloso verde cortado por UE 36 (fin de la fosa)
56	Sobre 25	Estrato	Estrato con gravas bajo UUEE 35 y 53. Ocupa todo el corte
57	Sobre 25	Interfaz	Recorte sobre UE 56 para encajar el canal de G.U. 23
58	27W	Estrato	Estrato de tierra marrón amarillenta bajo UE 11, rellenando a UE 59
59	27W	Interfaz	Recorte en el pavimento UE 11, relleno por UE 58
60	28	Estrato	Acumulación de piedras contra muro UE 3304. Posible derrumbe del mismo
61	Sobre 25	Interfaz	Recorte en UE 56 para hincar el partidor UE 37
62	Sobre 25	Interfaz	Recorte en UE 56 para hincar el partidor UE 38

63	Sobre 25	Interfaz	Recorte en UE 56 para hincar el partidor UE 40
64	28	Interfaz	Recorte practicado en la parte superior del muro UE 3304, destruyendo parte de la exedra
65	28	Interfaz	Relleno del recorte UE 64
66	25	Estrato	Acumulación de piedras ¿derrumbe? que se apoya en el muro UE 67
67	25/28	Muro	Muro orientación W-E que traba con UE 3304 y separa a los Amb 25 y 28. Su cara interna (Amb 28) traza un recorrido curvo
68	28	Estrato	Estrato grisáceo con abundante presencia de material constructivo
69	29	Estrato	Estrato grisáceo con presencia de escoria de metal
70	25	Estrato	Estrato arenoso (mortero disgregado) que continúa hacia el E el recorrido del muro UE 67
71	28	Estrato	Acumulación de paleocharcos, dentro de la exedra. Se apoya en 60 y en 68
72	29	Estrato	Estrato de tierra naranja, con presencia de ladrillo y adobes
73	29	Estructura	Pilar (jamba) que sobresale del muro UE 3304 en dirección E-W
74	11W	Muro	Muro W de posible canalización
75	24B	Estrato	Capa de tierra y restos cerámicos, cenizas y material de construcción rellenando fosa UE 8, bajo UE 5
76	Sobre 25	Estrato	Estrato de cal muy disgregada. Situado entre pavimento UE 26, acequia de G.U. 23 y la UE 52. Sobre UE 53
77	28	Estructura	Enlucido que reviste la cara externa del muro de UE 3304
78	11W	Muro	Muro E de posible canalización
79	11W	Estrato	Relleno entre las UUEE 74 y 78
80	11W	Estrato	Capa de tierra de tonalidad oscura y suelta al W de UE 74
81	11W	Estrato	Estrato de tierra gris oscuro en la zona SE del corte. Posible relleno de fosa
82	11W	Estrato	Estrato de tierra gris oscura en la zona NE del corte. Posible relleno de fosa



83	11W	Muro	Muro de mampostería en piedra caliza, situado al N-NE del corte
84	11W	Estrato	Estrato de tierra gris, compactada y con piedras
85	29	Estructura	Nivel de tierra y acumulación de fragmentos de enlucido parietal
86	25	Estrato	Acumulación de mortero disgregado y de fragmentos de estuco bajo UE 94
87	28	Estructura	Enlucido de estuco en la cara del muro UE 67, hacia el vano
88	28	Estructura	Enlucido de estuco en la cara del muro 89, hacia el vano
89	25/28	Muro	Muro bajo UE 70 que conforma el extremo E del Amb 28. Un tramo continúa el recorrido E-W del muro 67 antes de hacer ángulo en dirección N-S
90	28	Estrato	Estrato de mortero disgregado y revuelto sobre el muro 89
91	25	Estrato	Derrumbe de mortero bajo UE 68 y al NE del muro 3304
92	25	Estructura	Enlucido de estuco en el muro UE 3304 en el ángulo con el muro UE 67
93	25	Estructura	Enlucido de estuco sobre el muro UE 67 en el ángulo con el muro UE 3304
94	25	Estrato	Estrato ataludado cortado por fosa UE 6. Bajo UE 56. Posible derrumbe
95	25	Estrato	Nivel de derrumbe apoyado contra el muro UE 67
96	11W	Estrato	Estrato de tierra marrón claro, bajo UE 82, rellenando a la fosa UE 97
97	11W	Estrato	Fosa rellena por UE 96 y 82
98	29	Interfaz	Fosa que recorta a la UE 72
99	29	Estrato	Relleno de la fosa UE 98
100	29	Interfaz	Interfaz que recorta la UE 85 y rellenada por UE 69
101	11W	Estrato	Estrato de tierra marrón grisáceo bajo UE 1 en la zona SE del corte
102	25	Estrato	Estrato de tierra amarillenta y arenosa, con gran cantidad de enlucidos, bajo UE 94
105	11W	Estrato	Estrato de tierra marrón amarillenta en el fondo de la fosa UE 106
106	11W	Estrato	Recorte-fosa de tendencia ovalada relleno por la UE 81

107	3/4/5	Estrato	Estrato que cubre la cresta de los muros UUEE 3008, 3003 y 3001. Compuesto por tierra suelta de color castaño y piedras de pequeño tamaño
108	5	Estrato	Estrato de tierra anaranjada apelmazada sobre muro UE 3001. Cubre a UE 117
109	28	Estrato	Acumulación de piedras que se apoya en la cara W de UE 74
110	24A	Estrato	Tierra compacta amarillenta sin fragmentos cerámicos. Bajo UE 3
111	24A	Interfaz	Fosa que recorta a UE 110 para apoyar o cimentar muro UE 4
112	30	Estrato	Nivel de tierra parduzca sin material arqueológico que se apoya en la cara E de la UE 89
113	28/29	Muro	Muro dirección E-W que separa los Amb 28 y 29
114	29	Estrato	Nivel de tierra bajo UE 85 y contra la cara N del muro UE 113
115	28	Estrato	Cúmulo de piedras apoyado en la cara S del muro UE 113
116	25	Estrato	Nivel de tierra con material de construcción que colmata el Amb 25, bajo UE 102
117	5	Estrato	Estrato compacto de tierra color castaño con piedras de pequeño tamaño bajo UE 108
118	28	Estrato	Estrato de tendencia horizontal bajo UE 68
119	24B	Estrato	Estrato de tierra bajo UE 5 que se apoya en UE 75, en el interior de la fosa UE 8
120	11W	Estructura	Nivel de pavimentación
121	11W	Estructura	Nivel de pavimento bajo UE 120
122	25	Estrato	Estrato compacto de tonalidad anaranjada en el extremo N que apoya contra el muro UE 67 bajo UE 95
123	29N	Estrato	Colmatación de piedras al N del muro UE 3304
124	11W	Estrato	Estrato de tierra marrón anaranjada bajo UE 122 y UE 184
125	29N	Estrato	Estrato de tierra marrón (zahorra) bajo UE 123

126	29N	Estrato	Tierra de tonalidad cenicienta que rellena a UE 128
127	29N	Estrato	Nivel de tierra, gravas y mortero disgregado recortado por UE 128. Bajo UE 123
128	29N	Interfaz	Fosa que recorta a UUEE 125, 127 y 144
129	29N	Muro	Muro adosado al muro UE 3304. Posible hornacina
130	25	Estructura	Pavimento del Amb 25, bajo UE 116
131	25	Estructura	Media caña hidráulica en el extremo SW del Amb 25
132	25	Estructura	Media caña hidráulica en el extremo NW del Amb 25
133	25	Estructura	Media caña hidráulica en el extremo N del Amb 25, adosada a la UE 67
134	25	Estructura	Posible escalón de acceso al Amb 28 desde el Amb 25, bajo el umbral UE 135
135	25	Estructura	Umbral que comunica al Amb 25 con el 28. Cubierto por UE 66 y sobre UE 134
136	25	Interfaz	Anulada
137	25S	Estrato	Tierra anaranjada con escaso material arqueológico que cubre al muro que delimita el extremo S del Amb 25
138	28	Estructura	Enlucidos que revisten la cara W del muro UE 89
139	29	Interfaz	Interfaz que recorta a la UE 114. Relleno por UE 140. Al N del muro UE 113
140	29	Estrato	Relleno de la interfaz 139. Apoya contra el muro UE 113 por el N
141	28	Interfaz	Recorte practicado a la UE 118, relleno por UE 115. Al S del muro UE 113
142	28/29	Estrato	Estrato de tierra que colmata el extremo W de la fosa de UE 139/141
143	29N	Estrato	Nivel compuesto por tierra grisácea de textura arcillosa, con fragmentos de ladrillo y de estuco
144	29N	Muro	3304
145	29N	Estrato	Anulada
146	24B	Estrato	Estrato de adobes compactados bajo UUEE 75 y 119



147	25	Estructura	Base de piedra con perforación vertical. En el extremo NW del Amb 25
148	25	Estrato	Relleno de la UE 147
149	25	Estrato	Estrato que colmata la fosa UE 150, en el ángulo NE del Amb 25
150	25	Interfaz	Recorte practicado en el ángulo NE del Amb 25, en el pavimento UE 130
151	25	Estructura	Canal construido en el pavimento UE 130
152	25	Estrato	Relleno del canal UE 151
153	25	Estrato	Estrato en talud que desciende en sentido N-S, de tonalidad amarillenta, que cubre parcialmente al pavimento UE 130 y se apoya en el muro UE 189
154	25	Estrato	Estrato en talud que desciende en sentido S-N, formado por tierra y piedras. Cubre parcialmente al pavimento UE 130 y se apoya en la cara N del muro UE 209
155	25	Estructura	Media caña hidráulica con orientación W-E que delimita el extremo S del Amb. 25
156	25	Estructura	Estructura circular sobre el pavimento UE 130. Conectada al canal UE 152. Posible base original del <i>labrum</i>
157	25	Estructura	Canal que une la estructura circular UE 156 con la toma de agua UE 147. Construido en pavimento UE 130
158	28	Estrato	Estrato de tendencia horizontal bajo UE 118. Cubre parcialmente a UE 160. Posible nivel de paso
159	28	Estructura	Media caña hidráulica que bordea la exedra del muro UE 3304
160	28	Estructura	Resto de pavimento de <i>o. signinum</i> bajo UUEE 118 y 158
161	25	Estructura	Estructura circular sobre pavimento UE 130. Posible segunda ubicación del <i>labrum</i>
162	28	Estrato	Nivel de tendencia horizontal bajo UE 158
163	28	Estructura	Nivel horizontal de <i>o. signinum</i> entre muros UUEE 73 y 113 (vano)
164	28	Estructura	Losas bajo UE 163, entre muros UUEE 73 y 113 (vano)

165	25	Elemento	Fragmentos de pavimento que forman parte del vertido UE 116
166	11W	Estrato	Nivel de pavimento formado por abundante cal amarillenta, pequeñas piedras y cerámica
167	2	Interfaz	Interfaz que marca el límite de las excavaciones Ramos
168	2	Estrato	Estrato de tendencia horizontal en el canal al W del Amb. 2
169	11W	Estrato	Estrato de tierra gris que rellena una zanja que recorta el corte en dirección N-S
170	11W	Estrato	Zanja longitudinal que cruza el corte en dirección N-S, rellena por UE 169
171	11W	Estrato	Estrato de tierra gris que rellena una pequeña zanja en la zona N del corte, rompiendo el pavimento UE 121
172	11W	Estrato	Zanja que vemos parcialmente en la zona N del corte, rompiendo UE 121 y rellena por UE 171
173	25	Elemento	Restos humanos dentro de la UE 193, sobre el canal que delimita el extremo S del Amb. 25
175	28E	Estrato	Acumulación de tierra y piedras entre la cara E del muro UE 89 y el límite del corte, bajo UE 53. Se le apoya UE 112
176	4	Estrato	Relleno de la interfaz UE 177. Excavaciones de las campañas Ramos
177	4	Interfaz	Interfaz realizada en las excavaciones de las campañas Ramos
178	4	Estructura	Cimentación del muro S del G.U. 3007, sobre UE 206
179	4	Estrato	Estrato de tierra anaranjada junto a los muros UUEE 3008 y 3003, al N del Amb. 4
180	25	Interfaz	Recorte practicado en la UE 53 con el fin de instalar la acequia de UE 23.
181	4	Muro	Muro bajo el muro UE 185
182	11W	Estrato	Estrato de tierra marrón pardo con abundante material de construcción, bajo UUEE 101 y 84

183	11W	Estrato	Estrato de tierra marrón oscuro, poco compacta, bajo UE 166 (su preparación)
184	11W	Estrato	Estrato de tierra marrón oscuro tendente al negro, bajo UUEE 182 y 183
185	4	Muro	Muro de orientación N-S sobre muro UE 181, al E del Amb. 4
186	4	Muro	Muro de orientación W-E al N del Amb. 4 ¿trabado? al muro UE 185
187	25	Estructura	Media caña hidráulica que delimita el extremo NE del Amb. 25. Se adosa al muro UE 193
188	25	Estructura	Media caña hidráulica que delimita el extremo E del Amb. 25. Se adosa a UUEE 189, 190 y 191
189	25	Estructura	Muro de orientación N-S que delimita el Amb. 25 en su extremo E
190	25	Estructura	Revestimiento de ladrillo sobre la cara externa del muro UE 189, en el extremo E del Amb. 25. Se adosa a UE 191
191	25	Estructura	Revestimiento de mármol sobre la cara externa del muro UE 189, en el extremo E del Amb. 25. Se le adosa UE 190
192	25/28	Muro	Muro de orientación E-W al E del vano UE 135. Cubierto por muro UE 89
193	25	Estrato	Relleno de la interfaz UE 194, en cuyo interior se encuentran los restos humanos UE 173
194	25	Interfaz	Fosa bajo UE 116 que recorta a UE 154. Rellena por UE 193
195	25	Estrato	Relleno del canal que conforman las UUEE 209 y 3213
196	28	Estrato	Estrato de tendencia ataludada que desciende en sentido E-W, de tonalidad amarillenta y textura granulosa. Bajo UE 162
197	28	Interfaz	Recorte en el Amb. 28 que rompe el mosaico
198	28	Estructura	Pavimento de mosaico cortado por la interfaz UE 197
199	28	Estrato	Nivel de cantos bajo UE 162 y sobre mosaico UE 198, junto al vano UE 135



200	4	Estructura	Estructura de tendencia horizontal realizada con cantos rodados. Al E del Amb. 4, bajo el muro UE 181
201	4	Muro	Muro de orientación NW-SE bajo la UE 176, al E del Amb. 4 y bajo el muro UE 185
202	28	Estrato	Tierra cenicienta con huesos que rellena la fosa UE 197. Bajo UE 162
203	28	Estructura	Mosaico bajo UE 199, en el extremo W del Amb. 28. Cortado por UE 197
204	4	Estrato	Estrato de tierra apelmazada de tonalidad castaño oscuro. Situada entre los muros UUEE 181 (E), 201 (N) y 3006 (S). Relleno de la interfaz 177, bajo UE 176
205	4	Estructura	Cimentación del muro N del G.U. 3007, bajo el alzado de <i>o. africanum</i>
206	4	Estrato	Estrato castaño con inclusiones de cal bajo la cimentación de UE 206
207	4	Estrato	Estrato de tierra castaña, apelmazada y compacta, bajo UE 206
208	4	Muro	Muro bajo el muro UE 181 ¿fundación?
209	25	Muro	Muro de orientación N-S que recrece la media caña UE 155 para formar un canal
210	28	Estrato	Estrato compacto de tonalidad marrón. Situado en el ángulo NE del Amb. 28
211	28/29	Estructura	Orificio cuadrangular en el extremo W del muro UE 113
212	28/29	Estructura	Orificio cuadrangular en la parte central del muro UE 113
213	28/29	Estructura	Orificio cuadrangular en la parte E del muro UE 113
214	4	Estrato	Estrato de cal al N del Amb. 4, junto a los muros UUEE 215 y 179
215	4	Estructura	Estructura de cantos rodados de tendencia horizontal al N del Amb. 4, junto a los muros UUEE 186 y 179
216	4	Estructura	Acumulación de piedras al E del Amb. 4, junto a la fundación UE 180
217	4	Muro	Muro de orientación NW-SE al N del Amb. 4. Traba con el muro UE 218
218	4	Muro	Muro de orientación NE-SW al N del Amb. 4. Traba con el muro UE 217

219	11W	Estrato	Pavimento de tierra marrón con pequeños cantos rodados y fragmentos de cerámica bajo UUEE 184 y 185
220	28	Estructura	Restos de pavimento de <i>o. signinum</i> sobre el pavimento anterior (UE 160)
221	28	Estrato	Estrato con abundante presencia de teselas bajo UE 196
222	28	Interfaz	Pequeña fosa sin material y de escasa profundidad que corta a UE 221
223	28	Estrato	Relleno de la fosa UE 222, compuesto por tierra arcillosa de tonalidad marrón oscuro
224	11W	Estrato	Estrato de tierra marrón anaranjado bajo el pavimento UE 219
225	4	Estrato	Estrato de tendencia horizontal junto a los muros UUEE 217 y 218. Sobre UE 226
226	4	Estructura	Posible pavimento al NE del Amb. 4, entre los muros UUEE 217, 218 y 227
227	5	Muro	Muro de orientación NE-SW bajo UE 176, al E del Amb. 4
228	4	Muro	Continuación del muro UE 217 a partir de su extremo E
229	4	Estructura	Estructura horizontal de orientación W-E bajo muro UE 186
230	4	Estructura	Media caña de orientación NE-SW que se adosa a muro UE 218
231	4	Estructura	Media caña de orientación NE-SW que se adosa al muro UE 227
232	4	Estructura	Media caña adosada a los muros UUEE 217 y 228
233	4	Estrato	Acumulación de piedras junto al muro UE 217, al N
234	4	Estrato	Estrato de tendencia horizontal bajo UE 176. Compuesto por tierra castaña clara de tonalidad arcillosa, en la esquina NE del Amb. 4
235	24B	Estrato	Estrato de tierra arcillosa con gran cantidad de materiales arqueológicos (cerámica, fauna, malacofauna...) bajo UE 5
236	28	Estructura	Pila de hipocausto en posición B4. Ladrillos circulares

237	28	Estructura	Pila de hipocausto en posición B2. Ladrillos circulares
238	28	Estructura	Pila de hipocausto en posición C5. Ladrillos cuadrados
239	28	Estructura	Pila de hipocausto en posición C4. Ladrillos cuadrados
240	28	Estructura	Pila de hipocausto en posición C3. Ladrillos cuadrados
241	28	Estructura	Pila de hipocausto en posición C1. Ladrillos cuadrados
242	28	Estructura	Pila de hipocausto en posición D5. Ladrillos cuadrados
243	28	Estructura	Pila de hipocausto en posición D3. Ladrillos cuadrados
244	28	Estructura	Pila de hipocausto en posición E5. Ladrillos cuadrados
245	28	Estructura	Pila de hipocausto en posición E4. Ladrillos cuadrados
246	28	Estructura	Pila de hipocausto en posición E3. Ladrillos cuadrados
247	28	Estructura	Pila de hipocausto en posición E3. Ladrillos cuadrados
248	28	Estructura	Pila de hipocausto en posición E4. Ladrillos cuadrados
249	28	Estructura	Pila de hipocausto en posición E5. Ladrillos cuadrados
250	28	Estructura	Estructura cuadrangular de <i>o. signinum</i> entre los muros UUEE 192 y 67, junto al mosaico UE 203. Posible jamba de un vano
251	28	Estructura	Pila de hipocausto en posición B3. Ladrillos cuadrados.
252	28	Estrato	Estrato de tierra de tonalidad amarillenta y textura arenosa que cubre parcialmente al mosaico UE 203 y que se apoya en UE 250. Cubierta por el umbral UE 135.
253	28	Estrato	Estrato de tierra de tono ceniciento que colmata el Amb. 28, apoyándose en las <i>pilae</i> del hipocausto. Cubierto por UE 221
254	30	Estrato	Estrato bajo UE 112 al E del muro UE 89
255	28	Estructura	Pila de hipocausto en posición A1. Ladrillos circulares.
256	28	Estructura	Pila de hipocausto en posición B1. Ladrillos circulares.



257	28	Estructura	Pila de hipocausto en posición C2. Ladrillos cuadrados
258	29N	Muro	Anulada
259	28	Estructura	Pila de hipocausto de ladrillos cuadrados en posición E6.
260	28	Estructura	Pila de hipocausto en posición D4. Ladrillos cuadrados
261	25	Interfaz	Recorte circular practicado en el ángulo SW del pavimento UE 130
262	25	Estrato	Relleno de la interfaz UE 261
263	25	Interfaz	Recorte circular al E de la interfaz UE 261 practicado en el pavimento UE 130
264	25	Estrato	Relleno de la interfaz UE 263, con alta presencia de cenizas
265	25	Interfaz	Recorte de forma circular practicado en el pavimento UE 130, en el centro del Amb. 25
266	25	Estrato	Relleno de la fosa UE 265
267	28	Estructura	Pila de hipocausto en posición D2. Ladrillos cuadrados
268	28	Estructura	Pila de hipocausto en posición D1. Ladrillos cuadrados
269	28	Estructura	Pila de hipocausto en posición E2. Ladrillos cuadrados
270	28	Estructura	Pila de hipocausto en posición E1. Ladrillos cuadrados
271	24B	Estrato	Estrato estéril bajo UE 235
272	24B	Estrato	Estrato de tierra compacta, grisácea, con material arqueológico, que cubre a UE 235
273	24B	Estrato	Estrato de tierra que encontramos entre UE 4 y la cloaca. Posible relleno de la fosa de la cloaca
274	29N	Muro	Anulada
275	28	Estructura	Pila de hipocausto en posición F4. Ladrillos cuadrados
276	28	Estructura	Pila de hipocausto en posición G4. Ladrillos circulares
277	28	Estructura	Pila de hipocausto en posición G3. Ladrillos circulares
278	28	Estructura	Pila de hipocausto en posición G2. Ladrillos circulares
279	28	Estructura	Pila de hipocausto en posición G1. Ladrillos circulares

280	28	Estructura	Pila de hipocausto en posición H2. Ladrillos circulares
281	28	Estructura	Pila de hipocausto en posición H1. Ladrillos circulares
282	28	Estructura	Fondo del hipocausto, de <i>opus signinum</i>
283	4	Estructura	Pavimento de cal junto a G.U. 3003
284	4	Estructura	Pavimento de cal bajo UE 283
285	4	Estrato	Estrato de color castaño con presencia de piedras bajo UE 179
286	4	Estrato	Estrato de color anaranjado sobre UE 284 y sobre UE 179
287	28E	Estructura	Alineación de mortero y piedras en la base del muro UE 189. Posible zapata o media caña
288	28E	Estructura	Estructura de piedra y mortero que continúa el muro UE 67-89, haciendo ángulo NE con UE 189
289	¿?	Estrato	Limpieza superficial del muro de UE 4033.
290	25	Elemento	Fragmentos de <i>labrum</i> hallados en el interior de la UE 122.
291	27W	Estructura	Pavimento.
292	27W	Interfaz	Interfaz rellena por UUEE 81, 82 y 84
293	25	Estructura	Muro de orientación N-S con la misma orientación que el muro de UE 3304. Junto a él flanquean al umbral de UE 3215 y delimita el extremo W del Ambiente 25
294	28	Grupo UUEE	Conjunto de <i>pilae</i> que conforman el hipocausto del Ambiente 28
295	28	Estructura	Resto de pavimento de mosaico que arranca de la cara W del muro UE 89. Cortado por interfaz UE 197
296	11W	Estructura	Umbral con orientación N-S bajo los muros UE 297 y UE 299
297	11W	Estructura	Muro de E-W que imbrica al sur con el muro que delimita el Ambiente 11 en el extremo occidental de este.
298	11W	Estructura	Muro con orientación E-W, continuación del muro que delimita en el extremo occidental del Ambiente 11 (por definir), y al que se le apoya el muro UE 299
299	11W	Estructura	Muro con orientación N-S, sobre el umbral UE 296, y que se poya en la cara sur del muro UE 298.

300	11W	Estructura	Muro en el mismo eje de orientación que el muro UE 299, con la misma orientación y sobre el extremo sur del umbral UE 296
301	11W	Estructura	Muro con orientación N-S, posible continuación del muro UE 28 (Ambiente 27W), que presenta en su extremo sur un sillar a modo de esquina roma o cantonera
<b>2018</b>			
302	13	Estrato	Estrato de tierra marrón claro bajo UE 1
303	5	Grupo UUEE	Pavimento en Ambiente 5, entre los muros UUEE 185 y 186 y los GU 3085, 3086, 3088 y 3010
304	5	Estructura	Capa superior del pavimento GU 303, formado por cal y grava
305	5	Estructura	Capa de <i>rudus</i> de UE 303 formada por cantos rodados
306	5	Interfaz	Fosa de fundación de UE 3089
307	5	Estrato	Relleno de fosa UE 306 donde se cimenta UE 3089, con piedras, cantos redondos y tierra
308	5	Estrato	Relleno de fosa de UE 309 donde se cimenta UE 3090, con cantos rodados, piedras y tierra
309	5	Interfaz	Fosa de fundación de UE 3090, relleno por UE 308
310	13	Estrato	Estrato de tierra marrón oscuro con piedras de tamaño mediano bajo UE 302. Posible derrumbe del muro de UE 23
311	12	Estrato	Estrato de tierra marrón oscuro con algún canto rodado, rellenando a fosa de UE 312
312	12	Interfaz	Fosa de tendencia circular, rellena por UE 311, que recorta a los pavimentos UUEE 120 y 121
313	12/13	Estrato	Estrato de tierra marrón anaranjado bajo UE 302, cubriendo a UE 310
314	Sobre Ambientes 24/29	Estrato	Nivel de tierra y cantos rodados que desciende en talud en sentido E-W. Se apoya contra las caras N de los muros UUEE 258 y 343
315	5	Estrato	Estrato de tierra bajo el <i>rudus</i> UE 305, en el pavimento GU 303



316	5	Estrato	Estrato de tierra marrón oscuro bajo UE 305, en la esquina SW del Ambiente 5, rellenando a UE 317
317	5	Estructura	Espacio rectangular realizado con <i>o. caementicium</i> a modo de cubeta amortizado por el <i>rudus</i> UE 305 y relleno por UE 316. Orientación W-S
318	30	Estructura	Estructura adosada a UE 187 que delimita el acceso al Ambiente 30 desde el S
319	30	Estrato	Estrato de tierra compacto con abundantes restos de cal y piedra que se extiende por toda la superficie del Ambiente 30, bajo UE 254
320	30	Estructura	Enlucido que reviste la cara E de UE 89, visible tras excavar UE 254
321	30	Interfaz	Recorte practicado en el pavimento original del Ambiente
322	30	Estrato	Igual a UE 325
323	30	Estructura	Canal adosado a UE 288, relleno por UE 324
324	30	Estrato	Relleno de UE 323
325	30	Estrato	Nivel de colmatación que aparece tras excavar UE 319 y que se extiende por todo el Ambiente 30. Tonalidad anaranjada y concentración de piedras y cal
326	12	Estrato	Estrato de fundación horizontal color marrón oscuro con parte de su superficie anaranjada y con fragmentos de adobes. Bajo UE 313
327	11/12	Estrato	Estrato formado por tierra marrón claro y abundantes fragmentos de cal sobre los muros W y S del Ambiente 12, bajo UE 313
328	11	Estrato	Estrato de tierra marrón oscuro con abundante presencia de carbones, bajo UE 101
329	30	Estructura	Media caña y pavimento en el interior del Ambiente 30, bajo UE 325
330	30	Estructura	Sobre UE 329 y adosado a UE 288. Estructura de cal y piedras, interpretada como la cama de un escalón ya perdido

331	30	Estructura	Situado al E del Ambiente 30, bajo UE 325. Estructura de piedras trabadas con mortero de cal
332	30	Estructura	Pavimento y media caña hidráulica en el extremo N del Ambiente 30. Sobre ella se documentó una olla
333	30	Estrato	Derrumbe de piedras que se apoya en UE 331, bajo UE 325
334	29	Interfaz	Recorte practicado al pavimento UE 486 para emplear el hipocausto como un basurero
335	30	Estrato	Estrato con abundante piedra situado al N del Ambiente 30, bajo UE 325
336	5	Estrato	Estrato de tierra y grava amarillenta en el interior del GU 337
337	5	Grupo UUEE	Balsa de orientación NE-SW debajo del pavimento GU 303
338	5	Muro	Muro S de la balsa GU 337
339	5	Interfaz	Interfaz de destrucción de GU 337
340	5	Estructura	Escalón en Ambiente 5 debajo de GU 303
341	30	Estrato	Estrato de tierra compacta de tonalidad marrón oscuro bajo UE 335
342	30	Estructura	Bajo UE 335. Nivel de mortero de cal. Forma ángulo recto con el muro UE 89. Posible nivel de pavimento original del Ambiente 30
343	29	Muro	Tramo de muro de orientación E-W, perpendicular a muro UE 144, con el que traba en ángulo recto. Límite N del Ambiente 29
344	24	Estrato	Estrato de piedras y tierra que desciende en talud en sentido N-S y que se apoya en los muros UUEE 343y 258. Cubre a UE 346
345	24	Interfaz	Equivalente a UE 128. Recorte practicado en el Ambiente 24 y que es rellenado por UE 346
346	24	Estrato	Tierra disgregada y cenicienta que rellena la fosa UE 345. Equivalente a UE 126. Posible basurero
347	11W	Estrato	Relleno de tierra marrón claro con fragmentos de enlucido bajo UE 169
348	11W	Estrato	Relleno de tierra marrón oscuro en la fosa UE 349

349	11W	Interfaz	Recorte en la zona W del corte, cortando a los pavimentos UUEE 120, 121 y 166
350	29	Interfaz	Fosa que recorta a UE 85 en el extremo NW del Ambiente 29. Equivale a UE 128
351	29	Estrato	Nivel de tierra disgregada y de textura cenicienta que colmata a UE 350. Equivale a UE 126
352	5	Estrato	Nivel de tierra, grava, piedra y cal debajo de UE 315
353	5	Estrato	Estrato de tierra y cal de tendencia horizontal bajo UE 315 (¿y 352?)
354	5	Estrato	Estrato claro de tierra y cal compacta en el interior de GU 337, similar a 353
355	29	Estrato	Nivel de tendencia horizontal de tierra disgregada y de tonalidad castaña clara. En el ángulo entre los muros 3304 y 144, sobre 357 y 356
356	29	Estrato	Nivel de tierra y material constructivo que colmata el espacio comprendido entre los muros UUEE 3304, 144 y 343. Recortado por UE 128
357	29	Estrato	Nivel de tierra anaranjada de tendencia horizontal, parcialmente cubierto por UE 355
358	29	Muro	Muro de orientación NE-SW que cierra el Ambiente 29 en su extremo E
359	5	Estrato	Estrato de argamasa y piedra en el ángulo SW del Ambiente 5. Posiblemente igual a 340
360	11W	Estrato	Estrato de tierra gris-marrón no muy compacto, bajo UE 166
361	11W	Estrato	Estrato de tierra marrón-gris y de textura poco compacta, bajo UE 166
362	29	Estrato	Nivel ceniciento de tendencia horizontal bajo UUEE 355 y 357, apoyado contra 356 en el ángulo que forman los muros UUEE 3304 y 144
363	24	Estructura	Pavimento de <i>opus caementicium</i> en el extremo E del Ambiente 24 contra el ángulo de los muros UUEE 258 y 144. Cubre a la media caña



			que bordea el exterior del Ambiente 4
364	5	Estrato	Estrato de tierra amarillenta y textura suelta, diferenciable del resto de estratos
365	29	Estrato	Estrato de tierra marrón oscuro-gris con abundante presencia de piedra trabajada (de estructuras) situado entre los muros de UUEE 144 y 3304. Cubre parcialmente a UE 356
366	29	Elemento	Fragmento de pedestal en el interior de UE 365
367	30	Estrato	Nivel ceniciento de tendencia horizontal que se apoya contra el muro de UE 89, bajo UE 341
368	11W	Estructura	Nivel de pavimento con pequeños cantos rodados bajo UE 360
369	29	Estructura	Paquete de barro endurecido con orientación NE-SW bajo UE 72, paralelo a UE 370
370	29	Estructura	Paquete de barro endurecido bajo UE 72, paralelo a UE 369
371	29	Estrato	Nivel de tierra de tonalidad cenicienta comprendida entre 369 y 370. Posible basurero
372	29	Estrato	Estrato arcilloso de tonalidad castaña-amarillenta que se extiende por todo el Ambiente, bajo UE 356, 85 y 72
373	29	Interfaz	Recorte practicado en UE 372 a modo de zanja en el extremo W del Ambiente
374	29	Estrato	Tierra de tonalidad marrón con material constructivo, piedra y enlucido que rellena UE 373, bajo UE 356
375	24	Estrato	Paquete de tierra arcillosa entre 377 y la cara W de 258, de color castaño oscuro
376	24	Estrato	Paquete de tierra arcillosa y tonalidad castaña clara que se apoya sobre 377
377	24	Estrato	Paquete de tierra con piedras de tamaño medio, sobre 378 y entre 375 y 376
378	24	Estrato	Línea de cantos rodados bajo UUEE 377 y 375

379	24	Estrato	Paquete de tierra arcillosa color castaño oscuro bajo UUEE 378 y 376
380	11W	Estrato	Nivel de pavimento a la misma cota superior que pavimento UE 368, en la zona E del corte, bajo UE 361
381	11W	Estrato	Estrato de tierra marrón anaranjado y ligeramente compacta, similar (y podría ser igual) a UE 348
382	11W	Estrato	Estrato de tonalidad marrón claro bajo UE 169, en el extremo S del corte
383	5	Estrato	Estrato de tierra compacta (posible adobe) sin apenas material arqueológico sobre el que se ha excavado la fosa o hueco de la balsa GU 337
384	5	Estructura	Pavimento de cantos rodados de pequeño tamaño debajo de UE 315 roto por la fosa UE 385
385	5	Interfaz	Fosa rellena de restos de basura (UE 353) en el lado N del Ambiente 5, entre la balsa GU 337 y la escalera
386	5	Estructura	Solera de cimentación del muro UE 185 sobre muro UE 387 en el interior del Ambiente 5, entre UUEE 185 y 186
387	5	Muro	Muro de piedra debajo de las estructuras del pavimento de UUEE 303, 305 y 318, con orientación SW-NE
388	5	Interfaz	Interfaz de recorte en la que se construye la balsa GU 337
389	11W	Estructura	Grupo de piedras que cubre la zona superior de la cloaca. Cubierta por UE 368
390	11W	Estrato	Estrato de tierra suelta de tonalidad marrón oscuro en el interior de la cloaca, cubriendo a UE 391
391	11W	Estrato	Estrato de tierra marrón oscuro, muy compacta, bajo UE 390, en el interior de la cloaca
392	11W	Estructura	Pared N del registro de la cloaca
393	11W	Estructura	Pared S del registro de la cloaca
394	11W	Estructura	Pared E del registro de la cloaca
395	11W	Estructura	Pared W del registro de la cloaca
396	11W	Estrato	Estrato de tierra marrón anaranjado bajo UE 368

397	29	Estrato	Bajo UE 372. Nivel horizontal arcilloso con presencia de cal y un escaso aporte de ceniza
398	29	Estrato	Bajo 372 y sobre 397. Nivel de tierra granulosa con restos de enlucidos en el extremo W del Ambiente 29
399	29	Estrato	Bajo UE 372 y sobre UE 397. Igual a UE 398, pero situada en el ángulo SE del Ambiente
400	29/31	Interfaz	Fosa de algarrobo. Corta la estratigrafía hasta el muro de UE 343
401	29/31	Estrato	Relleno de UE 400
402	29	Interfaz	Recorte en UE 397, relleno por UE 371
403	5	Estructura	Alineación de piedras E-W paralela al muro S del GU 337, dando forma a UE 383 (al S)
404	11W	Estrato	Estrato de tierra marrón claro con cal bajo UE 380 a modo de preparado
405	11W	Estrato	Estrato de tierra oscura amarillenta y muy suelta bajo UE 380 en su zona E
406	11W	Estrato	Estrato de tierra marrón oscuro bajo UE 380 que colmata el canal-cloaca que recorre el corte en dirección N-S
407	5	Estrato	Estrato de tierra al S del GU 337 (383) debajo de UE 403 y 383, sobre el pavimento UE 200
408	11W	Estrato	Estrato de tierra marrón grisácea, muy compacta, con cantos rodados, bajo pavimento de UE 368
409	24	Estrato	Nivel horizontal de tierra amarillenta y gravas bajo UE 377 y sobre UE 378
410	29	Interfaz	Orificio de la <i>concameratio</i> en la cara N del muro UE 3304, en posición B1
411	29	Interfaz	Orificio de la <i>concameratio</i> en la cara N del muro UE 3304, en posición C1
412	29	Interfaz	Orificio de la <i>concameratio</i> en la cara N del muro UE 3304, en posición B2



413	29	Interfaz	Orificio de la <i>concameratio</i> en la cara N del muro UE 3304, en posición C2
414	29	Interfaz	Orificio de la <i>concameratio</i> en la cara N del muro UE 3304, en posición A3
415	29	Interfaz	Orificio de la <i>concameratio</i> en la cara N del muro UE 3304, en posición B3
416	29	Interfaz	Orificio de la <i>concameratio</i> en la cara N del muro UE 3304, en posición C3
417	29	Interfaz	Orificio de la <i>concameratio</i> en la cara E del muro UE 144, en posición A1
418	29	Interfaz	Orificio de la <i>concameratio</i> en la cara E del muro UE 144, en posición B1
419	29	Interfaz	Orificio de la <i>concameratio</i> en la cara E del muro UE 144, en posición B8
420	29	Interfaz	Orificio de la <i>concameratio</i> en la cara E del muro UE 144, en posición C1
421	29	Interfaz	Orificio de la <i>concameratio</i> en la cara E del muro UE 144, en posición C2
422	29	Interfaz	Orificio de la <i>concameratio</i> en la cara E del muro UE 144, en posición C3
423	29	Interfaz	Orificio de la <i>concameratio</i> en la cara E del muro UE 144, en posición C4
424	29	Interfaz	Orificio de la <i>concameratio</i> en la cara E del muro UE 144, en posición C5
425	29	Interfaz	Orificio de la <i>concameratio</i> en la cara E del muro UE 144, en posición C6
426	29	Interfaz	Orificio de la <i>concameratio</i> en la cara E del muro UE 144, en posición C7
427	29	Interfaz	Orificio de la <i>concameratio</i> en la cara S del muro UE 343, en posición A1

428	29	Interfaz	Orificio de la <i>concameratio</i> en la cara S del muro UE 343, en posición B1
429	29	Interfaz	Orificio de la <i>concameratio</i> en la cara S del muro UE 343, en posición B2
430	29	Interfaz	Orificio de la <i>concameratio</i> en la cara S del muro UE 343, en posición C1
431	29	Interfaz	Orificio de la <i>concameratio</i> en la cara S del muro UE 343, en posición C3
432	29	Interfaz	Orificio de la <i>concameratio</i> en la cara S del muro UE 343, en posición C4
433	29	Interfaz	Orificio de la <i>concameratio</i> en la cara W del muro UE 358, en posición A1
434	29	Interfaz	Orificio de la <i>concameratio</i> en la cara W del muro UE 358, en posición A2
435	29	Estrato	Nivel ceniciento entre UUEE 369 y 370 (horno), bajo UE 371. Posible nivel de abandono del horno
436	29	Estrato	Nivel de tierra gris con material de construcción, piedra y cerámica que colmata el interior del hipocausto bajo UE 397
437	11W	Estrato	Estrato horizontal muy compacto con cantos redondos y cerámica. De similar morfología a UE 404. Bajo UE 408
438	11W	Estrato	Estrato de tierra marrón grisácea que rellena a UE 439, apoyándose en UE 437
439	11W	Interfaz	Recorte en UE 437, relleno por UE 438
440	11W	Estrato	Estrato de tierra marrón claro, muy suelta, rellenando el recorte UE 441. Cubierto por UE 380
441	11W	Interfaz	Recorte de forma ovalada en UE 404 relleno por UE 440
442	5	Estrato	Estrato de tierra con restos de adobe y materia orgánica con poca cerámica sobre el que se recorta la fosa UE 385

443	29	Estructura	Fondo del horno bajo el relleno de UE 435 y entre sus restos de alzando UUEE 369 y 370
444	5	Estrato	Nivel de tierra en el ángulo NW del Ambiente 5, bajo UE 285
445	5	Interfaz	Fosa de fundación del muro UE 387
446	5	Estrato	Relleno de la fosa UE 445
447	11W	Estrato	Estrato de tierra marrón anaranjado con piedras de tamaño mediano inmediatamente al W del pavimento de UE 219
448	11W	Estrato	Nivel horizontal (pavimento) con superficie de cal blanca, en la zona NE del corte
449	11W	Estrato	Estrato de tierra marrón blanquecina con nódulos de cal y grava sobre UE 437
450	11W	Estrato	Estrato de tierra marrón anaranjado con abundantes gravas y algunas piedras, bajo UE 447
451	11W	Estrato	Estrato de tierra marrón grisácea bajo UE 447 en la zona S del corte
452	11W	Estrato	Estrato de superficie horizontal muy arcilloso, marrón oscuro, con cantos rodados y cerámica, bajo UE 457
453	11W	Estrato	Estrato de tierra grisácea al W de UE 452, cubierto por UE 437
454	29	Estructura	Enlucido del muro UE 343
455	5	Estrato	Estrato de adobes en el ángulo NW del Ambiente 5, debajo de UUEE 179, 285 y 444
456	29	Estrato	Estrato ceniciento bajo UE 436 en el que empiezan a aflorar las <i>pilae</i> del hipocausto
457	29	Estructura	<i>Pila</i> de hipocausto en posición A1
458	29	Estructura	<i>Pila</i> de hipocausto en posición A2
459	29	Estructura	<i>Pila</i> de hipocausto en posición A3
460	29	Estructura	<i>Pila</i> de hipocausto en posición A4
461	29	Estructura	<i>Pila</i> de hipocausto en posición B1
462	29	Estructura	<i>Pila</i> de hipocausto en posición B2
463	29	Estructura	<i>Pila</i> de hipocausto en posición B3
464	29	Estructura	<i>Pila</i> de hipocausto en posición B4
465	29	Estructura	<i>Pila</i> de hipocausto en posición C2
466	29	Estructura	<i>Pila</i> de hipocausto en posición C3
467	29	Estructura	<i>Pila</i> de hipocausto en posición C4
468	29	Estructura	<i>Pila</i> de hipocausto en posición D2



469	29	Estructura	<i>Pila</i> de hipocausto en posición D3
470	29	Estructura	<i>Pila</i> de hipocausto en posición D4
471	29	Estructura	<i>Pila</i> de hipocausto en posición E4
472	29	Estructura	<i>Pila</i> de hipocausto en posición E9
473	29	Estructura	<i>Pila</i> de hipocausto en posición F5
474	29	Estructura	<i>Pila</i> de hipocausto en posición F6
475	29	Estructura	<i>Pila</i> de hipocausto en posición F7
476	29	Estructura	<i>Pila</i> de hipocausto en posición F8
477	29	Estructura	<i>Pila</i> de hipocausto en posición F9
478	29	Estructura	<i>Pila</i> de hipocausto en posición G7
479	29	Muro	Muro de orientación E-W en el extremo N del Ambiente 29. Igual a UE 343
480	29	Estructura	Arco que une a los muros UUEE 343 y 479
481	29	Estructura	Capa de ceniza que reviste al muro UE 144
482	29	Estructura	Capa de ceniza que reviste al muro UE 113
483	29	Estructura	Capa de ceniza que reviste al muro UE 343
484	29	Estructura	Capa de ceniza que reviste al muro UE 358
485	29	Estructura	Enlucido del muro UE 144
486	29	Estructura	Negativo de la presencia de un pavimento de mosaico en los muros que delimitan el Ambiente
487	31	Muro	Igual a UE 616
488	24C	Muro	Restos de muro en el perfil N del Ambiente 24C, compuesto por piedras de tamaño mediano alineadas E-W
489	24C/32	Muro	Sillar de esquina de los muros UUEE 490 y 493, en el Ambiente 32
490	32	Muro	Muro N-S al E del Ambiente 32
491	32	Muro	Muro E-W al N del Ambiente 32
492	32	Muro	Muro N-S al W del Ambiente 32
493	24C/32	Muro	Muro E-W al S del Ambiente 32
494	24C	Estructura	Nivel de cantos rodados para la cimentación del muro UE 493
495	24C	Estrato	Nivel de tierra debajo del muro UUEE 393 y 394
496	24C	Muro	Parte del muro W del Ambiente 24C formado por un gran sillar
497	24C	Estructura	Posible estructura de cimentación de un umbral con orientación E-W,

			formado por un muro de mortero y cal con superficie superior plana
498	24C	Estrato	Nivel de tierra sobre el muro UUEE 500, 496 y 499, debajo de UE 1
499	24C	Estrato	Nivel de tierra y piedras al E de UE 497 y debajo de UE 498
500	24C	Muro	Muro E-W de piedra y mortero al W del Ambiente 24C, debajo de UE 498
501	34	Muro	Muro N-S que hace esquina con UE 500 (formando un Ambiente nuevo pendiente de excavar) en su lado W
502	34	Interfaz	Interfaz de fosa que rompe el muro UUEE 504, 500 y 505, al N del Ambiente 24C
503	35	Estrato	Nivel de relleno de la fosa UE 502 formado por tierra gris con abundante material y restos orgánicos
504	24C	Estructura	Estructura restaurada entre los muros 500 y 505, que podría ser parte de un muro dañado por la fosa UE 502
505	24C	Muro	Muro de piedra E-W en línea al W de UUEE 504 y 500
506	24	Muro	Sillar del muro de UUEE 505, 507 y 508
507	24C	Muro	Muro de piedra al W de UE 505, formando el lado E del Ambiente
508	33/34	Muro	Muro N-S al N de UE 506 en el lado E del Ambiente 33
509	24C/33	Muro	Muro E-W de piedra y mortero al S del Ambiente 33
510	24C	Estructura	Cuarto de bocel en el lado N de la <i>natatio</i> (Ambiente 20), sobre pavimento de UE 512
511	24C	Estructura	Restos de piedras que ocupan el espacio entre UE 510 y el muro UE 500. Posible estructura (banco) adosada a muro UE 500
512	24C	Estructura	Pavimento de <i>opus signinum</i> en Ambiente 24C al norte del Ambiente 20 ( <i>natatio</i> )
513	32	Estructura	Sillar de esquina entre muros UUEE 491 y 492
514	5	Estructura	Estructura de tierra con pocos materiales en el ángulo NW del Ambiente 5, debajo de UE 444

515	28/29	Estructura	Capa de mortero de cal horizontal que constituye el preparado sobre el que se asentaría el nivel de paso del vano que comunica a los Ambientes 28 y 29. Igual a UE 164.
516	29	Estructura	Fragmento de <i>clavus coctile</i> en el interior del orificio UE 416, en el muro UE 3304
517	29	Interfaz	Orificio de la <i>concameratio</i> en la cara W del muro UE 144, en posición C8
518	29	Estructura	Fragmento de <i>clavus coctile</i> en el interior del orificio UE 428, en el muro UE 343
519	29	Estructura	Fragmento de <i>clavus coctile</i> en el interior del orificio UE 429, en el muro UE 343
520	29	Estructura	Fragmento de <i>clavus coctile</i> en el interior del orificio UE 432, en el muro UE 343
521	29	Grupo UUEE	Conjunto de <i>pilae</i> del hipocausto del Ambiente 29
522	29	Grupo UUEE	Conjunto de orificios de <i>concameratio</i> y de los restos de sus <i>clavi coctiles</i> del muro UE 3304
523	29	Grupo UUEE	Conjunto de orificios de <i>concameratio</i> y de los restos de sus <i>clavi coctiles</i> del muro UE 144
524	29	Grupo UUEE	Conjunto de orificios de <i>concameratio</i> y de los restos de sus <i>clavi coctiles</i> del muro UE 343
525	29	Grupo UUEE	Conjunto de orificios de <i>concameratio</i> y de los restos de sus <i>clavi coctiles</i> del muro UE 358
526	29	Grupo UUEE	Conjunto de revoques y de enlucidos que revisten a los muros del Ambiente
527	5	Estructura	Cuarto de caña/bocel de la estructura GU 337 al sur de 226 y junto a UE 338
528	29	Interfaz	Orificio de la <i>concameratio</i> en la cara N del muro UE 3304, en posición A2
529	29	Interfaz	Orificio para <i>concameratio</i> en la cara E del muro UE 144, en posición B6

530	29	Interfaz	Orificio para <i>concameratio</i> en la cara E del muro UE 144, en posición B7
531	29	Estructura	Fragmento de <i>clavus coctile</i> en el interior del orificio UE 426, en el muro UE 144
532	29	Interfaz	Orificio para <i>concameratio</i> en la cara S del muro UE 343, en posición C2
533	29	Estructura	<i>Pila</i> de hipocausto en posición G8
534	29	Interfaz	Orificio para <i>concameratio</i> en la cara w del muro UE 358, en posición A2
535	29	Interfaz	Orificio para <i>concameratio</i> en la cara w del muro UE 358, en posición A3
536	29	Estructura	Fragmento de <i>clavus coctile</i> en el interior del orificio UE 534, en el muro UE 358
<b>2019</b>			
537	29	Estructura	<i>Pila</i> de hipocausto situada en la posición E8
538	29	Estructura	<i>Pila</i> de hipocausto situada en la posición G9
539	29	Estructura	<i>Pila</i> de hipocausto colocada en la posición I9
540	29	Estructura	<i>Pila</i> de hipocausto colocada en la posición J9
541	29	Estructura	<i>Pila</i> de hipocausto colocada en la posición K9
542	29	Estructura	<i>Pila</i> de hipocausto colocada en la posición L9
543	29	Estructura	<i>Pila</i> de hipocausto colocada en la posición I8
544	29	Estructura	<i>Pila</i> de hipocausto colocada en la posición J8
545	29	Estructura	<i>Pila</i> de hipocausto colocada en la posición K8
546	29	Estructura	<i>Pila</i> de hipocausto colocada en la posición L8
547	29	Estructura	<i>Pila</i> de hipocausto colocada en la posición I6
548	29	Estructura	<i>Pila</i> de hipocausto colocada en la posición J6
549	29	Estructura	<i>Pila</i> de hipocausto colocada en la posición K6



550	25	Estrato	Estrato de tierra marrón claro con cantos rodados, bajo UE 56
551	25	Estructura	Muro con orientación E-W al E del muro UE 189
552	Sobre Amb. 30	Estrato	Estrato de tierra marrón con cantos rodados, piedras y textura poco compacta
553	Sobre Amb. 30	Estrato	Estrato de arena amarillenta y gravas finas que cubre a la UE 552 y al muro UE 358 (que separa a los Ambientes 29 y 30)
554	29/31	Estrato	Derrumbe de piedras sobre el extremo W del muro UE 343
555	29/31	Estrato	Derrumbe de piedras sobre el muro UE 479
556	36	Estrato	Tierra de tonalidad anaranjada mezclada con cantos y de textura parcialmente granulosa. Bajo UE 550
557	Sobre Amb. 29	Estrato	Estrato de tierra amarillenta con cantos rodados y piedras, de textura poco compacta. Bajo UE 552
558	36	Estrato	Estrato de tierra marrón y textura disgregada, con piedras de tamaño medio y pequeño. Bajo UE 556
559	29/30	Interfaz	Recorte practicado en los muros UUEE 358 y 479 en dirección NW-SE. Está cubierto por UE 553. Se trata, probablemente, del cauce de una acequia
560	29	Estrato	Igual a UE 561
561	29	Estrato	Estrato de color marrón de composición granulosa. Cubierto por UE 553
562	29	Estructura	Fragmento de adobe que forma parte de la cámara de un horno metalúrgico
563	29	Estrato	Estrato de color grisáceo y de textura arenosa y apelmazada. Cubierto por UE 553
564	29	Estrato	Estrato de color anaranjado, con escasa presencia de material cerámico y constructivo
565	29	Estrato	Aglomeración de adobe y tierra de tonalidad anaranjada que se apoya en la cara E del horno UE 562. Bajo UE 561

566	Sobre Amb. 30	Estrato	Estrato de tierra marrón-grisáceo, con algún canto rodado y restos de enlucidos en su parte N. Bajo UE 557
567	Sobre Amb. 30	Estrato	Estrato de tierra amarillenta y de textura poco compacta. Situado al S del Ambiente, bajo UE 566
568	29	Estrato	Conjunto de 4 capas de cal de tendencia horizontal y de textura compacta. Posible fondo del horno UE 562
569	36	Estrato	Tierra suelta mezclada con piedras de tamaño mediano y pequeño. Bajo UE 558
570	30	Estructura	Nivel de piedras que se apoya en la cara S del muro UE 551. Posible banco
571	30/37	Estructura	Muro de piedras que separa a los Ambientes 30 y 37
572	37	Estrato	Estrato de tierra suelta de tonalidad oscura localizado entre la UE 571 y el límite NE del Ambiente
573	30	Estructura	Media caña hidráulica que se apoya en las UUEE 358 y 571
574	30	Estructura	Media caña hidráulica que se adosa en UE 571 y se extiende hasta el límite NE del corte
575	30	Estrato	Nivel de derrumbe con restos de material constructivo y cerámico que se apoya contra el banco (UE 570) al S del Ambiente 30
576	30	Estructura	Igual a UE 570
577	29	Estructura	Arco trazado en el interior del muro UE 479. Conserva las dovelas desde su arranque hasta la posición previa a la clave
578	29	Interfaz	Interfaz de ruptura del arco UE 577
579	31	Estrato	Anulada
580	31	Estructura	Anulada
581	30	Estructura	Canaleta que se apoya sobre UE 582
582	30	Estructura	Fragmento de pavimento de <i>opus caementicium</i> en el extremo sur de la fosa central. Equivale a UE 332
583	30	Estructura	Fragmento de pavimento de <i>opus caementicium</i> en el extremo norte de la fosa central. Equivale a UE 582
584	30	Estrato	Relleno de la canaleta de UE 581

585	30	Estrato	Derrumbe de adobes sobre el pavimento UE 583
586	29	Estructura	<i>Pila</i> de hipocausto situada entre las posiciones L8 y L7
587	29	Estructura	<i>Pila</i> de hipocausto situada en la posición L7
588	29	Estructura	<i>Pila</i> de hipocausto situada en la posición L6
589	29	Estructura	<i>Pila</i> de hipocausto situada en la posición E5
590	29	Estructura	<i>Pila</i> de hipocausto situada en la posición J5
591	29	Estructura	<i>Pila</i> de hipocausto situada en la posición L5
592	29	Estructura	<i>Pila</i> de hipocausto situada en la posición F4
593	29	Estructura	<i>Pila</i> de hipocausto situada en la posición H4
594	29	Estructura	<i>Pila</i> de hipocausto situada en la posición J4
595	29	Estructura	<i>Pila</i> de hipocausto situada en la posición L4
596	29	Estructura	<i>Pila</i> de hipocausto situada en la posición E3
597	29	Estructura	<i>Pila</i> de hipocausto situada en la posición H3
598	29	Estructura	<i>Pila</i> de hipocausto situada en la posición J3
599	29	Estructura	<i>Pila</i> de hipocausto situada en la posición K3
600	29	Estructura	<i>Pila</i> de hipocausto situada en la posición L3
601	29	Estructura	<i>Pila</i> de hipocausto situada en la posición A9
602	29	Estructura	<i>Pila</i> de hipocausto situada en la posición H2
603	29	Estructura	<i>Pila</i> de hipocausto situada en la posición J2
604	29	Estructura	<i>Pila</i> de hipocausto situada en la posición K2
605	29	Estructura	<i>Pila</i> de hipocausto situada en la posición L2
606	29	Estructura	<i>Pila</i> de hipocausto situada en la posición H1
607	29	Estructura	<i>Pila</i> de hipocausto situada en la posición J1

608	29	Estructura	<i>Pila</i> de hipocausto situada en la posición K1
609	29	Estructura	<i>Pila</i> de hipocausto situada en la posición L1
610	29	Estructura	<i>Pila</i> de hipocausto situada en la posición B6
611	29	Estructura	<i>Pila</i> de hipocausto situada en la posición C6
612	29	Estructura	<i>Pila</i> de hipocausto situada en la posición D6
613	30	Estrato	Estrato de tierra marrón oscuro y compacta, con abundante presencia de carbones. Bajo UE 319
614	30	Estrato	Estrato de tierra de tonalidad marrón amarillento, con carbones y arcillas, situado bajo UE 613
615	31	Estrato	Estrato de tonalidad marrón con abundante presencia de materiales constructivos, cal y piedras
616	31	Estrato	Estrato de tonalidad marrón con abundante presencia de piedras
617	31	Estrato	Estrato de tonalidad marrón con inclusiones de cal y arcilla
618	31/37	Muro	Muro de doble paramento de orientación E-W que delimita al Ambiente 31 por el N y lo separa del Ambiente 37
619	37	Estrato	Estrato de tierra de tonalidad marrón con inclusiones de cal, con abundante presencia de piedras. Posible derrumbe
620	37	Elemento	Basa de columna situada en el interior de UE 619
621	37	Estrato	Estrato de tierra de tonalidad anaranjada con inclusiones de cal y de fragmentos cerámicos
622	29	Estructura	Alzado de ladrillos que se apoya en el muro UE 358 y en el tapiado UE 624
623	29	Interfaz	Apertura semicircular en el muro UE 358 que lo cruza en sentido E-W. Tapiada por UE 624
624	29	Estructura	Aglomerado de piedra, mortero y material constructivo que cierra la abertura de UE 623
625	30	Estrato	Estrato de tierra marrón claro con una abundante presencia de restos



			de enlucido parietal. Situado bajo UE 319
626	25	Estructura	Canaleta de orientación E-W, con una tonalidad ligeramente azulada
627	25	Estructura	Relleno de mortero que anula a la canaleta de UE 626
628	30	Estrato	Estrato localizado en el extremo S del Ambiente. De tonalidad amarillenta y textura compacta, con presencia de carbones y piedras
629	30	Estrato	Nivel de tierra localizado en el extremo N del Ambiente
630	29	Estructura	<i>Pila</i> de hipocausto situada en la posición G6
631	29	Estructura	<i>Pila</i> de hipocausto situada en la posición A7
632	29	Estructura	<i>Pila</i> de hipocausto situada en la posición B7
633	29	Estructura	<i>Pila</i> de hipocausto situada en la posición C7
634	29	Estructura	<i>Pila</i> de hipocausto situada en la posición D7
635	29	Estructura	<i>Pila</i> de hipocausto situada en la posición E7
636	29	Estructura	<i>Pila</i> de hipocausto situada en la posición A6
637	29	Estructura	<i>Pila</i> de hipocausto situada en la posición E6
638	29	Estructura	<i>Pila</i> de hipocausto situada en la posición A5
639	29	Estructura	<i>Pila</i> de hipocausto situada en la posición B5
640	29	Estructura	<i>Pila</i> de hipocausto situada en la posición C5
641	29	Estructura	<i>Pila</i> de hipocausto situada en la posición D5
642	29	Estructura	<i>Pila</i> de hipocausto situada en la posición F3
643	29	Estructura	<i>Pila</i> de hipocausto situada en la posición F2
644	29	Estructura	<i>Pila</i> de hipocausto situada en la posición F1
645	29	Estructura	<i>Pila</i> de hipocausto situada en la posición E2
646	29	Estructura	<i>Pila</i> de hipocausto situada en la posición C1

647	29	Estructura	<i>Pila</i> de hipocausto situada en la posición D1
648	29	Estructura	<i>Pila</i> de hipocausto situada en la posición E1
649	29	Estructura	<i>Pila</i> de hipocausto situada en la posición I7
650	29	Estructura	<i>Pila</i> de hipocausto situada en la posición J7
651	29	Estructura	<i>Pila</i> de hipocausto situada en la posición H5
652	29	Estructura	<i>Pila</i> de hipocausto situada en la posición K5
653	29	Estructura	<i>Pila</i> de hipocausto situada en la posición K7
654	29	Estructura	<i>Pila</i> de hipocausto situada en la posición K4
655	29	Estrato	Estrato de tierra de tonalidad amarilla y textura muy compacta, con presencia de ceniza
656	30	Estrato	Estrato de tierra de tonalidad oscura, con abundante presencia de piedras. Posible relleno de UE 657
657	30	Interfaz	Fosa de orientación E-W que corta al estrato UE 628, bajo UE 613
658	30	Estrato	Estrato situado en el extremo S del Ambiente, sobre el pavimento UE 582
659	39	Estrato	Situado en el extremo N del Ambiente, sobre el pavimento. Podría ser el mismo estrato que UE 665
660	30	Estrato	Relleno de UE 661
661	30	Interfaz	Fosa que corta al pavimento UE 583
662	29	Estructura	<i>Pila</i> de hipocausto situada en la posición C9
663	29	Estructura	<i>Pila</i> de hipocausto situada en la posición B8
664	29	Estructura	<i>Pila</i> de hipocausto situada en la posición C8
665	30	Estrato	Tierra de tonalidad marrón oscuro mezclada con cales y carbones. Situada bajo UE 659 y parcialmente recortada por una fosa circular
666	30	Interfaz	Fosa que recorta a la UE 665 y que está rellena por la UE 667

667	30	Estrato	Tierra fina de tonalidad marrón-anaranjada y muy disgregada que rellena a la UE 666
668	38	Estrato	Tierra grisácea suelta con cantos, cerámica y morteros, sobre UE 669
669	38	Estrato	Tierra de tonalidad marrón anaranjada con presencia de carbones y adobes deshechos. Sobre UE 670
670	38	Estrato	Adobes bajo UE 669
671	38	Estrato	Tierra de tonalidad marrón anaranjada con incrustaciones de carbones, morteros y adobes deshechos. Situada entre UUEE 670 y 571
672	40	Estrato	Nivel de tierra de tonalidad castaña y textura granulosa, al W de UE 616
673	30	Estrato	Estrato de tierra negra, sin presencia de materiales arqueológicos. Cubierta por UE 614
674	30	Estrato	Nivel de tierra muy compacta, con abundante presencia de cal. Cubierta por UE 614
675	40	Estructura	Estructura de ladrillos con orientación NW-SE y unas dimensiones de 120 x 18 cm. Relacionado con la reutilización de las termas en una fase posterior
676	31	Estrato	Estrato de tonalidad gris-pardo de tierra disgregada con presencia de cal y guijarros, bajo la UE agrícola 617
677	31	Estrato	Estrato de tierra de tonalidad gris-parda con presencia de guijarros. Bajo UE 56
678	29	Estructura	Nivel de mortero de tendencia horizontal y de tonalidad amarillenta. Sobre él se alzan varias de las <i>pilae</i> del hipocausto. Bajo UE 655
679	29	Estrato	Estrato ceniciento de textura muy disgregada dispuesto a modo de franjas alargadas que se adosan a todos los muros del hipocausto. Bajo UE 655

680	30	Estrato	Relleno bajo UE 660 compuesto por rocas de tamaño medio-grande y por tierra de textura arcillosa
681	30	Estrato	Nivel de tierra de tonalidad amarillenta situada en el extremo W del Ambiente
682	30	Estrato	Conglomerado de piedras de pequeño tamaño
683	38	Estrato	Estrato compacto de cal y mortero
684	38	Estrato	Estrato de tonalidad anaranjada-grisácea de adobes con escaso material cerámico, mezclado con mortero, cal y carbones.
685	38	Estrato	Estrato de tierra cenicienta con presencia de materiales constructivos. Bajo UE 669
686	28/29	Estrato	Paquete de tierra y piedras que colmata el interior del conducto de calor UE 211
687	28/29	Estrato	Paquete de tierra y piedras que colmata el interior del conducto de calor UE 212
688	28/29	Estrato	Paquete de tierras y piedras que colmata el interior del conducto de calor UE 213
689	36	Interfaz	Fosa
690	36	Estrato	Relleno de la fosa UE 689 formado por tierra ligeramente suelta, de tonalidad marrón-amarillenta. Carece de material arqueológico y presenta piedras de pequeño tamaño en su parte inferior
691	38	Estrato	Tierra de tonalidad anaranjada con adobes disgregados
692	38	Estrato	Estrato cubierto por la UE 685 que se apoya en la UE 684. Está formado por tierra de tonalidad negra y textura disgregada, con presencia de abundantes restos de materiales cerámicos y constructivos
693	31	Estrato	Estrato de tonalidad marrón con una escasa presencia de guijarros y composición muy homogénea
694	38	Interfaz	Interfaz de la fosa de UE 684, rellena por las UUEE 685, 691 y 692



695	4	Estrato	Estrato de tonalidad amarillenta y de aspecto arenoso recortado por la fosa UE 696
696	4	Interfaz	Fosa-zanja realizada en sentido N-S que recorta a la UE 695
697	4	Estrato	Estrato de tierra de tonalidad grisácea con abundantes carbones que rellena a la fosa UE 696
698	4	Estrato	Estrato de tierra marrón oscuro y de aspecto arcilloso que cubre a UUEE 697, 695 y 337
699	30	Estrato	Cara N del relleno. Perforación circular bajo UE 660
700	38	Estructura	Estructura de mortero de cal situada bajo UE 684 y adosada al muro UE 571
701	38	Estrato	Acumulación de piedra tosca situada sobre UE 700 y adosada a la UE 571
702	38	Estrato	Estrato de tonalidad anaranjada con adobes, carbones y cales y con escasa presencia de materiales arqueológicos. Rellena al Ambiente 38, bajo UE 684
703	31	Estrato	Nivel de tierra compacta de tonalidad castaña con presencia de materiales cerámicos
704	31	Estrato	Estrato de tonalidad marrón y textura arcillosa con presencia de cantos, procedentes de un posible derrumbe
705	4	Estrato	Paquete de tierra marrón oscuro bajo UUEE 695 y 697
706	30	Estrato	Estrato horizontal de piedras (posible pavimento) bajo UUEE 337, 680 y 690
707	31	Estrato	Estrato de textura arcillosa y coloración marrón con alguna presencia de cenizas
708	31	Estrato	Estrato de tierra de tonalidad parda y textura arcillosa. Cuenta con guijarros y piedras de gran tamaño. Cubierto parcialmente por UE 314
709	31	Estrato	Estrato de tierra de tonalidad gris-marrón con pequeños cantos rodados. Localizada al levantar UE 314 en su zona N

710	31	Estrato	Nivel de piedras de tamaño medio y grande junto a UE 709. Parcialmente cubierto por UE 314. Igualada a 709
711	38	Estructura	Preparado de mortero de tonalidad anaranjada que se apoya en UE 700 y que está cubierto por UE 702
712	38	Estructura	Nivel de <i>opus signinum</i> cubierto por UE 702, manchado con cenizas. Situado junto a UE 711
713	38	Estructura	Losa de piedra situada junto a UE 712. Cubierta por UE 702
714	38	Estrato	Estrato de tonalidad anaranjada compuesto por adobes, cal y carbones, con escasa presencia de materiales arqueológicos. Textura muy compacta
715	36	Muro	Muro de piedra que delimita al Ambiente 36 por su extremo S
716	29	Estructura	Orificio de la <i>concameratio</i> en la cara W del muro UE 358, en posición B0
717	29	Estructura	Orificio de la <i>concameratio</i> en la cara W del muro UE 358, en posición B-1
718	29	Estructura	Fragmento de <i>clavus coctile</i> en el interior del orificio UE 717, en el muro UE 358
719	29	Estructura	Orificio de la <i>concameratio</i> en la cara S del muro UE 479, en posición A1
720	29	Estructura	Orificio de la <i>concameratio</i> en la cara S del muro UE 479, en posición A2
721	29	Estructura	Fragmento de <i>clavus coctile</i> en el interior del orificio UE 719, en el muro UE 479
722	29	Grupo UUEE	Conjunto de orificios de <i>concameratio</i> y de los restos de sus <i>clavi coctiles</i> del muro UE 479
723	29	Estructura	<i>Pila</i> de hipocausto situada en la posición A8
724	29	Estructura	<i>Pila</i> de hipocausto situada en la posición B9
725	29	Estructura	<i>Pila</i> de hipocausto situada en la posición D8
726	29	Estructura	<i>Pila</i> de hipocausto situada en la posición D9

727	29	Estructura	Sillar que flanquea en su extremo S la apertura UE 623 del muro UE 358
728	29	Interfaz	Rotura del arco UE 480
729	29	Estrato	Relleno del arco UE 480
730	29	Estrato	Relleno del arco UE 577
731	30	Estructura	Media caña de sección cuadrangular situada en la zona sur del Ambiente
732	4-5	Muro	Muro con dirección N-S que separa el Ambiente 4 del 5 por su cara E
733	4-5	Estrato	Estrato de tierra marrón grisácea bajo pavimento UE 303, cubriendo al muro UE 732 en su extremo N
734	4-5	Interfaz	Interfaz en la zona N del muro UE 732, rellena por UE 733, que podría corresponder a un umbral
735	30	Estructura	Revestimiento de mortero en la cara N del muro UE 570
736	30	Estructura	Revestimiento de mortero en la cara E del muro UE 576
<b>2020</b>			
737	19	Muro	Muro de orientación N-S paralelo al muro UE 736, sobre umbral UE 739
738	19	Estructura	Conjunto de grandes piedras de arenisca entre los muros UUEE 737 y 741
739	19	Estructura	Umbral de piedra paralelo al muro UE 509, bajo el muro UE 737
740	19	Estructura	Pavimento del hipocausto
741	19/41	Muro	Muro de orientación N-S que separa los Ambientes 19 y 41. Traba con el muro UE 740
742	33/41	Muro	Muro de orientación E-W que separa a los Ambientes 41 y 33. Traba en ángulo recto con el muro UE 743
743	19/33	Muro	Muro de orientación N-S que separa a los Ambientes 33 y 41. Traba con el muro UE 742
744	41	Estructura	Pila de hipocausto en posición B2
745	41	Estructura	Pila de hipocausto en posición B3
746	41	Estructura	Pila de hipocausto en posición A1
747	41	Estructura	Pila de hipocausto en posición A2
748	41	Estructura	Pila de hipocausto en posición A3
749	41	Estructura	Plataforma de hormigón que contiene el sillar/escalón UE 739, con cara definida en su lado N

750	19	Estrato	Acumulación de cantos rodados y tierra entre UUEE 741 y 738
751	33	Estructura	Pavimento de hormigón hidráulico entre UUEE 755 y fosa UUEE 757-758 del muro UE 509
752	41	Estructura	Pila de hipocausto en posición B1
753	41	Estrato	Nivel de ceniza sobre el pavimento del hipocausto UE 751
754	41	Estrato	Derrumbe de tierra y estuco sobre UE 753
755	33	Estructura	Muro E-W alineado con sillar UE 506 y muro UE 505. Se le adosa el banco UE 751 en su cara S
756	33	Estrato	Estrato de tierra entre los muros UUEE 755 y 742
757	33	Estrato	Relleno de la fosa de fundación UE 758
758	33	Interfaz	Fosa de fundación del muro UE 509 en Ambiente 33
759	18/19	Muro	Muro de piedra y mortero, orientado en sentido N-S. Separa a los Ambientes 18 y 19
760	18	Muro	Estructura de piedra y mortero con orientación E-W que se adosa a la cara interna del muro UE 509
761	18	Estructura	Alineación de cantos orientada en sentido E-W, junto al perfil N
762	18	Estrato	Acumulación de piedras que apoya en el lado E de UE 761. Podría tratarse de parte de la misma estructura
763	18	Muro	Muro de orientación N-S formado por piedras de pequeño tamaño. Arranca desde la cara interna del muro UE 509
764	4	Estrato	Estrato de tierra marrón oscuro, bajo <i>rudus</i> UE 305, que ocupa todo el Ambiente 4
765	4	Estrato	Estrato de tierra marrón oscuro bajo UE 764 extendiéndose por todo el Ambiente 4
766	Sobre Ambientes 18, 19 y 41	Estrato	Nivel de tendencia horizontal bajo UE 1, sobre los niveles arqueológicos
767	4	Interfaz	Interfaz de uso bajo UE 765



768	4	Estrato	Estrato de tierra marrón rojiza en la parte W del Ambiente 4
769	4	Estrato	Estrato de tierra marrón amarillento bajo UE 767
770	4	Interfaz	Fosa que recorta a UE 769, junto al muro UE 732
771	4	Estrato	Estrato de tierra marrón y compacta con cantos, que rellena a UE 770
772	4	Estrato	Estrato de tierra marrón blanquecina con cal. Su cota superior es la interfaz UE 767
773	4	Estrato	Estrato de tierra marrón compacta que rellena a UE 774
774	4	Interfaz	Fosa que recorta a UUEE 767 y 769, rellena por UE 773
775	18	Muro	Muro de orientación E-W que constituye el límite N del Ambiente 18, separándolo del Ambiente 42
776	18/42	Interfaz	Recorte practicado al muro UE 775 y a las UUEE 778 y 779. Rellenado por UE 777
777	18/42	Estrato	Tierra cenicienta que rellena a la fosa UE 776
778	42	Estrato	Bajo UE 776. Estrato de tendencia horizontal y tonalidad castaña-anaranjada que se extiende por toda la superficie del Ambiente
779	18	Estrato	Nivel parcialmente excavado por el equipo previo. Nivel arqueológico superficial del Ambiente 18
780	4	Estrato	Estrato de tierra amarillenta arenosa bajo UE 769. Rellena a UE 781
781	4	Interfaz	Igual a UE 815
782	18	Interfaz	Recorte practicado sobre UE 762 y 769 en el ángulo NE de la estancia. Rompe parcialmente al muro UE 763 en su extremo N. Similar a la fosa UE 776, pero al otro lado del muro UE 775
783	18	Estrato	Nivel de tierra cenicienta con abundante material arqueológico. Rellena a la fosa UE 782
784	18	Estrato	Nivel superficial de la parte excavada del Ambiente 18
785	4	Interfaz	Fosa de cimentación de GU 3088, rellena por UE 786

786	4	Estrato	Paquete de tierra marrón que rellena a UE 785
787	4	Estructura	Enlucido en la cara W del muro UE 732
788	18	Estrato	Acumulación de adobes en el vano del muro UE 775
789	18	Estrato	Acumulación de adobes al E del muro UE 703
790	18	Estructura	Alineación de 3 piedras N-S paralelo al muro UE 703, junto a 791
791	18	Estrato	Nivel de tierra cenicienta con materia orgánica junto al muro UE 759. Rellena a UE 794
792	18	Estrato	Nivel de tendencia horizontal, textura arcillosa y tonalidad anaranjada formado por adobes deshechos
793	18	Estrato	Nivel de tierra arcillosa de tonalidad anaranjada y textura arcillosa, con presencia de piedras. Situado entre UUEE 761 y 775
794	18	Interfaz	Recorte en 792 y 784 relleno por UE 791. Similar a UE 770
795	43	Muro	Muro de orientación N-S bajo UE 778 paralelo al muro UE 500
796	41-43	Muro	Muro al N del Ambiente 41 y al S del Ambiente 43 que los separa a ambos
797	43	Estrato	Estrato de tierra marrón grisácea con cantos rodados, enlucidos, cal y adobe bajo UE 778
798	43	Estrato	Estrato de tierra amarillenta y arenosa bajo UE 797
799	43	Interfaz	Recorte en UE 798 relleno por UE 800, paralelo a la cara N del muro UE 795
800	43	Estrato	Estrato de tierra marrón de textura granulosa y suelta que rellena a la interfaz UE 799
801	43	Estructura	Pavimento de tierra bajo UE 798
802	43	Estructura	Pavimento de tierra bajo UE 798
803	43	Estrato	Paquete de tierra que ocupa el espacio entre UUEE 801 y 802
804	4	Estrato	Estrato de tierra muy compacta, arcillosa y son materiales. Cubierta por UUEE 780 y 781

805	18	Estrato	Nivel de tendencia horizontal bajo UE 792. Tonalidad marrón-grisácea
806	4	Estrato	Estrato de tierra marrón con cantos rodados que rellena a la UE 807, junto al muro UE 3086
807	4	Interfaz	Zanja de cimentación del GU 3086 rellena por UE 806
808	41	Estructura	Pila del hipocausto en posición C1
809	41	Estructura	Pila del hipocausto en posición C2
810	41	Estructura	Pila del hipocausto en posición C3
811	19	Estrato	Nivel regular y horizontal de cantos rodados (pavimento) al NW del Ambiente 41
812	19	Estrato	Restos de enlucido o argamasa del muro UE 737 en sentido N-S
813	41-43	Estrato	Estrato de piedras y argamasa que ciega al muro UE 714
814	41-43	Interfaz	Vano en muro UE 796 cegado por UE 713
815	4	Interfaz	Zanja-recorte en UE 804, rellena por UE 780
816	19	Muro	Muro E-W al N de UE 749 y al S de UE 738. Debajo de UE 737
817	33	Grupo de Unidades	<i>Balneum</i> . Pequeña bañera que constituye el Ambiente 33 al SE del Ambiente 41. Formada por las UUEE 742, 743, 507 y 509
818	19	Elemento	Umbral en muro UE 509 de orientación N-S que forma parte de la escalera con UUEE 739 y 749
819	18	Muro	Muro de orientación E-W que, junto a UE 775, constituye el límite N del Ambiente 18
820	18	Estructura	Sillar entre los muros UUEE 775 y 819 que podría ser parte del umbral
821	19	Estrato	Tierra marrón blanquecina bajo pavimento UE 811
822	19	Estrato	ANULADA
823	43	Estrato	Estrato de tierra grisácea que rellena a UE 824
824	43	Interfaz	Recorte en el extremo E del Ambiente, rellenado por UE 823
825	43	Estrato	Paquete de tierra y piedras bajo UE 797
826	43	Estrato	Paquete de tierra de tonalidad anaranjada y textura disgregada, bajo UE 797

827	19	Interfaz	Fosa/zanja de cimentación que recorta a UE 839
828	19	Estrato	Relleno de fosa UE 827
829	18	Muro	Alineación de cantos y barro dirección N-S asociada al nivel de suelo UE 831
830	18	Muro	Alineación de cantos y barro con orientación E-W bajo la refacción de UE 760
831	18	Estructura	Posible nivel de suelo a base de barro de aspecto craquelado. Asociado a los muros UUEE 829 y 830
832	18	Muro	Presenta la misma orientación que UE 830, al que remonta en su extremo W
833	18	Estrato	Capa de ceniza bajo los muros UUEE 763, 834 y bajo la estructura 835
834	18	Muro	Muro de orientación N-S ligeramente inclinado hacia el W, contra la cara interna del muro que delimita el extremo W del Ambiente. Formado por grandes bloques de piedra
835	18	Estructura	Conjunto formado por un fragmento de pavimento de <i>opus caementicium</i> y dos piedras asociadas
836	18	Estrato	Adobe situado al mismo nivel que el suelo UE 831, entre los muros UUEE 832 y 834
837	18	Elemento	Sillar de calcoarenisca de tonalidad amarillenta al E del muro de cantos de UE 763
838	18	Estructura	Restos del pavimento asociado al Ambiente 18, visibles en los muros UUEE 819, 775 y 759
839	19	Estrato	Estrato de tierra marrón oscuro al que recorta la zanja UE 827
840	19	Muro	Igual a UE 509
842	17, 18, 42	Muro	Muro N-S que delimita el extremo W de las termas y que constituye el extremo W de sus Ambientes 17, 18 y 42
843	37	Muro	Muro orientación N-S que arranca de la cara E del muro UE 618



844	18	Estructura	Restos de mortero de cal en el ángulo NW del Ambiente, sobre el nivel de fundación. Interpretado como restos de su pavimento
845	18	Muro	Nivel de fundación del muro UUEE 819/775
846	31	Estructura	Orificio de <i>clavus coctile</i> en el muro UE 258 (pendiente de especificar posición)
847	31	Estructura	Orificio de <i>clavus coctile</i> en el muro UE 616 en posición A1
848	18/27	Interfaz	Orificio en el muro 842 relacionado con la entrada de un canal desde el Ambiente 27
849	18	Estructura	Alineación de piedras junto a la cara interna del muro UE 509 que prolonga el trazado de UUEE 760 y 830
850	18	Estructura	Alineación de piedras junto a la cara interna del muro UE 759 que forman ángulo recto con UE 849. Podrían formar parte de la misma estructura
851	18	Interfaz	Orificio en la cara interna del muro UE 509, junto a su unión con el muro UE 763. Rellena por UE 852
852	18	Estrato	Tierra de tonalidad marrón y textura compacta que rellena el orificio UE 852
853	18	Muro	Nivel de piedras que constituye la fosa de fundación del muro UE 759
854	18	Muro	Tramo de muro que cierra la apertura o vano existente en el muro UE 759
855	31	Estructura	Orificio de <i>clavus coctile</i> en el muro UE 616 en posición Ax
856	31	Estructura	Orificio de <i>clavus coctile</i> en el muro UE 618 en posición A1
857	31	Estructura	Orificio de <i>clavus coctile</i> en el muro UE 618 en posición A2
858	31	Interfaz	Orificio circular en el muro UE 618 en posición A1
<b>2022</b>			
859	50	Estrato	Estrato de tierra gris muy compacta que cubre a UE 860
860	50	Estrato	Estrato de tierra arcillosa de tonalidad anaranjada cubierta por UE 859

861	50	Muro	Muro de 0'46 m de anchura compuesto por mampuestos trabados con mortero de cal, con orientación E-W
862	50	Muro	Muro de 0'49 m de anchura formado por mampuestos con mortero de cal, con orientación N-S
863	50	Muro	Muro de 0'28 m de ancho, compuesto por mampuestos y mortero de cal con orientación E-W. Cubre al muro UE 862
864	50	Muro	ANULADA
865	50	Muro	Muro de mampuestos con cal que traba con los muros UUEE 862 y 864 y que está cubierto por muro UE 861
866	9E/C. 2	Estrato	Tierra de tonalidad marrón bajo UE 1
867	9E/C. 2	Estructura	Sillar
868	9E/C. 2	Estrato	Tierra amarillenta y compacta bajo UE 866
869	8F C. 3	Estrato	Nivel de tierra grisácea con cantos y piedras que cubre a la UE 870
870	8F C. 3	Estrato	Nivel de tierra arenosa de color amarillento que cubre a UE 871
871	8F C. 3	Estructura	Pavimento de <i>o. caementicium</i> cubierto por UE 870
872	9E	Interfaz	Recorte en UE 868, relleno por UE 873
873	9E	Estrato	Relleno de UE 872 formado por tierra suelta de tonalidad cenicienta
874	9E	Estrato	Estrato amarillento con presencia de gravas, bajo UE 873
875	9E	Estrato	Estrato de piedras sobre el basurero UE 873
876	9E	Estrato	Nivel horizontal muy compacto, bajo UE 873
877	9E	Estrato	Nivel horizontal compuesto por losas de gran tamaño, bajo UE 873
878	35	Muro	ANULADA
879	35	Muro	ANULADA
880	9E	Interfaz	Fosa que recorta al pavimento UE 876 en su extremo W
881	9E	Estrato	Relleno de la fosa UE 880
882	9E	Interfaz	Fosa que recorta al pavimento UE 876 en su extremo S
883	9E	Estrato	Relleno de la fosa UE 882

884	44	Estrato	Relleno de la fosa UE 928
885	35-49	Estrato	Acumulación de piedras situadas inmediatamente al N de la cara N del muro UE 496
886	35	Muro	Muro de orientación N-S que delimita la parte E del A. 35A
887	35	Estrato	Estrato de tierra entre los muros UUEE 496 y 886
888	35	Muro	Muro de orientación E-W que delimita por el N el A. 35A
889	35	Estrato	Estrato de tierra entre los muros UUEE 888 y 886, dentro del A. 35A
890	35	Estrato	Estrato de tierra al W de la interrupción del trazado del muro UE 888
891	35	Estrato	Alineación de piedras que se apoyan en la cara N del muro UE 888
892	9E	Estrato	Estrato de tierra amarillenta con presencia de piedras pequeñas bajo el pavimento UE 876
893	9E	Estrato	Estrato de tierra marrón-amarillento con presencia de carbones, bajo UE 892
894	9E	Estrato	Estrato de tierra de tonalidad marrón oscuro con abundantes cenizas y textura muy suelta
895	49	Estrato	Estrato de tendencia horizontal de textura muy disgregada y tonalidad amarillenta bajo UE 498
896	49	Estrato	Derrumbe de piedras que se apoya en la cara NE de la UE 496. Cubierto por UE 498
897	49	Interfaz	Recorte de forma ovalada practicado en UE 895, relleno por UE 898 y cubierto por UE 498
898	49	Estrato	Tierra de tonalidad cenicienta con materia orgánica que rellena a UE 897
899	9E	Estrato	Estrato de tierra marrón oscuro con abundantes cantos rodados, bajo UE 893
900	9E	Estructura	Pavimento cubierto por UUEE 899 y 893
901	9E	Estructura	Nivel de repavimentación sobre UE 876
902	9E	Estrato	Bolsada de caracoles dentro del basurero UE 893

903	9F	Estrato	Estrato de tierra marrón oscuro con cantos rodados
904	9E	Interfaz	Impronta de palmera bajo UE 1
905	9E	Interfaz	Impronta de palmera bajo UE 1
906	9E	Muro	Muro en dirección N-S bajo UE 1
907	9E	Estructura	Estructura de piedras de diferentes tamaños 1 y sillar cuadrangular, al S del muro UE 867 y bajo UE 1
908	9E	Estructura	Estructura de piedras de varios tamaños y de forma rectangular, al N de UE 907 y bajo UE 1
909	9E	Estructura	Pavimento de tierra batida al S del muro UE 867, bajo UE 868
910	9E	Estrato	Estrato de tierra marrón-grisácea y de textura compacta bajo UE 868
911	49	Estrato	Estrato de tierra de tendencia horizontal bajo UE 895
912	9E	Estructura	Pavimento bajo UE 903
913	24C	Estrato	Relleno de tierra gris sobre la rotura de la media caña UE 510, a la altura de UE 497
914	9E	Estrato	Relleno de UE 905 (palmera)
915	9E	Estrato	Relleno de UE 904
916	44	Muro	Alineación antrópica de piedras de orientación E-W
917	44	Estrato	Estrato que cubre a UE 918 y que es cortado por UE 928
918	44	Estructura	Pavimento de cal y tierra apisonada cortado por UE 884
919	44	Muro	Alineación antrópica de piedras de orientación E-W
920	8F C. 3	Interfaz	Recorte semicircular en el extremo SW del pavimento UE 871
921	8F C. 3	Estrato	Relleno de la fosa UE 920
922	8F C. 3	Interfaz	Recorte semicircular en el extremo NW del pavimento UE 871
923	8F C. 3	Estrato	Relleno de la fosa UE 922
924	8F C. 3	Interfaz	Recorte semicircular en el extremo NW del pavimento UE 871
925	8F C. 3	Estrato	Relleno de la fosa UE 924
926	8F C. 3	Interfaz	Recorte en el extremo N del pavimento UE 871
927	8F C. 3	Estrato	Relleno de fosa UE 926
928	44	Interfaz	Fosa que recorta a UUEE 918 y 917
929	45	Muro	Alineación antrópica de piedras de orientación E-W



930	44-45	Muro	Alineación antrópica de piedras de orientación N-S
931	46-47	Muro	Alineación antrópica de piedras con orientación N-S
932	46	Muro	Alineación antrópica de piedras con orientación E-W. Traba con UE 933
933	46-47	Muro	Alineación antrópica de piedras con orientación N-S. Traba con UE 932
934	47	Estrato	Sillar y acumulación de piedras al E de la UE 933
935	47	Estrato	Acumulación de piedras sobre UE 936
936	47	Estrato	Estrato de tierras y piedras
937	48	Estructura	Fondo de balsa
938	47	Muro	Alineación antrópica de piedras de orientación E-W entre las UUEE 937 y 919
939	47	Muro	Alineación antrópica de piedras con orientación N-S en la cara E de UE 937
940	9E	Estrato	Estrato de tierra marrón y anaranjado-verdoso con cantos rodados bajo UE 903
941	44	Interfaz	Trinchera de excavación antigua de los A. 44, 45, 46, 47 y 48
942	44	Estrato	ANULADA
943	44-45	Muro	Muro de orientación E-W que se adosa a las UUEE 919 y 929 y cubre a UE 930
944	44	Estrato	Estrato de tierra y piedra con presencia de cerámica, bajo UE 918
945	44	Estrato	Estrato de tierra con presencia de adobes y textura arcillosa
946	9E	Interfaz	Recorte en la UE 940
947	9E	Estrato	Relleno del recorte UE 946
948	44	Estrato	Estrato de tierra con presencia de estuco situado contra la cara N de la UE 916. Cortado por la fosa UE 928
949	44	Estrato	Nivel de tierra disgregada con alta densidad de cerámica situado bajo la UE 945, cortado por UE 928
950	44	Muro	Fundación del muro UE 916
951	44	Estrato	Estrato de tierra que se apoya en UE 950, bajo UE 948

952	8E/C. 1	Estrato	Estrato de tierra granulosa de tonalidad parda, bajo UE 1. En la terraza superior del corte
953	8E/C. 1	Estrato	Paquete de tierra compacta y granulosa de tonalidad gris. Bajo UE 1. Cubre parcialmente a UE 952
954	8E/C. 1	Muro	Muro de orientación E-W que separa a las dos terrazas del corte
955	8E/C. 1	Estrato	Conjunto de piedras apiladas que ocupa el hueco existente entre UE 954 y 956
956	8E/C. 1	Estructura	Sillar de orientación N-S que cierra el extremo W de la terraza inferior del corte
957	8E/C. 1	Muro	Muro de orientación N-S que traba con UE 954 y que forma el extremo oriental de la terraza inferior del corte
958	8E/C. 1	Estructura	Sillar que se apoya contra la cara meridional del muro UE 957
959	8E/C. 1	Estructura	Alineación de bloques orientados en sentido E-W que constituyen el cierre meridional de la terraza inferior del corte
960	49	Estrato	Estrato de tonalidad parda y textura granulosa bajo UE 1 y sobre UE 895
961	49	Interfaz	Fosa ovalada recortada en UE 911
962	12	Estructura	Sillar de grandes dimensiones que remata al muro UE 29
963	49	Interfaz	Fosa ovalada recortada en UE 911, al E de UE 961
964	49	Estrato	Relleno de 961
965	49	Estrato	Relleno de 963
<b>2023</b>			
966	37	Estrato	Nivel de tierra de tonalidad grisácea y textura granulosa y disgregada al N de muro UE 618
967	37	Interfaz	Fosa rellena por UE 966
968	24	Estructura	ANULADA
969	49	Estructura	Pavimento que apoya en el muro UE 496 que es cortado por la fosa UE 963
970	35	Estrato	Nivel de tierra amarillenta de textura compacta y arenosa que apoya en el muro UE 508
971	35	Estrato	Nivel de tierra anaranjada de textura arcillosa y compacta sobre el

			pavimento UE 972. Ubicada en la zona occidental del ambiente
972	35	Estructura	Pavimento de <i>opus caementicium</i>
973	35A	Estrato	Nivel de tierra anaranjada de textura compacta y arcillosa, posiblemente equivalente a UE 971. En la zona oriental del ambiente
974	35A	Estructura	Acumulación de piedras de tamaño mediano. Posible preparación de pavimento
975	35A	Interfaz	Fosa que recorta al estrato UE 973
976	35A	Estructura	Nivel de piedras y cantos rodados bajo UE 974
977	35	Estrato	Nivel de tierra castaña de textura compacta y arcillosa bajo UUEE 971 y 890, al N del ambiente. Igual a 971
978	35	Estrato	Nivel de tierra grisácea con inclusiones de tonalidad amarillenta y textura arcillosa. Apoya en el muro UE 508. Al W del Ambiente 35
979	35A	Estrato	Nivel de tierra de tonalidad pardo-anaranjada y textura arcillosa situada entre los muros UUEE 886 y 888
980	27W	Interfaz	Recorte en la fosa UUEE 311 y 312 para la construcción del muro UE 30, relleno por UE 981
981	27W	Relleno	Relleno de la zanja UE 980
982	27W	Muro	Alzado sobre muro UE 28 recortado por fosa UUEE 311-312
983	35	Estructura	Pavimento de <i>opus caementicium</i> visible en el perfil N, en la parte W del ambiente
984	35	Estrato	Nivel de tierra anaranjada con presencia de gravas. Situada al W del pavimento UE 972
985	35	Estructura	Muro de orientación NW-SE adosado al pavimento UE 972
986	35A	Estrato	Relleno de fosa entre el pavimento UE 972 y el muro UE 888
987	35A	Interfaz	Fosa de fundación del muro UE 888
988	35A	Estrato	Nivel de tierra de tonalidad castaña-anaranjada con pellas de carbón
989	35A	Interfaz	Fosa de tendencia ovalada al NW del ambiente que corta a la fosa de fundación UE 977 del muro UE 888

990	35A	Estrato	Relleno de fosa UE 989 de tonalidad grisácea oscura con presencia de material orgánico
991	35	Estrato	Estrato de tonalidad castaña-anaranjada y textura arcillosa
992	35A	Estrato	Paquete de tierra de tonalidad castaña-amarillenta y textura arcillosa
993	35A	Estrato	Estrato de tonalidad casataña-amarillenta y textura semicompacta y arcillosa
994	52/51	Estructura	Muro de orientación E-W perpendicular al muro UE 985
995	51	Estrato	Nivel de tierra de tonalidad castaño-grisácea y textura arcillosa entre los muros UUEE 985 y 994
996	52	Estrato	Nivel de tierra de tonalidad casataño-anaranjada y textura arcillosa situado al S del muro UE 994
997	35A	Estrato	Nivel de tierra de tonalidad castaña oscura y textura limosa situado en la esquina N del ambiente
998	35	Estrato	Nivel de tierra anaranjado y textura arcillosa en la cara N del muro UE 888
999	35	Estrato	Nivel de tierra amarillenta de textura arcillosa y suelta, en la esquina W del ambiente
1000	42	Estrato	Nivel horizontal de tonalidad amarillenta, cubierto por UE 798
1001	42	Estrato	Acumulación de piedras de pequeño y mediano tamaño en el extremo W del ambiente, cubierto por UE 798 y cubriendo a UE 1000
1002	35A	Estrato	Nivel de piedras junto a la UE 976
1003	49	Estrato	Acumulación de estuco bajo la fosa UE 963
1004	49	Estrato	Posible pavimento de tierra compactada, cortado por UE 963
1005	42	Muro	Muro de orientación E-W bajo UE 1000, al N del ambiente
1006	42	Estrato	Estrato de tierra de tonalidad gris y textura ligeramente compacta bajo UE 778



1007	42	Interfaz	Recorte realizado en UE 1006, al E del estrato, bajo UE 778, relleno por UE 1008
1008	42	Estrato	Estrato de tierra marrón-amarillenta y de textura muy suelta que rellena a UE 1007
1009	42	Estrato	Estrato de tierra de tonalidad marrón-blانquecina con abundante presencia de cantos rodados bajo UE 778, al W del ambiente
1010	49	Estrato	Estrato horizontal de tonalidad grisácea ubicado junto al muro UE 496 y bajo el pavimento UE 896
1011	51	Interfaz	Fosa que corta a UE 1013, relleno por UE 1012
1012	51	Estrato	Relleno de UE 1011, formado por tierra de tonalidad marrón-grisácea y textura suelta con restos de mortero, cantos y caracoles
1013	51	Estrato	Tierra de tonalidad anaranjada y textura arcillosa, al W del muro UE 994. Cortada por UE 1011
1014	42	Estrato	Estrato de tierra de tonalidad grisácea y textura muy suelta, bajo UE 1008 y relleno a UE 1007
1015	27	Muro	Muro de mampuestos y mortero sobre el relleno de la fosa UE 980 y sobre el muro UE 28
1016	49	Estrato	Estrato de tierra de textura compacta que se extiende por todo el ambiente, con presencia de pellas rojizas. Equivale a UE 1003
1017	52	Estrato	Estrato de tierra de tonalidad anaranjada y textura compacta y arcillosa con escasa presencia de piedras, al E del muro 994
1018	52	Interfaz	Recorte realizado en el estrato 1017 en paralelo al muro UE 505, relleno por UE 1019
1019	52	Estrato	Relleno de la fosa UE 1018
1020	24	Estrato	Paquete de tierra situado entre la media caña hidráulica UE 511 y la sucesión de muros que cierran el ambiente hacia el N
1021	24	Estrato	Tierra que rellena a la fosa UE 1022
1022	24	Interfaz	Fosa de tendencia semicircular entre la media caña hidráulica UE

			511 y la sucesión de muros que cierran el ambiente hacia el N
1023	1	Estructura	ANULADA
1024	1	Estructura	<i>Opus signinum</i> que se apoya sobre UE 1023
1025	1	Estructura	Estructura en forma de media caña de <i>opus signinum</i> que se apoya en UE 1024
1026	1	Estructura	Segundo nivel de <i>opus signinum</i> apoyado sobre el nivel UE 1024
1027	35	Estrato	Nivel de tierra de tonalidad castaño-grisácea y textura compacta
1028	42	Estructura	Muro de mortero y pequeñas piedras con orientación E-W bajo UE 1006
1029	42	Estructura	Nivel horizontal de <i>opus signinum</i> al S del muro UE 1028
1030	42	Estructura	Posible alineación de cantos rodados con orientación N-S, bajo UE 1006
1031	42	Estructura	Nivel horizontal con abundantes cantos rodados y mortero situado bajo UE 1006, al E del muro UE 1030 y cortado en su extremo E por la fosa UE 1007
1032	42	Estrato	Estrato de tierra anaranjada, bajo UE 1031
1033	42	Estrato	Estrato de tierra de tonalidad blanquecina con presencia de mortero que cubre al pavimento UE 1032
1034	35	Estrato	Estrato marrón oscuro situado en el SW-W del ambiente
1035	49	Estrato	Estrato ubicado bajo UUEE 911/1003 que se extiende por el ambiente. Compuesto por tierra de tonalidad marrón poco compacta, con abundante presencia de fragmentos cerámicos
1036	49	Estrato	Relleno de la fosa 1037, ubicada bajo UE 1003. Situado al NW del ambiente. Formado por tierra con presencia de materia orgánica, de tonalidad grisácea oscura
1037	49	Interfaz	Trinchera abierta en 1035 y rellena por UE 1037 en el extremo septentrional del Ambiente

1038	49	Estrato	Acumulación de piedras alineadas formando una posible fundación de una estructura o muro al SE del ambiente, dentro de UE 1035
1039	35	Estrato	Estrato de tonalidad marrón claro situado en la zona E del ambiente
1040	42	Estructura	Pavimento de <i>opus signinum</i> al N del muro UE 1029
1041	42	Muro	Muro de orientación N-S que hace esquina en su extremo S con el muro UE 1029
1042	42	Muro	Muro N-S que hace esquina al S con el muro UE 1029, paralelo al E con el muro UE 1041
1043	42	Estructura	Pavimento de <i>opus signinum</i> adosado a la cara S del muro UE 1029
1044	S. 1	Estrato	Nivel de tierra de tonalidad anaranjada y tendencia horizontal, de textura arcillosa. Bajo UE 1
1045	52	Interfaz	Recorte en UE 1017, recortado a su vez por la fosa UE 1018
1046	52	Estrato	Estrato de tierra de tonalidad marrón-anaranjada, de textura suelta y con presencia de cales. Rellena a UE 1045
1047	49	Estrato	Estrato de tendencia horizontal que se extiende por el interior del ambiente, de textura granulosa y tonalidad grisácea. Cubierto por UE 1035
1048	49	Estrato	Estrato de tendencia horizontal situado en el extremo oriental del ambiente, de tonalidad anaranjada y textura compacta. Al E de UE 1047 y bajo UE 1035
1049	49	Estrato	Acumulación de cantos rodados que se extiende horizontalmente por la zona central del ambiente. Asociado a los estratos UUEE 1048 y 1038, bajo UE 1035
1050	S. 1	Estructura	ANULADA
1051	S. 1	Estrato	Estrato horizontal de textura granulosa y tonalidad anaranjada, bajo UE 1044 y junto a UE 1050

1052	S. 1	Interfaz	Recorte de tendencia ovalada contra el extremo E del sondeo, practicado en UE 1051
1053	S. 1	Estrato	Relleno de tierra granulosa y grisácea que colmata la fosa UE 1052
1054	24	Estrato	ANULADA
1055	24	Interfaz	Fosa de textura ovalada orientada en sentido NW-SE y comprendida entre UUEE 504 y 510. Rellenada por UE 1056
1056	24	Estrato	Relleno de la fosa UE 1055, de tonalidad gris oscuro y textura compacta y arcillosa. Con presencia de piedras de tamaño medio
1057	35	Estrato	Estrato de tonalidad marrón claro que se extiende por todo el ambiente
1058	35	Interfaz	Anulada
1059	S. 1	Interfaz	Bajo UE 1052, fosa que rompe al muro UE 1061 y al pavimento UE 1062. Relleno por UE 1060
1060	S. 1	Estrato	Relleno de la fosa UE 1059
1061	S. 1	Muro	Muro con orientación E-W cortado por la fosa UE 1059 y cubierto por UE 1060
1062	S. 1	Estructura	Pavimento de <i>opus caementicium</i> roto por la fosa UE 1059
1063	40	Estrato	Estrato de tendencia horizontal y tonalidad grisácea-parda y textura arcillosa bajo UE 619, que se extiende por toda la superficie del ambiente
1064	49	Interfaz	Fosa de tendencia semicircular rellena por UE 1065
1065	49	Estrato	Estrato de tonalidad oscura que rellena a la fosa UE 1064
1066	49	Estrato	Estrato de tonalidad marrón-grisáceo con presencia de cales, material constructivo y cantos bajo UE 1047 y 1067
1067	49	Estructura	Pavimento recortado asociado a UE 496 y situado bajo UE 1047
1068	35	Estrato	Acumulación de piedras al SE del ambiente





## 6. Inventario de materiales

UE	NUME	SEC	CO-Amb	FOR	MAT	TPM	NF
001	1328	7F		0	F		17
001	1329	7F		0	CO	TLA	2
001	1330	7F		0	CO	TE	6
001	1331	7F		0	CO	TLA	2
001	1332	7F		1	CO	TTE	2
001	1333	7F		0	CO	TIM	1
001	1334	7F		7	C	ANF	1
001	1335	7F		1	C	ANF	1
001	1336	7F		7	C	ANF	1
001	1337	7F		7	C	ANF	1
001	1338	7F		4	C	BN	1
001	1339	7F		0	C	PI	1
001	1340	7F		1	C	CM	1
001	1341	7F		7	C	CM	1
001	1342	7F		1-7	C	CM	1
001	1343	7F		1	C	CM	1
001	1344	7F		1	C	CM	1
001	1345	7F		4	C	CM	1
001	1346	7F		1	C	CM	1
001	1347	7F		1	C	CM	1
001	1348	7F		0	C	TSA	1
001	1349	7F		1	C	TSA	1
001	1350	7F		1	C	TSA	1
001	1351	7F		4	C	TSA	1
001	1352	7F		4	C	TSA	1
001	1353	7F		4	C	TSA	1
001	1354	7F		0	C	TSA	1
001	1355	7F		0	C	TSA	1
001	1356	7F		1	C	TSA	1
001	1357	7F		1	C	TSA	1
001	1358	7F		0	C	TS	1
001	1359	7F		0	C	TS	1
001	1360	7F		1	C	TS	1
001	1361	7F		1	C	TS	1
001	1362	7F		0	C	TSL	1
001	1363	7F		0	VD	VI	2
001	1364	7F		1-4	VD	VI	1
001	1365	7F		1	VD	VI	1
001	1366	7F		8	C	CCA	1
001	1367	7F		1	C	CCA	1

001	1368	7F		4	C	CCA	1
001	1369	7F		1	C	CCA	1
001	1370	7F		4	C	CCA	1
001	1371	7F		4	C	CCA	1
001	1372	7F		4	C	CCA	1
001	1373	7F		8	C	CCA	1
001	1374	7F		0	C	PI	1
001	1375	7F		1	C	CC	1
001	1376	7F		1	C	CC	1
001	1377	7F		1	C	ROT	1
001	1378	7F		0	C	BNCC	1
001	1379	7F		0	C	CC	10
001	1380	7F		0	C	CM	27
001	1381	7F		0	C	CCA	12
001	1382	7F		0	C	ANF	42
030	001	7F	27W	0	F	FVMA	4
030	002	7F	27W	0	C	CC	2
030	003	7F	27W	0	C	CM	10
030	004	7F	27W	0	C	ANF	1
030	005	7F	27W	7	C	ANF	1
030	006	7F	27W	1	C	CM	1
030	007	7F	27W	1	C	TSA	1
030	008	7F	27W	0	C	TSA	1
030	009	7F	27W	8	C	CCA	1
030	010	7F	27W	0	C	PI	1
056	142	7F	40	0	CO	AR	4
056	143	7F	40	0	C	ANF	4
056	144	7F	40	0	C	CM	4
056	145	7F	40	4	C	CM	1
056	146	7F	40	7	C	CM	1
056	147	7F	40	1-7	C	CM	1
056	148	7F	40	4	C	CM	1
056	149	7F	40	0	C	PI	1
056	150	7F	40	0	C	PI	1
056	151	7F	40	4	C	TSA	1
056	152	7F	40	4	C	CCA	1
311	008	7F	27	0	F	FVMA	5
311	009	7F	27	0	F	FA	8
311	010	7F	27	0	L	LHI	2
311	011	7F	27	0	CO	TLA	3
311	012	7F	27	0	C	CM	13
311	013	7F	27	0	C	CC	5
311	014	7F	27	0	C	ANF	18
311	015	7F	27	1	C	TS	1
311	016	7F	27	1	C	TSA	1

311	017	7F	27	4	C	TS	1
311	018	7F	27	0	C	TS	1
311	019	7F	27	0	C	TSA	1
311	020	7F	27	1	C	TSA	1
311	021	7F	27	7	C	CM	1
311	022	7F	27	7	C	CM	1
311	023	7F	27	1	C	CM	1
311	024	7F	27	1	C	CM	1
311	025	7F	27	0	C	PI	1
311	026	7F	27	4	C	PI	1
311	027	7F	27	1	C	PF	1
311	028	7F	27W	0	CO	PM	1
311	029	7F	27W	0	F	FA	11
311	030	7F	27W	0	CO	TTE-TIM	5
311	031	7F	27W	0	CO	TLA	7
311	032	7F	27W	0	HT	AGU	1
311	033	7F	27W	0	C	ANF	25
311	034	7F	27W	0	C	CM	20
311	035	7F	27W	0	C	ROT	5
311	036	7F	27W	0	C	CC	4
311	037	7F	27W	0	C	CCA	2
311	038	7F	27W	1	C	PC	1
311	039	7F	27W	0	C	PI	1
311	040	7F	27W	0	C	PI	1
311	041	7F	27W	0	C	PI	1
311	042	7F	27W	0	C	PI	1
311	043	7F	27W	1	C	ROT	1
311	044	7F	27W	8	C	ROT	1
311	045	7F	27W	7	C	ANF	1
311	046	7F	27W	PI	C	ANF	1
311	047	7F	27W	7	C	ANF	1
311	048	7F	27W	7	C	ANF	1
311	049	7F	27W	0	C	ANF	1
311	050	7F	27W	8	C	CCA	1
311	051	7F	27W	7	C	LUC	1
311	052	7F	27W	0	C	TSA	1
311	053	7F	27W	0	C	TSA	1
311	054	7F	27W	0	C	TSA	1
311	055	7F	27W	1	C	CC	1
311	056	7F	27W	1	C	CC	1
311	057	7F	27W	1	C	CC	1
311	058	7F	27W	1	C	CC	1
311	059	7F	27W	0	C	CM	1
311	060	7F	27W	1	C	CM	1
311	061	7F	27W	8	C	CM	1



311	062	7F	12	0	F	FVMA	4
311	063	7F	12	0	F	FA	4
311	064	7F	12	0	CO	PM	2
311	065	7F	12	0	CO	TLA	13
311	066	7F	12	0	CO	TTE-TIM	6
311	067	7F	12	0	C	ANF	17
311	068	7F	12	0	C	TSA	1
311	069	7F	12	0	C	TSA	1
311	070	7F	12	4	C	PI	1
311	071	7F	12	PI	C	CM	1
311	072	7F	12	1	C	CM	1
311	073	7F	12	1-7	C	ANF	1
311	074	7F	12	7	C	ANF	1
311	075	7F	12	0	C	ANF	1
311	076	7F	12	1	C	ROT	1
311	077	7F	12	8	C	ROT	1
887	001	7F	35	0	C	ANF	12
887	002	7F	35	0	C	CM	49
887	003	7F	35	0	C	CCA	1
887	004	7F	35	1	C	BN	1
887	005	7F	35	0	C	BN	1
887	006	7F	35	0	C	PI	1
887	007	7F	35	0	C	PI	1
887	008	7F	35	0	C	PI	1
887	009	7F	35	0	C	PI	1
887	010	7F	35	0	C	PI	1
887	011	7F	35	0	C	PI	1
887	012	7F	35	0	C	PI	1
887	013	7F	35	0	C	PI	1
887	014	7F	35	0	C	PI	1
887	015	7F	35	0	C	PI	1
887	016	7F	35	0	C	PI	1
887	017	7F	35	0	C	PI	1
887	018	7F	35	1	C	PI	1
887	019	7F	35	1	C	PI	1
887	020	7F	35	1	C	CM	1
887	021	7F	35	0	C	ANF	1
887	022	7F	35	4	C	PF	1
887	023	7F	35	0	C	CC	3
887	024	7F	35	0	CO	TLA	1
887	025	7F	35	1	C	ANF	1
887	026	7F	35	0	C	PI	1
887	027	7F	35	0	C	PI	1
887	028	7F	35	1	C	PI	1
887	029	7F	35	0	C	PI	1

887	030	7F	35	0	C	PI	1
887	031	7F	35	0	C	PI	1
887	032	7F	35	0	C	PI	1
887	033	7F	35	0	C	PI	1
887	034	7F	35	1	C	PI	1
887	035	7F	35	0	C	PI	1
887	036	7F	35	0	C	PI	1
887	037	7F	35	0	C	PI	1
887	038	7F	35	0	C	PI	1
887	039	7F	35	0	C	PI	1
887	040	7F	35	7	C	CM	1
887	041	7F	35	4	C	CM	1
887	042	7F	35	0	C	BN	1
887	043	7F	35	0	C	BN	1
889	001	7F	35A	0	CO	PM	8
889	002	7F	35A	0	F	FVMA	3
889	003	7F	35A	0	VD	VI	3
889	004	7F	35A	0	L	LHI	5
889	005	7F	35A	0	F	FA	10
889	006	7F	35A	0	C	CM	83
889	007	7F	35A	0	C	ANF	15
889	008	7F	35A	0	C	CC	11
889	009	7F	35A	0	VD	VI	1
889	010	7F	35A	0	F	FA	2
889	011	7F	35A	0	CO	TLA	1
889	012	7F	35A	0	C	ANF	1
889	013	7F	35A	0	C	PI	1
889	014	7F	35A	0	C	PI	1
889	015	7F	35A	0	C	PI	1
889	016	7F	35A	0	C	PI	1
889	017	7F	35A	0	C	PI	1
889	018	7F	35A	0	C	PI	1
889	019	7F	35A	0	C	PI	1
889	020	7F	35A	4	C	PI	1
889	021	7F	35A	0	C	PI	1
889	022	7F	35A	0	C	PI	1
889	023	7F	35A	0	C	PI	1
889	024	7F	35A	0	C	PI	1
889	025	7F	35A	1	C	PI	1
889	026	7F	35A	0	C	PI	1
889	027	7F	35A	0	C	PI	1
889	028	7F	35A	0	C	PI	1
889	029	7F	35A	1	C	PI	1
889	030	7F	35A	4	C	PI	1
889	031	7F	35A	1	C	CM	1

889	032	7F	35A	1	C	CM	1
889	033	7F	35A	1	C	CM	1
889	034	7F	35A	1	C	CM	1
889	035	7F	35A	1	C	CM	1
889	036	7F	35A	4	C	CM	1
889	037	7F	35A	1	C	CM	1
889	038	7F	35A	1	C	CM	1
889	039	7F	35A	1	CC	CM	1
889	040	7F	35A	1	C	CM	1
889	041	7F	35A	1	C	CM	1
889	042	7F	35A	1	C	CC	1
889	043	7F	35A	1	C	CC	1
889	044	7F	35A	1	C	CC	1
889	045	7F	35A	1	C	CC	1
889	046	7F	35A	8	C	CC	1
889	047	7F	35A	0	C	TS	1
889	048	7F	35A	0	C	TS	1
889	049	7F	35A	0	C	TS	1
889	050	7F	35A	0	C	TSA	1
889	051	7F	35A	0	C	TS	1
889	052	7F	35A	DP	C	LUC	1
889	053	7F	35A	0	C	PI	1
890	001	7F	35A	0	CO	DMRX	23
890	002	7F	35A	0	C	CM	3
890	003	7F	35A	0	C	ANF	3
890	004	7F	35A	0	C	CM	24
890	005	7F	35A	0	C	CC	3
890	006	7F	35A	0	CO		1
890	007	7F	35A	4	C	CM	1
890	008	7F	35A	0	C	TS	1
890	009	7F	35A	0	C	TSL	1
890	010	7F	35A	0	C	PF	1
890	011	7F	35A	0	C	PI	1
890	012	7F	35A	0	C	PI	1
890	013	7F	35A	0	C	PI	1
890	014	7F	35A	1	C	CC	1
890	015	7F	35A	1	C	CM	1
890	016	7F	35A	0	C	CM	1
890	017	7F	35A	0	CO	PM	205
890	018	7F	35A	0	CO	PM	47
890	019	7F	35A	0	CO	DMRX	203
890	020	7F	35A	0	CO	PM	7
890	021	7F	35A	0	C	CM	3
890	022	7F	35A	0	C	CC	2
890	023	7F	35A	1	C	CM	1

890	024	7F	35A	4	C	CM	1
890	025	7F	35A	4	C	PF	1
890	026	7F	35A	1	C	CCA	1
890	027	7F	35A	0	CO	DMRX	24
890	028	7F	35A	0	CO	PM	111
890	029	7F	35A	0	F	FVMA	1
890	030	7F	35A	0	CO	TE	1
890	031	7F	35A	0	C	CM	18
890	032	7F	35A	0	C	ANF	6
890	033	7F	35A	0	C	TSL	1
890	034	7F	35A	4	C	TSL	1
890	035	7F	35A	0	C	PI	1
890	036	7F	35A	0	C	PI	1
890	037	7F	35A	0	C	PI	1
890	038	7F	35A	0	C	PI	1
890	039	7F	35A	1	C	PI	1
890	040	7F	35A	0	C	PI	1
890	041	7F	35A	0	C	PI	1
890	042	7F	35A	0	C	PF	1
890	043	7F	35A	0	C	PF	1
890	044	7F	35A	0	C	PF	1
897	001	7F	49	0	CO	TIM	3
897	002	7F	49	0	CO		1
897	003	7F	49	0	C	CC	10
897	004	7F	49	0	CO	AR	1
897	005	7F	49	0	CO	TLA	4
897	006	7F	49	0	C	ANF	14
897	007	7F	49	0	C	CM	14
897	008	7F	49	0	C	CCA	3
897	009	7F	49	0	L	LHI	1
897	010	7F	49	0	VD	VI	1
897	011	7F	49	0	F	FA	7
897	012	7F	49	4	C	CCA	1
897	013	7F	49	8	C	CCA	1
897	014	7F	49	8	C	CCA	1
897	015	7F	49	0	C	TS	1
897	016	7F	49	7	C	CM	1
897	017	7F	49	1	C	CM	1
897	018	7F	49	0	C	PI	1
897	019	7F	49	1	C	PF	1
897	020	7F	49	0	C	PF	1
897	021	7F	49	1	C	CC	1
897	022	7F	49	1-7	C	ANF	1
965	001	7F	49	0	C	CC	15
965	002	7F	49	0	F	FVMA	1



965	003	7F	49	0	F	FA	9
965	004	7F	49	0	CO	PM	5
965	005	7F	49	0	L	LBR	11
965	006	7F	49	0	VD	PV	2
965	007	7F	49	0	C	ANF	29
965	008	7F	49	0	CO	TLA	7
965	009	7F	49	0	C	CM	31
965	010	7F	49	0	CO	TTE-TIM	2
965	011	7F	49	0	C	CCA	3
965	012	7F	49	0	VD	VI	1
965	013	7F	49	7	C	ANF	1
965	014	7F	49	7	C	ANF	1
965	015	7F	49	7	C	ANF	1
965	016	7F	49	0	C	ANF	1
965	017	7F	49	0	C	ANF	1
965	018	7F	49	8	C	PI	1
965	019	7F	49	0	C	PI	1
965	020	7F	49	4	C	PI	1
965	021	7F	49	1	C	PI	1
965	022	7F	49	0	C	PI	1
965	023	7F	49	0	C	PI	1
965	024	7F	49	0	C	PI	1
965	025	7F	49	0	C	PI	1
965	026	7F	49	0	C	PI	1
965	027	7F	49	0	C	PI	1
965	028	7F	49	1	C	TSA	1
965	029	7F	49	1	C	TSA	1
965	030	7F	49	0	C	TSA	1
965	031	7F	49	0	C	TSA	1
965	032	7F	49	1	C	CC	1
965	033	7F	49	1	C	CC	1
965	034	7F	49	DIS	C	LUC	1
965	035	7F	49	0	C	GR	1
965	036	7F	49	1	C	CM	1
965	037	7F	49	0	MV	CA	12
965	038	7F	49	0	VD	VI	2
965	039	7F	49	0	VD	PV	2
965	040	7F	49	0	CO	AR	5
965	041	7F	49	0	F	FA	44
965	042	7F	49	0	CO	PM	9
965	043	7F	49	0	CO	DMRX	1
965	044	7F	49	0	L	LBR	4
965	045	7F	49	0	L	LHI	3
965	046	7F	49	0	C	ANF	46
965	047	7F	49	0	C	CM	44

965	048	7F	49	0	C	CCA	13
965	049	7F	49	0	C	CC	21
965	050	7F	49	0	CO	DMR	2
965	051	7F	49	0	VD	VI	1
965	052	7F	49	1	VD	VI	1
965	053	7F	49	0	CO	TLA	3
965	054	7F	49	0	CO	TLA-TIM	4
965	055	7F	49	7	C	ANF	1
965	056	7F	49	7	C	ANF	1
965	057	7F	49	7	C	ANF	1
965	058	7F	49	7	C	ANF	1
965	059	7F	49	0	C	ANF	1
965	060	7F	49	4	C	TS	1
965	061	7F	49	0	C	TSA	1
965	062	7F	49	0	C	TS	1
965	063	7F	49	0	C	TS	1
965	064	7F	49	1	C	TSA	1
965	065	7F	49	0	C	TSA	1
965	066	7F	49	1	C	TS	1
965	067	7F	49	0	C	BN	1
965	068	7F	49	1	C	TSA	1
965	069	7F	49	1	C	PI	1
965	070	7F	49	0	C	PI	1
965	071	7F	49	0-7	C	PI	1
965	072	7F	49	0	C	PI	1
965	073	7F	49	0	C	PI	1
965	074	7F	49	1	C	CM	1
965	075	7F	49	7	C	CM	1
965	076	7F	49	1	C	CM	1
965	077	7F	49	7	C	CM	1
965	078	7F	49	0	T	TPON	1
965	079	7F	49	1	C	CC	1
965	080	7F	49	4	C	CC	1
965	081	7F	49	4	C	CC	1
965	082	7F	49	1	C	CC	1
965	083	7F	49	1	C	CC	1
965	084	7F	49	1	C	CCA	1
965	085	7F	49	1	C	CC	1
965	086	7F	49	0-7	C	ANF	1
965	087	7F	49	7	C	CM	1
966	001	7F	37	0	CO	PM	6
966	002	7F	37	0	F	FA	5
966	003	7F	37	0	VD	VI	5
966	004	7F	37	0	C	CM	4
966	005	7F	37	0	C	CCA	4

966	006	7F	37	0	C	CC	1
966	007	7F	37	0	C	ANF	1
966	008	7F	37	0	C	CM	1
966	009	7F	37	4	C	ANF	1
966	010	7F	37	1	C	CM	1
966	011	7F	37	1	C	TS	1
966	012	7F	37	0	C	TSA	1
966	013	7F	37	0	C	TS	1
968	001	7F	20/35	0	CO	DMR	2
970	001	7F	35	0	F	FVMA	5
970	002	7F	35	0	CO	PM	44
970	003	7F	35	0	C	ANF	4
970	004	7F	35	0	C	CM	17
970	005	7F	35	0	C	CC	8
970	006	7F	35	0	C	CCA	5
970	007	7F	35	1	C	PI	1
970	008	7F	35	0	C	PI	1
970	009	7F	35	0	C	PI	1
970	010	7F	35	1	C	PI	1
970	011	7F	35	0	C	PI	1
970	012	7F	35	1	C	PI	1
970	013	7F	35	1	C	PI	1
970	014	7F	35	1	C	PI	1
970	015	7F	35	0	C	PI	1
970	016	7F	35	1	C	PI	1
970	017	7F	35	0	C	PI	1
970	018	7F	35	1	C	CC	1
970	019	7F	35	4	C	CM	1
970	020	7F	35	0	C	PF	1
970	021	7F	35	0	C	PF	1
970	022	7F	35	1	C	PF	1
970	023	7F	35	0	C	TS	1
970	024	7F	35	1	C	BN	1
971	001	7F	35	0	DMR		1
971	002	7F	35	0	F	FVMA	28
971	003	7F	35	0	CO	PM	3
971	004	7F	35	0	C	CM	52
971	005	7F	35	0	C	ANF	15
971	006	7F	35	0	C	CC	4
971	007	7F	35	0	C	PI	1
971	008	7F	35	0	C	PI	1
971	009	7F	35	0	C	PI	1
971	010	7F	35	0	C	PI	1
971	011	7F	35	0	C	PI	1
971	012	7F	35	1	C	PI	1

971	013	7F	35	0	C	PI	1
971	014	7F	35	0	C	PI	1
971	015	7F	35	0	C	PI	1
971	016	7F	35	0	C	PI	1
971	017	7F	35	1	C	PI	1
971	018	7F	35	0	C	PI	1
971	019	7F	35	0	C	PI	1
971	020	7F	35	0	C	PI	1
971	021	7F	35	0	C	PI	1
971	022	7F	35	0	C	PI	1
971	023	7F	35	0	C	PI	1
971	024	7F	35	1	C	PI	1
971	025	7F	35	0	C	PI	1
971	026	7F	35	0	C	PI	1
971	027	7F	35	0	C	PI	1
971	028	7F	35	1	C	PI	1
971	029	7F	35	0	C	PI	1
971	030	7F	35	0	C	PI	1
971	031	7F	35	0	C	PI	1
971	032	7F	35	0	C	PI	1
971	033	7F	35	1	C	PI	1
971	034	7F	35	0	C	PI	1
971	035	7F	35	0	C	PI	1
971	036	7F	35	0	C	PI	1
971	037	7F	35	0	C	PI	1
971	038	7F	35	0	C	PI	1
971	039	7F	35	0	C	PI	1
971	040	7F	35	0	C	PI	1
971	041	7F	35	4	C	BN	1
971	042	7F	35	1	C	BN	1
971	043	7F	35	1	C	BN	1
971	044	7F	35	0	C	BN	1
971	045	7F	35	1	C	ANF	1
971	046	7F	35	4	C	CM	1
971	047	7F	35	0-7	C	CM	1
971	048	7F	35	1	C	CM	1
971	049	7F	35	1	C	CM	1
971	050	7F	35	4	C	CCA	1
971	051	7F	35	0	C	PF	1
971	052	7F	35	0	C	PF	1
971	053	7F	35	0	C	PF	1
971	054	7F	35	0	C	PF	1
971	055	7F	35	0	C	PF	1
973	001	7F	35A	0	F	FA	1
973	002	7F	35A	0	F	FVMA	28



973	003	7F	35A	0	C	CC	11
973	004	7F	35A	0	C	CM	54
973	005	7F	35A	0	C	ANF	12
973	006	7F	35A	1	C	PI	1
973	007	7F	35A	1	C	PI	1
973	008	7F	35A	0	C	PI	1
973	009	7F	35A	1	C	PI	1
973	010	7F	35A	1	C	PI	1
973	011	7F	35A	0	C	PI	1
973	012	7F	35A	1	C	PI	1
973	013	7F	35A	1	C	PI	1
973	014	7F	35A	0	C	PI	1
973	015	7F	35A	1	C	PI	1
973	016	7F	35A	1	C	CM	1
973	017	7F	35A	1	C	CM	1
973	018	7F	35A	1	C	CM	1
973	019	7F	35A	1	C	CM	1
973	020	7F	35A	4	C	CM	1
973	021	7F	35A	1	C	CM	1
973	022	7F	35A	4	C	CM	1
973	023	7F	35A	1	C	PF	1
973	024	7F	35A	4	C	PF	1
973	025	7F	35A	0	C	TS	1
973	026	7F	35A	0	C	BN	1
973	027	7F	35A	0	F	FVMA	18
973	028	7F	35A	0	F	FVMA	1
973	029	7F	35A	0	C	ANF	14
973	030	7F	35A	0	CO	PM	6
973	031	7F	35A	0	F	FA	2
973	032	7F	35A	0	VD	VI	2
973	033	7F	35A	0	C	CC	15
973	034	7F	35A	0	MV	CA	6
973	035	7F	35A	0	C	CM	29
973	036	7F	35A	1	C	CC	1
973	037	7F	35A	1	C	CC	1
973	038	7F	35A	8	C	CC	1
973	039	7F	35A	1	C	CC	1
973	040	7F	35A	0	C	PI	1
973	041	7F	35A	0	C	PI	1
973	042	7F	35A	0	C	PI	1
973	043	7F	35A	0	C	PI	1
973	044	7F	35A	0	C	PI	1
973	045	7F	35A	1	C	PI	1
973	046	7F	35A	1	C	PI	1
973	047	7F	35A	0	C	PI	1

973	048	7F	35A	0	C	PI	1
973	049	7F	35A	0	C	PI	1
973	050	7F	35A	1	C	PF	1
973	051	7F	35A	1	C	PF	1
973	052	7F	35A	0	C	PF	1
973	053	7F	35A	0	C	PF	1
973	054	7F	35A	0	C	PF	1
978	001	7F	35	0	LBR	MON	1
978	002	7F	35	0	D	DSI	1
978	003	7F	35	0	L	LHI	1
978	004	7F	35	0	F	FA	10
978	005	7F	35	0	F	FVMA	7
978	006	7F	35	0	MV	CA	9
978	007	7F	35	0	C	CM	37
978	008	7F	35	0	C	ANF	13
978	009	7F	35	0	C	CCA	1
978	010	7F	35	0	C	CC	6
978	011	7F	35	0	C	PI	1
978	012	7F	35	0	C	PI	1
978	013	7F	35	0	C	PI	1
978	014	7F	35	0	C	PI	1
978	015	7F	35	0	C	PI	1
978	016	7F	35	0	C	PI	1
978	017	7F	35	0	C	PI	1
978	018	7F	35	0	C	PI	1
978	019	7F	35	0	C	PI	1
978	020	7F	35	1	C	PI	1
978	021	7F	35	0	C	PI	1
978	022	7F	35	0	C	PI	1
978	023	7F	35	7	C	PI	1
978	024	7F	35	0	C	PI	1
978	025	7F	35	0	C	PI	1
978	026	7F	35	0	C	PI	1
978	027	7F	35	0	C	PI	1
978	028	7F	35	0	C	PI	1
978	029	7F	35	0	C	PI	1
978	030	7F	35	0	C	PI	1
978	031	7F	35	0	C	PI	1
978	032	7F	35	0	C	PI	1
978	033	7F	35	0	C	PI	1
978	034	7F	35	0	C	PI	1
978	035	7F	35	1	C	PI	1
978	036	7F	35	0	C	PI	1
978	037	7F	35	1	C	ANF	1
978	038	7F	35	7	C	ANF	1

978	039	7F	35	1	C	CM	1
978	040	7F	35	1	C	CM	1
978	041	7F	35	1	C	PI	1
978	042	7F	35	0-7	C	CM	1
978	043	7F	35	1	C	CM	1
978	044	7F	35	7	C	CM	1
978	045	7F	35	4	C	CM	1
978	046	7F	35	4	C	CM	1
978	047	7F	35	1	C	CM	1
978	048	7F	35	1	C	CM	1
978	049	7F	35	0	C	PF	1
978	050	7F	35	0	C	PF	1
978	051	7F	35	0	C	PF	1
978	052	7F	35	0	C	PF	1
978	053	7F	35	0	C	PF	1
978	054	7F	35	0	F	FVMA	22
978	055	7F	35	0	CO	TLA	1
978	056	7F	35	0	F	FA	10
978	057	7F	35	0	C	CM	15
978	058	7F	35	0	C	ANF	12
978	059	7F	35	0	C	PI	1
978	060	7F	35	0	C	PI	1
978	061	7F	35	0	C	PI	1
978	062	7F	35	0	C	PI	1
978	063	7F	35	0	C	PI	1
978	064	7F	35	0	C	PI	1
978	065	7F	35	0	C	PI	1
978	066	7F	35	0	C	PI	1
978	067	7F	35	0	C	PI	1
978	068	7F	35	0	C	PI	1
978	069	7F	35	0	C	PI	1
978	070	7F	35	7	C	ANF	1
978	071	7F	35	0	C	ANF	1
978	072	7F	35	4	C	CC	1
978	073	7F	35	1	C	CCA	1
978	074	7F	35	1	C	ROT	1
978	075	7F	35	4	C	ROT	1
978	076	7F	35	0	C	BN	1
978	077	7F	35	0	C	TS	1
978	078	7F	35	1	C	CM	1
978	079	7F	35	0	F	FVMA	99
978	080	7F	35	0	CO		2
978	081	7F	35	0	CO	PM	16
978	082	7F	35	0	F	FA	15
978	083	7F	35	0	L	LHI	2

978	084	7F	35	0	C	ANF	24
978	085	7F	35	0	C	CM	46
978	086	7F	35	0	C	CC	15
978	087	7F	35	0	C	CCA	2
978	088	7F	35	4	C	BN	1
978	089	7F	35	0	C	BN	1
978	090	7F	35	0	C	BN	1
978	091	7F	35	1	C	BN	1
978	092	7F	35	0	C	BN	1
978	093	7F	35	0	C	BN	1
978	094	7F	35	0	C	PI	1
978	095	7F	35	0	C	PI	1
978	096	7F	35	0	C	PI	1
978	097	7F	35	1	C	PI	1
978	098	7F	35	0	C	PI	1
978	099	7F	35	0	C	PI	1
978	100	7F	35	1	C	PI	1
978	101	7F	35	4	C	PI	1
978	102	7F	35	0	C	PI	1
978	103	7F	35	0	C	PI	1
978	104	7F	35	0	C	PI	1
978	105	7F	35	0	C	PI	1
978	106	7F	35	0	C	PI	1
978	107	7F	35	0	C	PI	1
978	108	7F	35	0	C	PI	1
978	109	7F	35	0	C	PI	1
978	110	7F	35	0	C	PI	1
978	111	7F	35	0	C	PI	1
978	112	7F	35	1	C	PI	1
978	113	7F	35	1	C	PI	1
978	114	7F	35	0	C	PI	1
978	115	7F	35	1	C	PI	1
978	116	7F	35	1	C	PI	1
978	117	7F	35	0	C	PI	1
978	118	7F	35	0	C	PI	1
978	119	7F	35	7	C	PI	1
978	120	7F	35	1	C	PI	1
978	121	7F	35	1	C	PI	1
978	122	7F	35	0	C	PI	1
978	123	7F	35	0	C	PI	1
978	124	7F	35	1	C	PI	1
978	125	7F	35	0	C	PI	1
978	126	7F	35	0	C	PI	1
978	127	7F	35	0	C	PI	1
978	128	7F	35	0	C	PI	1



978	129	7F	35	0	C	PI	1
978	130	7F	35	0	C	PI	1
978	131	7F	35	0	C	PI	1
978	132	7F	35	0	C	PI	1
978	133	7F	35	0	C	PI	1
978	134	7F	35	0	C	PI	1
978	135	7F	35	0	C	PI	1
978	136	7F	35	1	C	CM	1
978	137	7F	35	4	C	CM	1
978	138	7F	35	1	C	CM	1
978	139	7F	35	1	C	CM	1
978	140	7F	35	1	C	CM	1
978	141	7F	35	1	C	CC	1
978	142	7F	35	1	C	CC	1
978	143	7F	35	1	C	PF	1
978	144	7F	35	1	C	PF	1
978	145	7F	35	1	C	PF	1
978	146	7F	35	0	C	PF	1
978	147	7F	35	0	C	PF	1
978	148	7F	35	1	C	PF	1
978	149	7F	35	1	C	PF	1
979	001	7F	35A	0	L	LPL	1
979	002	7F	35A	0	F	FVMA	35
979	003	7F	35A	0	F	FA	2
979	004	7F	35A	0	C	ANF	28
979	005	7F	35A	0	C	CC	15
979	006	7F	35A	0	C	CM	58
979	007	7F	35A	0	C	CCA	2
979	008	7F	35A	0	C	PI	1
979	009	7F	35A	0	C	PI	1
979	010	7F	35A	0	C	PI	1
979	011	7F	35A	1	C	PI	1
979	012	7F	35A	0	C	PI	1
979	013	7F	35A	0	C	PI	1
979	014	7F	35A	1	C	PI	1
979	015	7F	35A	0	C	PI	1
979	016	7F	35A	0	C	PI	1
979	017	7F	35A	0	C	PI	1
979	018	7F	35A	0	C	PI	1
979	019	7F	35A	0	C	PI	1
979	020	7F	35A	0	C	PI	1
979	021	7F	35A	0	C	PI	1
979	022	7F	35A	1	C	PI	1
979	023	7F	35A	1	C	PI	1
979	024	7F	35A	0	C	PI	1

979	025	7F	35A	0	C	PI	1
979	026	7F	35A	0	C	PI	1
979	027	7F	35A	4	C	PI	1
979	028	7F	35A	0	C	PI	1
979	029	7F	35A	4	C	PI	1
979	030	7F	35A	1	C	PI	1
979	031	7F	35A	0	C	PI	1
979	032	7F	35A	0	C	PI	1
979	033	7F	35A	0	C	PI	1
979	034	7F	35A	0	C	PI	1
979	035	7F	35A	0	C	PI	1
979	036	7F	35A	0	C	PI	1
979	037	7F	35A	0	C	POR	1
979	038	7F	35A	1	C	CM	1
979	039	7F	35A	1	C	CM	1
979	040	7F	35A	1	C	CM	1
979	041	7F	35A	1	C	CM	1
979	042	7F	35A	1	C	CM	1
979	043	7F	35A	4	C	CM	1
979	044	7F	35A	4	C	CM	1
979	045	7F	35A	1	C	CC	1
979	046	7F	35A	1	C	CC	1
979	047	7F	35A	8	C	ROT	1
979	048	7F	35A	1	C	ROT	1
979	049	7F	35A	1	C	PF	1
979	050	7F	35A	7	C	ANF	1
979	051	7F	35A	1	C	ANF	1
979	052	7F	35A	7	C	ANF	1
979	053	7F	35A	1	C	MOR	1
981	001	7F	27W	0-1-7	C	ANF	1
984	001	7F	35B	0	F	FA	8
984	002	7F	35B	0	CO	PM	1
984	003	7F	35B	0	C	CC	1
984	004	7F	35B	0	C	ANF	5
984	005	7F	35B	0	C	CM	8
984	006	7F	35B	7	C	CM	1
984	007	7F	35B	1	C	ANF	1
984	008	7F	35B	1	C	PI	1
984	009	7F	35B	0	C	PI	1
984	010	7F	35B	0	C	PI	1
984	011	7F	35B	4-7	C	PI	1
984	012	7F	35B	1	C	PI	1
984	013	7F	35B	0	C	PI	1
984	014	7F	35B	0	C	PI	1
984	015	7F	35B	0	C	PI	1

984	016	7F	35B	0	C	PI	1
984	017	7F	35B	0	C	PI	1
984	018	7F	35B	1	C	PI	1
984	019	7F	35B	0	CO	PM	1
984	020	7F	35B	0	C	CM	6
984	021	7F	35B	0	C	ANF	7
984	022	7F	35B	0	C	PI	1
984	023	7F	35B	0	C	PI	1
984	024	7F	35B	0	C	PI	1
984	025	7F	35B	1	C	PI	1
984	026	7F	35B	0	C	PI	1
984	027	7F	35B	4	C	CM	1
984	028	7F	35B	4	C	BN	1
053	118	7F	40	0	CO	TLA	2
053	119	7F	40	0	C	ANF	11
053	120	7F	40	0	C	CC	1
053	121	7F	40	0	C	CCA	2
053	122	7F	40	0	C	CM	7
053	123	7F	40	0	CO	TTE	1
053	124	7F	40	0	F	FVMA	2
053	125	7F	40	1	C	CM	1
053	126	7F	40	0	C	PI	1
619	018	7F	40	0	C	ANF	68
619	019	7F	40	0	C	CCA	6
619	020	7F	40	0	C	CC	10
619	021	7F	40	0	C	CM	21
619	022	7F	40	0	CO	TLA	7
619	023	7F	40	0	CO	TIM	6
619	024	7F	40	0	CO	PM	1
619	025	7F	40	0	F	FVMA	3
619	026	7F	40	0	F	FA	9
619	027	7F	40	0	C	TSA	1
619	028	7F	40	0	C	TSA	1
619	029	7F	40	4	C	TSA	1
619	030	7F	40	0	C	TSA	1
619	031	7F	40	1	C	TSA	1
619	032	7F	40	0	C	TSA	1
619	033	7F	40	1	C	TS	1
619	034	7F	40	0	C	TSL	1
619	035	7F	40	1	C	CCA	1
619	036	7F	40	8	C	CCA	1
619	037	7F	40	4	C	CCA	1
619	038	7F	40	PI	C	ANF	1
619	039	7F	40	1	C	ANF	1
619	040	7F	40	7	C	ANF	1

619	041	7F	40	7	C	ANF	1
619	042	7F	40	7	C	ANF	1
619	043	7F	40	7	C	ANF	1
619	044	7F	40	7	C	CCA	1
619	045	7F	40	1	C	CCA	1
619	046	7F	40	1	C	CCA	1
619	047	7F	40	7	C	CCA	1
619	048	7F	40	1-7	C	CCA	1
619	049	7F	40	7	C	CM	1
619	050	7F	40	4	C	CM	1
619	051	7F	40	1	C	CM	1
619	052	7F	40	1	C	CM	1
619	053	7F	40	1	C	CM	1
619	054	7F	40	1	C	CM	1
619	055	7F	40	4	C	CM	1
619	056	7F	40	1	C	PI	1
619	057	7F	40	0	C	PI	1
619	058	7F	40	0	C	PI	1
619	059	7F	40	0	C	PI	1
619	060	7F	40	1	C	PI	1
619	061	7F	40	1	C	PI	1
619	062	7F	40	1	C	ROT	1
619	063	7F	40	1	C	ROT	1
619	064	7F	40	4	C	BN	1
619	065	7F	40	4	C	BN	1
778	031	7F	42	0	F	FA	13
778	032	7F	42	0	VD	VI	10
778	033	7F	42	0	CO		1
778	034	7F	42	0	F	FVMA	1
778	035	7F	42	0	F	FVMA	2
778	036	7F	42	0	CO	DMR	3
778	037	7F	42	0	CO	PM	35
778	038	7F	42	0	CO		2
778	039	7F	42	0	CO	TIM	2
778	040	7F	42	0	C	CC	21
778	041	7F	42	0	C	ANF	32
778	042	7F	42	0	C	CM	24
778	043	7F	42	4	C	CM	1
778	044	7F	42	1	C	CM	1
778	045	7F	42	1	C	CM	1
778	046	7F	42	7	C	CM	1
778	047	7F	42	4	C	CM	1
778	048	7F	42	1	C	CM	1
778	049	7F	42	1	C	CM	1
778	050	7F	42	1	C	CM	1

778	051	7F	42	4	C	CM	1
778	052	7F	42	4	C	CM	1
778	053	7F	42	4	C	CM	1
778	054	7F	42	1	C	CM	1
778	055	7F	42	1	C	CM	1
778	056	7F	42	0	C	CM	1
778	057	7F	42	1	C	PI	1
778	058	7F	42	1	C	PI	1
778	059	7F	42	4	C	PI	1
778	060	7F	42	0	C	PI	1
778	061	7F	42	1	C	CCA	1
778	062	7F	42	8	C	CCA	1
778	063	7F	42	1	C	CCA	1
778	064	7F	42	1	C	CCA	1
778	065	7F	42	1	C	CCA	1
778	066	7F	42	1	C	CCA	1
778	067	7F	42	1	C	CC	1
778	068	7F	42	1	C	CC	1
778	069	7F	42	1	C	CC	1
778	070	7F	42	1	C	CC	1
778	071	7F	42	1	C	CC	1
778	072	7F	42	1	C	CC	1
778	073	7F	42	1	C	CC	1
778	074	7F	42	8	C	CC	1
778	075	7F	42	1	C	CC	1
778	076	7F	42	1	C	CC	1
778	077	7F	42	1	C	CC	1
778	078	7F	42	1	C	CC	1
778	079	7F	42	7	C	CC	1
778	080	7F	42	4	C	TS	1
778	081	7F	42	0	C	TSA	1
778	082	7F	42	0	C	TSA	1
778	083	7F	42	0	C	TSA	1
778	084	7F	42	0	C	TSA	1
778	085	7F	42	0	C	TSA	1
778	086	7F	42	0	C	TSA	1
778	087	7F	42	0	C	BN	1
778	088	7F	42	1	C	ANF	1
778	089	7F	42	0	CO	TTE	1
778	090	7F	42	0	L	LHI	1
778	091	7F	42	0	MV	CA	1
778	092	7F	42	0	DMR		1
778	093	7F	42	0	HT	AGU	1
778	094	7F	42	0	F	FA	5
778	095	7F	42	0	F	FVMA	1



778	096	7F	42	0	CO	PM	8
778	097	7F	42	0	CO		3
778	098	7F	42	0	C	ANF	30
778	099	7F	42	0	C	CC	17
778	100	7F	42	0	C	CM	43
778	101	7F	42	0	C	CCA	10
778	102	7F	42	0	D	DLP	1
778	103	7F	42	PI	C	ANF	1
778	104	7F	42	4	C	ANF	1
778	105	7F	42	8	C	CC	1
778	106	7F	42	1	C	CC	1
778	107	7F	42	1	C	CC	1
778	108	7F	42	8	C	CC	1
778	109	7F	42	1	C	CC	1
778	110	7F	42	1-4	C	CCA	1
778	111	7F	42	1-4	C	CCA	1
778	112	7F	42	4	C	CCA	1
778	113	7F	42	8	C	CCA	1
778	114	7F	42	1	C	CCA	1
778	115	7F	42	1	C	TS	1
778	116	7F	42	0	C	TSA	1
778	117	7F	42	0	C	TSA	1
778	118	7F	42	4	C	TS	1
778	119	7F	42	4	C	TS	1
778	120	7F	42	1	C	TSA	1
778	121	7F	42	DS	C	LUC	1
778	122	7F	42	4	C	CM	1
778	123	7F	42	4	C	CM	1
778	124	7F	42	4	C	CM	1
778	125	7F	42	1	C	CM	1
778	126	7F	42	1	C	CM	1
778	127	7F	42	1	C	CM	1
778	128	7F	42	1	C	CM	1
889	054	7F	35A	0	C	TTE-TIM	5
889	055	7F	35A	0	F	FVMA	2
889	056	7F	35A	0	F	FA	4
889	057	7F	35A	0	L	LHI	1
889	058	7F	35A	0	CO	PM	1
889	059	7F	35A	0	C	ROT	1
889	060	7F	35A	0	C	CM	8
889	061	7F	35A	0	C	ANF	8
889	062	7F	35A	0	C	PI	1
889	063	7F	35A	1	C	TSA	1
889	064	7F	35A	0	C	TS	1
889	065	7F	35A	0	C	TS	1

889	066	7F	35A	1	C	CC	1
889	067	7F	35A	0	L	LBR	1
891	001	7F	35	0	CO	PM	3
891	002	7F	35	0	C	CM	12
891	003	7F	35	1	C	PI	1
891	004	7F	35	0	C	PI	1
891	005	7F	35	0	C	PI	1
891	006	7F	35	0	C	PI	1
891	007	7F	35	0	C	PI	1
891	008	7F	35	0	C	PI	1
891	009	7F	35	0	C	PI	1
891	010	7F	35	0	C	PI	1
891	011	7F	35	0	C	PI	1
891	012	7F	35	0	C	PI	1
891	013	7F	35	0	C	BN	1
891	014	7F	35	4	C	CM	1
965	088	7F	49	0	CO	TIM	1
965	089	7F	49	0	C	CC	1
965	090	7F	49	0	C	ANF	12
965	091	7F	49	0	C	CM	10
965	092	7F	49	1	C	CC	1
965	093	7F	49	1	C	TSA	1
965	094	7F	49	4	C	CM	1
965	095	7F	49	4	C	CM	1
965	096	7F	49	7	C	CM	1
965	097	7F	49	1-4	C	CM	1
965	098	7F	49	1	C	CM	1
965	099	7F	49	7	C	CM	1
965	100	7F	49	1	C	ANF	1
965	101	7F	49	7	C	ANF	1
965	102	7F	49	4	C	CCA	1
965	103	7F	49	1-4	C	CCA	1
971	056	7F	35	0	CO	PM	63
971	057	7F	35	0	DMR		43
984	029	7F	35B	0	CO	PM	5
984	030	7F	35B	0	F	FVMA	3
984	031	7F	35B	0	F	FA	12
984	032	7F	35B	0	VD	VI	1
984	033	7F	35B	0	C	ANF	9
984	034	7F	35B	0	C	CM	12
984	035	7F	35B	0	C	CC	1
984	036	7F	35B	0	C	PI	1
984	037	7F	35B	0	C	PI	1
984	038	7F	35B	0	C	PI	1
984	039	7F	35B	1	C	PI	1

984	040	7F	35B	0	C	PI	1
984	041	7F	35B	1	C	PI	1
984	042	7F	35B	0	C	PI	1
984	043	7F	35B	0	C	PI	1
984	044	7F	35B	4	C	CC	1
984	045	7F	35B	4	C	CM	1
984	046	7F	35B	1	C	CM	1
984	047	7F	35B	4	C	CM	1
984	048	7F	35B	0	C	TS	1
976	001	7F	35	0	F	FA	10
976	002	7F	35	0	C	ANF	69
976	003	7F	35	0	C	CC	5
976	004	7F	35	0	C	CM	64
976	005	7F	35	0	C	PI	1
976	006	7F	35	0	C	PI	1
976	007	7F	35	1	C	PI	1
976	008	7F	35	0	C	PI	1
976	009	7F	35	0	C	PI	1
976	010	7F	35	0	C	PI	1
976	011	7F	35	0	C	PI	1
976	012	7F	35	0	C	PI	1
976	013	7F	35	0	C	PI	1
976	014	7F	35	0	C	PI	1
976	015	7F	35	0	C	PI	1
976	016	7F	35	0	C	PI	1
976	017	7F	35	0	C	PI	1
976	018	7F	35	0	C	PI	1
976	019	7F	35	0	C	PI	1
976	020	7F	35	0	C	PI	1
976	021	7F	35	0	C	PI	1
976	022	7F	35	0	C	PI	1
976	023	7F	35	0	C	PI	1
976	024	7F	35	0	C	PI	1
976	025	7F	35	0	C	BN	1
976	026	7F	35	DS	C	LUC	1
986	001	7F	35A	0	C	ANF	1
986	002	7F	35A	0	C	CM	16
986	003	7F	35A	0	C	PI	1
986	004	7F	35A	1	C	PI	1
986	005	7F	35A	0	C	PI	1
986	006	7F	35A	0	C	PI	1
986	007	7F	35A	0	C	PI	1
986	008	7F	35A	0	C	PI	1
986	009	7F	35A	4	C	PI	1
986	010	7F	35A	0	C	PI	1

986	011	7F	35A	0	C	PI	1
986	012	7F	35A	0	C	PI	1
986	013	7F	35A	1	C	PI	1
986	014	7F	35A	0	C	PI	1
986	015	7F	35A	0	C	PI	1
986	016	7F	35A	0	C	PI	1
986	017	7F	35A	0	C	BN	1
986	018	7F	35A	1	C	CC	1
986	019	7F	35A	4	C	CM	1
986	020	7F	35A	1	C	CC	1
986	021	7F	35A	1	C	CM	1
986	022	7F	35A	1	C	CM	1
986	023	7F	35A	4	C	CM	1
986	024	7F	35A	1	C	CM	1
1009	001	7F	42	0	CO	TLA	1
1009	002	7F	42	0	CO	PM	4
1009	003	7F	42	0	C	CC	3
1009	004	7F	42	0	C	ANF	6
1009	005	7F	42	0	C	CM	25
1009	006	7F	42	0	CO		3
1009	007	7F	42	7	C	ANF	1
1009	008	7F	42	4	C	CM	1
1009	009	7F	42	4	C	CM	1
1009	010	7F	42	0	C	TS	1
1009	011	7F	42	0	C	PI	1
992	001	7F	35A	0	D	MOI	1
992	002	7F	35A	0	CO	PM	1
992	003	7F	35A	0	F	FVMA	5
992	004	7F	35A	0	MV	CA	15
992	005	7F	35A	0	F	FA	6
992	006	7F	35A	0	C	ANF	28
992	007	7F	35A	0	C	CC	7
992	008	7F	35A	0	C	CM	20
992	009	7F	35A	0	C	PI	1
992	010	7F	35A	0	C	PI	1
992	011	7F	35A	1	C	PI	1
992	012	7F	35A	1	C	PI	1
992	013	7F	35A	0	C	PI	1
992	014	7F	35A	0	C	PI	1
992	015	7F	35A	0	C	PI	1
992	016	7F	35A	0	C	PI	1
992	017	7F	35A	0	C	PI	1
992	018	7F	35A	0	C	PI	1
992	019	7F	35A	0	C	PI	1
992	020	7F	35A	0	C	PI	1

992	021	7F	35A	0	C	PI	1
992	022	7F	35A	0	C	PI	1
992	023	7F	35A	1	C	PI	1
992	024	7F	35A	0	C	PI	1
992	025	7F	35A	0	C	PI	1
992	026	7F	35A	7	C	PI	1
992	027	7F	35A	1	C	PI	1
992	028	7F	35A	1	C	PI	1
992	029	7F	35A	1	C	PI	1
992	030	7F	35A	0	C	PI	1
992	031	7F	35A	0	C	PI	1
992	032	7F	35A	1	C	PI	1
992	033	7F	35A	0	C	PI	1
992	034	7F	35A	0	C	PI	1
992	035	7F	35A	0	C	PI	1
992	036	7F	35A	1	C	PI	1
992	037	7F	35A	0	C	PI	1
992	038	7F	35A	1	C	PI	1
992	039	7F	35A	1	C	PI	1
992	040	7F	35A	7	C	ANF	1
992	041	7F	35A	1	C	ANF	1
992	042	7F	35A	7	C	ANF	1
992	043	7F	35A	1	C	CM	1
992	044	7F	35A	1	C	CM	1
992	045	7F	35A	1	C	CM	1
992	046	7F	35A	1	C	CM	1
992	047	7F	35A	1	C	CM	1
992	048	7F	35A	0	C	BN	1
992	049	7F	35A	0	C	BN	1
992	050	7F	35A	1	C	BN	1
992	051	7F	35A	0	C	BN	1
992	052	7F	35A	0	C	BN	1
991	001	7F	35B	0	F	FA	22
991	002	7F	35B	0	F	FVMA	2
991	003	7F	35B	0	CO	PM	14
991	004	7F	35B	0	L	LHI	2
991	005	7F	35B	0	C	ANF	18
991	006	7F	35B	0	C	CC	5
991	007	7F	35B	0	C	CM	48
991	008	7F	35B	0	C	PI	1
991	009	7F	35B	0	C	PI	1
991	010	7F	35B	0	C	PI	1
991	011	7F	35B	0	C	PI	1
991	012	7F	35B	1	C	PI	1
991	013	7F	35B	0	C	PI	1



991	014	7F	35B	0	C	PI	1
991	015	7F	35B	0	C	PI	1
991	016	7F	35B	1	C	PI	1
991	017	7F	35B	0	C	PI	1
991	018	7F	35B	0	C	PI	1
991	019	7F	35B	0	C	PI	1
991	020	7F	35B	0	C	PI	1
991	021	7F	35B	0	C	PI	1
991	022	7F	35B	1	C	PI	1
991	023	7F	35B	0	C	PI	1
991	024	7F	35B	1	C	CM	1
991	025	7F	35B	1	C	CM	1
991	026	7F	35B	4	C	CM	1
991	027	7F	35B	0	C	BN	1
991	028	7F	35B	0	C	BN	1
991	029	7F	35B	4	C	LUC	1
991	030	7F	35B	0-1-4	C	BN	1
993	001	7F	35	0	C	ANF	69
993	002	7F	35	0	F	FVMA	28
993	003	7F	35	0	C	CM	106
993	004	7F	35	0	C	CC	18
993	005	7F	35	0	C	PI	1
993	006	7F	35	0	C	PI	1
993	007	7F	35	0	C	PI	1
993	008	7F	35	0	C	PI	1
993	009	7F	35	0	C	PI	1
993	010	7F	35	1	C	PI	1
993	011	7F	35	1	C	PI	1
993	012	7F	35	0	C	PI	1
993	013	7F	35	1	C	PI	1
993	014	7F	35	0	C	PI	1
993	015	7F	35	0	C	PI	1
993	016	7F	35	0	C	PI	1
993	017	7F	35	0	C	PI	1
993	018	7F	35	0	C	PI	1
993	019	7F	35	0	C	PI	1
993	020	7F	35	0	C	PI	1
993	021	7F	35	0	C	PI	1
993	022	7F	35	0	C	PI	1
993	023	7F	35	0	C	PI	1
993	024	7F	35	0	C	PI	1
993	025	7F	35	1	C	PI	1
993	026	7F	35	0	C	PI	1
993	027	7F	35	0	C	PI	1
993	028	7F	35	0	C	PI	1

993	029	7F	35	4	C	PI	1
993	030	7F	35	0	C	PI	1
993	031	7F	35	0	C	PI	1
993	032	7F	35	0	C	PI	1
993	033	7F	35	0	C	PI	1
993	034	7F	35	0	C	PI	1
993	035	7F	35	0	C	PI	1
993	036	7F	35	0	C	PI	1
993	037	7F	35	0	C	PI	1
993	038	7F	35	0	C	PI	1
993	039	7F	35	0	C	PI	1
993	040	7F	35	0	C	PI	1
993	041	7F	35	0	C	PI	1
993	042	7F	35	0	C	PI	1
993	043	7F	35	4	C	PI	1
993	044	7F	35	0	C	PI	1
993	045	7F	35	0	C	PI	1
993	046	7F	35	0	C	PI	1
993	047	7F	35	0	C	PI	1
993	048	7F	35	0	C	PI	1
993	049	7F	35	0	C	PI	1
993	050	7F	35	0	C	PI	1
993	051	7F	35	0	C	PI	1
993	052	7F	35	0	C	PI	1
993	053	7F	35	0	C	PI	1
993	054	7F	35	0	C	PI	1
993	055	7F	35	0	C	PI	1
993	056	7F	35	0	C	PI	1
993	057	7F	35	0	C	PI	1
993	058	7F	35	0	C	PI	1
993	059	7F	35	0	C	PI	1
993	060	7F	35	0	C	PI	1
993	061	7F	35	0	C	PI	1
993	062	7F	35	0	C	PI	1
993	063	7F	35	0	C	PI	1
993	064	7F	35	0	C	PI	1
993	065	7F	35	0	C	PI	1
993	066	7F	35	0	C	PI	1
993	067	7F	35	0	C	PI	1
993	068	7F	35	0	C	PI	1
993	069	7F	35	0	C	PI	1
993	070	7F	35	0	C	PI	1
993	071	7F	35	0	C	PI	1
993	072	7F	35	0	C	PI	1
993	073	7F	35	0	C	PI	1

993	074	7F	35	0	C	PI	1
993	075	7F	35	1	C	PI	1
993	076	7F	35	0	C	PI	1
993	077	7F	35	0	C	PI	1
993	078	7F	35	1	C	PI	1
993	079	7F	35	1	C	PI	1
993	080	7F	35	1	C	PI	1
993	081	7F	35	1	C	CM	1
993	082	7F	35	1	C	CM	1
993	083	7F	35	4	C	CM	1
993	084	7F	35	7	C	CM	1
993	085	7F	35	1	C	CM	1
993	086	7F	35	1	C	PI	1
993	087	7F	35	7	C	CM	1
993	088	7F	35	1	C	CM	1
993	089	7F	35	1	C	CM	1
993	090	7F	35	1	C	CM	1
993	091	7F	35	1	C	CM	1
993	092	7F	35	4	C	CM	1
993	093	7F	35	1	C	CM	1
993	094	7F	35	1	C	CM	1
993	095	7F	35	1	C	CM	1
993	096	7F	35	4	C	CM	1
993	097	7F	35	1	C	BN	1
993	098	7F	35	1	C	BN	1
993	099	7F	35	1	C	CC	1
993	100	7F	35	1	C	CC	1
993	101	7F	35	1	C	CC	1
993	102	7F	35	0	C	ANF	1
993	103	7F	35	0	C	ANF	1
993	104	7F	35	DIS	L	LPL	1
993	105	7F	35	0	F	FA	137
993	106	7F	35	0	C	PI	1
993	107	7F	35	0	C	PI	1
993	108	7F	35	0	C	PI	1
993	109	7F	35	0	C	PI	1
993	110	7F	35	0	C	PI	1
993	111	7F	35	0	C	PI	1
993	112	7F	35	0	C	PI	1
993	113	7F	35	0	C	PI	1
993	114	7F	35	0	C	PI	1
993	115	7F	35	0	C	PI	1
993	116	7F	35	0	C	PI	1
993	117	7F	35	0	C	PI	1
993	118	7F	35	0	C	PI	1

993	119	7F	35	0	C	PI	1
993	120	7F	35	0	C	PI	1
993	121	7F	35	0	C	PI	1
993	122	7F	35	0	C	PI	1
993	123	7F	35	0	C	PI	1
993	124	7F	35	0	C	PI	1
993	125	7F	35	0	C	PI	1
993	126	7F	35	0	C	PI	1
993	127	7F	35	0	C	PI	1
993	128	7F	35	1	C	PI	1
993	129	7F	35	4	C	PI	1
993	130	7F	35	1	C	PI	1
993	131	7F	35	0	C	PI	1
993	132	7F	35	0	C	PI	1
993	133	7F	35	0	C	PI	1
993	134	7F	35	0	C	PI	1
993	135	7F	35	0	C	PI	1
993	136	7F	35	0	C	PI	1
993	137	7F	35	0	C	PI	1
993	138	7F	35	0	C	PI	1
993	139	7F	35	0	C	PI	1
993	140	7F	35	0	C	PI	1
993	141	7F	35	0	C	PI	1
993	142	7F	35	0	C	PI	1
993	143	7F	35	0	C	PI	1
993	144	7F	35	0	C	PI	1
993	145	7F	35	0	C	PI	1
993	146	7F	35	0	C	PI	1
993	147	7F	35	0	C	PI	1
993	148	7F	35	0	C	PI	1
993	149	7F	35	1	C	PI	1
993	150	7F	35	0	C	PI	1
993	151	7F	35	0	C	PI	1
993	152	7F	35	0	C	PI	1
993	153	7F	35	0	C	BN	1
982	001	7F	12	0	F	FA	17
982	002	7F	12	0	CO	TTE+TIM	7
982	003	7F	12	0	C	DO	1
982	004	7F	12	0	CO	DMR	1
982	005	7F	12	0	VD	VI	1
982	006	7F	12	0	CO		1
982	007	7F	12	0	C	CCA	2
982	008	7F	12	0	C	ROT	2
982	009	7F	12	0	C	CC	3
982	010	7F	12	0	C	RP	1

982	011	7F	12	0	C	ANF	12
982	012	7F	12	0	C	CM	21
982	013	7F	12	4	C	ROT	1
982	014	7F	12	1	C	TS	1
982	015	7F	12	0	C	TS	1
982	016	7F	12	1	C	TSA	1
982	017	7F	12	0	C	BN	1
982	018	7F	12	4	C	CM	1
982	019	7F	12	1	C	CM	1
982	020	7F	12	7	C	CM	1
982	021	7F	12	4	C	CM	1
982	022	7F	12	1	C	CM	1
982	023	7F	12	0	C	PI	1
982	024	7F	12	1	C	PI	1
1003	001	7F	49	0	C	ANF	189
1003	002	7F	49	0	C	CM	190
1003	003	7F	49	0	C	CCA	15
1003	004	7F	49	0	C	CC	33
1003	005	7F	49	0	CO	TLA	5
1003	006	7F	49	0	CO	TTE+TIM	11
1003	007	7F	49	0	DMR		1
1003	008	7F	49	0	CO	PM	6
1003	009	7F	49	0	T	TCL	5
1003	010	7F	49	0	F	FA	66
1003	011	7F	49	7-DS-DP	C	LUC	1
1003	012	7F	49	DS	C	LUC	1
1003	013	7F	49	DS	C	LUC	1
1003	014	7F	49	4-7	C	LUC	1
1003	015	7F	49	DS	C	LUC	1
1003	016	7F	49	DS	C	LUC	1
1003	017	7F	49	0	C	PF	1
1003	018	7F	49	1	C	PF	1
1003	019	7F	49	7	C	PF	1
1003	020	7F	49	1	C	MOR	1
1003	021	7F	49	7	C	PF	1
1003	022	7F	49	4	C	CM	1
1003	023	7F	49	4	C	CM	1
1003	024	7F	49	1	C	CM	1
1003	025	7F	49	1	C	CM	1
1003	026	7F	49	7	C	CM	1
1003	027	7F	49	1	C	CM	1
1003	028	7F	49	4	C	CM	1
1003	029	7F	49	4	C	CM	1
1003	030	7F	49	4	C	CM	1
1003	031	7F	49	7	C	CM	1



1003	032	7F	49	7	C	CM	1
1003	033	7F	49	0-7	C	CM	1
1003	034	7F	49	7	C	CM	1
1003	035	7F	49	7	C	CM	1
1003	036	7F	49	4	C	CM	1
1003	037	7F	49	1	C	CM	1
1003	038	7F	49	4	C	CM	1
1003	039	7F	49	1-7	C	CM	1
1003	040	7F	49	1	C	CM	1
1003	041	7F	49	1	C	CM	1
1003	042	7F	49	1	C	CM	1
1003	043	7F	49	4	C	CM	1
1003	044	7F	49	4	C	CM	1
1003	045	7F	49	7	C	CM	1
1003	046	7F	49	1	C	CM	1
1003	047	7F	49	4	C	CM	1
1003	048	7F	49	1-7	C	CM	1
1003	049	7F	49	6	C	CM	1
1003	050	7F	49	1	C	CM	1
1003	051	7F	49	4	C	CM	1
1003	052	7F	49	1	C	CM	1
1003	053	7F	49	1	C	CM	1
1003	054	7F	49	1	C	CM	1
1003	055	7F	49	1-7	C	CM	1
1003	056	7F	49	1	C	CM	1
1003	057	7F	49	1	C	CM	1
1003	058	7F	49	1	C	CM	1
1003	059	7F	49	7	C	CM	1
1003	060	7F	49	7	C	CM	1
1003	061	7F	49	4	C	CM	1
1003	062	7F	49	1	C	CM	1
1003	063	7F	49	1-VE	C	CM	1
1003	064	7F	49	1	C	PF	1
1003	065	7F	49	4	C	CM	1
1003	066	7F	49	1	C	CM	1
1003	067	7F	49	7	C	CM	1
1003	068	7F	49	1	C	CM	1
1003	069	7F	49	1	C	CM	1
1003	070	7F	49	1	C	CM	1
1003	071	7F	49	1	C	CM	1
1003	072	7F	49	1-7	C	PI	1
1003	073	7F	49	1	C	CM	1
1003	074	7F	49	1	C	CM	1
1003	075	7F	49	1	C	CM	1
1003	076	7F	49	4	C	CM	1

1003	077	7F	49	4	C	CM	1
1003	078	7F	49	4	C	CM	1
1003	079	7F	49	1-7	C	CM	1
1003	080	7F	49	0-7	C	CM	1
1003	081	7F	49	7	C	CM	1
1003	082	7F	49	1	C	CM	1
1003	083	7F	49	1	C	CM	1
1003	084	7F	49	7	C	PI	1
1003	085	7F	49	1	C	CM	1
1003	086	7F	49	7	C	CM	1
1003	087	7F	49	1	C	CM	1
1003	088	7F	49	4	C	CM	1
1003	089	7F	49	1	C	PI	1
1003	090	7F	49	0	C	PI	1
1003	091	7F	49	0	C	PI	1
1003	092	7F	49	1	C	PI	1
1003	093	7F	49	0	C	PI	1
1003	094	7F	49	0	C	PI	1
1003	095	7F	49	0	C	PI	1
1003	096	7F	49	0	C	PI	1
1003	097	7F	49	0	C	PI	1
1003	098	7F	49	0	C	PI	1
1003	099	7F	49	1	C	PI	1
1003	100	7F	49	0	C	PI	1
1003	101	7F	49	0	C	PI	1
1003	102	7F	49	0	C	PI	1
1003	103	7F	49	0	C	PI	1
1003	104	7F	49	0	C	PI	1
1003	105	7F	49	0	C	PI	1
1003	106	7F	49	1	C	PI	1
1003	107	7F	49	0	C	PI	1
1003	108	7F	49	0	C	PI	1
1003	109	7F	49	0	C	PI	1
1003	110	7F	49	0	C	PI	1
1003	111	7F	49	0	C	PI	1
1003	112	7F	49	1	C	PI	1
1003	113	7F	49	0	C	PI	1
1003	114	7F	49	0	C	PI	1
1003	115	7F	49	1	C	PI	1
1003	116	7F	49	0	C	PI	1
1003	117	7F	49	0	C	PI	1
1003	118	7F	49	0	C	PI	1
1003	119	7F	49	1-7	C	PI	1
1003	120	7F	49	1	C	PI	1
1003	121	7F	49	0	C	PI	1

1003	122	7F	49	0	C	PI	1
1003	123	7F	49	0	C	PI	1
1003	124	7F	49	0	C	PI	1
1003	125	7F	49	0	C	PI	1
1003	126	7F	49	0	C	PI	1
1003	127	7F	49	0	C	PI	1
1003	128	7F	49	0	C	PI	1
1003	129	7F	49	7	C	PI	1
1003	130	7F	49	7	C	PI	1
1003	131	7F	49	PI	C	ANF	1
1003	132	7F	49	1-7	C	ANF	1
1003	133	7F	49	0-7	C	ANF	1
1003	134	7F	49	7	C	ANF	1
1003	135	7F	49	7	C	ANF	1
1003	136	7F	49	1-7	C	ANF	1
1003	137	7F	49	7	C	ANF	1
1003	138	7F	49	7	C	ANF	1
1003	139	7F	49	0	C	ANF	1
1003	140	7F	49	1	C	ANF	1
1003	141	7F	49	1	C	ANF	1
1003	142	7F	49	0	C	ANF	1
1003	143	7F	49	0-7	C	ANF	1
1003	144	7F	49	7	C	ANF	1
1003	145	7F	49	1	C	ANF	1
1003	146	7F	49	1	C	ANF	1
1003	147	7F	49	1	C	ANF	1
1003	148	7F	49	0-7	C	ANF	1
1003	149	7F	49	7	C	ANF	1
1003	150	7F	49	7	C	ANF	1
1003	151	7F	49	0	C	ANF	1
1003	152	7F	49	1	C	ANF	1
1003	153	7F	49	PI	C	ANF	1
1003	154	7F	49	7	C	ANF	1
1003	155	7F	49	1	C	CC	1
1003	156	7F	49	8	C	CC	1
1003	157	7F	49	0-7	C	CC	1
1003	158	7F	49	1	C	CC	1
1003	159	7F	49	1	C	CC	1
1003	160	7F	49	1	C	CC	1
1003	161	7F	49	1	C	CC	1
1003	162	7F	49	1	C	CC	1
1003	163	7F	49	1	C	CC	1
1003	164	7F	49	8	C	CC	1
1003	165	7F	49	8	C	ROT	1
1003	166	7F	49	4	C	ROT	1

1003	167	7F	49	0	C	ROT	1
1003	168	7F	49	4	C	ROT	1
1003	169	7F	49	1	C	CCA	1
1003	170	7F	49	1	C	CCA	1
1003	171	7F	49	1-4	C	CCA	1
1003	172	7F	49	8	C	CCA	1
1003	173	7F	49	1	C	CCA	1
1003	174	7F	49	8	C	CCA	1
1003	175	7F	49	4	C	CCA	1
1003	176	7F	49	1	C	CCA	1
1003	177	7F	49	1	C	CCA	1
1003	178	7F	49	1-4	C	CCA	1
1003	179	7F	49	8	C	CCA	1
1003	180	7F	49	1	C	CCA	1
1003	181	7F	49	8	C	CCA	1
1003	182	7F	49	8	C	CCA	1
1003	183	7F	49	8	C	CCA	1
1003	184	7F	49	1-4	C	CCA	1
1003	185	7F	49	8	C	CCA	1
1003	186	7F	49	4	C	CCA	1
1003	187	7F	49	8	C	CCA	1
1003	188	7F	49	1	C	CCA	1
1003	189	7F	49	8	C	CCA	1
1003	190	7F	49	1	C	CCA	1
1003	191	7F	49	0	C	TS	1
1003	192	7F	49	0	C	TSA	1
1003	193	7F	49	0	C	TS	1
1003	194	7F	49	0	C	TS	1
1003	195	7F	49	1	C	TS	1
1003	196	7F	49	1	C	TSA	1
1003	197	7F	49	1-4	C	TSA	1
1003	198	7F	49	1-4	C	TSA	1
1003	199	7F	49	1	C	TSA	1
1003	200	7F	49	4	C	TSA	1
1003	201	7F	49	0	C	TSA	1
1003	202	7F	49	1	C	TSA	1
1003	203	7F	49	0	C	TSA	1
1003	204	7F	49	0	C	TSA	1
1003	205	7F	49	4	C	TSA	1
1003	206	7F	49	1	C	TS	1
1003	207	7F	49	4	C	TSA	1
1003	208	7F	49	1	C	TSA	1
1003	209	7F	49	1	C	TSA	1
1003	210	7F	49	4	C	TSL	1
1003	211	7F	49	1-4	C	TSA	1

1003	212	7F	49	0	C	TSA	1
1003	213	7F	49	1	C	TSA	1
1003	214	7F	49	1	C	TSA	1
1003	215	7F	49	0	C	TSA	1
1003	216	7F	49	0	C	TSA	1
1003	217	7F	49	0	C	TSA	1
1003	218	7F	49	1	C	TSA	1
1003	219	7F	49	1	C	TSL	1
1003	220	7F	49	1	C	TSA	1
1003	221	7F	49	DS	C	LUC	1
1006	001	7F	42	0	CO	TTE+TIM	5
1006	002	7F	42	0	CO	PM	52
1006	003	7F	42	0	F	FA	14
1006	004	7F	42	0	C	ANF	33
1006	005	7F	42	0	C	CC	9
1006	006	7F	42	0	C	CM	51
1006	007	7F	42	0	C	CCA	4
1006	008	7F	42	1	VD	VI	1
1006	009	7F	42	1	VD	VI	1
1006	010	7F	42	1	VD	VI	1
1006	011	7F	42	0	VD	VI	2
1006	012	7F	42	0	CO		12
1006	013	7F	42	0	C	PI	1
1006	014	7F	42	0	C	PI	1
1006	015	7F	42	0	C	PI	1
1006	016	7F	42	1	C	PI	1
1006	017	7F	42	0	C	PI	1
1006	018	7F	42	0	C	PI	1
1006	019	7F	42	1	C	PI	1
1006	020	7F	42	0	C	PI	1
1006	021	7F	42	0	C	PI	1
1006	022	7F	42	1	C	PI	1
1006	023	7F	42	7	C	LUC	1
1006	024	7F	42	1	C	TS	1
1006	025	7F	42	0	C	TS	1
1006	026	7F	42	1	C	TS	1
1006	027	7F	42	0	C	TS	1
1006	028	7F	42	0	C	TS	1
1006	029	7F	42	0	C	TS	1
1006	030	7F	42	0	C	TSL	1
1006	031	7F	42	1	C	CC	1
1006	032	7F	42	1	C	CC	1
1006	033	7F	42	4	C	CC	1
1006	034	7F	42	1	C	CM	1
1006	035	7F	42	1	C	CM	1



1006	036	7F	42	4	C	CM	1
1006	037	7F	42	1	C	CM	1
1006	038	7F	42	7	C	CM	1
1006	039	7F	42	4	C	CM	1
1006	040	7F	42	7	C	ANF	1
1006	041	7F	42	7	C	ANF	1
1006	042	7F	42	0	C	ANF	1
1006	043	7F	42	0	C	ANF	1
1006	044	7F	42	0	C	ANF	1
1006	045	7F	42	0	C	ANF	1
1006	046	7F	42	4	C	CCA	1
1008	001	7F	42	0	CO		2
1008	002	7F	42	0	C	PM	8
1008	003	7F	42	0	C	TLA	4
1008	004	7F	42	0	F	FVMA	4
1008	005	7F	42	0	F	FA	5
1008	006	7F	42	0	C	ANF	12
1008	007	7F	42	0	C	CCA	6
1008	008	7F	42	0	C	CC	4
1008	009	7F	42	0	C	CM	21
1008	010	7F	42	4	VD	VI	1
1008	011	7F	42	0	VD	VI	1
1008	012	7F	42	1	C	CM	1
1008	013	7F	42	1	C	CM	1
1008	014	7F	42	1	C	CM	1
1008	015	7F	42	1	C	CM	1
1008	016	7F	42	1	C	CCA	1
1008	017	7F	42	1	C	CCA	1
1008	018	7F	42	8	C	CCA	1
1008	019	7F	42	4	C	TSA	1
1008	020	7F	42	4	C	TSA	1
1008	021	7F	42	1	C	TS	1
1008	022	7F	42	0	C	TS	1
1008	023	7F	42	1	C	TS	1
1008	024	7F	42	4	C	TSA	1
1008	025	7F	42	0	C	TS	1
1008	026	7F	42	1	C	CC	1
1008	027	7F	42	PI	C	ANF	1
1008	028	7F	42	0	F	FVMA	1
1008	029	7F	42	0	CO	PM	9
1010	001	7F	49	0	CO	PM	38
1010	002	7F	49	0	CO	TLA	2
1010	003	7F	49	0	CO		3
1010	004	7F	49	0	L	LHI	2
1010	005	7F	49	0	C	ANF	6

1010	006	7F	49	0	C	CM	13
1010	007	7F	49	0	C	CC	5
1010	008	7F	49	DS	C	LUC	1
1010	009	7F	49	DS	C	LUC	1
1010	010	7F	49	PQ	C	LUC	1
1010	011	7F	49	0	C	PI	1
1010	012	7F	49	0	C	PI	1
1010	013	7F	49	1	C	CC	1
1010	014	7F	49	8	C	CC	1
1010	015	7F	49	1	C	CC	1
1010	016	7F	49	1	C	CC	1
1010	017	7F	49	1	C	ANF	1
1010	018	7F	49	7	C	CM	1
1010	019	7F	49	1	C	CM	1
1010	020	7F	49	1	C	TS	1
1010	021	7F	49	8	C	CCA	1
1010	022	7F	49	1	C	CCA	1
1010	023	7F	49	1	C	CCA	1
1010	024	7F	49	0	F	FA	14
1010	025	7F	49	0	HT	AGU	1
619	066	7F	40	0	C	ANF	94
619	067	7F	40	0	CO	TTE+TIM	25
619	068	7F	40	0	CO	TLA	3
619	069	7F	40	0	C	CM	98
619	070	7F	40	0	C	CCA	5
619	071	7F	40	0	C	CC	14
619	072	7F	40	0	CO	PM	3
619	073	7F	40	0	F	FVMA	2
619	074	7F	40	0	DMR	DMRBX	1
619	075	7F	40	0	F	FA	18
619	076	7F	40	0	L	LBR	1
619	077	7F	40	0	F	FVMA	2
619	078	7F	40	1	C	ANF	1
619	079	7F	40	0	C	ANF	1
619	080	7F	40	1-7	C	ANF	1
619	081	7F	40	7	C	ANF	1
619	082	7F	40	7	C	ANF	1
619	083	7F	40	1	C	ANF	1
619	084	7F	40	1	C	CM	1
619	085	7F	40	1	C	CM	1
619	086	7F	40	1-7	C	CM	1
619	087	7F	40	0-7	C	CM	1
619	088	7F	40	7	C	CM	1
619	089	7F	40	7	C	CM	1
619	090	7F	40	1	C	CM	1

619	091	7F	40	4	C	CM	1
619	092	7F	40	4	C	CM	1
619	093	7F	40	4	C	CM	1
619	094	7F	40	4	C	CM	1
619	095	7F	40	1-7	C	CM	1
619	096	7F	40	1	C	CM	1
619	097	7F	40	1	C	CM	1
619	098	7F	40	1	C	CM	1
619	099	7F	40	1	C	CM	1
619	100	7F	40	4	C	CM	1
619	101	7F	40	7	C	CM	1
619	102	7F	40	7	C	CM	1
619	103	7F	40	1	C	CM	1
619	104	7F	40	4	C	CM	1
619	105	7F	40	4	C	CM	1
619	106	7F	40	1	C	CM	1
619	107	7F	40	1	C	CM	1
619	108	7F	40	7	C	CM	1
619	109	7F	40	1	C	CM	1
619	110	7F	40	8	C	CCA	1
619	111	7F	40	8	C	CCA	1
619	112	7F	40	8	C	CCA	1
619	113	7F	40	8	C	CCA	1
619	114	7F	40	8	C	CCA	1
619	115	7F	40	1	C	CCA	1
619	116	7F	40	4	C	CCA	1
619	117	7F	40	1	C	CCA	1
619	118	7F	40	1	C	CCA	1
619	119	7F	40	1	C	CCA	1
619	120	7F	40	8	C	CCA	1
619	121	7F	40	1	C	CC	1
619	122	7F	40	1	C	CC	1
619	123	7F	40	1	C	CC	1
619	124	7F	40	1	C	CC	1
619	125	7F	40	7	C	CM	1
619	126	7F	40	1	C	TSA	1
619	127	7F	40	1	C	TSA	1
619	128	7F	40	1	C	TSA	1
619	129	7F	40	4	C	TSA	1
619	130	7F	40	4	C	TSA	1
619	131	7F	40	4	C	TSA	1
619	132	7F	40	1	C	PI	1
619	133	7F	40	0	C	PI	1
619	134	7F	40	0	C	PI	1
619	135	7F	40	0	C	VI	1

619	136	7F	40	0	C	VI	1
619	137	7F	40	1	C	MOR	1
619	138	7F	40	0	C	TCL	1
001	1388	7F		0	C	CM	10
001	1389	7F		0	C	ANF	7
001	1390	7F		0	C	CC	2
001	1391	7F		4	C	CM	1
001	1392	7F		1	C	CM	1
001	1394	7F		1	C	CM	1
001	1395	7F		4	C	PI	1
001	1396	7F		0	C	PI	1
001	1397	7F		1	C	PI	1
001	1398	7F	SONDEO 1	0	CO	TIM	2
001	1399	7F	SONDEO 1	0	C	ANF	6
001	1400	7F	SONDEO 1	0	C	CM	9
001	1401	7F	SONDEO 1	0	C	CCA	2
001	1402	7F	SONDEO 1	0	C	ROT	6
001	1403	7F	SONDEO 1	0	C	CC	2
001	1404	7F	SONDEO 1	0	CO	PM	1
001	1405	7F	SONDEO 1	0	L	LHI	2
001	1406	7F	SONDEO 1	0	VD	VI	2
001	1407	7F	SONDEO 1	0	C	ANF	1
001	1408	7F	SONDEO 1	4	C	CM	1
001	1409	7F	SONDEO 1	1	C	CM	1
001	1410	7F	SONDEO 1	1	C	PI	1
001	1411	7F	SONDEO 1	0	C	TSA	1
001	1412	7F	SONDEO 1	1	C	ROT	1
311	078	7F	27	0	C	ANF	108
311	079	7F	27	0	CO	TTE+TIM	12
311	080	7F	27	0	C	CM	86
311	081	7F	27	0	C	CC	23
311	082	7F	27	0	L	LHI	2
311	083	7F	27	0	C	CC	16

311	084	7F	27	0	L	LHI	2
311	085	7F	27	0	VD	PV	1
311	086	7F	27	0	HT	AGU	1
311	087	7F	27	0	L	LHI	1
311	088	7F	27	0	F	FA	86
311	089	7F	27	0	F	FVMA	7
311	090	7F	27	0	F	FVMA	2
311	091	7F	27	0	CO	PM	2
311	092	7F	27	7	VD	VI	1
311	093	7F	27	7	VD	VI	1
311	094	7F	27	7	VD	VI	1
311	095	7F	27	7	VD	VI	1
311	096	7F	27	7	VD	VI	1
311	097	7F	27	1	VD	VI	1
311	098	7F	27	1	VD	VI	1
311	099	7F	27	1	VD	VI	1
311	100	7F	27	1	VD	VI	1
311	101	7F	27	1	VD	VI	1
311	102	7F	27	7	VD	VI	1
311	103	7F	27	1	VD	VI	1
311	104	7F	27	0	VD	VI	32
311	105	7F	27	1	C	ANF	1
311	106	7F	27	4	C	ANF	1
311	107	7F	27	PI	C	ANF	1
311	108	7F	27	7	C	ANF	1
311	109	7F	27	0	C	ANF	1
311	110	7F	27	1	C	ANF	1
311	111	7F	27	1-7	C	ANF	1
311	112	7F	27	7	C	ANF	1
311	113	7F	27	1	C	CM	1
311	114	7F	27	1	C	CM	1
311	115	7F	27	1	C	CM	1
311	116	7F	27	1	C	CM	1
311	117	7F	27				0
311	118	7F	27	1	C	CM	1
311	119	7F	27	1	C	CM	1
311	120	7F	27	1	C	CM	1
311	121	7F	27	1	C	CM	1
311	122	7F	27	7	C	CM	1
311	123	7F	27	7	C	CM	1
311	124	7F	27	7	C	CM	1
311	125	7F	27	7	C	CM	1
311	126	7F	27	7	C	CM	1
311	127	7F	27	4	C	CM	1
311	128	7F	27	4	C	CM	1



311	129	7F	27	4	C	CM	1
311	130	7F	27	4	C	CM	1
311	131	7F	27	0	C	CM	1
311	132	7F	27	1	C	CC	1
311	133	7F	27	1	C	CC	1
311	134	7F	27	1	C	CC	1
311	135	7F	27	1	C	CC	1
311	136	7F	27	1	C	CC	1
311	137	7F	27	1	C	CC	1
311	138	7F	27	4	C	CC	1
311	139	7F	27	7	C	CC	1
311	140	7F	27	1	C	PI	1
311	141	7F	27	1	C	PI	1
311	142	7F	27	0	C	PI	1
311	143	7F	27	0	C	PI	1
311	144	7F	27	0	C	PI	1
311	145	7F	27	0	C	PI	1
311	146	7F	27	0	C	PI	1
311	147	7F	27	8	C	CCA	1
311	148	7F	27	8	C	CCA	1
311	149	7F	27	1	C	CCA	1
311	150	7F	27	8	C	CCA	1
311	151	7F	27	1	C	CCA	1
311	152	7F	27	1	C	CCA	1
311	153	7F	27	1	C	CCA	1
311	154	7F	27	1	C	CCA	1
311	155	7F	27	1	C	CCA	1
311	156	7F	27	1	C	CCA	1
311	157	7F	27	1	C	CCA	1
311	158	7F	27	4	C	CCA	1
311	159	7F	27	4	C	CCA	1
311	160	7F	27	4	C	CCA	1
311	161	7F	27	4	C	CCA	1
311	162	7F	27	1	C	CCA	1
311	163	7F	27	0	C	TSA	1
311	164	7F	27	4	C	TSA	1
311	165	7F	27	4	C	TSA	1
311	166	7F	27	1	C	TS	1
311	167	7F	27	1	C	TSA	1
311	168	7F	27	1	C	TS	1
311	169	7F	27	1	C	TSA	1
311	170	7F	27	1	C	TS	1
311	171	7F	27	0	C	TSA	1
311	172	7F	27	0	C	TSA	1
311	173	7F	27	0	C	TS	1

311	174	7F	27	0	C	TS	1
311	175	7F	27	0	C	TS	1
311	176	7F	27	1	C	ROT	1
311	177	7F	27	1	C	RP	1
311	178	7F	27	0	C	BN	1
311	179	7F	27	1	C	CM	1
311	180	7F	27	7-DP	C	LUC	1
311	181	7F	27	4	C	LUC	1
778	129	7F	42	0	C	CM	46
778	130	7F	42	0	C	CC	13
778	131	7F	42	0	C	ANF	11
778	132	7F	42	0	C	CCA	5
778	133	7F	42	0	DMR		1
778	134	7F	42	0	CO	PM	1
778	135	7F	42	0	MV	CA	1
778	136	7F	42	0	F	FA	2
778	137	7F	42	1	C	CM	1
778	138	7F	42	4	C	CM	1
778	139	7F	42	4	C	CM	1
778	140	7F	42	1	C	CC	1
778	141	7F	42	8	C	CC	1
778	142	7F	42	8	C	CCA	1
778	143	7F	42	1	C	CCA	1
778	144	7F	42	1	C	CCA	1
778	145	7F	42	1	C	CCA	1
778	146	7F	42	4	C	CCA	1
778	147	7F	42	0	C	PI	1
778	148	7F	42	0	C	PI	1
778	149	7F	42	0	C	PI	1
778	150	7F	42	0	C	PI	1
778	151	7F	42	0	C	PI	1
778	152	7F	42	1	C	TSA	1
778	153	7F	42	0	C	TSA	1
778	154	7F	42	0	C	TSA	1
778	155	7F	42	1	C	TS	1
778	156	7F	42	0	C	TS	1
778	157	7F	42	0	C	TSA	1
778	158	7F	42	1	C	TSA	1
778	159	7F	42	0	C	BN	1
890	045	7F	35A	0	C	CM	18
890	046	7F	35A	0	C	CC	4
890	047	7F	35A	0	F	FA	5
890	048	7F	35A	0	CO	PM	19
890	049	7F	35A	0	F	FVMA	12
890	050	7F	35A	1	C	CM	1

890	051	7F	35A	4	C	CM	1
890	052	7F	35A	PV	C	GR	1
890	053	7F	35A	1	C	CC	1
890	054	7F	35A	0	C	PI	1
890	055	7F	35A	0	C	PI	1
890	056	7F	35A	0	C	PI	1
890	057	7F	35A	0	C	TS	1
890	058	7F	35A	0	C	PF	1
896	001	7F	49	0	F	FA	1
896	002	7F	49	0	C	CM	2
896	003	7F	49	0	CO	CA	2
896	004	7F	49	0	C	CC	2
896	005	7F	49	0	C	CCA	1
896	006	7F	49	1	C	CM	1
896	007	7F	49	0	C	PI	1
972	001	7F	35A	0	CO	TTE	2
972	002	7F	35A	0	CO		0
974	001	7F	35A	0	C	ANF	18
974	002	7F	35A	0	C	CM	32
974	003	7F	35A	0	C	CC	9
974	004	7F	35A	0	F	FA	4
974	005	7F	35A	0	L	LHI	1
974	006	7F	35A	0	F	FVMA	4
974	007	7F	35A	1	C	ANF	1
974	008	7F	35A	1	C	ANF	1
974	009	7F	35A	1	C	ANF	1
974	010	7F	35A	0	C	ANF	1
974	011	7F	35A	1	C	CM	1
974	012	7F	35A	1	C	CM	1
974	013	7F	35A	1	C	CM	1
974	014	7F	35A	0	C	PI	1
974	015	7F	35A	0	C	PI	1
974	016	7F	35A	0	C	PI	1
974	017	7F	35A	0	C	PI	1
974	018	7F	35A	0	C	PI	1
974	019	7F	35A	0	C	PI	1
974	020	7F	35A	0	C	PI	1
974	021	7F	35A	0	C	PI	1
974	022	7F	35A	1	C	PI	1
974	023	7F	35A	0	C	PI	1
974	024	7F	35A	0	C	PI	1
974	025	7F	35A	0	C	PI	1
974	026	7F	35A	0	C	PI	1
974	027	7F	35A	0	C	PI	1
974	028	7F	35A	1	C	PI	1

974	029	7F	35A	0	C	PI	1
974	030	7F	35A	0	C	PI	1
974	031	7F	35A	0	C	PI	1
974	032	7F	35A	0	C	PI	1
974	033	7F	35A	1	C	PI	1
974	034	7F	35A	1	C	PI	1
974	035	7F	35A	1	C	CC	1
979	054	7F	35A	0	CO	PM	4
986	025	7F	35A	0	F	FVMA	11
986	026	7F	35A	0	F	FVMA	1
986	027	7F	35A	0	F	FA	14
990	001	7F	35A	0	C	ANF	9
990	002	7F	35A	0	C	CM	4
990	003	7F	35A	0	CO	PM	1
990	004	7F	35A	0	C	CCA	2
990	005	7F	35A	0	F	FA	4
990	006	7F	35A	7	VD	VI	1
990	007	7F	35A	0	F	FVMA	93
990	008	7F	35A	0	C	BN	1
990	009	7F	35A	4	C	CCA	1
990	010	7F	35A	0	C	PI	1
990	011	7F	35A	0	C	PI	1
990	012	7F	35A	1-7	C	CM	1
990	013	7F	35A	1	C	CM	1
990	014	7F	35A	1	C	CM	1
995	001	7F	51	0	CO	TTE	1
995	002	7F	51	0	C	ANF	3
995	003	7F	51	7	C	ANF	1
995	004	7F	51	0	C	ANF	1
995	005	7F	51	0	C	PI	1
995	006	7F	51	0	C	PI	1
1000	001	7F	42	0	C	CM	8
1000	002	7F	42	0	C	ANF	2
1000	003	7F	42	0	C	PI	1
1000	004	7F	42	1	C	PI	1
1000	005	7F	42	0	C	PI	1
1000	006	7F	42	0	C	TS	1
1000	007	7F	42	4	C	CM	1
1001	001	7F	420	0	C	ANF	10
1001	002	7F	420	0	C	CM	8
1001	003	7F	420	0	C	CCA	1
1001	004	7F	420	4	C	CM	1
1001	005	7F	420	4	C	CM	1
1001	006	7F	420	4	C	CM	1
1001	007	7F	420	1	C	CM	1

1001	008	7F	420	4	C	CM	1
1001	009	7F	420	0	C	TSA	1
1001	010	7F	420	1	C	TSA	1
1001	011	7F	420	0	C	BN	1
1002	001	7F	35A	0	C	CM	15
1002	002	7F	35A	0	C	ANF	9
1002	003	7F	35A	0	CO	PM	3
1002	004	7F	35A	0	F	FVMA	18
1002	005	7F	35A	0	VD	VI	1
1002	006	7F	35A	0	C	CCA	1
1002	007	7F	35A	1-7	C	CM	1
1002	008	7F	35A	4	C	CM	1
1002	009	7F	35A	0	C	PI	1
1002	010	7F	35A	0	C	PI	1
1003	222	7F	49	DS	C	LUC	1
1003	223	7F	49	MG-PQ	C	LUC	1
1003	224	7F	49	7-DP	C	LUC	1
1003	225	7F	49	0	HT	AGU	2
1003	226	7F	49	0	L	LBR	1
1003	227	7F	49	0	L	LHI	1
1003	228	7F	49	0	L	LBR	1
1003	229	7F	49	0	L	LBR	1
1003	230	7F	49	0	L	LBR	1
1003	231	7F	49	0	L	LBR	1
1003	232	7F	49	4	VD	VI	3
1003	233	7F	49	4	VD	VI	1
1003	234	7F	49	0	VD	VI	20
1003	235	7F	49	0	VD	PV	7
1003	236	7F	49	1	VD	VI	1
1003	237	7F	49	1	VD	VI	1
1003	238	7F	49	1	VD	VI	1
1003	239	7F	49	4	VD	VI	1
1003	240	7F	49	4	VD	VI	1
1003	241	7F	49	4	VD	VI	1
1003	242	7F	49	1	VD	VI	1
1003	243	7F	49	0	VD	VI	18
1003	244	7F	49	0	F	FVMA	3
1003	245	7F	49	0	F	FA	143
1003	246	7F	49	0	HT		1
1003	247	7F	49	0	CO	TTE+TIM	22
1003	248	7F	49	0	C	CC	13
1003	249	7F	49	0	C	CCA	7
1003	250	7F	49	0	CO	TCL	1
1003	251	7F	49	0	CO	PM	1
1003	252	7F	49	0	CO		1



1003	253	7F	49	0	C	CM	28
1003	254	7F	49	7	C	ANF	1
1003	255	7F	49	1	C	ANF	1
1003	256	7F	49	7	C	ANF	1
1003	257	7F	49	7	C	ANF	1
1003	258	7F	49	PI	C	ANF	1
1003	259	7F	49	7	C	ANF	1
1003	260	7F	49	7	C	ANF	1
1003	261	7F	49	0	C	ANF	67
1003	262	7F	49	1	C	CM	1
1003	263	7F	49	1	C	CM	1
1003	264	7F	49	1	C	CM	1
1003	265	7F	49	1	C	CM	1
1003	266	7F	49	1	C	CM	1
1003	267	7F	49	1	C	CM	1
1003	268	7F	49	7	C	CM	1
1003	269	7F	49	1-7	C	CM	1
1003	270	7F	49	7	C	CM	1
1003	271	7F	49	1	C	CM	1
1003	272	7F	49	1	C	CM	1
1003	273	7F	49	4	C	CM	1
1003	274	7F	49	1	C	CM	1
1003	275	7F	49	1	C	CM	1
1003	276	7F	49	1-7	C	CM	1
1003	277	7F	49	4	C	CM	1
1003	278	7F	49	7	C	CM	1
1003	279	7F	49	1	C	CM	1
1003	280	7F	49	PV	C	CM	1
1003	281	7F	49	7	C	CM	1
1003	282	7F	49	7	C	CM	1
1003	283	7F	49	4	C	CM	1
1003	284	7F	49	4	C	CM	1
1003	285	7F	49	1	C	CM	1
1003	286	7F	49	1	C	CM	1
1003	287	7F	49	7	C	CM	1
1003	288	7F	49	1-7	C	CM	1
1003	289	7F	49	4	C	CM	1
1003	290	7F	49	7	C	CM	1
1003	291	7F	49	1	C	CM	1
1003	292	7F	49	1	C	CM	1
1003	293	7F	49	1	C	PI	1
1003	294	7F	49	1	C	PI	1
1003	295	7F	49	4	C	PI	1
1003	296	7F	49	0	C	PI	1
1003	297	7F	49	0	C	PI	1

1003	298	7F	49	0	C	PI	1
1003	299	7F	49	0	C	PI	1
1003	300	7F	49	0	C	PI	1
1003	301	7F	49	0	C	PI	1
1003	302	7F	49	0	C	PI	1
1003	303	7F	49	0	C	PI	1
1003	304	7F	49	0	C	PI	1
1003	305	7F	49	1	C	GR	1
1003	306	7F	49	1-4	C	TSA	1
1003	307	7F	49	4	C	TSA	1
1003	308	7F	49	4	C	TSA	1
1003	309	7F	49	4	C	TSA	1
1003	310	7F	49	0	C	TSA	1
1003	311	7F	49	0	C	TSA	1
1003	312	7F	49	1-4	C	TS	1
1003	313	7F	49	4	C	TS	1
1003	314	7F	49	4	C	TS	1
1003	315	7F	49	0	C	TS	1
1003	316	7F	49	1	C	TSA	1
1003	317	7F	49	0	C	TS	1
1003	318	7F	49	1	C	CC	1
1003	319	7F	49	1	C	CC	1
1003	320	7F	49	1	C	CC	1
1003	321	7F	49	8	C	CC	1
1003	322	7F	49	4	C	CC	1
1003	323	7F	49	4	C	CC	1
1003	324	7F	49	4	C	CC	1
1003	325	7F	49	4	C	CC	1
1003	326	7F	49	8	C	CC	1
1003	327	7F	49	7	C	CC	1
1003	328	7F	49	8	C	CCA	1
1003	329	7F	49	8	C	CCA	1
1003	330	7F	49	8	C	CCA	1
1003	331	7F	49	1	C	CCA	1
1003	332	7F	49	1-4	C	CCA	1
1003	333	7F	49	8	C	CCA	1
1003	334	7F	49	8	C	CCA	1
1003	335	7F	49	1	C	CCA	1
1003	336	7F	49	1	C	CCA	1
1003	337	7F	49	4	C	CCA	1
1003	338	7F	49	1	C	PF	1
1003	339	7F	49	1	C	PF	1
1003	340	7F	49	0	CO	TCL	1
1006	047	7F	42	0	DMR		1
1006	048	7F	42	0	L	LBR	1

1006	049	7F	42	0	C	PI	1
1006	050	7F	42	0	C	TSA	1
1006	051	7F	42	4	C	TS	1
1006	052	7F	42	0	C	TS	1
1006	053	7F	42	8	C	CC	1
1008	030	7F	42	0	CO	PM	131
1008	031	7F	42	0	F	FA	4
1008	032	7F	42	0	L	LHI	1
1008	033	7F	42	0	C	CC	3
1008	034	7F	42	0	C	CM	6
1008	035	7F	42	0	MV	CA	4
1008	036	7F	42	0	DMR	DMRBX	1
1008	037	7F	42	0	F	FVMA	4
1008	038	7F	42	0	CO		3
1008	039	7F	42	0	C	ANF	4
1008	040	7F	42	1	C	CC	1
1008	041	7F	42	1	C	CC	1
1008	042	7F	42	1	C	CC	1
1009	012	7F	42	0	C	PI	1
1009	013	7F	42	0	C	PI	1
1009	014	7F	42	8	C	CM	1
1009	015	7F	42	1	C	CM	1
1009	016	7F	42	0	DMR		2
1012	001	7F	51	0	F	FVMA	28
1012	002	7F	51	0	CO	AR	2
1012	003	7F	51	0	F	FA	2
1012	004	7F	51	0	C	ANF	1
1012	005	7F	51	0	C	CM	1
1012	006	7F	51	7	C	CM	1
1012	007	7F	51	0	C	TS	1
1014	001	7F	42	0	F	FVMA	9
1014	002	7F	42	0	CO	TIM	1
1014	003	7F	42	0	F	FA	15
1014	004	7F	42	0	C	ANF	11
1014	005	7F	42	0	C	CCA	8
1014	006	7F	42	0	C	CC	4
1014	007	7F	42	0	C	CM	18
1014	008	7F	42	DS	C	LUC	1
1014	009	7F	42	4	C	LUC	1
1014	010	7F	42	8	C	CCA	1
1014	011	7F	42	4	C	CCA	1
1014	012	7F	42	4	C	CCA	1
1014	013	7F	42	1	C	CCA	1
1014	014	7F	42	4	C	CCA	1
1014	015	7F	42	8	C	CCA	1

1014	016	7F	42	1	C	CCA	1
1014	017	7F	42	8	C	CCA	1
1014	018	7F	42	8	C	CCA	1
1014	019	7F	42	8	C	CCA	1
1014	020	7F	42	8	C	CCA	1
1014	021	7F	42	1	C	TSA	1
1014	022	7F	42	0	C	TS	1
1014	023	7F	42	1	C	TSA	1
1014	024	7F	42	1-7	C	CM	1
1014	025	7F	42	1	C	MOR	1
1014	026	7F	42	1	C	CM	1
1014	027	7F	42	0	C	PI	1
1014	028	7F	42	0	C	PI	1
1014	029	7F	42	1	C	ROT	1
1015	001	7F	27	0	CO	TTE+TIM	12
1015	002	7F	27	0	CO	TLA	7
1015	003	7F	27	0	C	ANF	20
1015	004	7F	27	0	C	CM	21
1015	005	7F	27	0	C	CC	5
1015	006	7F	27	0	C	CCA	2
1015	007	7F	27	0	CO	PM	1
1015	008	7F	27	0	D	DSI	1
1015	009	7F	27	0	VD	VI	2
1015	010	7F	27	1	C	CCA	1
1015	011	7F	27	1	C	CM	1
1015	012	7F	27	1	C	CM	1
1015	013	7F	27	7	C	CM	1
1015	014	7F	27	1	C	CM	1
1015	015	7F	27	1	C	CC	1
1015	016	7F	27	1	C	ANF	1
1015	017	7F	27	0	C	PI	1
1015	018	7F	27	0	C	PI	1
1015	019	7F	27	0	C	PI	1
1015	020	7F	27	0-7	C	BN	1
1015	021	7F	27	4	C	CCA	1
1016	001	7F	49	0	C	CM	1
1016	002	7F	49	0	C	ANF	3
1016	003	7F	49	0	C	CC	1
1016	004	7F	49	1-4	C	CCA	1
1017	001	7F	52	0	CO	PM	1
1017	002	7F	52	CO	C	IB	1
1017	003	7F	52	0	F	FA	2
1017	004	7F	52	0	C	CM	8
1017	005	7F	52	0	C	ANF	6
1017	006	7F	52	7	C	ANF	1

1017	007	7F	52	4	C	CM	1
1017	008	7F	52	0	C	CM	1
1017	009	7F	52	1	C	CM	1
1017	010	7F	52	1	C	CM	1
1017	011	7F	52	4	C	CM	1
1017	012	7F	52	1	C	CM	1
1017	013	7F	52	4	C	CM	1
1017	014	7F	52	0	C	CM	1
1017	015	7F	52	1	C	CM	1
1017	016	7F	52	0	C	PI	1
1017	017	7F	52	0	C	PI	1
1017	018	7F	52	CO	C	IB	3
1017	019	7F	52	1	C	BN	50
1019	001	7F	52	0	CO		1
1019	002	7F	52	0	F	FA	2
1019	003	7F	52	0	F	FVMA	3
1019	004	7F	52	0	CO	PM	2
1019	005	7F	52	0	L	LHI	2
1019	006	7F	52	0	C	ANF	18
1019	007	7F	52	0	C	CM	21
1019	008	7F	52	0	C	CC	9
1019	009	7F	52	4	C	PI	1
1019	010	7F	52	0	C	PI	1
1019	011	7F	52	0	C	PI	1
1019	012	7F	52	0	C	PI	1
1019	013	7F	52	0	C	PI	1
1019	014	7F	52	0	C	PI	1
1019	015	7F	52	1	C	PI	1
1019	016	7F	52	1	C	PI	1
1019	017	7F	52	1	C	PI	1
1019	018	7F	52	1	C	PI	1
1019	019	7F	52	0	C	PI	1
1019	020	7F	52	0	C	PI	1
1019	021	7F	52	1	C	PI	1
1019	022	7F	52	0	C	PI	1
1019	023	7F	52	1	C	PI	1
1019	024	7F	52	1	C	PI	1
1019	025	7F	52	1	C	PI	1
1019	026	7F	52	0	C	PI	1
1019	027	7F	52	4	C	PI	1
1019	028	7F	52	0	C	PI	1
1019	029	7F	52	0	C	PI	1
1019	030	7F	52	0	C	PI	1
1019	031	7F	52	0	C	PI	1
1019	032	7F	52	0	C	PI	1



1019	033	7F	52	0	C	PI	1
1019	034	7F	52	0	C	PI	1
1019	035	7F	52	0	C	PI	1
1019	036	7F	52	0	C	PI	1
1019	037	7F	52	1	C	GR	1
1019	038	7F	52	1	C	GR	1
1019	039	7F	52	1	C	CC	1
1019	040	7F	52	1	C	CM	1
1019	041	7F	52	4	C	CM	1
1019	042	7F	52	1	C	CM	1
1019	043	7F	52	1	C	CM	1
1019	044	7F	52	1	C	CM	1
1019	045	7F	52	0	C	TS	1
1019	046	7F	52	4	C	BN	1
1019	047	7F	52	0	C	BN	1
1019	048	7F	52	0	C	BN	1
1019	049	7F	52	1	C	BN	1
1019	050	7F	52	0	C	ANF	1
1020	001	7F	24	0	CO	TTE+TIM	5
1020	002	7F	24	0	CO		2
1020	003	7F	24	0	C	CM	6
1020	004	7F	24	0	C	ANF	5
1020	005	7F	24	0	C	ROT	2
1020	006	7F	24	0	C	CC	4
1020	007	7F	24	0	C	CCA	2
1020	008	7F	24	0	DMR		1
1020	009	7F	24	0	F	FA	6
1020	010	7F	24	0	F	FVMA	1
1020	011	7F	24	0	F	FVMA	3
1020	012	7F	24	0			1
1020	013	7F	24	0	VD	VI	2
1020	014	7F	24	0	L	LBR	1
1020	015	7F	24	4	C	CM	1
1020	016	7F	24	4	C	CM	1
1020	017	7F	24	1	C	GR	1
1020	018	7F	24	8	C	CC	1
1020	019	7F	24	0	C	TSA	1
1020	020	7F	24	4	C	LUC	1
1020	021	7F	24	4	C	ROT	1
1020	022	7F	24	1	C	ROT	1
1021	001	7F	24	0	F	FA	2
1021	002	7F	24	0	C	ANF	24
1021	003	7F	24	0	C	CM	53
1021	004	7F	24	0	C	GR	3
1021	005	7F	24	0	C	PI	1

1021	006	7F	24	0	C	PI	1
1021	007	7F	24	4	C	PI	1
1021	008	7F	24	1	C	PI	1
1021	009	7F	24	0	C	PI	1
1021	010	7F	24	0	C	PI	1
1021	011	7F	24	0	C	PI	1
1021	012	7F	24	0	C	PI	1
1021	013	7F	24	0	C	PI	1
1021	014	7F	24	0	C	PI	1
1021	015	7F	24	7	C	PI	1
1021	016	7F	24	0	C	PI	1
1021	017	7F	24	0	C	PI	1
1021	018	7F	24	0	C	PI	1
1021	019	7F	24	4	C	CM	1
1021	020	7F	24	4	C	CM	1
1021	021	7F	24	4	C	CM	1
1021	022	7F	24	7	C	CM	1
1021	023	7F	24	4	C	CM	1
1027	001	7F	35	0	C	CM	46
1027	002	7F	35	0	C	ANF	30
1027	003	7F	35	0	L	LHI	1
1027	004	7F	35	0	C	CC	3
1027	005	7F	35	0	F	FA	56
1027	006	7F	35	1	C	PI	1
1027	007	7F	35	0	C	PI	1
1027	008	7F	35	0	C	PI	1
1027	009	7F	35	0	C	PI	1
1027	010	7F	35	0	C	PI	1
1027	011	7F	35	0	C	PI	1
1027	012	7F	35	0	C	PI	1
1027	013	7F	35	0	C	PI	1
1027	014	7F	35	0	C	PI	1
1027	015	7F	35	0	C	PI	1
1027	016	7F	35	0	C	PI	1
1027	017	7F	35	0	C	PI	1
1027	018	7F	35	0	C	PI	1
1027	019	7F	35	0	C	PI	1
1027	020	7F	35	0	C	PI	1
1027	021	7F	35	4	C	PI	1
1027	022	7F	35	0	C	PI	1
1027	023	7F	35	0	C	PI	1
1027	024	7F	35	0	C	PI	1
1027	025	7F	35	0	C	PI	1
1027	026	7F	35	0	C	PI	1
1027	027	7F	35	1	C	PI	1

1027	028	7F	35	0	C	PI	1
1027	029	7F	35	0	C	PI	1
1027	030	7F	35	0	C	PI	1
1027	031	7F	35	0	C	PI	1
1027	032	7F	35	1	C	PI	1
1027	033	7F	35	0	C	PI	1
1027	034	7F	35	1	C	PI	1
1027	035	7F	35	1	C	PI	1
1027	036	7F	35	0	C	PI	1
1027	037	7F	35	1	C	PI	1
1027	038	7F	35	0	C	PI	1
1027	039	7F	35	0	C	PI	1
1027	040	7F	35	0	C	PI	1
1027	041	7F	35	0	C	CTI	1
1027	042	7F	35	0	C	CTI	1
1027	043	7F	35	0	C	PI	1
1027	044	7F	35	0	C	PI	1
1027	045	7F	35	0	C	PI	1
1027	046	7F	35	0	C	PI	1
1027	047	7F	35	1	C	PI	1
1027	048	7F	35	0	C	PI	1
1027	049	7F	35	0-7	C	CM	1
1027	050	7F	35	4	C	CM	1
1027	051	7F	35	1	C	CM	1
1027	052	7F	35	1	C	CM	1
1027	053	7F	35	1	C	CM	1
1027	054	7F	35	6	C	CM	1
1027	055	7F	35	4	C	CM	1
1027	056	7F	35	4	C	CM	1
1027	057	7F	35	7	C	CM	1
1027	058	7F	35	7	C	CM	1
1027	059	7F	35	0	C	BN	1
1027	060	7F	35	0	C	BN	1
1027	061	7F	35	0	C	BN	1
1027	062	7F	35	0	C	LUC	1
1027	063	7F	35	1	C	PF	1
1032	001	7F	42	0	C	ANF	12
1032	002	7F	42	0	C	CM	24
1032	003	7F	42	0	CO	TIM	1
1032	004	7F	42	0	C	CC	4
1032	005	7F	42	0	F	FA	3
1032	006	7F	42	0	CO	PM	1
1032	007	7F	42	0	CO	PM	1
1032	008	7F	42	PI	C	ANF	1
1032	009	7F	42	1	C	CM	1

1032	010	7F	42	1	C	CC	1
1032	011	7F	42	1	C	CCA	1
1032	012	7F	42	4	C	CCA	1
1032	013	7F	42	0	C	TS	1
1032	014	7F	42	0	C	TS	1
1032	015	7F	42	0	C	PI	1
1032	016	7F	42	1	C	PI	1
1032	017	7F	42	0	C	PI	1
1032	018	7F	42	0	C	PI	1
1032	019	7F	42	0	C	PI	1
1032	020	7F	42	0	C	PF	1
1032	021	7F	42	0	C	PF	1
1033	001	7F	42	0	CO	TIM	2
1033	002	7F	42	0	C	ANF	11
1033	003	7F	42	0	CO	AR	8
1033	004	7F	42	0	C	CM	6
1033	005	7F	42	0	C	GR	1
1033	006	7F	42	1	C	PF	1
1033	007	7F	42	0	VD	VI	2
1034	001	7F	35	0	F	FA	14
1034	002	7F	35	0	C	ANF	2
1034	003	7F	35	0	C	CC	2
1034	004	7F	35	0	C	CM	8
1034	005	7F	35	0	F	FVMA	2
1034	006	7F	35	0	C	PI	1
1034	007	7F	35	0	C	PI	1
1034	008	7F	35	0	C	PI	1
1034	009	7F	35	0	C	PI	1
1035	001	7F	49	0	C	ANF	87
1035	002	7F	49	0	CO	TTE+TIM	19
1035	003	7F	49	0	CO	PM	24
1035	004	7F	49	0	CO	TCL	1
1035	005	7F	49	0	DMR		1
1035	006	7F	49	0	DMR		6
1035	007	7F	49	0	CO	TTE	1
1035	008	7F	49	0	T	TPO	1
1035	009	7F	49	0	T	TPO	1
1035	010	7F	49	0	C	CM	40
1035	011	7F	49	0	C	CC	30
1035	012	7F	49	0	C	CCA	11
1035	013	7F	49	0	L	LBR	3
1035	014	7F	49	0	VD	VI	46
1035	015	7F	49	1	VD	VI	1
1035	016	7F	49	1	VD	VI	1
1035	017	7F	49	1	VD	VI	1

1035	018	7F	49	4	VD	VI	1
1035	019	7F	49	1	VD	VI	1
1035	020	7F	49	1	VD	VI	1
1035	021	7F	49	4	VD	VI	1
1035	022	7F	49	1	VD	VI	2
1035	023	7F	49	1	VD	VI	1
1035	024	7F	49	1	VD	VI	1
1035	025	7F	49	0	C	ANF	1
1035	026	7F	49	7	C	ANF	1
1035	027	7F	49	PI	C	ANF	1
1035	028	7F	49	1	C	ANF	1
1035	029	7F	49	0-7	C	ANF	1
1035	030	7F	49	1-7	C	ANF	1
1035	031	7F	49	1	C	CC	1
1035	032	7F	49	4	C	CC	1
1035	033	7F	49	4	C	CC	1
1035	034	7F	49	1	C	CC	1
1035	035	7F	49	1	C	CC	1
1035	036	7F	49	1	C	CC	1
1035	037	7F	49	4	C	CC	1
1035	038	7F	49	8	C	CC	1
1035	039	7F	49	1	C	CC	1
1035	040	7F	49	1	C	CC	1
1035	041	7F	49	8	C	CC	1
1035	042	7F	49	8	C	CC	1
1035	043	7F	49	1-7	C	CC	1
1035	044	7F	49	8	C	CC	1
1035	045	7F	49	1	C	CC	1
1035	046	7F	49	7	C	CC	1
1035	047	7F	49	1	C	CM	1
1035	048	7F	49	1-7	C	CM	1
1035	049	7F	49	7	C	CM	1
1035	050	7F	49	4	C	CM	1
1035	051	7F	49	4	C	CM	1
1035	052	7F	49	7	C	CM	1
1035	053	7F	49	1-7	C	CM	1
1035	054	7F	49	1	C	CM	1
1035	055	7F	49	1	C	CM	1
1035	056	7F	49	1	C	CM	1
1035	057	7F	49	4	C	CM	1
1035	058	7F	49	7	C	CM	1
1035	059	7F	49	7	C	CM	1
1035	060	7F	49	1	C	CM	1
1035	061	7F	49	1	C	CM	1
1035	062	7F	49	1	C	CM	1



1035	063	7F	49	1	C	CM	1
1035	064	7F	49	1	C	CM	1
1035	065	7F	49	1	C	CM	1
1035	066	7F	49	1	C	CM	1
1035	067	7F	49	1	C	CM	1
1035	068	7F	49	1	C	CM	1
1035	069	7F	49	4	C	CM	1
1035	070	7F	49	7	C	CM	1
1035	071	7F	49	1	C	CM	1
1035	072	7F	49	7	C	CM	1
1035	073	7F	49	7	C	CM	1
1035	074	7F	49	7	C	CM	1
1035	075	7F	49	4	C	CM	1
1035	076	7F	49	1	C	CM	1
1035	077	7F	49	4	C	CM	1
1035	078	7F	49	1-7	C	CM	1
1035	079	7F	49	4	C	CM	1
1035	080	7F	49	7	C	CM	1
1035	081	7F	49	1	C	CM	1
1035	082	7F	49	7	C	CM	1
1035	083	7F	49	6	C	CM	1
1035	084	7F	49	7	C	CM	1
1035	085	7F	49	4	CC	CCA	1
1035	086	7F	49	8	C	CCA	1
1035	087	7F	49	8	C	CCA	1
1035	088	7F	49	8	C	CCA	1
1035	089	7F	49	8	C	CCA	1
1035	090	7F	49	8	C	CCA	1
1035	091	7F	49	8	C	CCA	1
1035	092	7F	49	8	C	CCA	1
1035	093	7F	49	8	C	CCA	1
1035	094	7F	49	8	C	CCA	1
1035	095	7F	49	8	C	CCA	1
1035	096	7F	49	8	C	CCA	1
1035	097	7F	49	8	C	CCA	1
1035	098	7F	49	1	C	CCA	1
1035	099	7F	49	8	C	CCA	1
1035	100	7F	49	1-4	C	CCA	1
1035	101	7F	49	4	C	CCA	1
1035	102	7F	49	4	C	CCA	1
1035	103	7F	49	1-4	C	CCA	1
1035	104	7F	49	4	C	CCA	1
1035	105	7F	49	1	C	CCA	1
1035	106	7F	49	4	C	CCA	1
1035	107	7F	49	1-4	C	CCA	1

1035	108	7F	49	4	C	CCA	1
1035	109	7F	49	1	C	CCA	1
1035	110	7F	49	8	C	CCA	1
1035	111	7F	49	1	C	TSA	1
1035	112	7F	49	1	C	TSA	1
1035	113	7F	49	1	C	TS	1
1035	114	7F	49	0	C	TS	1
1035	115	7F	49	0	C	TSA	1
1035	116	7F	49	0	C	TS	1
1035	117	7F	49	8	C	TSA	1
1035	118	7F	49	1	C	TSA	1
1035	119	7F	49	1	C	TSA	1
1035	120	7F	49	4	C	TS	1
1035	121	7F	49	4	C	TS	1
1035	122	7F	49	1	C	TS	1
1035	123	7F	49	1	C	TS	1
1035	124	7F	49	4	C	TSA	1
1035	125	7F	49	0	C	TSA	1
1035	126	7F	49	0	C	PI	1
1035	127	7F	49	0	C	PI	1
1035	128	7F	49	0	C	PI	1
1035	129	7F	49	0	C	PI	1
1035	130	7F	49	0	C	PI	1
1035	131	7F	49	0	C	PI	1
1035	132	7F	49	0	C	PI	1
1035	133	7F	49	0	C	PI	1
1035	134	7F	49	0	C	PI	1
1035	135	7F	49	0	C	PI	1
1035	136	7F	49	7	C	PI	1
1035	137	7F	49	1-7	C	PI	1
1035	138	7F	49	0	C	PF	1
1035	139	7F	49	1	C	PF	1
1035	140	7F	49	0	C	PF	1
1035	141	7F	49	4	C	PF	1
1035	142	7F	49	0	C	PF	1
1035	143	7F	49	4	C	PF	1
1035	144	7F	49	0	C	PF	1
1035	145	7F	49	7-DS	C	LUC	1
1035	146	7F	49	PQ	C	LUC	1
1035	147	7F	49	PQ	C	LUC	1
1035	148	7F	49	0	L	LHI	5
1035	149	7F	49	0	L	LHI	1
1035	150	7F	49	0	L	LHI	1
1035	151	7F	49	0	L	LHI	1
1035	152	7F	49	0	L	LHI	1

1035	153	7F	49	0	L	LBR	1
1035	154	7F	49	0	L	LBR	1
1035	155	7F	49	0	F	FA	108
1035	156	7F	49	0	F	FVMA	2
1035	157	7F	49	0	MV	CA	1
1035	158	7F	49	0	HT	AGU	1
1035	159	7F	49	0	HT	AGU	1
1035	160	7F	49	0	HT	AGU	1
1035	161	7F	49	0	HT	AGU	1
1035	162	7F	49	0	HT	AGU	1
1036	001	7F	49	0	C	CM	74
1036	002	7F	49	0	C	CC	13
1036	003	7F	49	0	C	ANF	43
1036	004	7F	49	0	C	CCA	6
1036	005	7F	49	0	DMR		1
1036	006	7F	49	0	F	FA	7
1036	007	7F	49	0	D	FC	1
1036	008	7F	49	0	C	PI	1
1036	009	7F	49	0	C	PI	1
1036	010	7F	49	0	C	PI	1
1036	011	7F	49	7	C	PI	1
1036	012	7F	49	7	C	PI	1
1036	013	7F	49	0	C	PI	1
1036	014	7F	49	1	C	CM	1
1036	015	7F	49	1	C	CM	1
1036	016	7F	49	1	C	CM	1
1036	017	7F	49	4	C	CM	1
1036	018	7F	49	8	C	CM	1
1036	019	7F	49	1	C	CM	1
1036	020	7F	49	1	C	CM	1
1036	021	7F	49	1	C	CM	1
1036	022	7F	49	4	C	CM	1
1036	023	7F	49	1	C	CM	1
1036	024	7F	49	1	C	CM	1
1036	025	7F	49	1	C	CM	1
1036	026	7F	49	1	C	MOR	1
1036	027	7F	49	4	C	ANF	1
1036	028	7F	49	PI	C	ANF	1
1036	029	7F	49	7	C	ANF	1
1036	030	7F	49	1-4	C	CCA	1
1036	031	7F	49	8	C	CCA	1
1036	032	7F	49	8	C	CCA	1
1036	033	7F	49	1	C	CCA	1
1036	034	7F	49	1	C	CCA	1
1036	035	7F	49	1	C	CCA	1

1036	036	7F	49	1	C	CCA	1
1036	037	7F	49	1	C	CCA	1
1036	038	7F	49	4	C	CCA	1
1036	039	7F	49	8	C	CCA	1
1036	040	7F	49	1	C	CCA	1
1036	041	7F	49	0	C	TS	1
1036	042	7F	49	0	C	TSA	1
1036	043	7F	49	4	C	TS	1
1036	044	7F	49	1	C	TS	1
1036	045	7F	49	0	F	FA	79
1036	046	7F	49	1	VD	VI	1
1036	047	7F	49	1	VD	VI	1
1036	048	7F	49	1	VD	VI	1
1036	049	7F	49	0	VD	VI	1
1036	050	7F	49	1	VD	VI	1
1036	051	7F	49	1	VD	VI	1
1036	052	7F	49	1	VD	VI	1
1036	053	7F	49	1	VD	VI	1
1036	054	7F	49	1	VD	VI	1
1036	055	7F	49	1	VD	VI	1
1036	056	7F	49	0	VD	VI	12
1036	057	7F	49	1	VD	VI	1
1036	058	7F	49	0	VD	VI	8
1036	059	7F	49	0	D	DSI	1
1036	060	7F	49	0	HT	AGU	1
1036	061	7F	49	0	HT	AGU	1
1036	062	7F	49	0	HT	AGU	1
1036	063	7F	49	0	LBR	MON	1
1036	064	7F	49	0	L	LBR	2
1036	065	7F	49	0	L	LHI	2
619	139	7F	40	0	L	LBR	1
1038	001	7F	49	0	CO	PM	2
1038	002	7F	49	0	CO	TLA	1
1038	003	7F	49	0	CO	TTE+TIM	8
1038	004	7F	49	0	C	CM	4
1038	005	7F	49	PI	C	ANF	1
1038	006	7F	49	7	C	ANF	1
1038	007	7F	49	1	C	CM	1
1039	001	7F	35	0	C	CM	30
1039	002	7F	35	0	C	ANF	18
1039	003	7F	35	0	C	CC	7
1039	004	7F	35	0	F	FVMA	1
1039	005	7F	35	0	F	FA	41
1039	006	7F	35	1	C	CM	1
1039	007	7F	35	1	C	CM	1

1039	008	7F	35	1	C	CM	1
1039	009	7F	35	1	C	CM	1
1039	010	7F	35	4	C	CM	1
1039	011	7F	35	8	C	CCA	1
1039	012	7F	35	1	C	CCA	1
1039	013	7F	35	1	C	CCA	1
1039	014	7F	35	1	C	PI	1
1039	015	7F	35	0	C	PI	1
1039	016	7F	35	0	C	PI	1
1039	017	7F	35	0	C	PI	1
1039	018	7F	35	0	C	PI	1
1039	019	7F	35	1	C	PI	1
1039	020	7F	35	1	C	PI	1
1039	021	7F	35	0	C	PI	1
1039	022	7F	35	0	C	PI	1
1039	023	7F	35	1	C	PI	1
1039	024	7F	35	0	C	PI	1
1039	025	7F	35	1	C	PI	1
1039	026	7F	35	1	C	PI	1
1039	027	7F	35	1	C	PI	1
1039	028	7F	35	1	C	PI	1
1039	029	7F	35	4	C	BN	1
1039	030	7F	35	0	C	BN	1
1039	031	7F	35	1	C	BN	1
1044	001	7F	SONDEO 1	0	C	CM	46
1044	002	7F	SONDEO 1	0	C	ROT	9
1044	003	7F	SONDEO 1	0	C	CC	15
1044	004	7F	SONDEO 1	0	C	ANF	55
1044	005	7F	SONDEO 1	0	F	FA	13
1044	006	7F	SONDEO 1	0	CO	TTE+TIM	14
1044	007	7F	SONDEO 1	0	DMR		5
1044	008	7F	SONDEO 1	0	L	LPL	1
1044	009	7F	SONDEO 1	0	VD	VI	1
1044	010	7F	SONDEO 1	0	CO	PM	2
1044	011	7F	SONDEO 1	1	C	CCA	1



1044	012	7F	SONDEO 1	1	C	BN	1
1044	013	7F	SONDEO 1	0	C	BN	1
1044	014	7F	SONDEO 1	1	C	PI	1
1044	015	7F	SONDEO 1	0	C	PI	1
1044	016	7F	SONDEO 1	0	C	PI	1
1044	017	7F	SONDEO 1	0	C	PI	1
1044	018	7F	SONDEO 1	1	C	CCA	1
1044	019	7F	SONDEO 1	8	C	CC	1
1044	020	7F	SONDEO 1	1	C	CC	1
1044	021	7F	SONDEO 1	DS	C	LUC	1
1044	022	7F	SONDEO 1	1-7	C	CM	1
1044	023	7F	SONDEO 1	1	C	CM	1
1044	024	7F	SONDEO 1	1	C	CM	1
1044	025	7F	SONDEO 1	4	C	CM	1
1044	026	7F	SONDEO 1	4	C	CM	1
1044	027	7F	SONDEO 1	4	C	CM	1
1044	028	7F	SONDEO 1	1	C	CM	1
1044	029	7F	SONDEO 1	4	C	CM	1
1044	030	7F	SONDEO 1	1	C	CM	1
1044	031	7F	SONDEO 1	4	C	CM	1
1044	032	7F	SONDEO 1	1	VD	VI	1
1044	033	7F	SONDEO 1	4	VD	VI	1
1044	034	7F	SONDEO 1	0	L	LBR	1
1044	035	7F	SONDEO 1	4	C	CC	1
1044	036	7F	SONDEO 1	0	D	MOR	1

1044	037	7F	SONDEO 1	0	C	PI	1
1044	038	7F	SONDEO 1	0	C	PI	1
1044	039	7F	SONDEO 1	0-7	C	ANF	1
1044	040	7F	SONDEO 1	1	C	ROT	1
1046	001	7F	52	0	C	CM	22
1046	002	7F	52	0	C	ANF	10
1046	003	7F	52	0	CO	PM	1
1046	004	7F	52	0	F	FA	5
1046	005	7F	52	0	C	CC	5
1046	006	7F	52	4	C	CM	1
1046	007	7F	52	4	C	CM	1
1046	008	7F	52	0	C	PI	1
1046	009	7F	52	0	C	PI	1
1046	010	7F	52	0	C	PI	1
1046	011	7F	52	0	C	PI	1
1046	012	7F	52	0	C	PI	1
1046	013	7F	52	1	C	PI	1
1046	014	7F	52	1	C	PI	1
1046	015	7F	52	0	C	BN	1
1046	016	7F	52	0	C	TS	1
1047	001	7F	48	0	C	CM	123
1047	002	7F	48	0	C	ANF	46
1047	003	7F	48	0	CO	PM	4
1047	004	7F	48	0	CO	TLA	6
1047	005	7F	48	0	CO	TTE+TIM	7
1047	006	7F	48	0	F	FA	11
1047	007	7F	48	0	C	CC	26
1047	008	7F	48	0	C	CCA	11
1047	009	7F	48	1	VD	VI	1
1047	010	7F	48	0	VD	VI	1
1047	011	7F	48	PV	C	TS	1
1047	012	7F	48	PV	C	TS	1
1047	013	7F	48	0	C	TS	1
1047	014	7F	48	1	C	TSA	1
1047	015	7F	48	1	C	TS	1
1047	016	7F	48	4	C	TS	1
1047	017	7F	48	1	C	TS	1
1047	018	7F	48	1	C	TS	1
1047	019	7F	48	4	C	TS	1
1047	020	7F	48	4	C	TS	1
1047	021	7F	48	1	C	TSA	1
1047	022	7F	48	0	C	TSA	1

1047	023	7F	48	0	C	TSA	1
1047	024	7F	48	4	C	TS	1
1047	025	7F	48	1	C	TSA	1
1047	026	7F	48	1	C	TSA	1
1047	027	7F	48	4	C	CCA	1
1047	028	7F	48	8	C	CCA	1
1047	029	7F	48	8	C	CCA	1
1047	030	7F	48	8	C	CCA	1
1047	031	7F	48	8	C	CCA	1
1047	032	7F	48	1	C	CCA	1
1047	033	7F	48	1	C	CCA	1
1047	034	7F	48	4	C	CCA	1
1047	035	7F	48	0	C	PI	1
1047	036	7F	48	0	C	PI	1
1047	037	7F	48	4	C	PI	1
1047	038	7F	48	0	C	PI	1
1047	039	7F	48	1-7	C	PI	1
1047	040	7F	48	0	C	PI	1
1047	041	7F	48	0	C	PI	1
1047	042	7F	48	0	C	PI	1
1047	043	7F	48	0	C	PI	1
1047	044	7F	48	0	C	PI	2
1047	045	7F	48	1	C	PI	1
1047	046	7F	48	4	C	PI	1
1047	047	7F	48	4	C	CM	1
1047	048	7F	48	4	C	CM	1
1047	049	7F	48	1-7	C	CM	1
1047	050	7F	48	7	C	CM	1
1047	051	7F	48	7	C	CM	1
1047	052	7F	48	1	C	CM	1
1047	053	7F	48	1	C	CM	1
1047	054	7F	48	4	C	CM	1
1047	055	7F	48	1-7	C	CM	1
1047	056	7F	48	1	C	CM	1
1047	057	7F	48	1	C	CM	1
1047	058	7F	48	4	C	CM	1
1047	059	7F	48	1	C	CM	1
1047	060	7F	48	7	C	CM	1
1047	061	7F	48	7	C	CM	1
1047	062	7F	48	1	C	CM	1
1047	063	7F	48	1	C	CM	1
1047	064	7F	48	7	C	CM	1
1047	065	7F	48	4	C	CM	1
1047	066	7F	48	1	C	CM	1
1047	067	7F	48	4	C	CM	1

1047	068	7F	48	7	C	CM	1
1047	069	7F	48	1	C	CM	1
1047	070	7F	48	4	C	CM	1
1047	071	7F	48	4	C	CM	1
1047	072	7F	48	1	C	CM	1
1047	073	7F	48	4	C	CM	1
1047	074	7F	48	1	C	CM	1
1047	075	7F	48	1	C	CC	1
1047	076	7F	48	1	C	CC	1
1047	077	7F	48	1	C	CC	1
1047	078	7F	48	7	C	CC	1
1047	079	7F	48	1	C	CC	1
1047	080	7F	48	8	C	CC	1
1047	081	7F	48	8	C	CC	1
1047	082	7F	48	1	C	CC	1
1047	083	7F	48	1	C	CC	1
1047	084	7F	48	0	VD	VI	4
1047	085	7F	48	1	VD	VI	1
1047	086	7F	48	10	C	LUC	1
1047	087	7F	48	4	C	LUC	1
1047	088	7F	48	DS	C	LUC	1
1047	089	7F	48	1	C	ANF	1
1047	090	7F	48	7	VD	VI	1
1047	091	7F	48	1	VD	VI	1
1047	092	7F	48	1	VD	VI	1
1047	093	7F	48	1	VD	VI	1
1047	094	7F	48	1	VD	VI	1
1047	095	7F	48	1	VD	VI	1
1047	096	7F	48	1	VD	VI	1
1047	097	7F	48	1	VD	VI	1
1047	098	7F	48	1	VD	VI	1
1047	099	7F	48	0	CO	MO	1
1047	100	7F	48	0	F	FA	3
1047	101	7F	48	0	C	ANF	13
1047	102	7F	48	0	VD	VI	1
1047	103	7F	48	0	C	CCA	2
1047	104	7F	48	0	C	CM	29
1047	105	7F	48	0	C	CC	6
1047	106	7F	48	1-7	C	ANF	1
1047	107	7F	48	1-4	C	CCA	1
1047	108	7F	48	1-4	C	CCA	1
1047	109	7F	48	1-4	C	CCA	1
1047	110	7F	48	8	C	CCA	1
1047	111	7F	48	1	C	CM	1
1047	112	7F	48	7	C	CM	1

1047	113	7F	48	4	C	CM	1
1047	114	7F	48	1	C	CM	1
1047	115	7F	48	1-7	C	CM	1
1047	116	7F	48	1	C	CM	1
1047	117	7F	48	1	C	CM	1
1047	118	7F	48	1	C	CM	1
1047	119	7F	48	7	C	CM	1
1047	120	7F	48	4	C	CM	1
1047	121	7F	48	1	C	CM	1
1047	122	7F	48	DP - DS	C	LUC	1
1047	123	7F	48	DS	C	LUC	1
1047	124	7F	48	7	C	LUC	1
1047	125	7F	48	DP	C	LUC	1
1047	126	7F	48	7-DP-DS	C	LUC	1
1047	127	7F	48	1	C	CC	1
1047	128	7F	48	1	C	TS	1
1047	129	7F	48	1	C	TS	1
1047	130	7F	48	0	C	TSA	1
1047	131	7F	48	1-7	C	PI	0
1047	132	7F	48	0	C	CM	42
1047	133	7F	48	0	C	CC	6
1047	134	7F	48	0	C	CC	3
1047	135	7F	48	0	F	FA	2
1047	136	7F	48	0	C	ANF	23
1047	137	7F	48	0	CO		32
1047	138	7F	48	0	CO	TLA	4
1047	139	7F	48	0	CO	PM	9
1047	140	7F	48	7	C	ANF	1
1047	141	7F	48	7	C	ANF	1
1047	142	7F	48	7	C	ANF	1
1047	143	7F	48	1	C	ANF	1
1047	144	7F	48	7	C	ANF	1
1047	145	7F	48	7	C	ANF	1
1047	146	7F	48	4	C	PI	1
1047	147	7F	48	0	C	PI	1
1047	148	7F	48	0	C	TSA	1
1047	149	7F	48	4	C	TSA	1
1047	150	7F	48	7	C	CM	1
1047	151	7F	48	4	C	CM	1
1047	152	7F	48	7	C	CM	1
1047	153	7F	48	7	C	CM	1
1047	154	7F	48	4	C	CM	1
1047	155	7F	48	7	C	CM	1
1047	156	7F	48	1	C	CM	1
1047	157	7F	48	1	C	CM	1



1047	158	7F	48	1	C	CM	1
1047	159	7F	48	4	C	CM	1
1047	160	7F	48	1	C	CM	1
1047	161	7F	48	1	C	CM	1
1047	162	7F	48	1	C	MOR	1
1047	163	7F	48	4	C	CM	1
1047	164	7F	48	1	C	CM	1
1047	165	7F	48	1	C	CM	1
1047	166	7F	48	1	C	CM	1
1047	167	7F	48	1	C	CM	1
1047	168	7F	48	1	C	CM	1
1047	169	7F	48	1	C	CM	1
1047	170	7F	48	1	C	CC	1
1047	171	7F	48	1	C	CC	1
1047	172	7F	48	1	C	CC	1
1047	173	7F	48	1	C	CCA	1
1047	174	7F	48	1	C	CCA	1
1047	175	7F	48	8	C	CCA	1
1047	176	7F	48	7-DP-DS	C	LUC	1
1047	177	7F	48	PQ	C	LUC	1
1047	178	7F	48	DS	C	LUC	1
1047	179	7F	48	MG	C	LUC	1
1047	180	7F	48	0	C	CM	80
1047	181	7F	48	0	C	CC	13
1047	182	7F	48	0	C	ANF	72
1047	183	7F	48	0	CO	PM	26
1047	184	7F	48	0	CO		4
1047	185	7F	48	0	CO	TLA	6
1047	186	7F	48	0	C	CCA	9
1047	187	7F	48	0	DMR		1
1047	188	7F	48	0	F	FA	165
1047	189	7F	48	0	HT	AGU	1
1047	190	7F	48	0	HT	AGU	1
1047	191	7F	48	0	HT	AGU	1
1047	192	7F	48	0	HT	AGU	1
1047	193	7F	48	0	HT	AGU	1
1047	194	7F	48	0	HT	AGU	1
1047	195	7F	48	0	HT	AGU	1
1047	196	7F	48	0	HT	AGU	1
1047	197	7F	48	0	L	LBR	3
1047	198	7F	48	1	VD	VI	1
1047	199	7F	48	4	VD	VI	1
1047	200	7F	48	0	VD	VI	14
1047	201	7F	48	0	L	LHI	10
1047	202	7F	48	1	C	ANF	1

1047	203	7F	48	1	C	ANF	1
1047	204	7F	48	7	C	ANF	1
1047	205	7F	48	PI	C	ANF	1
1047	206	7F	48	7	C	ANF	1
1047	207	7F	48	4	C	CCA	1
1047	208	7F	48	1-4	C	CCA	1
1047	209	7F	48	1	C	CCA	1
1047	210	7F	48	1-4	C	CCA	1
1047	211	7F	48	1-4	C	CCA	1
1047	212	7F	48	8	C	CCA	1
1047	213	7F	48	1	C	CCA	1
1047	214	7F	48	8	C	CCA	1
1047	215	7F	48	1	C	CCA	1
1047	216	7F	48	4	C	CCA	1
1047	217	7F	48	1	C	CCA	1
1047	218	7F	48	1	C	CM	1
1047	219	7F	48	4	C	CM	1
1047	220	7F	48	4	C	CM	1
1047	221	7F	48	1	C	CM	1
1047	222	7F	48	1	C	CM	1
1047	223	7F	48	1	C	CM	1
1047	224	7F	48	7	C	CM	1
1047	225	7F	48	4	C	CM	1
1047	226	7F	48	7	C	CM	1
1047	227	7F	48	1	C	CM	1
1047	228	7F	48	4	C	CM	1
1047	229	7F	48	7	C	CM	1
1047	230	7F	48	4	C	CM	1
1047	231	7F	48	7	C	CM	1
1047	232	7F	48	1	C	CM	1
1047	233	7F	48	1	C	CM	1
1047	234	7F	48	4	C	CM	1
1047	235	7F	48	1	C	CM	1
1047	236	7F	48	4	C	CM	1
1047	237	7F	48	1	C	ROT	1
1047	238	7F	48	0	C	PI	1
1047	239	7F	48	0	C	PI	1
1047	240	7F	48	1	C	PI	1
1047	241	7F	48	0	C	PI	1
1047	242	7F	48	1	C	PI	1
1047	243	7F	48	0	C	PI	1
1047	244	7F	48	0	C	PI	1
1047	245	7F	48	0	C	PI	1
1047	246	7F	48	0	C	PI	1
1047	247	7F	48	0	C	PI	1

1047	248	7F	48	0	C	PI	1
1047	249	7F	48	1	C	PI	1
1047	250	7F	48	0	C	PI	1
1047	251	7F	48	1	C	PI	1
1047	252	7F	48	0	C	PI	1
1047	253	7F	48	8	C	CC	1
1047	254	7F	48	1	C	CC	1
1047	255	7F	48	1	C	CC	1
1047	256	7F	48	1	C	CC	1
1047	257	7F	48	1	C	CC	1
1047	258	7F	48	8	C	CC	1
1047	259	7F	48	4	C	BN	1
1047	260	7F	48	0	C	BN	1
1047	261	7F	48	DS	C	LUC	1
1047	262	7F	48	DS-DP- PQ	C	LUC	1
1047	263	7F	48	PQ	C	LUC	1
1047	264	7F	48	DP-4-7	C	LUC	1
1047	265	7F	48	1	C	VI	1
1047	266	7F	48	1	C	TS	1
1047	267	7F	48	1	C	TS	1
1047	268	7F	48	4	C	TS	1
1047	269	7F	48	1	C	TSA	1
1047	270	7F	48	1	C	TS	1
1047	271	7F	48	1	C	TS	1
1047	272	7F	48	4	C	TSA	1
1047	273	7F	48	1	C	TSA	1
1047	274	7F	48	1	C	TS	1
1047	275	7F	48	0	C	TS	1
1047	276	7F	48	0	C	TSA	1
1047	277	7F	48	1	C	TSA	1
1047	278	7F	48	0	C	TSL	1
1047	279	7F	48	1	C	PF	1
1047	280	7F	48	0	CO	PM	34
1047	281	7F	48	0	CO	TTE-TIM	10
1047	282	7F	48	0	DMR		1
1047	283	7F	48	0	CO		3
1047	284	7F	48	0	CO	AR	2
1047	285	7F	48	4	C	CCA	1
1048	001	7F	49	0	DMR	ESU	1
1048	002	7F	49	0	F	FA	52
1048	003	7F	49	0	HT	DA	1
1048	004	7F	49	0	HT	AGU	1
1048	005	7F	49	0	C	ANF	41
1048	006	7F	49	0	CO	TTE+TIM	4

1048	007	7F	49	0	C	CM	111
1048	008	7F	49	0	C	CC	9
1048	009	7F	49	0	C	CCA	17
1048	010	7F	49	0	CO	PM	16
1048	011	7F	49	0	L	LBR	1
1048	012	7F	49	0	L	LBR	1
1048	013	7F	49	0	L	LHI	4
1048	014	7F	49	0	VD	VI	4
1048	015	7F	49	4	VD	VI	1
1048	016	7F	49	1	VD	VI	1
1048	017	7F	49	0	VD	PV	1
1048	018	7F	49	1	VD	VI	1
1048	019	7F	49	1	C	ANF	1
1048	020	7F	49	1	C	ANF	1
1048	021	7F	49	1	C	ANF	1
1048	022	7F	49	1	C	ANF	1
1048	023	7F	49	7	C	ANF	1
1048	024	7F	49	7	C	ANF	1
1048	025	7F	49	7	C	ANF	1
1048	026	7F	49	1-4	C	CCA	1
1048	027	7F	49	4	C	CCA	1
1048	028	7F	49	8	C	CCA	1
1048	029	7F	49	8	C	CCA	1
1048	030	7F	49	8	C	CCA	1
1048	031	7F	49	8	C	CCA	1
1048	032	7F	49	4	C	CCA	1
1048	033	7F	49	1	C	CCA	1
1048	034	7F	49	1-4	C	CCA	1
1048	035	7F	49	1	C	CCA	1
1048	036	7F	49	1	C	CCA	1
1048	037	7F	49	1-4	C	CCA	1
1048	038	7F	49	1-4	C	CCA	1
1048	039	7F	49	8	C	CCA	1
1048	040	7F	49	4	C	CCA	1
1048	041	7F	49	4	C	CCA	1
1048	042	7F	49	1	C	CM	1
1048	043	7F	49	1	C	CM	1
1048	044	7F	49	1-7	C	CM	1
1048	045	7F	49	7	C	CM	1
1048	046	7F	49	4	C	CM	1
1048	047	7F	49	4	C	CM	1
1048	048	7F	49	4	C	CM	1
1048	049	7F	49	4	C	CM	1
1048	050	7F	49	0	C	PI	1
1048	051	7F	49	4	C	TS	1

1048	052	7F	49	4	C	TSA	1
1048	053	7F	49	1	C	TSA	1
1048	054	7F	49	1	C	CC	1
1048	055	7F	49	4	C	CC	1
1048	056	7F	49	7-DS	C	LUC	1
1049	001	7F	49	0	CO	TTE+TIM	3
1049	002	7F	49	0	CO	BIP	1
1049	003	7F	49	0	F	FA	1
1049	004	7F	49	0	C	ANF	5
1049	005	7F	49	0	C	CCA	3
1049	006	7F	49	0	C	CC	5
1049	007	7F	49	0	C	CM	56
1049	008	7F	49	1	C	GR	1
1049	009	7F	49	0	C	PI	1
1049	010	7F	49	1	C	PI	1
1049	011	7F	49	7	C	PI	1
1049	012	7F	49	7	C	CM	1
1049	013	7F	49	4	C	CM	1
1049	014	7F	49	4	C	CM	1
1049	015	7F	49	1-7	C	CM	1
1049	016	7F	49	1-7	C	CM	1
1049	017	7F	49	7	C	CM	1
1049	018	7F	49	4	C	CM	1
1049	019	7F	49	1	C	CM	1
1049	020	7F	49	1	C	CM	1
1049	021	7F	49	7	C	CM	1
1049	022	7F	49	1	C	CM	1
1049	023	7F	49	1	C	CC	1
1049	024	7F	49	8	C	CC	1
1049	025	7F	49	4	C	TS	1
1049	026	7F	49	DS	C	LUC	1
1049	027	7F	49	4	C	CCA	1
1049	028	7F	49	1	C	CCA	1
1049	029	7F	49	0	F	FA	35
1049	030	7F	49	0	VD	VI	8
1049	031	7F	49	1	VD	VI	1
1049	032	7F	49	0	CO		1
1049	033	7F	49	0	CO	PM	2
1052	001	7F	SONDEO 1	0	CO	TTE	1
1052	002	7F	SONDEO 1	0	F	FA	4
1052	003	7F	SONDEO 1	0	DMR		1
1052	004	7F	SONDEO 1	0	L	LHI	1

1052	005	7F	SONDEO 1	0	C	ANF	5
1052	006	7F	SONDEO 1	0	C	CC	1
1052	007	7F	SONDEO 1	0	C	ROT	1
1052	008	7F	SONDEO 1	0	C	CM	1
1052	009	7F	SONDEO 1	1	C	ANF	1
1052	010	7F	SONDEO 1	0	C	PI	1
1052	011	7F	SONDEO 1	1	C	CC	1
1052	012	7F	SONDEO 1	1	C	TSA	1
1052	013	7F	SONDEO 1	4	C	CM	1
1056	001	7F	24	0	C	CM	40
1056	002	7F	24	1	C	CC	1
1056	003	7F	24	1	C	CC	1
1056	004	7F	24	7	C	ANF	1
1056	005	7F	24	0	C	CCA	4
1056	006	7F	24	0	C	CC	14
1056	007	7F	24	0	CO	PM	5
1056	008	7F	24	0	DMR	DMGA	1
1056	009	7F	24	0	DMR		1
1056	010	7F	24	0	F	FA	3
1056	011	7F	24	0	C	CM	1
1056	012	7F	24	1	C	CM	1
1056	013	7F	24	1	C	CM	1
1056	014	7F	24	7	C	CM	1
1056	015	7F	24	4	C	CCA	1
1056	016	7F	24	0	C	PI	1
1056	017	7F	24	1	C	PI	1
1056	018	7F	24	0	C	PI	1
1056	019	7F	24	1	C	PI	1
1056	020	7F	24	0	C	PI	1
1056	021	7F	24	0	C	PI	1
1056	022	7F	24	0	C	PI	1
1056	023	7F	24	0	C	PI	1
1056	024	7F	24	0	C	TS	1
1056	025	7F	24	0	C	TS	1
1056	026	7F	24	4	C	TS	1
1056	027	7F	24	1	C	TS	1
1056	028	7F	24	0	C	TS	1
1056	029	7F	24	0	C	TSA	1



1056	030	7F	24	0	C	TSA	1
1056	031	7F	24	0	C	BN	1
1056	032	7F	24	DS-VL	C	LUC	1
1056	033	7F	24	0	C	PF	1
1056	034	7F	24	0	C	RP	1
1057	001	7F	35	0	C	CM	58
1057	002	7F	35	0	C	ANF	48
1057	003	7F	35	0	C	CC	10
1057	004	7F	35	0	F	FA	2
1057	005	7F	35	0	F	FVMA	2
1057	006	7F	35	7	C	ANF	1
1057	007	7F	35	7	C	ANF	1
1057	008	7F	35	4	C	PI	1
1057	009	7F	35	4	C	PI	1
1057	010	7F	35	0	C	PI	1
1057	011	7F	35	0	C	PI	1
1057	012	7F	35	0	C	PI	1
1057	013	7F	35	0	C	PI	1
1057	014	7F	35	1	C	PI	1
1057	015	7F	35	1	C	PI	1
1057	016	7F	35	1	C	PI	1
1057	017	7F	35	0	C	PI	1
1057	018	7F	35	0	C	PI	1
1057	019	7F	35	0	C	PI	1
1057	020	7F	35	0	C	PI	1
1057	021	7F	35	0	C	PI	1
1057	022	7F	35	0	C	PI	1
1057	023	7F	35	0	C	PI	1
1057	024	7F	35	0	C	PI	1
1057	025	7F	35	0	C	PI	1
1057	026	7F	35	0	C	PI	1
1057	027	7F	35	0	C	PI	1
1057	028	7F	35	0	C	PI	1
1057	029	7F	35	0	C	PI	1
1057	030	7F	35	1	C	PI	1
1057	031	7F	35	1	C	PI	1
1057	032	7F	35	0	C	PI	1
1057	033	7F	35	0	C	PI	1
1057	034	7F	35	0	C	PI	1
1057	035	7F	35	0	C	PI	1
1057	036	7F	35	0	C	PI	1
1057	037	7F	35	0	C	PI	1
1057	038	7F	35	0	C	PI	1
1057	039	7F	35	0	C	PI	1
1057	040	7F	35	0	C	PI	1

1057	041	7F	35	0	C	PI	1
1057	042	7F	35	0	C	PI	1
1057	043	7F	35	0	C	PI	1
1057	044	7F	35	1	C	PI	1
1057	045	7F	35	4	C	PI	1
1057	046	7F	35	0	C	PI	1
1057	047	7F	35	0	C	PI	1
1057	048	7F	35	4	C	BN	1
1057	049	7F	35	1	C	BN	1
1057	050	7F	35	0	C	BN	1
1057	051	7F	35	0	C	BN	1
1057	052	7F	35	0	C	BN	1
1057	053	7F	35	1	C	CC	1
1057	054	7F	35	1	C	CC	1
1057	055	7F	35	1	C	CC	1
1057	056	7F	35	1	C	CC	1
1057	057	7F	35	1	C	CC	1
1057	058	7F	35	4	C	CM	1
1057	059	7F	35	4	C	CM	1
1057	060	7F	35	4	C	CM	1
1057	061	7F	35	1	C	CM	1
1057	062	7F	35	4	C	CM	1
1057	063	7F	35	4	C	CM	1
1057	064	7F	35	1	C	CM	1
1057	065	7F	35	1	C	CM	1
1057	066	7F	35	4	C	CM	1
1057	067	7F	35	1	C	CM	1
1057	068	7F	35	1	C	CM	1
1057	069	7F	35	8	C	CM	1
1057	070	7F	35	4	C	CM	1
1060	001	7F	SONDEO 1	0	F	FVMA	254
1060	002	7F	SONDEO 1	0	C	ANF	33
1060	003	7F	SONDEO 1	0	C	CCA	2
1060	004	7F	SONDEO 1	0	C	CM	14
1060	005	7F	SONDEO 1	0	CO	PM	4
1060	006	7F	SONDEO 1	0	C	CC	3
1060	007	7F	SONDEO 1	0	C	CCA	1
1060	008	7F	SONDEO 1	0	F	FA	3

1060	009	7F	SONDEO 1	0	MV	CA	12
1060	010	7F	SONDEO 1	0	L	LBR	1
1060	011	7F	SONDEO 1	0	LBR	MON	1
1060	012	7F	SONDEO 1	0	CO	TLA	3
1060	013	7F	SONDEO 1	0	DMR		1
1060	014	7F	SONDEO 1	0	C	ROT	4
1060	015	7F	SONDEO 1	0	C	ANF	1
1060	016	7F	SONDEO 1	0	C	PI	1
1060	017	7F	SONDEO 1	0	C	PI	1
1060	018	7F	SONDEO 1	0	C	PI	1
1060	019	7F	SONDEO 1	0	C	PI	1
1060	020	7F	SONDEO 1	1	C	TS	1
1060	021	7F	SONDEO 1	1	C	CM	1
1060	022	7F	SONDEO 1	4	C	CM	1
1060	023	7F	SONDEO 1	0-7	C	ANF	1
1060	024	7F	SONDEO 1	0	C	BN	1
1065	001	7F	24-49	0	F	FA	8
1065	002	7F	24-49	0	CP	TTE+TIM	5
1065	003	7F	24-49	0	C	ANF	4
1065	004	7F	24-49	0	C	ROT	1
1065	005	7F	24-49	0	C	CCA	1
1065	006	7F	24-49	0	C	CM	6
1065	007	7F	24-49	1	C	CC	1
1065	008	7F	24-49	8	C	CCA	1
1065	009	7F	24-49	0	C	TS	1
1065	010	7F	24-49	0	C	TSA	1
1065	011	7F	24-49	1	C	TS	1

## 7. Actuaciones en las Termas Orientales de La Alcudia de Elche (Proyecto ASTERO-Patrimonio Virtual)

### RESUMEN CAMPAÑA 2023

Jaime Molina Vidal

Francisco Javier Muñoz Ojeda

Juan Francisco Álvarez Tortosa

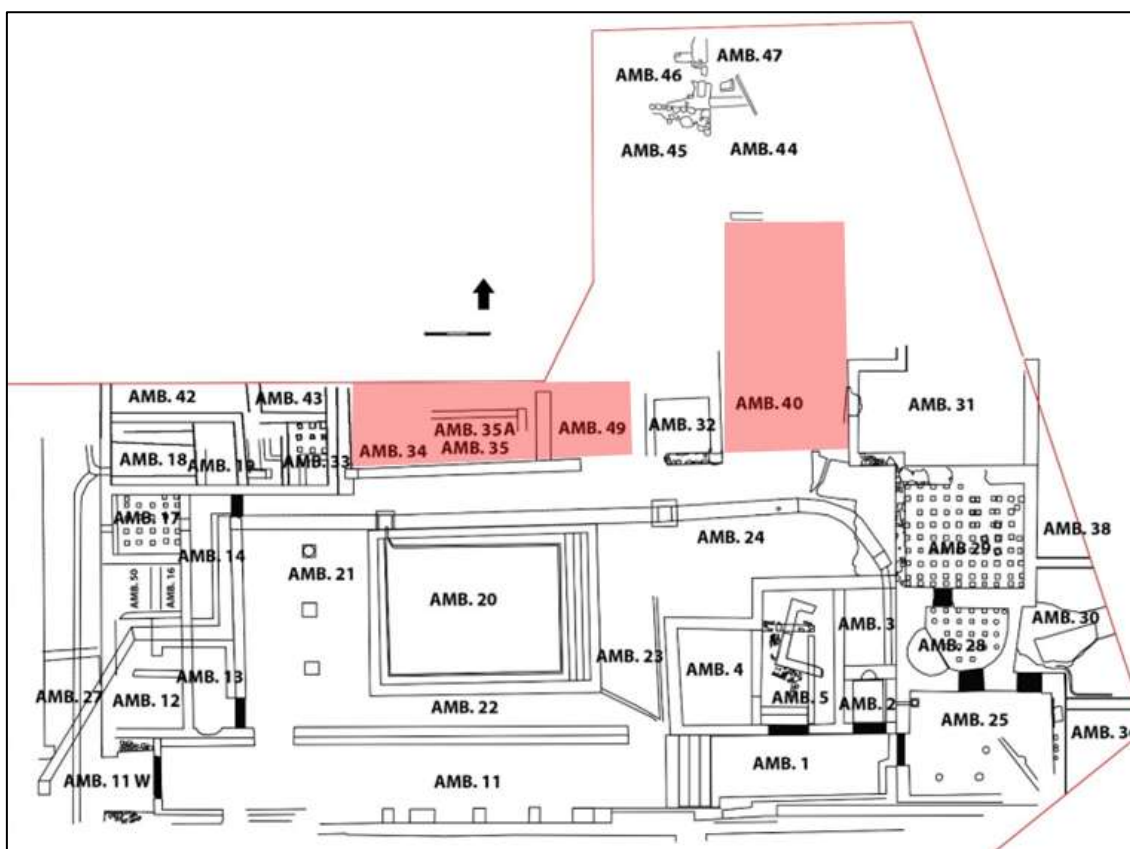
La campaña arqueológica desarrollada en 2023 en las Termas Orientales de *Ilici* (La Alcudia, Elche) constituyó la Fase II del proyecto “Termas Orientales Proyecto ASTERO-Patrimonio Virtual 2022-2025”, que tiene como objetivo principal el estudio, análisis arqueológico e interpretación de las Termas Orientales y de sus áreas colindantes.

A la hora de planificar las intervenciones arqueológicas se seleccionaron dos zonas preferentes de actuación, vinculadas a los objetivos de la presente campaña:

- Intervenciones destinadas a documentar la zona septentrional del conjunto termal, actuando sobre las distintas zonas que fueron descubiertas en las campañas precedentes al desmontar el perfil N
- Intervenciones orientadas a obtener documentación arqueológica acerca de la ampliación del complejo termal y de cómo afectó a su extremo E y NW

De manera adicional, se efectuó un sondeo arqueológico en una zona adyacente a su muro perimetral meridional con el fin de documentar una posible fase constructiva que, hasta el momento, no había podido ser adscrita de manera clara a alguna de las fases constructivas propuestas para todo el complejo.

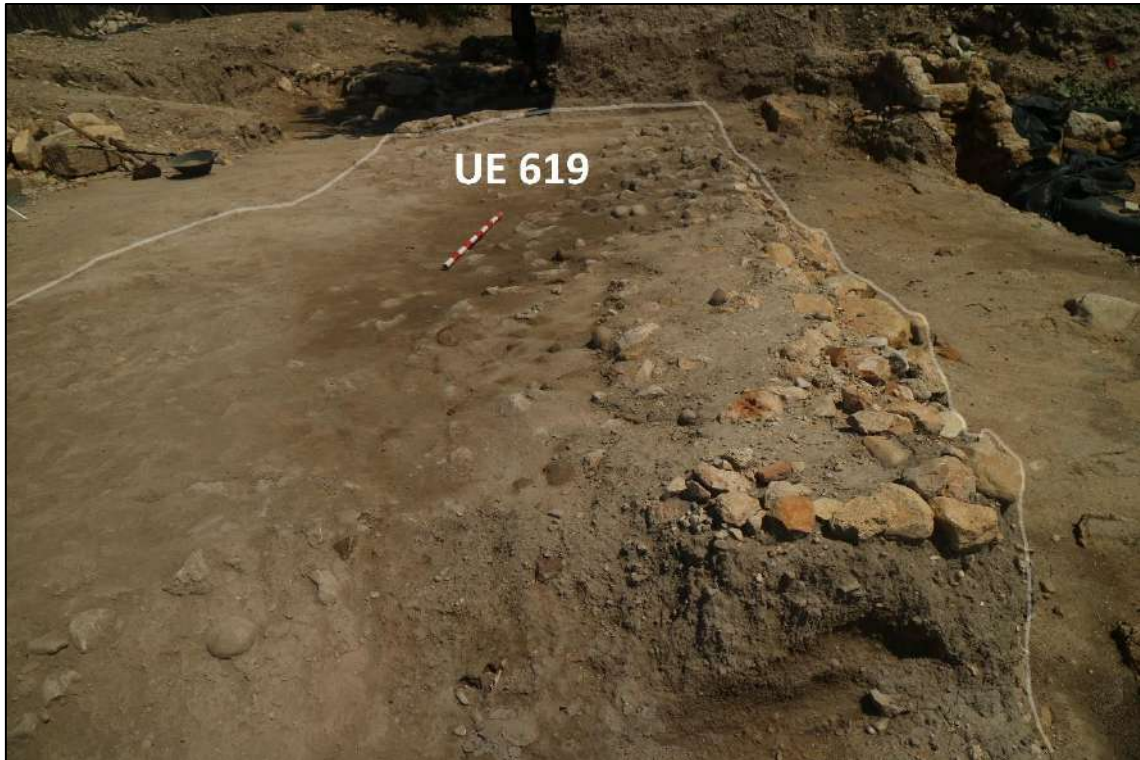
## Zona septentrional



*Planta de la parte exhumada de las Termas Orientales (sector 7F) en la que se destacan (en rojo) los distintos puntos de la zona septentrional que fueron intervenidos en la campaña 2023.*

### Ambiente 40

La explanada que identificamos como Ambiente 40 fue una de las zonas intervenidas. Parcialmente excavada en campañas precedentes, únicamente habían sido retirados los niveles agrícolas. En esta campaña se retomó su excavación mediante la retirada de UE 619, un potente paquete de piedras y tierra que se extiende por toda su superficie. En su interior fue documentada una base de columna de idénticas características a las que fueron halladas en el patio central de las termas (Ambiente 21). Fue individualizada como elemento dentro de este paquete y diferenciada del mismo bajo un registro propio, UE 620. Finalmente, quedó expuesto en superficie el siguiente nivel arqueológico, UE 1063, sobre el cual se intervendrá en futuras campañas.



*Vista general de UE 619 en la que se remarcan sus límites.*



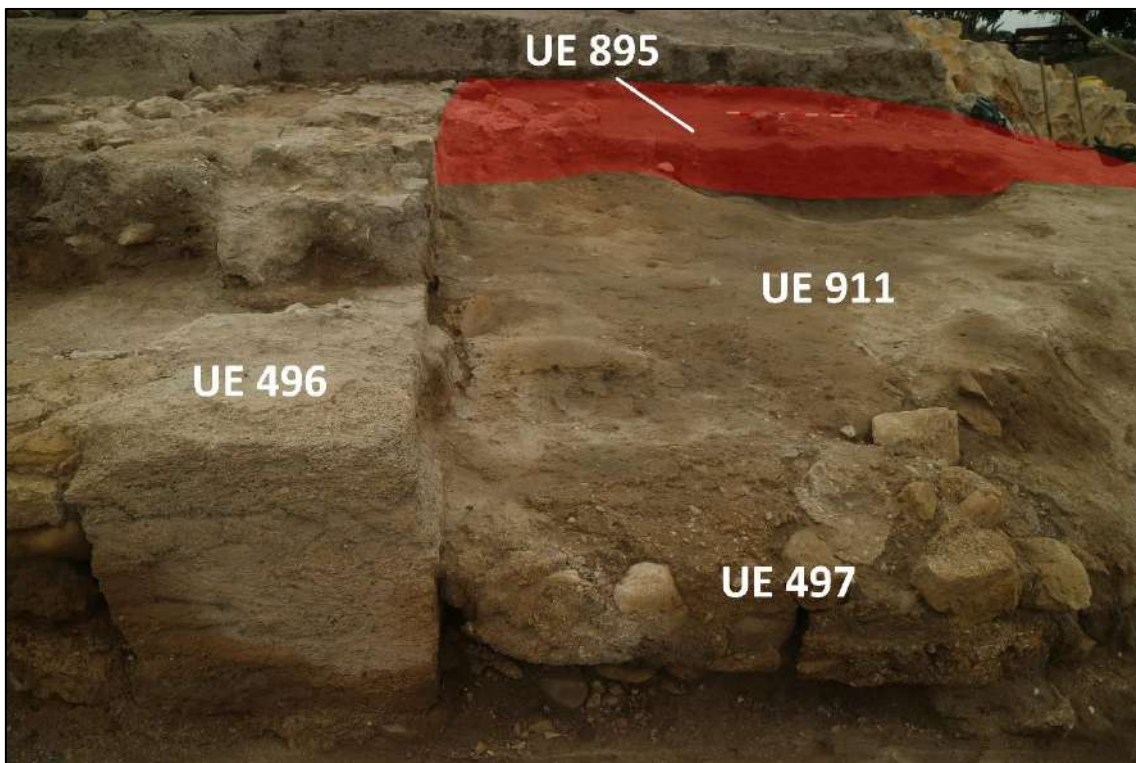
*Vista en detalle de la base de columna UE 620, documentada en el interior de UE 619.*



### Ambiente 49

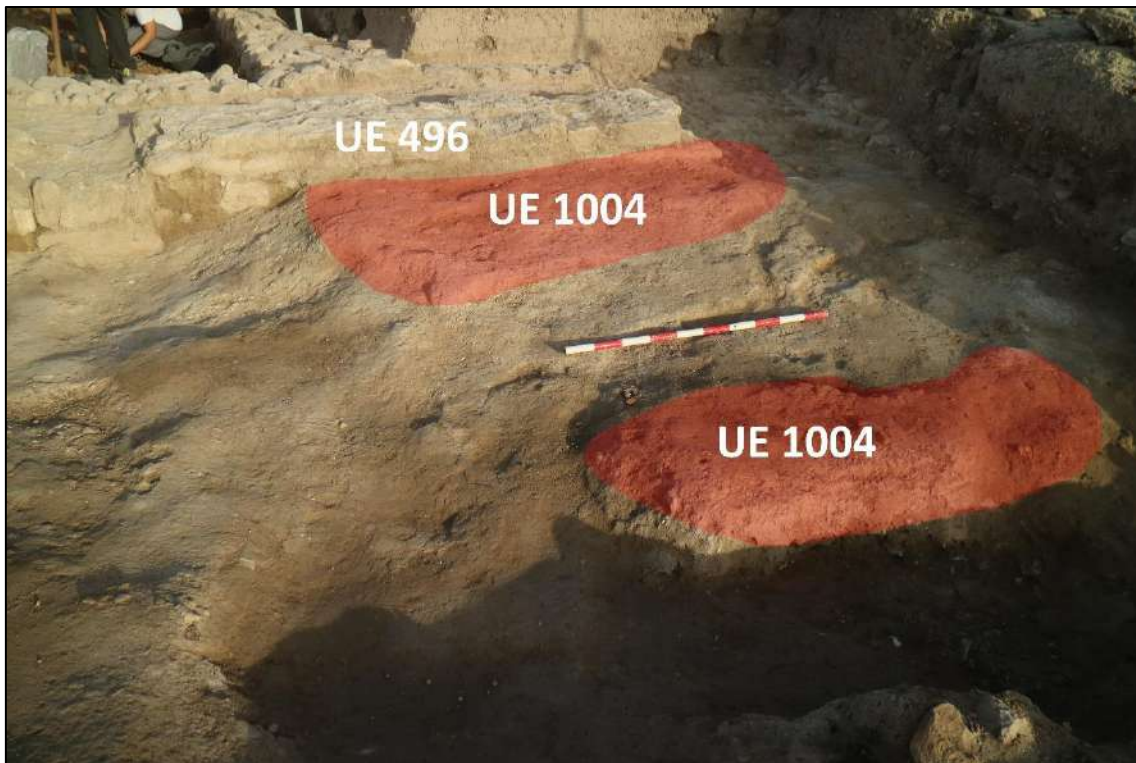
La identificación del Ambiente 49 en la campaña 2022 supuso que iniciase su excavación. Dado que no llegó a agotarse su estratigrafía se decidió retomar la intervención dentro de este espacio en la presente campaña.

Este espacio quedaba delimitado por el muro UE 496 al W, por el muro UE 497 al S y por el propio perfil N que había quedado fijado en esta parte del yacimiento. Dado que la intervención previa concentró su actuación en la mitad meridional del Ambiente, iniciamos los trabajos en UE 895, que únicamente había sido retirada parcialmente.

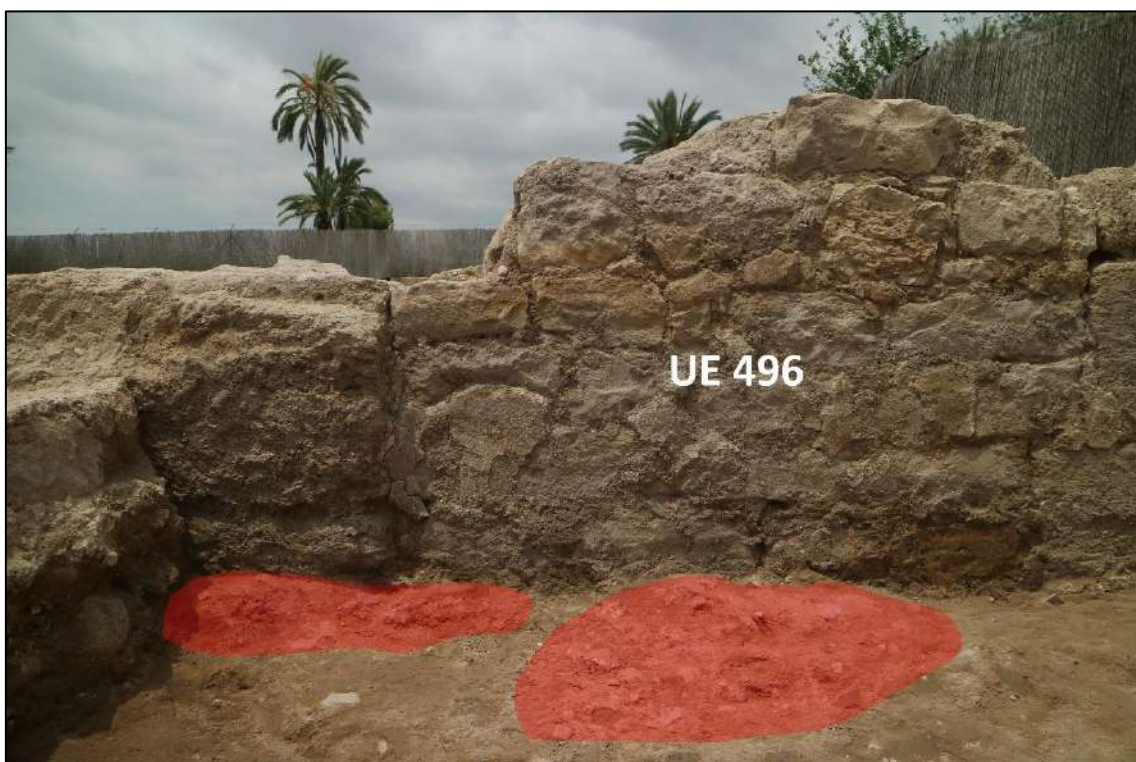


*Vista desde el S del Ambiente 49 en la que destacamos (en rojo) la parte no retirada del UE 895.*

Una vez alcanzado el mismo nivel estratigráfico y tras vaciar la fosa UE 963 pudo ser detectado un posible pavimento de tierra compactada, UE 1004. La extracción de los niveles de relleno sobre los que se asentaba permitió documentar evidencias de la existencia de un pavimento anterior, visible únicamente en algunos de los puntos en los que se adosaba al muro UE 496.



*Vista desde el E del Ambiente 49 en la que destacamos (en rojo) las zonas en las que se conserva el pavimento UE 1004.*



*Vista desde el E del Ambiente 49 en la que destacamos (en rojo) varios de los puntos en los que se conserva la preparación del pavimento.*



Se trata, muy probablemente, del pavimento que fue construido originariamente en relación al muro UE 496, el cual fue recortado por un basurero posterior. La excavación del mismo será realizada en futuras campañas.

### Ambientes 35 y 35A

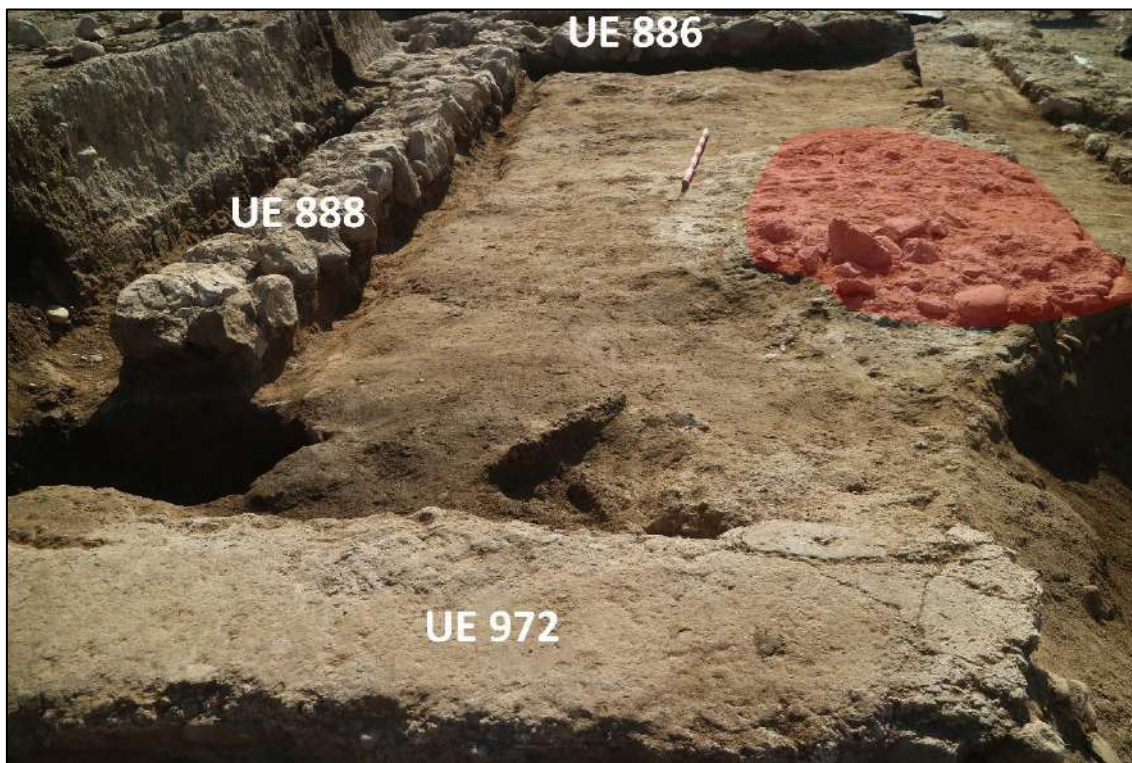
Esta zona del yacimiento fue definida en la campaña anterior, en la cual fueron retirados los niveles superficiales y quedaron expuestos los muros que la delimitan. Identificamos un primer espacio -Ambiente 35- localizado inmediatamente al W del Ambiente 49. Dentro del mismo los muros UUEE 888 y 886 individualizan a su vez otro espacio - Ambiente 35A- situado en su interior.

Iniciamos la intervención retirando los niveles UUEE 889 y 890 con el fin de comprobar la posible continuidad de los muros que delimitaban al Ambiente 35A. Ello permitió exhumar una pequeña franja de pavimento de *opus caementicium* -UE 972- que dividía en dos este espacio.



*Vista general del Ambiente 35 tras el hallazgo del tramo de pavimento UE 972 (en rojo).*

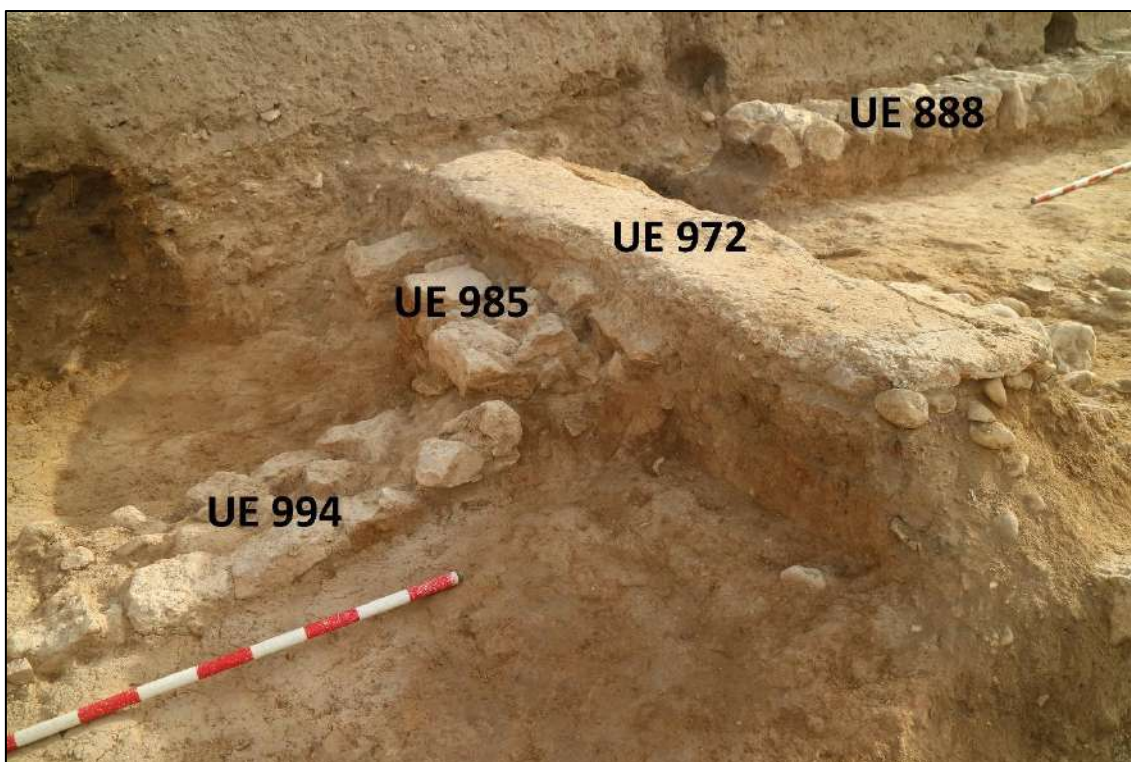
La excavación de la parte del Ambiente 35 situada al E del pavimento UE 972 proporcionó información imprescindible para conocer la formación del Ambiente 35A. Comprobamos que los muros que lo delimitan -UUEE 888 y 886- fueron erigidos tras la ruptura del pavimento UE 972.



*Vista general desde el W del Ambiente 35A en la que destacamos (en rojo) los restos de la preparación del pavimento UE 972.*

Bajo los niveles que colmataban la destrucción del pavimento UE 972 fueron documentados paquetes de relleno y fosas, donde los últimos respectivamente son UUEE 1057 y 1058, sin que se alcanzase en esta campaña el nivel de uso del Ambiente. Por otra parte, la excavación del extremo occidental del Ambiente 35, situada inmediatamente al W del pavimento UE 972, sacó a la luz unas estructuras que compartimentaban este espacio, por lo que quedó individualizado como Ambientes 51y 52.



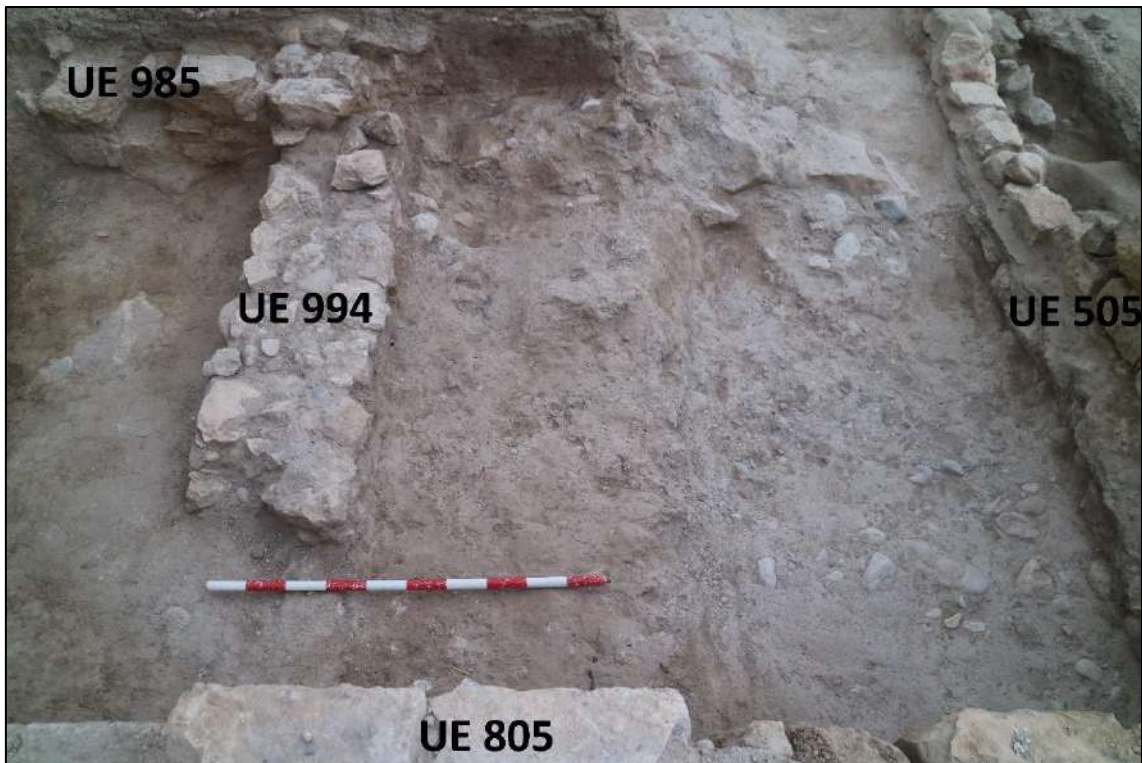


*Vista general desde el SW del extremo occidental del Ambiente 35, donde la estructura UE 994 divide este espacio en Ambiente 51 (N) y Ambiente 52 (S).*

Durante el proceso de excavación individualizada de estos espacios se alcanzaron niveles previos a la construcción del complejo termal, marcados por la presencia de materiales tardorrepublicanos. Comprobamos asimismo que dichos niveles fueron recortados para realizar el conjunto de lienzos que cierra el extremo septentrional del patio presidido por la *natatio*.



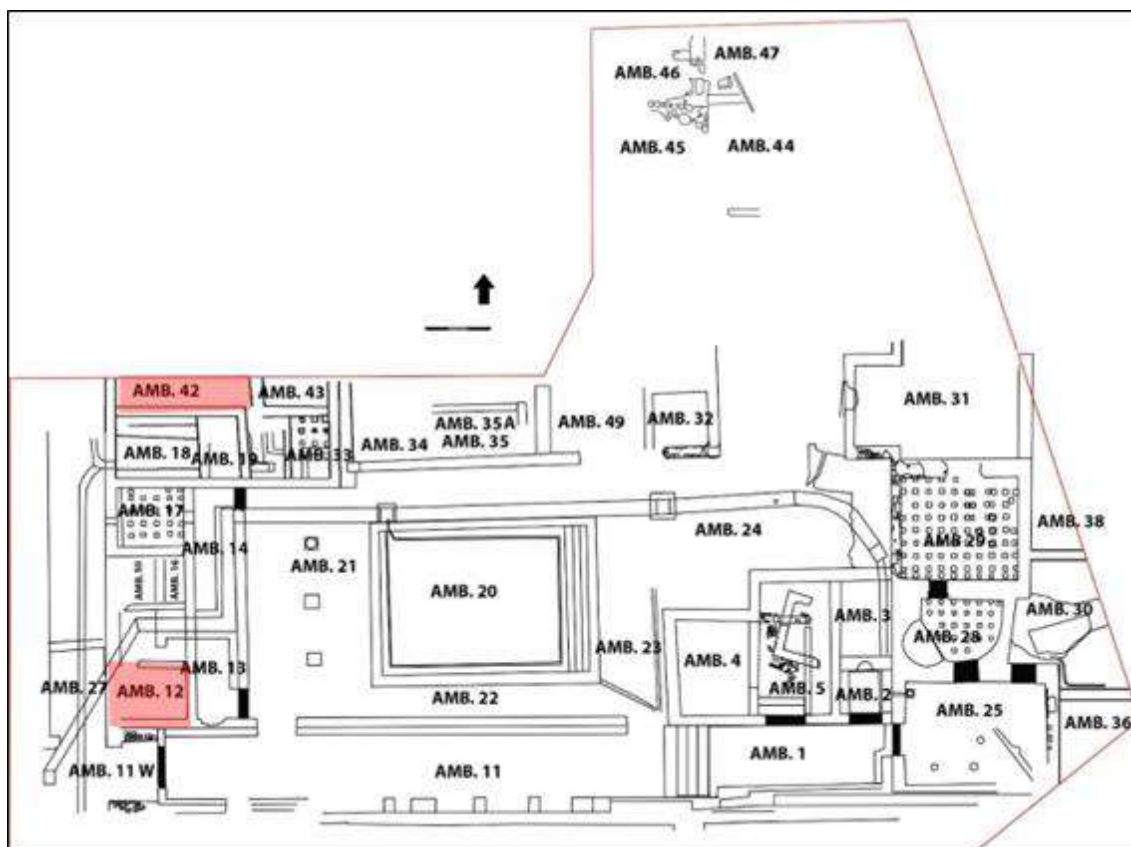
*Vistas en detalle de materiales tardorrepublicanos recuperados en la excavación de los Ambientes 51 y 52.*



*Vista desde el W de los Ambientes 51 y 52 en la que se distingue la fundación de la estructura UE 505 y su relación con los niveles previos a la construcción del complejo termal*



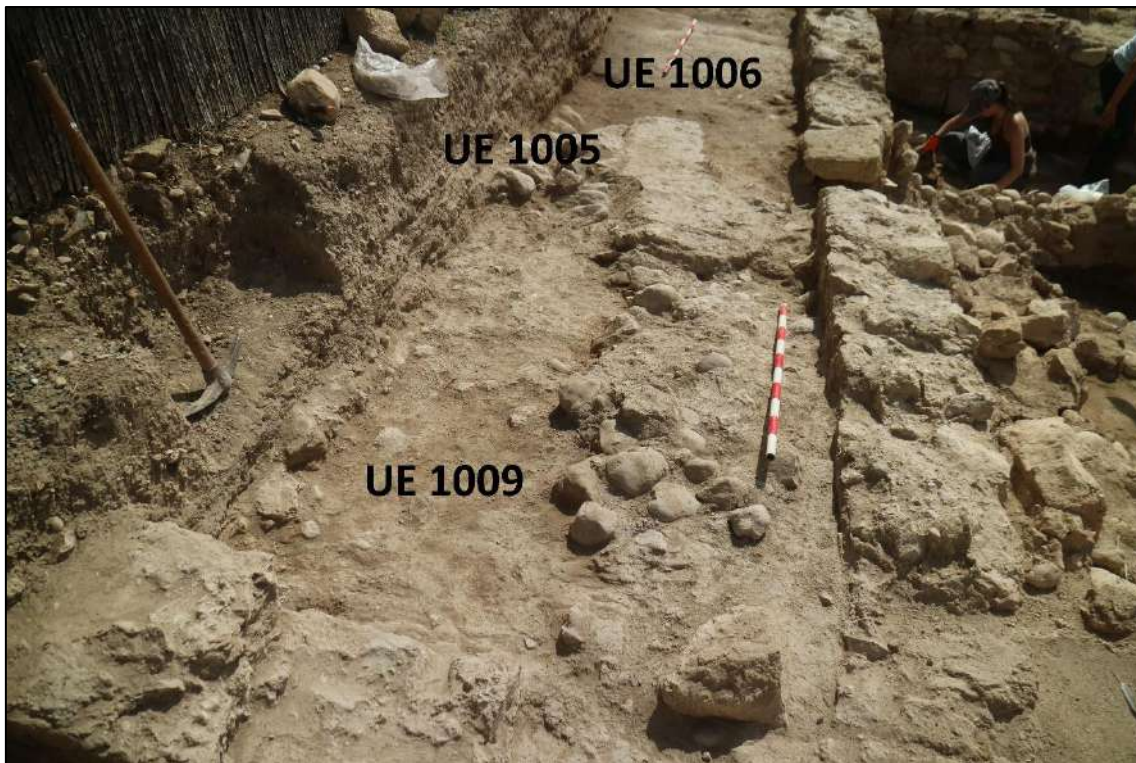
### Ampliación del complejo termal



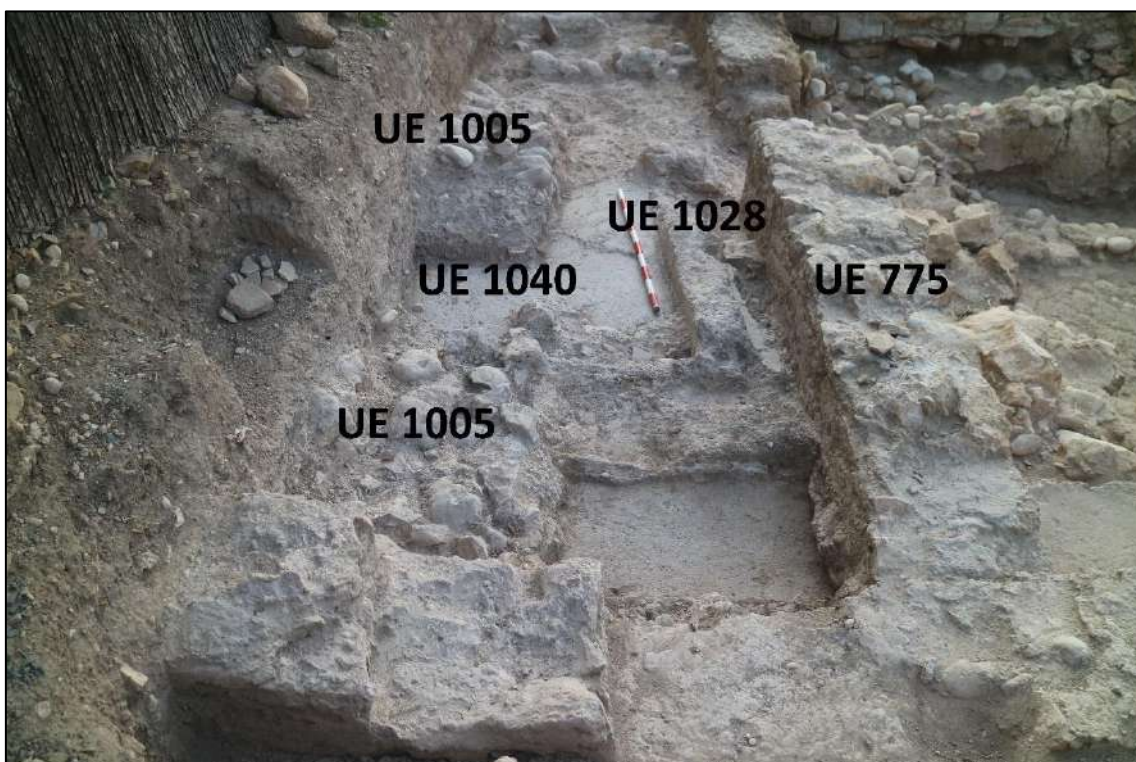
*Planta de la parte exhumada de las Termas Orientales (sector 7F) en la que se destacan (en rojo) los distintos puntos de la zona de ampliación del complejo termal que fueron intervenidos en la campaña 2023.*

#### Ambiente 42

La excavación de este Ambiente quedó inconclusa en la campaña 2020. Retomamos la actividad en el mismo mediante la retirada de UE 778, el último nivel que había sido documentado en la intervención precedente. Bajo el mismo fue detectado parte de una estructura -UE 1005- muy deteriorado, así como los niveles UUEE 1006 y 1009 (fig. 16). Tras proseguir la excavación comprobamos que los niveles sobre los que se asentaba el muro UE 1005 cubrían a una estructura previa, un conjunto de balsas dividida por el muro UE 1028 el cual proseguía su trazado en el Ambiente 18, bajo su muro UE 775. Se trata de una serie de infraestructuras precedentes a la ampliación del complejo termal y, muy probablemente, previas incluso a su aparición.



*Vista desde el W del Ambiente 42 en la que indicamos la ubicación de los niveles UUEE 1006 y 1009 y del muro UE 1005.*



*Vista desde el W del Ambiente 42 en la que se distingue la balsa formada por UUEE 1028 y 1040.*



### Ambiente 27

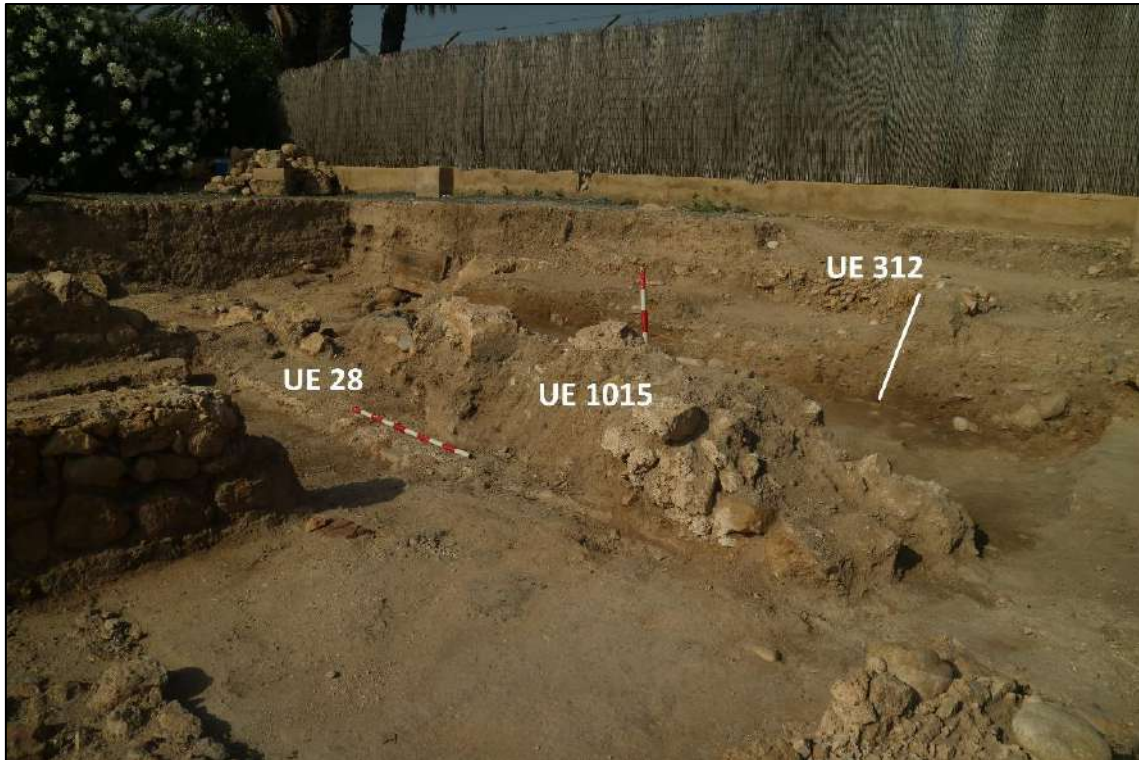
Este espacio forma parte de la reconfiguración de espacios del complejo termal que tuvo lugar en época bajoimperial. Proseguimos con las excavaciones llevadas a cabo durante la campaña 2022.

Tras delimitar la fosa UE 312 más allá de los límites del Ambiente 12 comprobamos que se extendía hasta el Ambiente 27. De hecho, el muro UE 30 localizado en este espacio se asentaba directamente sobre UE 311, el relleno de este basurero.



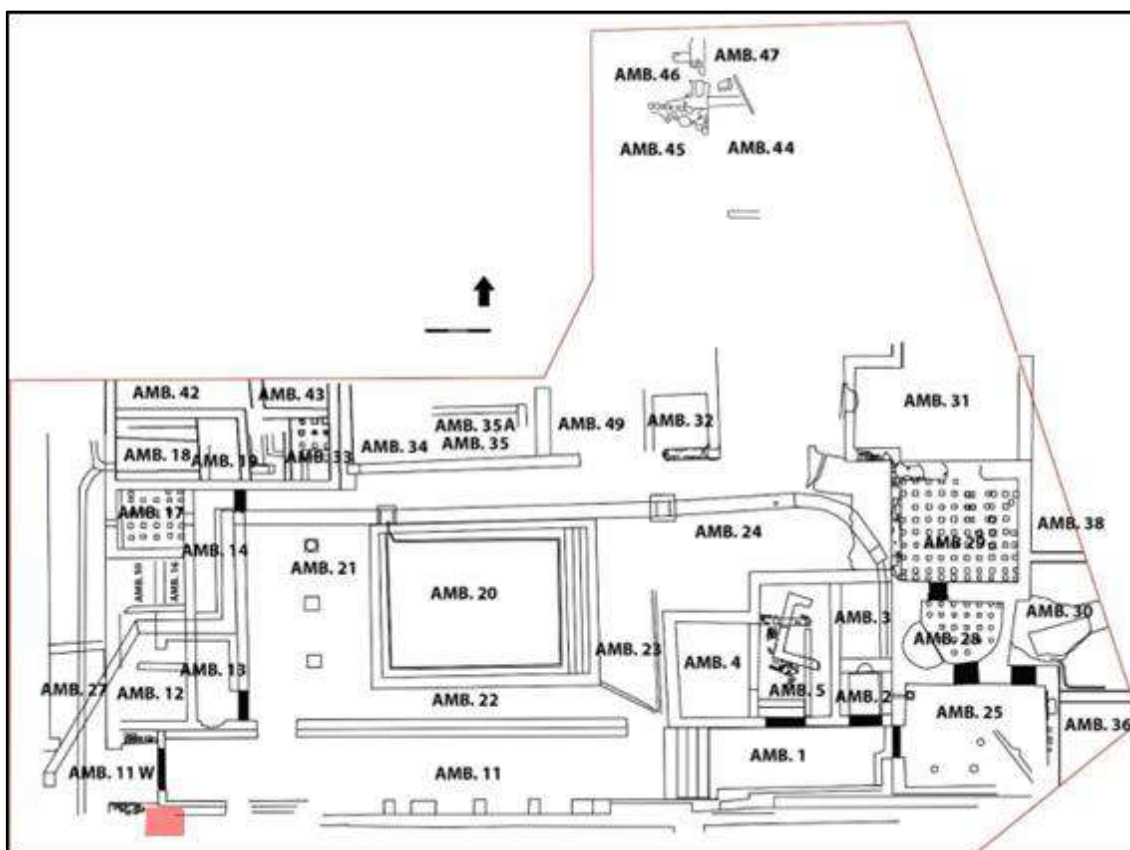
*Vista desde el N de los Ambientes 12 y 27 en los que indicamos la ubicación de la fosa UE 312 y del muro UE 30, en la que se distingue que este último se asienta sobre el basurero 311.*

La documentación del muro UE 30 y de sus distintas fases constructivas fue seguido de su desmonte para, finalmente, poder continuar con la excavación de la fosa UE 312. Tras esta actuación concluimos la intervención de esta zona de yacimiento.



*Vista desde el NE del Ambiente 27 en la que se distingue el resultado del desmonte del muro UE 30 donde resaltamos sus fases constructivas, UUEE 28 y 1015.*

### Sondeo arqueológico

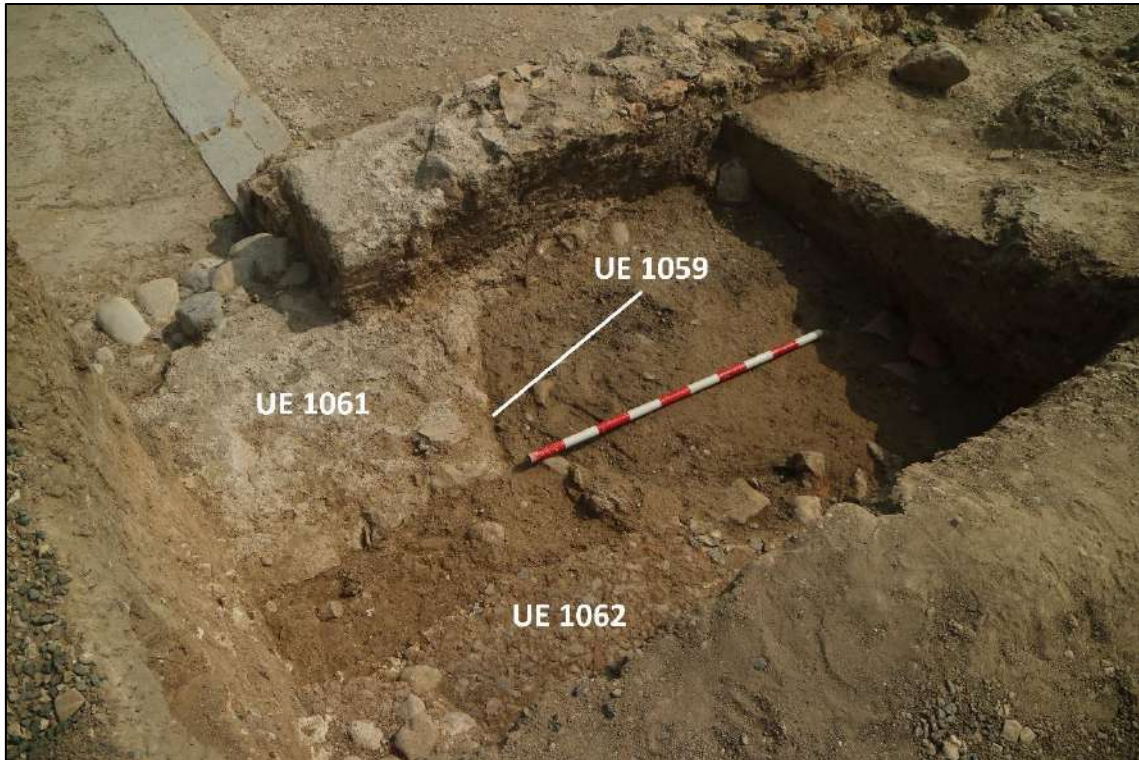


*Planta de la parte exhumada de las Termas Orientales (sector 7F) en la que se destacan (en rojo) la zona donde fue abierto el sondeo arqueológico realizado en la campaña 2023*

La necesidad de resolver las relaciones estratigráficas de la zona de contacto entre el Ambiente 1 y el acceso principal al conjunto termal motivó la apertura de un sondeo arqueológico en ese punto.

Esta acción permitió identificar un muro previo -UE 1061- al que se asociaba un pavimento de *opus signinum* al S del área excavada de las termas. Este conjunto de estructuras estaba recortado por la fosa UE 1059. Se trata de una información relevante que deberá analizarse a partir de futuras intervenciones, en las cuales se examine si dichas estructuras forman parte de una zona todavía no documentada del conjunto termal o si, por el contrario, son elementos de otros edificios que fueron amortizados en su construcción.





*Vista desde el SW del sondeo arqueológico realizado en la confluencia del ingreso de las termas con el Ambiente 11. En ella se identifican el muro UE 1061, el pavimento UE 1062 y la fosa UE 1059 que los recorta.*



## 8. Acta de depósito



copia2/2

### PREACTA DE INGRESO DE MATERIALES

Fecha de entrega: viernes 8 febrero de 2024

Nombre de la intervención: PGI 2022-2025 Fase II La Alcudia. Termas Orientales. Sector 7F. EXCAVACIÓN Y CONSOLIDACIÓN

Nº expediente: DGCP/SPC/PMGC/ **203-0355-A**

Director/es: D. Jaime Molina Vidal con DNI 21.474.593-E, D. Francisco Javier Muñoz Ojeda con DNI 52.764.257-A y D. Juan Francisco Álvarez Tortora con DNI 48.320.267-G

Museo de la Fundación La Alcudia (responsable de la recepción): Ana M<sup>a</sup> Ronda Femenia.

Entrega: Juan Francisco Álvarez Tortosa, la siguiente relación de materiales para su comprobación:

CAMPAÑA	CAJA	SECTOR	AMBIENTE	UUEE	MATERIALES
2023	195	7F	Sondeo 1 Amb. 12 Amb. 20/35 Amb. 24/49 Amb. 24	1, 1044,1052, 1060 311, 982 968 1065 1020,1021	Cerámica Metal Mat. Vegetal Mármol vidrio
2023	196	7F	Amb. 24 Amb. 27 Amb. 27W Amb. 35	1056 311, 1015 30, 311, 981 887, 891, 970, 971, 976, 978, 993	Cerámica Hueso trab. Mármol Metal Vidrio Constructivo
2023	197	7F	Amb. 35 Amb. 35A	1027,1034,1039,1057 889, 890, 972, 973, 974, 979	Cerámica Constructivo Fauna Metal Mat. Vegetal vidrio
2023	198	7F	Amb. 35A Amb. 35B Amb. 37 Amb. 40	986, 990, 992, 1002 984, 991 966 53, 56, 619	Cerámica Constructivo Mármol Fauna Metal Mat. Vegetal Vidrio
2023	199	7F	Amb. 42 Amb. 49	778,1000,1001,1006,1009,1 014,1032,1033 896, 897, 965	Cerámica Constructivo Mármol Fauna Hueso trab. Metal Mat. Vegetal Vidrio
2023	200	7F	Amb. 42	1008, 965	Cerámica Constructivo Mármol Fauna

Áreas de Arqueología y Catalogación  
Fundación Universitaria L'Alcúdia  
Tel. 96 6611506- 647798939  
Pda. Alzabaras Bajo, Pol. 1, nº 138. 03290,  
Elche  
[ana.ronda@ua.es](mailto:ana.ronda@ua.es); [mercedes.tendero@ua.es](mailto:mercedes.tendero@ua.es)



**copia2/2**

					Metal Terracota Mat. Vegetal vidrio
<b>2023</b>	201	7F	Amb. 49	1003	Cerámica Constructivo Mármol Fauna Terracota
<b>2023</b>	202	7F	Amb. 49	1003	Cerámica Constructivo Fauna Hueso trab. Metal Vidrio
<b>2023</b>	203	7F	Amb. 49	1010, 1016, 1035	Cerámica Constructivo Mármol Fauna Hueso trab. Lítico Terracota Mat. Vegetal Vidrio
<b>2023</b>	204	7F	Amb. 49 Amb. 51 Amb. 52	1036, 1038, 1048, 1049 995, 1012 1017, 1019, 1046	Cerámica Constructivo Mármol Fauna Hueso trab. Metal Vidrio
<b>2023</b>	205	7F	Amb. 49	1047	Cerámica Constructivo Mármol Fauna Hueso trab. Metal Vidrio

**ACTA DE DEPÓSITO DE MATERIALES**

En Elche/Elx, a lunes 12 de febrero de 2023

En el Museo Monográfico L'Alcúdia reunidos, en la fecha arriba indicada, de una parte D. Juan Francisco Álvarez Tortora con DNI 48.320.267-G, codirector y en representación de la intervención arqueológica Termas Orientales y áreas circundantes de La Alcudia de Elche, y de otra D/Dña. Ana M<sup>a</sup> Ronda Femenia con DNI 21447830P, técnica arqueóloga responsable del depósito de materiales del Museo Monográfico de L'Alcúdia, entregan y reciben, respectivamente, los materiales arqueológicos recuperados en ella, tras haber comprobado que las cajas y su contenido corresponden a la relación presentada en el día de su entrega. Quedan guardados en el almacén del Museo.

Áreas de Arqueología y Catalogación  
Fundación Universitaria L'Alcúdia  
Tel. 96 6611506- 647798939  
Pda. Alzabaras Bajo, Pol. 1, nº 138, 03290,  
Elche  
[ana.ronda@ua.es](mailto:ana.ronda@ua.es); [mercedes.tendero@ua.es](mailto:mercedes.tendero@ua.es)





copia2/2

**DECLARAN:**

**PRIMERO.-** Que la Dirección General competente en materia de patrimonio cultural de la Comunidad Valenciana, de conformidad con los artículos 60 de la Ley 4/1998 de Patrimonio Cultural valenciano, "estima conveniente la intervención dado que la misma contribuye al estudio y conocimiento del patrimonio arqueológico valenciano y reúne las condiciones técnicas adecuadas."

**SEGUNDO.-** En el mencionado permiso de intervención arqueológica se especificaba que, "Los materiales obtenidos como consecuencia de la actuación autorizada deberán depositarse en el Museo de la Alcudia, según lo dispuesto en el Título II del **Decreto 107/2017, de 28 de julio**, del Consell, por el que se aprueba el Reglamento de regulación de las actuaciones arqueológicas en la Comunidad Valenciana".

**TERCERO.-** La Comunidad Autónoma Valenciana ostenta la titularidad de los materiales que se entregan, de acuerdo con lo dispuesto en el artículo 64.1 de la Ley 4/98 de 11 de junio de Patrimonio Histórico Artístico de la Generalitat Valenciana.

**CUARTO.-** Por todo ello, el codirector de la intervención hace entrega al Museo de los materiales arqueológicos que se relacionan en el cuadro de este depósito.

EL DIRECTOR DE LA INTERVENCIÓN  
ARQUEOLÓGICA

LA TÉCNICA ARQUEÓLOGA RESPONSABLE DEL  
MUSEO

JUAN FRANCISCO  
ALVAREZ|  
TORTOSA

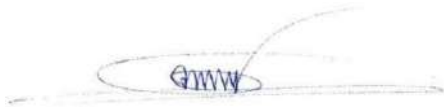
Firmado digitalmente por  
JUAN FRANCISCO|  
ALVAREZ|TORTOSA  
Fecha: 2024.02.12 19:15:21  
+01'00'

Firmado por ANA MARIA  
RONDA FEMENIA -  
NIF:\*\*\*4783\*\* el día  
12/02/2024 con un  
certificado emitido por  
ACCVCA-120

La presente acta de entrega de materiales se levanta por duplicado.



**Alicante, a 12 de febrero de 2024**



**Jaime Molina Vidal**



**Francisco Javier Muñoz Ojeda**



**Juan Francisco Álvarez Tortosa**